

EL MÉTODO W.B.K

Previamente desarrollamos aquí una formulación funcional de la aproximación W.B.K. a través de integrales de camino que pueda ser generalizada fácilmente a teorías de campos. Seguiremos

R. F. DASHEN, B. HASS LACHER y A. NEVEU . Phys. Rev. D10, 4114 (1970)

R. RAJARAMAN Phys. Rep. C21, 227 (1975)

J. ZINN- JUSTIN Phys. Rep. C70, 109 (1981)

i) Estados ligados en sistemas con un grado de libertad

Consideremos una partícula de masa M en un potencial $V(x)$. Sean E_m los niveles discutidos del Hamiltoniano H correspondientes que vienen dados por los polos del propagador ($E = E + i\delta$)

$$G(E) = \text{Tr} \frac{1}{H - E} = \sum_m \frac{1}{E_m - E} \quad (1)$$

Para simplificar la notación supondremos específicamente el caso

$$G(E) = i \text{Tr} \int_0^\infty \frac{dT}{\hbar} \exp \left\{ \frac{i}{\hbar} (E - H) T \right\} \quad (2)$$

y esto equivale a

$$G(E) = i \int_0^\infty \frac{dT}{\hbar} G(T) e^{iET/\hbar} \quad (3)$$

donde

$$G(T) = \text{Tr} \left(e^{-iHT/\hbar} \right) = \int_{-\infty}^{\infty} dx_0 \langle x_0 | e^{-iHT/\hbar} | x_0 \rangle \quad (4)$$

Recordamos que la amplitud de transición es

$$\langle x_b | e^{-iHT/\hbar} | x_a \rangle = \int \mathcal{D}[x(t)] e^{\frac{i}{\hbar} S[x(t)]} \quad (5)$$

dónde la integral se extiende sobre todos los caminos que empiezan en x_a en $t=0$ y terminan en x_b en $t=T$.

Ante de continuar recordamos algunas fórmulas que necesitaremos frecuentemente.

i) Intégrales Gaussianas

$$\int \left(\prod_{i=1}^m d\vec{x}_i \right) \exp \left\{ - \sum_{i,j=1}^m A_{ij} \vec{x}_i \cdot \vec{x}_j + \sum_{i=1}^m \vec{B}_i \cdot \vec{x}_i \right\} = \\ = \pi^{3m/2} (\det A)^{-1/2} \exp \left\{ \frac{1}{4} \sum_{i,j=1}^m (A^{-1})_{ij} \vec{B}_i \cdot \vec{B}_j \right\} \quad (1)$$

ii) Aproximación de fase extrema

$$\int_{-\infty}^{+\infty} dx g(x) e^{-i f(x)} \approx \frac{\sqrt{2\pi}}{\sqrt{i f''(a)}} g(a), \quad f'(a) = 0 \quad (2)$$

Demostración: Supongamos que $f(x)$ tiene un único extremo aislado en $x=a$. Entonces

$$\int_{-\infty}^{+\infty} dx g(x) e^{-i f(x)} = \int_{-\infty}^{+\infty} dx [g(a) + g'(a)(x-a) + \dots] \exp \left\{ -i \left[f(a) + \frac{(x-a)^2}{2} f''(a) + \dots \right] \right\}$$

Si suponemos que $f''(a) \neq 0$, las derivadas de orden superior no sean grandes y que $g(x)$ varía lentamente alrededor de $x=a$, entonces se obtiene inmediatamente (2). En conclusiones análogas y para varias variables si $f(x_1, \dots, x_m) \equiv f(\vec{x})$ presenta un extremo en $\vec{x} = \vec{a}$ entonces

$$\int d\vec{x} g(\vec{x}) e^{-i f(\vec{x})} \approx \left(\frac{2\pi}{i} \right)^{m/2} (\det A)^{-1/2} g(\vec{a}) e^{-i f(\vec{a})} \quad (3)$$

$$A_{ij} = \frac{\partial^2 f}{\partial x_i \partial x_j} \Big|_{\vec{x}=\vec{a}}$$

Entonces

$$G(T) = \int_{-\infty}^{+\infty} dx_0 \int \partial [x(t)] e^{\frac{i}{\hbar} \int_0^T dt \left[\frac{M\dot{x}^2}{2} - V(x) \right]} \quad x(0) = x(T) = x_0 \quad (4)$$

es decir que todos los caminos son periódicos con periodo T . Debemos ahora proceder al cálculo de esta integral.

i) Acoplamiento débil.

Supongamos para concreto que $V(x)$ tiene un mínimo único en $x=x_{\text{m}}$.

Entonces en la vecindad de $x=x_{\text{m}}$

$$V(x) = V(x_{\text{m}}) + \frac{M}{2} \omega^2 (x - x_{\text{m}})^2 + \dots \quad (5)$$

Método de la fase estacionaria

R. B. DINGLE "Asymptotic Expansions: Their Derivation and Interpretation" Academic Press 1973

Consideremos la integral

$$F(t) = \int_{-\infty}^{+\infty} dx g(x) e^{-t h(x)} \quad (1)$$

donde $h(x)$ y $g(x)$ son tales que $F(t)$ existe. Quisiéramos determinar el comportamiento asintótico de $F(t)$ cuando $g(x)$ and $h(x)$ son funciones descontinuas en serie de potencias alrededor de un punto $x=x_0$ en el que $h(x)$ es continua. Supongamos que

$$\begin{aligned} g(x) &= \sum_{k=0}^{\infty} g_k (x-x_0)^k \\ h(x) &= \sum_{\ell=0}^{\infty} h_\ell (x-x_0)^\ell \end{aligned} \quad (2)$$

donde

$$g_k = \frac{1}{k!} g^{(k)}(x_0) \quad (3)$$

$$h_k = \frac{1}{k!} h^{(k)}(x_0), \quad h_1 = 0$$

Entonces

$$\begin{aligned} F(t) &= e^{th_0} \sum_{k=0}^{\infty} g_k \int_{-\infty}^{+\infty} dx (x-x_0)^k e^{-t h_2 (x-x_0)^2} e^{t \sum_{\ell=3}^{\infty} h_\ell (x-x_0)^\ell} \\ F(t) &= e^{th_0} \sum_{k=0}^{\infty} g_k \int_{-\infty}^{+\infty} dy y^k e^{-t h_2 y^2} e^{t \sum_{\ell=3}^{\infty} h_\ell y^\ell} \end{aligned}$$

Ahora bien

$$\sum_{k=0}^{\infty} g_k y^k e^{t y^3 \sum_{\ell=3}^{\infty} h_\ell y^{\ell-3}} = \sum_{m=0}^{\infty} \sum_{n=0}^{\infty} c_{m,n} (t y^3)^m y^n$$

con lo cual

$$F(t) = e^{th_0} \sum_{m=0}^{\infty} \sum_{n=0}^{\infty} c_{m,n} t^m \int_{-\infty}^{+\infty} dy y^{3m+n} e^{-t h_2 y^2}$$

Recordemos que $n = 3m+n = 2v$

$$\int_{-\infty}^{+\infty} dy y^{2v} e^{-t h_2 y^2} = \Gamma(v + \frac{1}{2}) (-t h_2)^{-v - 1/2}$$

y es nula si $3m+n$ es impar. De aquí:

$$F(t) = e^{th_0} \sum_{v=0}^{\infty} \sum_{m=0}^{2v} c_{m, 2v-m} t^m \int_{-\infty}^{+\infty} dy y^{2m+2v} e^{-th_2 y^2}$$

$$= e^{th_0} \sum_{v=0}^{\infty} \sum_{m=0}^{2v} c_{m, 2v-m} t^m \Gamma(m+v+1/2) (-th_2)^{-m-v-1/2}$$

Se obtiene para la mitad

$$\left. \begin{aligned} \int_{-\infty}^{+\infty} dx g(x) e^{th(x)} &= e^{th_0} \sum_{v=0}^{\infty} d_v t^{-v-1/2} \\ d_v &= (-h_2)^{-v-1/2} \sum_{m=0}^{2v} c_{m, 2v-m} (-h_2)^{-m} \Gamma(m+v+1/2) \end{aligned} \right\} \quad (1)$$

En particular

$$d_0 = (-h_2)^{-1/2} c_{0,0} \sqrt{\pi}$$

$$d_1 = (-h_2)^{-3/2} \frac{\sqrt{\pi}}{2} \left[c_{02} + \frac{3}{2h_2} c_{11} + \frac{15}{4h_2^2} c_{20} \right]$$

Como

$$c_{00} = g_0$$

$$c_{02} = g_2$$

$$c_{11} = g_0 h_4 + g_1 h_3$$

$$c_{20} = \frac{1}{2} g_0 h_3^2$$

⇒

$$c_{00} = g(x_0) \quad c_{02} = \frac{1}{2} g^{(2)}(x_0)$$

$$c_{11} = \frac{1}{24} g(x_0) h^{(4)}(x_0) + \frac{1}{6} g^{(1)}(x_0) h^{(3)}(x_0)$$

$$c_{20} = \frac{1}{72} g(x_0) [h^{(3)}(x_0)]^2$$

$$\int_{-\infty}^{+\infty} dx g(x) e^{th(x)} = \frac{\sqrt{2\pi} e^{th(x_0)}}{\sqrt{-th^{(2)}(x_0)}} \left\{ 1 + \frac{d_1}{d_0} \frac{1}{t} + \dots \right\}$$

En el límite de acoplamiento débil supondremos que se puede escribir

$$V(x) = V(0) + \frac{1}{2} M \omega^2 x \quad (1)$$

donde, sin pérdida de generalidad, hemos supuesto $x_0 = 0$. Entonces

$$G(T) \approx e^{-\frac{i}{\hbar} V(0) T} \int_{-\infty}^{+\infty} dx_0 \int \delta[x(t)] e^{\frac{iM}{2\hbar} \int_0^T dt [\dot{x}^2(t) - \omega^2 x^2(t)]} \quad (2)$$

Como el Lagrangiano es cuadrático nos basta calcular

$$G(T) \approx e^{-\frac{i}{\hbar} V(0) T} \int_{-\infty}^{+\infty} dx_0 F(T) e^{\frac{i}{\hbar} S_{cl}[x_0 T; x_0 0]} \quad (3)$$

Empecemos calculando S_{cl} . Las ecuaciones a resolver son

$$\ddot{x}(t) + \omega^2 x(t) = 0 \quad x(0) = x(T) = x_0$$

y su límite

$$x(t) = \frac{x_0}{\sin \omega T} [\sin \omega(T-t) + \sin \omega t] \Rightarrow \dot{x}(t) = \frac{x_0 \omega}{\sin \omega T} [-\cos \omega(T-t) + \cos \omega t]$$

y en particular

$$x(0) = x(T) = x_0, \quad \dot{x}(0) = \frac{x_0 \omega}{\sin \omega T} [1 - \cos \omega T], \quad \dot{x}(T) = -\frac{x_0 \omega}{\sin \omega T} [1 - \cos \omega T]$$

De acuerdo con (I.8.3)

$$\begin{aligned} S_{cl} &= \frac{M}{2} [x(T) \dot{x}(T) - x(0) \dot{x}(0)] = -\frac{M \omega x_0^2}{\sin \omega T} (1 - \cos \omega T) \\ &= -M \omega x_0^2 \operatorname{tg} \frac{\omega T}{2} \end{aligned}$$

El factor $F(T)$ es el mismo que el dado en (I.9.1) y su límite

$$G(T) \approx e^{-\frac{i}{\hbar} V(0) T} \left[\frac{M \omega}{2 \pi i \hbar \sin \omega T} \right]^{1/2} \int_{-\infty}^{+\infty} dx_0 e^{-\frac{iM \omega x_0^2}{2\hbar} \operatorname{tg} \frac{\omega T}{2}} =$$

$$= e^{-\frac{i}{\hbar} V(0) T} \left[\frac{M \omega}{2 \pi i \hbar \sin \omega T} \right]^{1/2} n^{1/2} \left[\frac{iM \omega}{\hbar} \operatorname{tg} \frac{\omega T}{2} \right]^{-1/2} =$$

$$= e^{-\frac{i}{\hbar} V(0) T} \left[\frac{M \omega n}{2 \pi i \hbar \sin \omega T} \frac{\hbar}{iM \omega \operatorname{tg} \frac{\omega T}{2}} \right]^{1/2} = e^{-\frac{i}{\hbar} V(0) T} \frac{1}{2i \sin \frac{\omega T}{2}} \quad (4)$$

Este resultado se puede escribir

$$G(T) = e^{-\frac{c}{\hbar} V(0) T} \sum_{m=0}^{\infty} e^{-\frac{c}{\hbar} \left(m + \frac{1}{2}\right) \omega T} \quad (1)$$

por lo cual

$$G(E) = \sum_{m=0}^{\infty} \frac{c}{\hbar} \int_0^{\infty} dT \exp \left\{ \frac{c}{\hbar} [E - V(0) - (m + \frac{1}{2}) \hbar \omega] T \right\}$$

de donde

$$G(E) = \sum_{m=0}^{\infty} \frac{1}{V(0) + (m + \frac{1}{2}) \hbar \omega - E} \quad (2)$$

lo cual nos da los niveles energéticos en la aproximación de acoplamiento débil

$$E_m = V(0) + (m + \frac{1}{2}) \hbar \omega \quad m = 0, 1, 2, \dots \quad (3)$$

Hasta aquí lo único que hemos aproximado es el potencial $V(x)$ para el que no ha sufrido el desarrollo (3.1), por lo demás los cálculos son exactos y no resulta novedoso en absoluto la aproximación W.B.K.

(ii) Acoplamiento fuerte.

En contrastar con el acoplamiento débil consideraremos ahora el caso en el que no es válida la aproximación (3.1) es decir que el acoplamiento es fuerte. Entonces en lugar de desarrollar $V(x)$ alrededor de su mínimo, desarrollaremos toda la acción $S[T, 0; x(t)]$ alrededor de los caminos extremales. La ecuación de partida es como anterior (2.4)

$$G(T) = \int_{-\infty}^{+\infty} dx_0 \int \delta S[T, 0; x(t)] e^{\frac{c}{\hbar} S[T, 0; x(t)]} \quad (4)$$

Los caminos extremales son las soluciones de

$$\frac{\delta S}{\delta x(t)} = - \left(M \ddot{x}(t) + \frac{\partial V}{\partial x} \right) = 0 \quad (5)$$

sujetas a las condiciones $x(0) = x(T) = x_0$; indicaremos por $\{X_{ce}^j(t)\}$ al conjunto de tales soluciones. Notemos que ahora x_0 corresponde a las distintas formas de elegir el punto inicial sobre cada órbita periódica clásica y puede ser un punto cualquiera de la órbita.

Desarrollando sobre la acción alrededor de tales soluciones

$$S[T, 0; x(t)] = S[T, 0; x_{cl}^j(t)] + \int_0^T dt \left[\frac{M}{2} \dot{y}^2 - \frac{1}{2} V''[x_{cl}^j(t)] y^2 \right] + \dots \quad (1)$$

donde

$$V''[x_{cl}^j(t)] \equiv \left. \frac{\partial^2 V}{\partial x^2} \right|_{x=x_{cl}^j(t)}$$

Entendemos que los términos lineales en y no aparecen por ser $x_{cl}^j(t)$ un extremo. Entonces podemos escribir en la aproximación a fase estacionaria

$$G(T) \approx \sum_j \int dx_0 e^{\frac{i}{\hbar} S[T, 0; x_{cl}^j(t)] / \Delta_j} \quad (2)$$

$$\Delta_j \equiv \int \mathcal{D}[y(t)] e^{\frac{i}{\hbar} \int_0^T dt \left[\frac{M}{2} \dot{y}^2 - \frac{1}{2} V''[x_{cl}^j(t)] y^2 \right]}$$

donde $y(0) = y(T) = 0$. Aquí hemos despreciado los términos de orden superior al cuadrático. Esta es la primera de las aproximaciones en el método WKB. No es una aproximación de acoplamiento doble. Si bien despreciamos potencias de orden superior en las fluctuaciones cuánticas alrededor del camino clásico $x_{cl}^j(t)$, el camino clásico es calculado usando todo el potencial $V(x)$.

Para calcular las fluctuaciones alrededor de la trayectoria clásica, i.e. Δ_j , usaremos el "shifting method". Deberá calcular ($M=1$)

$$\Delta \equiv \int \mathcal{D}[y(t)] \exp \left\{ \frac{i}{\hbar} \int_0^T dt \left[\frac{1}{2} \dot{y}^2 - \frac{1}{2} V''(t) y^2 \right] \right\} \quad (3)$$

donde $V''(t) \equiv V''[x_{cl}(t)]$, siendo $x_{cl}(t)$ una trayectoria clásica periódica de periodo T y $y(0) = y(T) = 0$. Al escribir (3) de forma detallada obtenemos una integral gaussiana múltiple que puede evaluarse exactamente usando (2.1) si podemos calcular el determinante de $(\partial^2 / \partial t^2 + V''(t))$, sujeto a las condiciones de contorno $y(0) = y(T) = 0$. Para encontrar este determinante, lo diagonalizaremos usando el cambio de variables

$$z(t) = y(t) - \int_0^t dt' \frac{\dot{f}(t')}{f(t')} y(t') \quad (4)$$

donde $f(t)$ es la solución con valor propio cero del operador mencionado

$$\left(\frac{\partial^2}{\partial t^2} + V''(t) \right) f(t) = 0 \quad (5)$$

El resultado de (5.4) es

$$y(t) = z(t) + f(t) \int_0^t dt' \frac{\dot{f}(t')}{f^2(t')} z(t') \quad (1)$$

En efecto

$$\begin{aligned} z(t) + f(t) \int_0^t dt' \frac{\dot{f}(t')}{f^2(t')} z(t') &= y(t) - \int_0^t dt' \frac{\dot{f}(t')}{f(t')} y(t') + f(t) \int_0^t dt' \frac{\dot{f}(t')}{f^2(t')} y(t') - \\ &- f(t) \int_0^t dt' \frac{\dot{f}(t')}{f^2(t')} \int_0^{t'} dt'' \frac{\dot{f}(t'')}{f(t'')} y(t'') = \left| \begin{array}{l} u(t') = \int_0^{t'} dt'' \frac{\dot{f}(t'')}{f(t'')} y(t'') \\ du(t') = dt' \frac{\dot{f}(t')}{f^2(t')} \\ u(t') = -\frac{1}{f(t')} \end{array} \right| = \\ &= y(t) - \int_0^t dt' \frac{\dot{f}(t')}{f(t')} y(t') + f(t) \int_0^t dt' \frac{\dot{f}(t')}{f^2(t')} y(t') + f(t) \left\{ \frac{1}{f(t')} \int_0^{t'} dt'' \frac{\dot{f}(t'')}{f(t'')} y(t'') \right\}_0^t \\ &= f(t) \int_0^t dt' \frac{1}{f(t')} \frac{\dot{f}(t')}{f(t')} y(t') = y(t) \quad \text{Q.E.D.} \end{aligned}$$

Veamos ahora como se escube el exponente de (5.3). De (1) se deduce

$$\begin{aligned} \ddot{y}(t) &= \ddot{z}(t) + \dot{f}(t) \int_0^t dt' \frac{\dot{f}(t')}{f^2(t')} z(t') + \frac{\dot{f}(t)}{f(t)} z(t) = \\ &= \ddot{z}(t) + \dot{f}(t) \frac{y(t) - z(t)}{f(t)} + \frac{\dot{f}(t)}{f(t)} z(t) = \ddot{z}(t) + \frac{\dot{f}(t)}{f(t)} y(t) \end{aligned} \quad (2)$$

de donde

$$\begin{aligned} \ddot{y}(t) &= \ddot{z}(t) + \frac{\ddot{f}(t)}{f(t)} y(t) + \frac{\dot{f}(t)}{f(t)} \dot{y}(t) - \frac{\dot{f}^2(t)}{f^2(t)} y(t) \Rightarrow \\ \ddot{y}(t) + V''(t) y(t) &= \ddot{z}(t) + \frac{\ddot{f}(t)}{f(t)} [\dot{y}(t) - \frac{\dot{f}(t)}{f(t)} y(t)] \Rightarrow \\ \ddot{y}(t) + V''(t) y(t) &= \ddot{z}(t) + \frac{\dot{f}(t)}{f(t)} \ddot{z}(t) \end{aligned} \quad (3)$$

y en lo tanto

$$\begin{aligned} \int_0^T dt [\ddot{y}^2(t) - V''(t) y^2(t)] &= \int_0^T dt [-\ddot{y}(t) + V''(t) y(t)] y(t) = \\ &= - \int_0^T dt \left[\ddot{z}(t) + \frac{\dot{f}(t)}{f(t)} \dot{z}(t) \right] y(t) = \int_0^T dt \left[\dot{z}(t) \dot{y}(t) - \frac{\dot{f}(t)}{f(t)} \ddot{z}(t) y(t) \right] = \\ &= \int_0^T dt \ddot{z}(t) \left[\dot{y}(t) - \frac{\dot{f}(t)}{f(t)} y(t) \right] = \int_0^T dt \ddot{z}^2(t) \end{aligned} \quad (4)$$

Por tanto en términos de las nuevas variables podremos escribir

$$\Delta = \int \mathcal{D}[z(t)] \left| \frac{\partial [y(t)]}{\partial z(t)} \right| e^{+ \frac{i}{\hbar} \int_0^T dt \frac{1}{2} \dot{z}^2(t)} \quad (1)$$

Deberemos por tanto calcular el Jacobiano de la transformación (3) que es de tipo Volterra y por consiguiente es

$$\left| \frac{\partial [y(t)]}{\partial z(t)} \right| = \exp \left\{ \frac{1}{2} \int_0^T dt \frac{\dot{f}(t)}{f(t)} \right\} = \exp \left\{ \frac{1}{2} \ln f(t) \Big|_0^T \right\} = \sqrt{\frac{f(T)}{f(0)}} \quad (2)$$

por lo cual

$$\Delta = \left[\frac{f(T)}{f(0)} \right]^{1/2} \int \mathcal{D}[z(t)] e^{+ \frac{i}{\hbar} \int_0^T dt \frac{1}{2} \dot{z}^2(t)} \quad (3)$$

Recordemos que como $y(0) = y(T) = 0$ entonces $z(0) = 0$ y $z(T)$ esté bien ligada por

$$z(T) + f(T) \int_0^T dt \frac{\dot{f}(t)}{f^2(t)} z(t) = 0 \quad (4)$$

Ahora bien podemos integrar (3) sobre $z(T)$ usando que cumpliremos (4) explícitamente pues

$$\begin{aligned} I &= \int dz(T) \delta \left[z(T) + f(T) \int_0^T dt \frac{\dot{f}(t)}{f^2(t)} z(t) \right] = \\ &= \frac{1}{2\pi\hbar} \int_{-\infty}^{+\infty} d\alpha \int dz(T) \exp \left\{ i \frac{\alpha}{\hbar} \left[z(T) + f(T) \int_0^T dt \frac{\dot{f}(t)}{f^2(t)} z(t) \right] \right\} \end{aligned}$$

y por tanto

$$\begin{aligned} \Delta &= \frac{1}{2\pi\hbar} \left[\frac{f(T)}{f(0)} \right]^{1/2} \int_{-\infty}^{+\infty} d\alpha \int dz(T) \int \mathcal{D}[z(t)] \exp \left\{ \frac{i}{\hbar} \int_0^T dt \frac{1}{2} \dot{z}^2(t) + \right. \\ &\quad \left. + i \frac{\alpha}{\hbar} \left[z(T) + f(T) \int_0^T dt \frac{\dot{f}(t)}{f^2(t)} z(t) \right] \right\} \end{aligned} \quad (5)$$

y esto puede escribirse

$$\Delta = \frac{1}{2\pi\hbar} \left[\frac{f(T)}{f(0)} \right]^{1/2} \int_{-\infty}^{+\infty} d\alpha \int dz(T) \int \mathcal{D}[z(t)] \exp \left\{ \int_0^T dt \left[\frac{i}{2\hbar} \dot{z}^2(t) + i \frac{\alpha}{\hbar} \frac{f(T)}{f(t)} \dot{z}(t) \right] \right\} \quad (6)$$

donde se ha tenido en cuenta que

$$\int_0^T dt \frac{f(T)}{f(t)} \dot{z}(t) = z(T) \frac{f(T)}{f(t)} \Big|_0^T + \int_0^T dt \frac{f(T) \dot{f}(t)}{f^2(t)} z(t) = z(T) + f(T) \int_0^T dt \frac{\dot{f}(t)}{f^2(t)} z(t)$$

Se tiene por tanto que calcular

$$\Delta = \frac{1}{2\pi\hbar} \left[\frac{f(T)}{f(0)} \right]^{1/2} \int_{-\infty}^{+\infty} d\alpha \int_{-\infty}^{+\infty} dz(T) \int_{Z(0)=0}^{\infty} \exp \left\{ \frac{i}{\hbar} \int_0^T dt \left[\frac{1}{2} \dot{z}^2(t) + \alpha \frac{f(T)}{f(t)} \dot{z}(t) \right] \right\} \quad (1)$$

La integración sobre caminos puede ahora realizarse fácilmente pues el Lagrangiano es cuadrático

$$L = \frac{1}{2} \dot{z}^2(t) + \alpha f(T) \frac{1}{f(t)} \dot{z}(t) \quad (2)$$

y la ecuación clásica del movimiento es

$$\ddot{z}(t) = -\alpha f(T) \frac{d}{dt} \frac{1}{f(t)} \quad (3)$$

Debemos ahora buscar soluciones con $z(0)=0$ y $z(T)$. Esta es

$$z(t) = \frac{z(T)}{T} t + \alpha t \frac{f(T)}{T} \int_0^T dt' \frac{1}{f(t')} - \alpha f(T) \int_0^t dt' \frac{1}{f(t')} \quad (4)$$

$$\therefore \ddot{z}(t) = \frac{z(T)}{T} + \alpha \frac{f(T)}{T} \int_0^T dt' \frac{1}{f(t')} - \alpha f(T) \frac{1}{f(t')} \quad (5)$$

y planteando la ecuación clásica es

$$\begin{aligned} S_{cl} &= \int_0^T dt \left[\frac{1}{2} \dot{z}^2(t) + \alpha \frac{f(T)}{f(t)} \dot{z}(t) \right] = \\ &= \frac{T}{2} \left[\frac{z(T)}{T} + \alpha \frac{f(T)}{T} \int_0^T dt \frac{1}{f(t)} \right]^2 - \frac{1}{2} \alpha^2 \int_0^T dt \frac{f^2(T)}{f^2(t)} \end{aligned} \quad (6)$$

De aquí:

$$\Delta = \frac{1}{2\pi\hbar} \left[\frac{f(T)}{f(0)} \right]^{1/2} \int_{-\infty}^{+\infty} d\alpha \int_{-\infty}^{+\infty} dz(T) F(T) e^{\frac{i}{\hbar} S_{cl}} \quad F(T) = (2\pi\hbar T)^{-1/2} \quad (7)$$

La integración sobre $Z(T)$ es inmediata

$$\Delta = \frac{1}{2\pi\hbar} \left[\frac{f(T)}{f(0)} \right]^{1/2} \int_{-\infty}^{+\infty} d\alpha \exp \left\{ -\frac{i}{2\hbar} \alpha^2 \int_0^T dt \frac{f^2(T)}{f^2(t)} \right\} \quad (8)$$

luego mediante nueva integración

$$\Delta = \left[\frac{f(T)}{f(0)} \right]^{1/2} \left[\frac{i}{2\pi\hbar} \right]^{1/2} \left[\int_0^T dt \frac{f^2(T)}{f^2(t)} \right]^{-1/2} \quad (9)$$

Este es

$$\Delta = \sqrt{\frac{c}{2\pi\hbar}} \left\{ f(0) f(T) \int_0^T dt \frac{1}{f^2(t)} \right\}^{-1/2} \quad (1)$$

Quisiéramos ahora transformar esta expresión. La solución general de (5.5) es

$$f(t) = \left\{ \alpha \int_0^t dt' \frac{1}{\dot{x}_{cl}^2(t')} + \beta \right\} \dot{x}_{cl}(t) \quad (2)$$

donde α y β son constantes cualesquiera, como se puede ver sustituyendo en (5.5) y teniendo en cuenta (4.5). No solos tomaremos en particular $\alpha=0$, $\beta=1$. Teniendo en cuenta el carácter periódico de la solución clásica

$$f(T) = f(0) = \dot{x}_{cl}(0) \quad (3)$$

Recordemos que la trayectoria clásica debe cumplir $x_{cl}(0) = x_{cl}(T) = x_0$. Démonos cuenta, sin embargo, que el periodo no es necesariamente T , sino que puede ser T/m , donde m es un número entero positivo arbitrario. Entonces

$$\begin{aligned} \int_0^T dt \frac{1}{f^2(t)} &= \int_0^T dt [\dot{x}_{cl}(t)]^2 = 2m \int_{x_-}^{x_+} dx_{cl} [\dot{x}_{cl}(t)]^2 = \\ &= 2m \int_{x_-}^{x_+} dx_{cl} [2(E_{cl} - V)]^{-3/2} \end{aligned} \quad (4)$$

donde x_{\pm} son los puntos de rotación. Mas aún

$$T = 2m \int_{x_-}^{x_+} dx_{cl} [2(E_{cl} - V)]^{-1/2} \quad (5)$$

y de tanto

$$\frac{dT}{dE} = -2m \int_{x_-}^{x_+} dx_{cl} [2(E_{cl} - V)]^{-3/2} \quad (6)$$

comparando (4) y (6) se obtiene

$$\Delta^{(m)} = \sqrt{\frac{c}{2\pi\hbar}} \frac{1}{\dot{x}_{cl}(0)} \left| \frac{dE_{cl}}{dT} \right|^{1/2} \quad (7)$$

donde $x(0)$ es el punto inicial y final de todos los comunes. En validez la fórmula (7) no es correcta pues en cada punto de rotación se produce un desfase de $\pi/2$ (J. B. KELLER, Ann. of Phys. (N.Y.) 4, 180 (1958)) y finalmente resulta

$$\Delta^{(m)} = \sqrt{\frac{c}{2\pi\hbar}} \left| \frac{1}{\dot{x}_{\alpha}(0)} \right| \left| \frac{dE_{\alpha}}{dT} \right|^{1/2} e^{-im\theta} \quad (1)$$

y por tanto $G(T)$, dada en (5.2) puede escribirse

$$G(T) \approx \sqrt{\frac{c}{2\pi\hbar}} \sum_{m=1}^{\infty} \int dx_{\alpha}(0) \frac{1}{\dot{x}_{\alpha}(0)} \left| \frac{dE_{\alpha}}{dT} \right|^{1/2} e^{\frac{c}{\hbar} [S_{\alpha}^{(m)}(T) - mn\hbar]} \quad (2)$$

Sobre una órbita cerrada $S_{\alpha}^{(m)}(T)$ y $|dE_{\alpha}|/dT$ son independientes del punto de partida y la integración sobre $x_{\alpha}(0)$ es inmediata

$$\int dx_{\alpha}(0) \frac{1}{\dot{x}_{\alpha}(0)} = 2 \int_{x_-}^{x_+} dx_{\alpha}(0) \frac{1}{\dot{x}_{\alpha}(0)} = \oint dt = \frac{T}{m} \quad (3)$$

Notemos que cada órbita se cuenta dos veces y no incluye su inversa temporal. Entonces

$$G(T) \approx \sqrt{\frac{c}{2\pi\hbar}} \sum_{m=1}^{\infty} \frac{T}{m} \left| \frac{dE_{\alpha}}{dT} \right|^{1/2} e^{\frac{c}{\hbar} [S_{\alpha}^{(m)}(T) - mn\hbar]} \quad (4)$$

y por tanto

$$G(E) \approx \sqrt{\frac{-c}{2\pi\hbar}} \sum_{m=1}^{\infty} \int_0^{\infty} dT \frac{1}{\hbar} \frac{T}{m} \left| \frac{dE_{\alpha}}{dT} \right|^{1/2} e^{\frac{c}{\hbar} [ET + S_{\alpha}^{(m)}(T) - mn\hbar]} \quad (5)$$

Indiquemos por $\tau \equiv T/m$ el período básico para todo, teniendo en cuenta $S_{\alpha}^{(m)}(T) = mS_{\alpha}(\tau)$ se obtiene

$$G(E) \approx \frac{1}{\hbar} \sqrt{\frac{-c}{2\pi\hbar}} \sum_{m=1}^{\infty} \int_0^{\infty} d\tau \sqrt{m}\tau \left| \frac{dE_{\alpha}}{d\tau} \right|^{1/2} \exp \left\{ \frac{cm}{\hbar} [E\tau + S_{\alpha}(\tau) - mn\hbar] \right\} \quad (5)$$

La integración sobre τ la faremos de nuevo por el método de lo que establecimos. El punto estacionario viene determinado por la condición

$$\frac{dS_{\alpha}(\tau)}{d\tau} = -E_{\alpha} = -E \quad (6)$$

que determina τ en función de E .

$$G(E) \approx \frac{1}{\hbar} \sqrt{\frac{-c}{2\pi\hbar}} \sum_{m=1}^{\infty} \sqrt{2\pi} \sqrt{m} \tau(E) \left| \frac{dE_{\alpha}}{d\tau} \right|^{1/2} e^{\frac{cm}{\hbar} [E\tau(E) + S_{\alpha}(\tau) - mn\hbar]} \left[-\frac{cm}{\hbar} \frac{\partial^2 S_{\alpha}}{\partial \tau^2} \right]^{-1/2} \quad (7)$$

de donde como $\partial^2 S_{\alpha} / \partial \tau^2 = -\partial E / \partial \tau$ no obtiene

$$G(E) \approx -\frac{c}{\hbar} \zeta(E) \sum_{n=1}^{\infty} (-1)^n e^{-\frac{cW(E)}{\hbar}} \quad \left. \right\} \quad (1)$$

$$W(E) \equiv S_{ce}(\zeta(E)) + E \zeta(E)$$

donde $W(E)$ es la función característica de Hamilton. La sumatoria puede valer inmediatamente y vale

$$G(E) \approx -\frac{c}{\hbar} \zeta(E) \frac{e^{-\frac{cW(E)}{\hbar}}}{1 + e^{-\frac{cW(E)}{\hbar}}} \quad (2)$$

Como hemos dicho antes los polos de esta función son las energías de los estados ligados y están situados en

$$W(E) = (2m+1)\pi\hbar \quad n = 0, 1, 2, \dots \quad (3)$$

que es la ecuación que determina la energía de los estados ligados. Teniendo en cuenta que

$$W = S_a + E \zeta = \int_0^x dt \left(\frac{M}{2} \dot{x}^2 - V + E \right) = M \int_0^x dt \dot{x}^2 = 2\sqrt{M} \int_{x_-}^{x_+} dx \sqrt{2M(E - V(x))}$$

y por tanto (3) se puede escribir

$$\int_{x_-}^{x_+} dx \sqrt{2M(E - V(x))} = (m + \frac{1}{2})\pi\hbar, \quad m = 0, 1, 2, \dots \quad (4)$$

que no es más que la aproximación W.B.K.

Esto completa la derivación del método W.B.K para obtener los niveles energéticos para un sistema unidimensional. En definitiva este resultado se puede obtener por métodos mucho más simples. Pero es precisamente el procedimiento que acabamos de presentar el que se generaliza fácilmente a sistemas con muchos grados de libertad y en particular a teorías de campo.

c) Si $V(x)$ tiene un mínimo en $x=a$, entonces la solución estática dada $x_a(t) = a$ es también periódica para todo periodo T . Aquí hemos considerando solo órbitas no límiteles al deducir (4). Perturbar alrededor de la órbita límite y mantener solo términos modulados es equivalente a lo que hicimos en el movimiento del oscilamiento doble. En aquel caso vimos que $G(T)$ era de orden $(\hbar)^0$ (ver (4.4)), mientras que para órbitas no límiteles $G(T)$ es de orden $1/\hbar$ (10.4). Por tanto

la contribución de las órbitas túnales es usualmente despreciable pues \hbar es pequeño. Sin embargo, cuando el acoplamiento es débil, los períodos de las órbitas son muy próximos a $2\pi/\omega$. Entonces la contribución de la órbita túnel (3.4) tiene un factor $1/\sin(\omega T/2)$ que es importante. ¿ Se debe ahora sumar las contribuciones de las órbitas túnales y no túnales? No. Esto sería conteo doble. Para el límite de acoplamiento débil (oscilador armónico puro), cuando se "perturba" alrededor de la órbita túnel y se mantienen términos cuadráticos se está resolviendo el problema de forma exacta, puesto que toda la acción es cuadrática en x y \dot{x} . No es necesario añadir contribuciones adicionales provenientes de órbitas no túnales. Otra forma de ver esto es darse cuenta que para un oscilador armónico, la acción para todos los caminos cerrados periódicos es lo mismo e igual a cero (Ver (I.8.4) con $x=x'$ y $\omega T=2\pi n$). Las distintas órbitas no túnales y la túnel no representan puntos estacionarios alrededor de la acción. En resumen, para acoplamiento fuerte se pueden ignorar las órbitas túnales mientras que para acoplamiento débil son las únicas que deben ser tenidas en cuenta.

(ii) La partícula libre es una aplicación sencilla del W.B.K. Puede parecer que porque no hay órbitas periódicas pues no hay potencial. Pero procedemos como es usual colocando la partícula en una caja de longitud L con condiciones frontera periódicas., lo cual es equivalente a ponerla en un anillo de circunferencia L . En este caso puede realizar un movimiento periódico girando una y otra vez. El periodo es $T = 2L/v$, y

$$E = \frac{1}{2} m v^2 , \quad S = \frac{1}{2} m v^2 T , \quad W(E) = S + E T = M v^2 T = 2L \sqrt{2mE}$$

Sin embargo ahora no se puede aplicar (II.3). El factor $e^{-imn} = (-1)^m$ de (10.3) que habrá dos puntos de rotación en cada órbita. Esto es cierto para el movimiento periódico en un pozo pero no en nuestro caso donde no hay puntos de rotación. Es fácil ver que la ley de cuantificación es ahora $W(E) = 2m\pi\hbar$ y por tanto los niveles energéticos son

$$E_m = \frac{\pi^2 \hbar^2}{2m L^2} \quad m = 1, 2, \dots$$

que es el resultado habitual.

(iii) En el tratamiento llevado a cabo se ha supuesto que para un ϵ dado hay una única órbita con este periodo por ciclo. Esta es la razón

por la que al pasar de (5.2) a (10.2) hemos reemplazado la suma sobre \int por una simple suma sobre n , esto es las múltiples repeticiones de la misma órbita. Este es usualmente el caso para potencias típicas siendo memorables con un solo pozo. Puedo haber más de una órbita con un periodo bólico dado, como por ejemplo en un pozo doble, sus contribuciones a $G(E)$ son adicionales. Habrá un nivel energético cuando un miembro de una u otra familia de órbitas satisfaga la condición (III.3). Por supuesto no es de esperar que los resultados van a parar cuando la energía sea cercana a la parte más alta que se para los dos pozos, es decir cuando la probabilidad de que la partícula salte de un pozo al otro sea efectivamente nula.

SERIE DE PERTURBACIONES

Comenzaremos en el marco de la Mecánica cuántica no relativista un problema descrito por el Hamiltoniano

$$H = H_0 + H_1$$

(1)

$$H_0 = \frac{1}{2} p^2 + \frac{1}{2} x^2 \quad H_1 = \frac{1}{g^2} [V(gx) - \frac{1}{2} g^2 x^2]$$

Supondremos que el potencial $V(x)$ tiene un mínimo nulo en $x=0$ y que

$$V(x) = \frac{1}{2} x^2 + O(x^3)$$

(2)

Si estudiámos este problema usando teoría de perturbaciones, la energía del estado fundamental se puede escribir

$$E_0(g) = \sum_{m=0}^{\infty} A_m g^{2m}$$

(3)

Quisiéramos encontrar un método para calcular el comportamiento dominante de A_m para $m \rightarrow \infty$.

En el caso en que

$$V(gx) \approx \frac{1}{2} g^2 x^2 + g^4 x^4$$

(4)

entonces $H_1 = g^2 x^4$, es decir un oscilador armónico perturbado con un término $g^4 x^4$. Un simple cálculo permite probar que

$$E_0(g) = \frac{1}{2} + \frac{3}{4} g^2 - \frac{21}{8} g^4 + \frac{333}{16} g^6 - \frac{30885}{128} g^8 + \dots$$

(5)

(Los A_m están relacionados con los B_m del libro de A. GALINDO y P. PASCUAL en la relación $A_m = 2^{m-1} B_m$). La serie anterior es asintótica, según lograron demostrar J. LOEFFEL, A. MARTIN, B. SIMON y A.S. WIGHTMAN [Phys. Lett. 30B, 656 (1969)] y B. SIMON [Ann. Phys. (N.Y.) 58, 76 (1970)]. Por otra parte C.H. BENDER y T.T. WU [Phys. Rev. 184, 1231 (1969)] lograron probar que

$$A_m \underset{m \rightarrow \infty}{\approx} (-1)^{m+1} m! 3^m \frac{1}{n} \sqrt{\frac{6}{\pi m}} \left(1 + O\left(\frac{1}{m}\right) \right)$$

(6)

Ejemplo (J. Zinn-Justin. "Topics in Quantum Field Theory and Gauge Theories" Springer 1978
Ed. J.A. de Azcarraga)

Vamos a considerar, en primer lugar, una integral simple que tiene una estructura similar a las integrales funcionales que deseamos estudiar:

$$Z(g) = \frac{1}{(2\pi)^{1/2}} \int_{-\infty}^{+\infty} dx \exp \left\{ - \left(\frac{x^2}{2} + g \frac{x^4}{4} \right) \right\} \quad (1)$$

Girando el contorno de integración en el plano x es fácil comprobar que $Z(g)$ es una función analítica en el plano cortado. Puede calcularse como serie de potencias de g .

Se tiene

$$Z(g) = 1 + \sum_{m=1}^{\infty} Z_m g^m \quad (2)$$

$$Z_m = \frac{(-1)^m}{m!} \frac{1}{4^m} \frac{1}{(2\pi)^{1/2}} \int_{-\infty}^{+\infty} dx x^{4m} e^{-\frac{1}{2}x^2}$$

Integral que se puede llevar a rango analíticamente con el resultado

$$Z_m = \frac{(-1)^m}{m!} \frac{1}{4^m} \Gamma(2m+1/2) \quad (3)$$

y por lo tanto la serie (2) es divergente para todos los valores de g . Es fácil sin embargo probar que la serie es asintótica en todo el plano cortado. Vamos ahora a determinar Z_m para $m \rightarrow \infty$ en el método de la fase estacionaria. Podemos escribir

$$Z_m = \frac{(-1)^m}{m!} \frac{1}{4^m} \frac{1}{(2\pi)^{1/2}} 2 \int_0^\infty dx \exp \left(-\frac{1}{2}x^2 + 4m \ln x \right) \quad (4)$$

El punto crítico es

$$-x_c + \frac{4m}{x_c} = 0 \Rightarrow x_c = 2\sqrt{m} \quad (5)$$

El hecho de que x_c crece con m es el responsable de la divergencia de la serie. Entonces

$$Z_m \approx \frac{(-1)^m}{m!} \frac{\sqrt{12}}{4^m} \exp \left\{ -2m + 2m \ln 4m \right\} \quad (6)$$

o equivalente

$$Z_m \approx \frac{(-1)^m}{2^m \sqrt{12}} 4^m \frac{m!}{m} \quad (7)$$

que es equivalente a (3) para $m \rightarrow \infty$. Recordad

$$\ln \Gamma(z) \sim (z - \frac{1}{2}) \ln z - z + \frac{1}{2} \ln(2\pi) + \dots \Leftrightarrow m! = \sqrt{2\pi m} e^{-m + m \ln m}$$

Para estimar Z_K hemos usado el hecho que podemos obtener una expresión integral explícita desarrollando $\exp(-gx^4/4)$. Veremos que esto no es necesario. En efecto podemos escribir

$$Z_m = \frac{1}{(2\pi)^{1/2}} \frac{1}{2\pi i} \int_{-\infty}^{+\infty} dx \left\{ \frac{dg}{g^{m+1}} \exp \left\{ -\left(\frac{1}{2}x^2 + \frac{1}{4}gx^4\right) \right\} \right\} \quad (1)$$

donde el contorno rodea el origen. Para grandes m podemos estimar Z_m buscando el punto de villa en los planos x y g . Las ecuaciones del punto de villa son

$$\begin{aligned} 1 + g_c x_c^2 &= 0 \\ \frac{m}{g_c} + \frac{x_c^4}{4} &= 0 \end{aligned} \quad \left. \right\} \quad (2)$$

que dan

$$x_c = \pm 2\sqrt{m}, \quad g_c = -\frac{1}{4m} \quad (3)$$

Noté que g_c es negativo y decrece como $1/m$. Es \mathbb{C} sera una condición general y crucial de nuestro análisis. Podemos ahora calcular la integral (1) usando (2.3). Se tiene

$$A = \begin{vmatrix} 2i & \mp 1.8m^{3/2} \\ \mp 1.8m^{3/2} & 16i m^3 \end{vmatrix}$$

de donde $\det A = 32m^3$ se obtiene por lo tanto

$$\begin{aligned} Z_m &\approx \frac{1}{\sqrt{2\pi}} \frac{1}{2\pi i} \left(\frac{2\pi}{i} \right) \frac{1}{(32m^3)^{1/2}} (-4m) \exp \left\{ -2m + m - m \ln(-1/4m) \right\} = \\ &= \frac{(-1)^m}{2\sqrt{\pi}} \frac{1}{\sqrt{m}} e^{-m + m \ln 4m} = \frac{(-1)^m}{2\sqrt{\pi}} \frac{1}{\sqrt{m}} e^{-m + m \ln m} 4^m = \\ &\approx \frac{(-1)^m}{2\sqrt{\pi}} \frac{1}{\sqrt{m}} 4^m \frac{m!}{\sqrt{m} 2\pi} \approx \frac{(-1)^m}{2\pi \sqrt{2}} 4^m \frac{m!}{m} \end{aligned}$$

que es el resultado obtenido antes.

También es posible calcular aproximaciones. En efecto consideremos la integral

$$I = 2 \int_0^\infty dx e^{-\frac{1}{2}x^2 + 2m \ln x^2}$$

$$I = \int_{-\infty}^{+\infty} dx e^{f(x)} \quad f(x) = -\frac{1}{2}x^2 + 2m \ln x^2$$

Los puntos de silla son

$$f'(x) = -x + \frac{4m}{x} = 0 \Rightarrow x_{\pm} = \pm 2\sqrt{m}$$

$$f(x_{\pm}) = -2m + 2m \ln 4m$$

$$f''(x_{\pm}) = -2$$

$$f'''(x_{\pm}) = \pm \frac{1}{\sqrt{m}}$$

$$f''''(x_{\pm}) = -\frac{3}{2m}$$

$$f(x) = -2m + 2m \ln 4m - (x - x_{\pm})^2 \pm \frac{1}{6\sqrt{m}} (x - x_{\pm})^3 - \frac{1}{16m} (x - x_{\pm})^4 + \dots$$

Por tanto

$$\begin{aligned} I &= \sum_{r=\pm} \int_{-\infty}^{+\infty} dx e^{-2m + 2m \ln 4m} e^{- (x - x_{\pm})^2} e^{\pm \frac{1}{6\sqrt{m}} (x - x_{\pm})^3} e^{- \frac{1}{16m} (x - x_{\pm})^4} + \dots \\ &= e^{-2m + 2m \ln 4m} \int_{-\infty}^{+\infty} dy e^{-y^2} \left\{ e^{+ \frac{1}{6\sqrt{m}} y^3 \mp \frac{1}{16m} y^4} + e^{- \frac{1}{6\sqrt{m}} y^3 \mp \frac{1}{16m} y^4} \right\} = \end{aligned}$$

$$\begin{aligned} &= 2e^{-2m + 2m \ln 4m} \int_{-\infty}^{+\infty} dy e^{-y^2} \left\{ 1 - \frac{1}{16m} y^4 + \frac{1}{72m} y^6 + \dots \right\} \\ &= 2e^{-2m + 2m \ln 4m} \sqrt{\pi} \left\{ 1 - \frac{1}{48m} + \dots \right\} \end{aligned}$$

y en lo tanto

$$z_m \simeq \frac{(-1)^m}{m!} \sqrt{\pi} e^{-2m} (2m)^{2m} \left\{ 1 - \frac{1}{48m} + \dots \right\}$$

Además

$$\ln \Gamma(2m + 1/2) = 2m \ln(2m + 1/2) - (2m + 1/2) + \frac{1}{2} \ln(2m) + \frac{1}{12(2m + 1/2)} + \dots$$

$$= 2m \ln 2m + \cancel{\frac{1}{2}} - \frac{1}{16m} - 2m - \cancel{\frac{1}{2}} + \frac{1}{2} \ln(2m) + \frac{1}{24m} + \dots$$

$$= 2m \ln 2m - 2m + \frac{1}{2} \ln(2m) - \frac{1}{48m} + \dots$$

$$\Gamma(2m + 1/2) = \sqrt{2m} e^{-2m} (2m)^{2m} \left\{ 1 - \frac{1}{48m} + \dots \right\}$$

que coincide con 14' al orden deseado.

Queremos obtener resultados análogos a (14.6) para la serie (14.5) para moléculas que después puedan ser fácilmente generalizables a teoría cuántica de campos. La energía del estado fundamental viene dada por

$$E_0 = E_0^{(0)} - \lim_{\beta \rightarrow \infty} \frac{1}{\beta} \ln \frac{\text{Tr } e^{-\beta H}}{\text{Tr } e^{-\beta H_0}} \quad (1)$$

dónde $E_0^{(0)}$ es la energía del estado fundamental del sistema no perturbado. En efecto

$$\begin{aligned} - \lim_{\beta \rightarrow \infty} \frac{1}{\beta} \ln \frac{\text{Tr } e^{-\beta H}}{\text{Tr } e^{-\beta H_0}} &= \lim_{\beta \rightarrow \infty} \frac{1}{\beta} \left\{ \ln \sum_m e^{-\beta E_m^{(0)}} - \ln \sum_m e^{-\beta E_m} \right\} \\ &= \lim_{\beta \rightarrow \infty} \frac{1}{\beta} \left\{ \ln e^{-\beta E_0^{(0)}} [1 + \sum_m' e^{-\beta (E_m^{(0)} - E_0^{(0)})}] - \ln e^{-\beta E_0} [1 + \sum_m' e^{-\beta (E_m - E_0)}] \right\} \end{aligned}$$

dónde la primera indica que la suma no incluye el estado fundamental. Como $E_m^{(0)} - E_0^{(0)} > 0$, $E_m - E_0 > 0$ para $m \neq 0$ se obtiene inmediatamente (1). De acuerdo con los métodos de las integrales de caminos

$$\begin{aligned} \text{Tr } e^{-\beta H} &= \int_{-\infty}^{+\infty} dx_0 \langle x_0 | e^{-\beta H} | x_0 \rangle = \\ &= \int_{-\infty}^{+\infty} dx_0 \int \mathcal{D}[x(\tau)] \exp \left\{ - \int_0^\beta d\tau \left[\frac{1}{2} \dot{x}^2(\tau) + \frac{1}{g^2} V(gx) \right] \right\} \end{aligned} \quad (2)$$

dónde la última integral es la acción Euclídea. Tener en cuenta que la integración sobre caminos debe hacerse para los caminos $x(0) = x(\beta) = x_0$. Entonces podemos escribir

$$\frac{\text{Tr } e^{-\beta H}}{\text{Tr } e^{-\beta H_0}} = W \int dx_0 \int \mathcal{D}[x(\tau)] e^{- \int_0^\beta d\tau \left[\frac{1}{2} \dot{x}^2 + \frac{1}{g^2} V(gx) \right]} \quad (3)$$

dónde W es tal que el segundo miembro se reduce a 1 cuando $H = H_0$. Veamos ahora como podemos usar (3) para hallar las cantidades de interés. Consideremos

$$F(g) = \sum_{m=0}^{\infty} S_m g^m \quad (4)$$

entonces

$$S_m = \frac{1}{2\pi i} \oint dg \frac{F(g)}{g^{m+1}} \quad (5)$$

donde el contorno de integración es un círculo alrededor del origen recorrido en sentido positivo. En efecto

$$\begin{aligned} \frac{1}{2\pi i} \oint dg \frac{F(g)}{g^{m+1}} &= \frac{1}{2\pi i} \sum_{k=0}^{\infty} S_k \oint dg \frac{1}{g^{m+1-k}} = \\ &= \frac{1}{2\pi i} \sum_{k=0}^{\infty} S_k \int_0^{2\pi} \frac{|\lg| e^{i\theta}}{|\lg|^{m+1-k}} e^{i(m+1-k)\theta} = \frac{1}{2\pi} \sum_{k=0}^{\infty} S_k \frac{1}{|\lg|^{m-k}} \int_0^{2\pi} d\theta e^{i(k-m)\theta} = \\ &= \frac{1}{2\pi} \sum_{k=0}^{\infty} S_k \frac{1}{|\lg|^{m-k}} 2\pi \delta_{mk} = S_m \end{aligned}$$

Q.E.D.

En términos teniendo en cuenta este resultado así como la ecuación (15.3) se obtiene inmediatamente que el término m del desarrollo de $\text{Tr } e^{-\beta H} / \text{Tr } e^{-\beta H_0}$ es

$$\left[\frac{\text{Tr } e^{-\beta H}}{\text{Tr } e^{-\beta H_0}} \right]^{(m)} = \frac{W}{2\pi i} \oint \frac{dg^2}{(g^2)^{m+1}} \int dx_0 \int d\theta [x(\theta)] e^{- \int_0^\beta d\tau \left[\frac{1}{2} \dot{x}^2 + \frac{1}{g^2} V(gx) \right]} \quad (1)$$

que está claramente relacionado con A_m dada en (14.3). Es necesario ahora calcular el comportamiento de (1).

i) Caso $V(gx) = \frac{1}{2} g^2 x^2 + g^4 x^4$

Por razones didácticas haremos primero este caso y después progresivamente al caso general. Seguiremos básicamente E. BREZIN, J.C. LE GUILLOU y J. ZINN-JUSTIN [Phys. Rev. D 15, 1544 (1977)] si bien muchas de las técnicas dadas allí se pueden encontrar en J.S. LANGER [Ann. Phys. (N.Y.) 41 (108) (1967)]. Ahora la ecuación (1) se puede escribir:

$$\left[\frac{\text{Tr } e^{-\beta H}}{\text{Tr } e^{-\beta H_0}} \right]^{(m)} = \frac{W}{2\pi i} \int dx_0 \int d\theta [x(\theta)] e^{- \int_0^\beta d\tau \left[\frac{1}{2} \dot{x}^2 + \frac{1}{2} x^2 \right]} \oint \frac{dg^2}{(g^2)^{m+1}} e^{- g^2 \int_0^\beta dt x^4} \quad (2)$$

Empecemos considerando la integral

$$I_m(B) \approx \frac{1}{2\pi i} \oint \frac{dg}{g^{m+1}} e^{-gB} \quad (3)$$

Basando a plazas

$$\begin{aligned}
 I_m(B) &= \frac{1}{2\pi i} \int_0^{2\pi} d\theta e^{i\theta} i|g| \frac{e^{-im\theta}}{|g|^{m+1} e^{i\theta}} e^{-B|g| e^{i\theta}} = \\
 &= \frac{i}{2\pi |g|^m} \int_0^{2\pi} d\theta e^{-B|g| \cos\theta} e^{-i(B|g| \sin\theta + m\theta)} = \\
 &= \frac{i}{2\pi |g|^m} \left\{ \int_0^{2\pi} d\theta e^{-iB \sin\theta} \cos(m\theta + B|g| \sin\theta) - i \int_0^{2\pi} d\theta e^{-iB \sin\theta} \sin(m\theta + B|g| \sin\theta) \right\}
 \end{aligned}$$

La segunda integral es nula y por tanto

$$I_m(B) = \frac{i}{2\pi |g|^m} \int_0^{2\pi} d\theta e^{-iB \sin\theta} \cos(m\theta + B|g| \sin\theta)$$

Usando G.H. 337. 14a (p. 155) se obtiene

$$I_m(B) = \frac{(-i)^m}{m!} B^m$$

Desarrollo del resultado

$$\left[\frac{\text{Tr } e^{-\beta H}}{\text{Tr } e^{-\beta H_0}} \right]^{(m)} = \frac{(-i)^m}{m!} \mathcal{N} \int dx_0 \int \mathcal{D}[x(\tau)] e^{-\int_0^\beta d\tau \left[\frac{1}{2} \dot{x}^2 + \frac{1}{2} x^2 \right]} \left(\int_0^\beta d\tau x^4 \right)^m$$

que puede escribirse

$$\left[\frac{\text{Tr } e^{-\beta H}}{\text{Tr } e^{-\beta H_0}} \right]^{(m)} = \frac{(-i)^m}{m!} \mathcal{N} \int dx_0 \int \mathcal{D}[x(\tau)] e^{-S_E[x(\tau)]}$$

$$S_E[x(\tau)] = \int_0^\beta d\tau \frac{1}{2} (\dot{x}^2 + x^2) - m \ln \int_0^\beta d\tau x^4$$

donde recordemos que los caminos deben ser tales que $x(0) = x(\beta) = x_0$. Podremos a calcular ahora esta integral en la aproximación de fase estacionaria. En primer lugar debemos hallar las trayectorias estacionarias del tipo considerado. Para calcular las trayectorias consideremos

$$\begin{aligned}
 \delta S_E[x(\tau)] &\equiv S[x+\eta] - S[x] = \int_0^\beta d\tau \frac{1}{2} [(\dot{x}+\dot{\eta})^2 + (x+\eta)^2 - \dot{x}^2 - x^2] - m \ln \int_0^\beta d\tau (x+\eta)^4 + m \int_0^\beta d\tau x^4 = \\
 &= \int_0^\beta d\tau [\dot{x}\dot{\eta} + \eta x] - m \ln \left\{ 1 + 4 \frac{\int_0^\beta d\tau x^3 \eta}{\int_0^\beta d\tau x^4} \right\} + O(\eta^2) =
 \end{aligned}$$

$$\begin{aligned}
 &= \int_0^B dz [\dot{x} \dot{\eta} + x \eta] - 4m \frac{\int_0^B dz x^3 \eta}{\int_0^B dz x^4} = \int_0^B dz [\dot{x} \dot{\eta} + x \eta - \frac{4m x^3 \eta}{\int_0^B dz x^4}] = \\
 &= \int_0^B dz \left\{ - \ddot{x} + x - \frac{4m x^3}{\int_0^B dz x^4} \right\} \eta
 \end{aligned}$$

y de tanto

$$\frac{\delta S}{\delta x} = - \ddot{x} + x - \frac{4m x^3}{\int_0^B dz x^4} \quad (1)$$

La ecuación que determina las trayectorias que hacen la acción extrema es pues

$$\ddot{x}(z) = x - \frac{4m}{I[x]} x^3 \quad (2)$$

$$I[x] \equiv \int_0^B dz x^4(z)$$

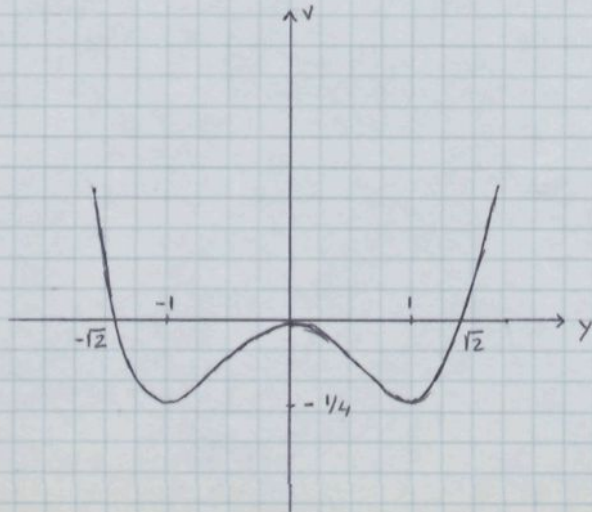
Otra forma muy útil de visualizar las soluciones de (2) es darse cuenta que describen la "posición" x , como una función del "tiempo" z para una partícula de masa unitaria que se mueve en un potencial $-x^2/2 + mx^4/I$. Es útil introducir

$$y(z) = \left[\frac{4m}{I(x)} \right]^{1/2} x(z) \quad (3)$$

y entonces (2) se escibe

$$\ddot{y}(z) = y(z) - y^3(z) \quad (4)$$

Con esto ahora el potencial es $-y^2/2 + y^4/4$, que está representado en la figura



Teniendo en cuenta (17.1) es evidente que el máximo de S , es decir el máximo

del integrando ocurre para $x=0$, esto es $y=0$, con $\dot{x}=0$. Debido a la forma del potencial pueden aparecer soluciones acotadas no triviales. Las soluciones que nos interesan son aquellas en las que la energía de la partícula es cero nula, de forma que ésta se halla en $y=0$ durante la mayor parte del tiempo β , después hace una breve excursión a $y=\pm\sqrt{2}$ y vuelve al origen. (Endemontre el punto donde se inicia la trayectoria es arbitrario). La ley de conservación de la energía da

$$\frac{1}{2} \dot{y}^2(\tau) - \frac{1}{2} y^2(\tau) + \frac{1}{4} y^4(\tau) = E \quad (1)$$

y para $E=0$

$$\sqrt{2} \dot{y}(\tau) = \sqrt{-y^4(\tau) + 2y^2(\tau)} \quad (2)$$

i.e.

$$\tau - \tau_0 = \sqrt{2} \int_{y_0}^y dy \frac{1}{\sqrt{2-y^2}} \quad (3)$$

Entonces G.H. 231-10a (p.38) obtenemos

$$\tau - \tau_0 = \ln \left\{ \frac{\sqrt{2} - \sqrt{2-y^2}}{y} \frac{y_0}{\sqrt{2-y_0^2}} \right\}$$

y eligiendo $y(\tau_0) = \sqrt{2}$ entonces

$$\tau - \tau_0 = \ln \left\{ \frac{\sqrt{2} - \sqrt{2-y^2}}{y} \right\}$$

Las soluciones deseadas son pues

$$\begin{aligned} y_c(\tau) &= \pm y_0 (\tau - \tau_0) \\ y_0(\tau) &= \frac{\sqrt{2}}{\cosh \tau} \end{aligned} \quad \left. \right\} \quad (4)$$

El punto crucial de las soluciones (4) es que son las únicas para las que $S_E[x]$ es comparable a $S_E[0]$ en el límite termodinámico $\beta \rightarrow \infty$, esto es $S[x_c] \propto \beta^0$. Si hubiéramos elegido funciones correspondientes a energías no nulas habríamos obtenido valores de $S[x] \propto \beta$ y por tanto valores de la integral funcional enormemente pequeños frente al considerado.

Es necesario ahora calcular $S_E[x_c]$. Recuérdese que (17.1) tiene sólo caminos que cumplen $x(t_0) = x(t_0 + \beta)$. En el límite de grandes β la solución (3) cumple

esta condición si se toman las integrales en un intervalo simétrico muy largo centrado en $t=0$. Es útil definir

$$J \equiv \lim_{\beta \rightarrow \infty} \int_{-\beta/2}^{\beta/2} d\tau y_0^4(\tau) \quad (1)$$

Entonces

$$J = \int_{-\infty}^{+\infty} d\tau \frac{4}{\cosh^4 \tau} = 64 \int_{-\infty}^{+\infty} d\tau (e^\tau + e^{-\tau})^{-4} = \frac{16}{3} \quad (2)$$

según G.H. 31L. 9 (p. 53). De (18.2) y (18.3) se obtienen, usando (1), que

$$I[x_0] = \frac{16 m^2}{J} \quad (3)$$

y para lo tanto

$$x_0(\tau) = \left[\frac{4m}{J} \right]^{1/2} y_c(\tau) \quad (4)$$

con lo cual

$$S[x_c] = \frac{4m}{J} \lim_{\beta \rightarrow \infty} \int_{-\beta/2}^{\beta/2} d\tau \frac{1}{2} [\dot{y}_0^2(\tau) + y_0^2(\tau)] - m \ln \frac{16 m^2}{J} \quad (5)$$

Como

$$\dot{y}_0^2(\tau) + y_0^2(\tau) = 16 \frac{e^{2\tau} + e^{-2\tau}}{(e^\tau + e^{-\tau})^4}$$

se obtiene

$$\int_{-\infty}^{+\infty} d\tau [\dot{y}_0^2(\tau) + y_0^2(\tau)] = 16 \int_{-\infty}^{+\infty} d\tau \frac{e^{2\tau} + e^{-2\tau}}{(e^\tau + e^{-\tau})^4} = 32 \int_{-\infty}^{+\infty} d\tau \frac{e^{2\tau}}{(e^\tau + e^{-\tau})^4}$$

y usando G.H. 31L. 9 (p. 53) resulta que el valor de este integral es $16/3$. Así tenemos

$$S[x_0] = \frac{4m}{J} \frac{1}{2} \frac{16}{3} - m \ln \frac{16 m^2}{J}$$

y como $J = 16/3$ se obtiene

$$S[x_0] = 2m - 2m \ln(4m) + m \ln J \quad (6)$$

Debemos ahora comprobar si x_c es realmente un máximo del integrando, $\exp(-S[x])$, en el espacio funcional. Para contestar a esta pregunta escribiremos

$$x(\tau) = x_0(\tau) + v(\tau) \quad (7)$$

y desarrollaremos $S[x(\tau)]$ hasta términos cuadráticos, incluidos:

$$\begin{aligned} S[x(\tau)] &= \int_0^\beta d\tau \frac{1}{2} [(\dot{x}_o + \ddot{\vartheta})^2 + (x_o + v)^2] - m \ln \int_0^\beta d\tau (x_o + v)^4 = \\ &= S[x_c] + \int_0^\beta d\tau [\dot{x}_o \ddot{v} + x_c v + \frac{1}{2} (\dot{v}^2 + v^2)] - m \ln \left[1 + \frac{4}{I} \int_0^\beta d\tau x_o^3 v + \frac{6}{I} \int_0^\beta d\tau x_o^2 v^2 \right] \\ &= S[x_c] + \int_0^\beta d\tau \frac{1}{2} (\dot{v}^2 + v^2) - \frac{6m}{I} \int_0^\beta d\tau x_o^2 v^2 + \frac{8m}{I^2} \int_0^\beta d\tau x_o^3 v \int_0^\beta d\tau' x_o^3 v \end{aligned}$$

Usando (20.2), (20.3) y (20.4) se obtiene

$$S[x(\tau)] = S[x_o(\tau)] + \int_0^\beta d\tau \frac{1}{2} (\dot{v}^2 + v^2) - \frac{3}{2} \int_0^\beta d\tau y_o^2 v^2 + \frac{2}{J} \int_0^\beta d\tau y_o^3 v \int_0^\beta d\tau' y_o^3 v$$

Observamos que los términos lineales en v han desaparecido. Se tiene finalmente

$$\begin{aligned} S[x_c(\tau) + v(\tau)] &= S[x_o(\tau)] + \frac{1}{2} \int_0^\beta d\tau_1 \int_0^\beta d\tau_2 v(\tau_1) M(\tau_1, \tau_2) v(\tau_2) \\ M(\tau_1, \tau_2) &= \delta(\tau_1 - \tau_2) \left[-\frac{d^2}{d\tau^2} + 1 - \frac{6}{\cosh^2 \tau_1} \right] + \frac{4}{J} y_o^3(\tau_1) y_o^3(\tau_2) \end{aligned} \quad \left. \right\} \quad (1)$$

Para resolver este problema debemos empezar encontrando los valores propios y funciones propias de

$$-\frac{d^2 \psi}{dx^2} - \frac{\lambda(\lambda+1)}{\cosh^2 x} \psi = \omega \psi \quad (2)$$

Introducimos

$$\xi = khx, \quad \psi(x) = \phi(\xi) \quad (3)$$

y entonces la ecuación anterior se escribe como

$$(1 - \xi^2) \frac{d^2 \phi}{d\xi^2} - 2\xi \frac{d\phi}{d\xi} + \lambda(\lambda+1) \phi + \frac{\omega}{1 - \xi^2} \phi = 0 \quad (4)$$

Si ahora

$$\phi(\xi) = (1 - \xi^2)^{-i\sqrt{\omega}/2} \varphi(\xi) \quad (5)$$

obtenemos

$$(1 - \xi^2) \frac{d^2 \varphi}{d\xi^2} - 2\xi(1 - i\sqrt{\omega}) \frac{d\varphi}{d\xi} + [i\sqrt{\omega} + \omega + \lambda(\lambda+1)] \varphi = 0 \quad (6)$$

Introducimos ahora

$$\xi = 1 - 2t, \quad \varphi(t) = \varphi(\xi) \quad (7)$$

Entonces

$$t(t-1) \frac{d^2 n(t)}{dt^2} + (1 - c\sqrt{\omega})(1-2t) \frac{dn(t)}{dt} + [\omega + c\sqrt{\omega} + \lambda(\lambda+1)]n(t) = 0 \quad (1)$$

que es una ecuación diferencial hipergeométrica (A.S. p. 562) con

$$a = -\lambda - c\sqrt{\omega} \quad b = \lambda - c\sqrt{\omega} + 1 \quad c = -c\sqrt{\omega} + 1 \quad (2)$$

y para tanto la solución buscada es

$$\begin{aligned} \phi(\xi) &= A(1-\xi^2)^{-c\sqrt{\omega}/2} F[-c\sqrt{\omega} - \lambda, -c\sqrt{\omega} + \lambda + 1, 1 - c\sqrt{\omega}; \frac{1}{2}(1-\xi)] + \\ &+ B(1-\xi^2)^{-c\sqrt{\omega}/2} \left(\frac{1-\xi}{2}\right)^{c\sqrt{\omega}} F[-\lambda, \lambda + 1, 1 + c\sqrt{\omega}; \frac{1}{2}(1-\xi)] \end{aligned} \quad (3)$$

Si consideramos ahora los estados ligados, esto es $\omega < 0$ y tenemos $\sqrt{\omega} = i\sqrt{|\omega|}$. Puesto que

$$\frac{1-\xi}{2} \xrightarrow[x \rightarrow \infty]{} e^{-2x} \quad 1-\xi^2 \xrightarrow[x \rightarrow \infty]{} 4e^{-2x} \quad (4)$$

se tiene

$$\phi(\xi) \xrightarrow[x \rightarrow \infty]{} A \frac{i\sqrt{|\omega|}/2}{e^{-\sqrt{|\omega|}x}} + B \frac{i\sqrt{|\omega|}/2}{e^{-\sqrt{|\omega|}x}} + 2\sqrt{|\omega|}x \quad (5)$$

y para tanto $B = 0$, con lo cual para los estados ligados

$$\phi(\xi) = A(1-\xi^2)^{-\sqrt{|\omega|}/2} F[\sqrt{|\omega|} - \lambda, \sqrt{|\omega|} + \lambda + 1, 1 + \sqrt{|\omega|}; \frac{1}{2}(1-\xi)] \quad (6)$$

Para estudiar el comportamiento en $x \rightarrow -\infty$, escribimos (A.S. 15.3.6. p 559)

$$\begin{aligned} \phi(\xi) &= A(1-\xi^2)^{\sqrt{|\omega|}/2} \left\{ \frac{\Gamma(1+\sqrt{|\omega|}) \Gamma(-\sqrt{|\omega|})}{\Gamma(1+\lambda) \Gamma(-\lambda)} F[\sqrt{|\omega|} - \lambda, \sqrt{|\omega|} + \lambda + 1; \sqrt{|\omega|} + 1; \frac{1+\xi}{2}] \right. \\ &\quad \left. + \left(\frac{1+\xi}{2}\right)^{-\sqrt{|\omega|}} \frac{\Gamma(1+\sqrt{|\omega|}) \Gamma(\sqrt{|\omega|})}{\Gamma(\sqrt{|\omega|} - \lambda) \Gamma(\sqrt{|\omega|} + \lambda + 1)} F[1 + \lambda, -\lambda, 1 - \sqrt{|\omega|}; \frac{1+\xi}{2}] \right\} \end{aligned} \quad (7)$$

y uno

$$\frac{1}{2}(1+\xi) \xrightarrow[x \rightarrow -\infty]{} e^{2x} \quad 1-\xi^2 \xrightarrow[x \rightarrow -\infty]{} 4e^{2x}$$

resulta

$$\phi(\xi) \xrightarrow[x \rightarrow -\infty]{} A e^{\sqrt{|\omega|}/2} e^{\sqrt{|\omega|}x} \left\{ \frac{\Gamma(1+\sqrt{|\omega|}) \Gamma(-\sqrt{|\omega|})}{\Gamma(1+\lambda) \Gamma(-\lambda)} + e^{-2\sqrt{|\omega|}x} \frac{\Gamma(1+\sqrt{|\omega|}) \Gamma(\sqrt{|\omega|})}{\Gamma(\sqrt{|\omega|} - \lambda) \Gamma(\sqrt{|\omega|} + \lambda + 1)} \right\}$$

y para tanto las energías de los estados ligados vienen dadas

$$\frac{\Gamma(1+\sqrt{|\omega|}) \Gamma(\sqrt{|\omega|})}{\Gamma(\sqrt{|\omega|} - \lambda) \Gamma(\sqrt{|\omega|} + \lambda + 1)} = 0 \quad (8)$$

Si $\lambda > 0$, esta condición es equivalente a

$$\sqrt{w_1} - \lambda = -m, \quad m = 0, 1, 2, \dots \quad (1)$$

Se obtiene por lo tanto que las funciones propias y valores propios de (21.2) son

$$\left. \begin{aligned} \Psi_m(x) &= A [\cosh x]^{m-\lambda} F[-m, -m+2\lambda+1, -m+\lambda+1; \frac{1}{2}(1-\tanh x)] \\ w_m &= -(m-\lambda)^2 \end{aligned} \right\} \quad n = 0, 1, 2, \dots < \lambda \quad (2)$$

En el caso de interés para nosotros $\lambda = 2$ y en este caso solo hay dos estados ligados que, debidamente normalizados son

$$\left. \begin{aligned} \Psi_0(x) &= \frac{\sqrt{3}}{2} \frac{1}{\cosh^2 x} & w_0 &= -4 \\ \Psi_1(x) &= \frac{\sqrt{3}}{2} \frac{\sinh x}{\cosh^2 x} & w_1 &= -1 \end{aligned} \right\} \quad \lambda = 2 \quad (3)$$

Comenzamos ya estas soluciones correspondientes a los estados ligados volviendo de nuevo a (21.1). Indiquemos por $\{v_\alpha(\epsilon)\}$ las funciones propias de la ecuación de Schrödinger (21.2), que se forman que forman un conjunto ortogonal completo. Entonces $v(\epsilon)$ se puede escribir

$$v(\epsilon) = \sum_{\alpha} \bar{f}_{\alpha} v_{\alpha}(\epsilon) \quad (4)$$

y de tanto

$$S[x_0 + v] = S[x_c] + \sum_{\alpha} \frac{1}{2} (w_{\alpha} + 1) \bar{f}_{\alpha}^2 + \frac{2}{J} \left[\sum_{\alpha} \bar{f}_{\alpha} \int_0^{\beta} d\epsilon y_{\alpha}^3(\epsilon) v_{\alpha}(\epsilon) \right]^2 \quad (5)$$

donde w_{α} es el valor propio correspondiente a $v_{\alpha}(\epsilon)$. En las direcciones \bar{f}_{α} correspondientes a $w_{\alpha} > 0$ (continuo) es evidente que $S[x_c + v] > S[x_c]$. Consideremos los casos $w_{\alpha} < 0$; teniendo en cuenta (3) obtenemos inmediatamente ($J \geq 16/3$)

$$\begin{aligned} S[x_0 + v_0] &= S[x_0] - \frac{3}{2} + \frac{9}{4} \left[\int_{-\infty}^{+\infty} d\epsilon \frac{1}{\cosh^5 \epsilon} \right]^2 \\ S[x_0 + v_1] &= S[x_0] + \frac{9}{2} \left[\int_{-\infty}^{+\infty} d\epsilon \frac{\sinh \epsilon}{\cosh^5 \epsilon} \right]^2 \end{aligned} \quad (6)$$

Las integrales se pueden calcular fácilmente (G.H. Bill. 10 p 53) con el resultado

$$S[x_0 + v_0] = S[x_0] - \frac{3}{2} + \frac{81 \pi^2}{256} > S[x_c] \quad (2)$$

$$S[x_0 + v_1] = S[x_0]$$

Por tanto el segundo estado ligado, $v_1(z)$, describe una disociación en el espacio funeral a lo largo de lo que el integrando permanece constante. Que debe originarse una solución de este tipo es evidente por el hecho de que la elección de z_0 en (19.4) es arbitraria. Entonces el desplazamiento en el espacio de funciones del punto

$$x_0(z) = \sqrt{\frac{3m}{2}} \frac{1}{\cosh z} \quad \text{y} \quad x_0'(z) = \sqrt{\frac{3m}{2}} \frac{1}{\cosh(z+z_0)} \quad (1)$$

debe dejar $S[x_0]$ invariante. Notemos que

$$\begin{aligned} \delta x_0(z) &\equiv x_0'(z) - x_0(z) = \sqrt{\frac{3m}{2}} \left\{ \frac{1}{\cosh(z+z_0)} - \frac{1}{\cosh z} \right\} = -\sqrt{\frac{3m}{2}} \frac{\sinh z}{\cosh^2 z} z_0 + O(z_0^2) = \\ &= -\sqrt{m} v_1(z) z_0 + O(z_0^2) \end{aligned} \quad (2)$$

La proporcionalidad de $dx_0(z)/dz$ y $v_1(z)$ se puede obtener por comparación directa de (23.3) y (19.4). Mas aún podemos ver que $dx_0(z)/dz$ debe ser un estado propio de la ecuación de Schrödinger (21.2) con valor propio -1 , para ello basta diferenciar la ecuación (18.2)

$$\frac{d^2}{dz^2} \left[\frac{dx_0}{dz} \right] = \left[\frac{dx_0}{dz} \right] - \frac{12m x_0^2}{I} \left[\frac{dx_0}{dz} \right]$$

que es totalmente equivalente a

$$\left[-\frac{d^2}{dz^2} - \frac{6}{\cosh^2 z} \right] \frac{dx_0}{dz} = - \frac{dx_0}{dz} \quad (3)$$

Antes de continuar vamos a derivar un resultado que necesitaremos en el futuro. Queremos calcular

$$\frac{\det(\lambda I - z)}{\det(\lambda I_0 - z)}, \quad \lambda = \lambda_0 - \frac{\lambda(\lambda+1)}{\cosh^2 x} \quad \lambda_0 = -\frac{d^2}{dx^2} \quad (4)$$

Podemos escribir

$$\frac{\det(\lambda I - z)}{\det(\lambda I_0 - z)} = \frac{\det(\lambda I_0 + V - z)}{\det(\lambda I_0 - z)} = \det \left(I + \frac{1}{\lambda_0 - z} V \right) \quad V = -\frac{\lambda(\lambda+1)}{\cosh^2 x} \quad (5)$$

y por lo tanto

$$\frac{\det(\lambda I - z)}{\det(\lambda I_0 - z)} = \prod_m \Lambda_m(z) \quad (6)$$

donde $\Lambda_m(z)$ vienen determinados por la ecuación de autovalores.

$$\left[-\frac{1}{2} + \frac{1}{\lambda_0 - z} V \right] |\psi_m\rangle = \Lambda_m(z) |\psi_m\rangle$$

esto es

$$\left[\lambda_0 + \frac{1}{1 - \Lambda_m(z)} V \right] |\psi_m\rangle = z |\psi_m\rangle \quad (1)$$

Si $z < 0$, entonces las cantidades $[1 - \Lambda_m(z)]^{-1}$ son las distancias introducidas del potencial V para las que hay autovalores propios de la ecuación de Schrödinger (1) con energía z . Si introducimos

$$\lambda' = \frac{1}{2} \left[-1 + \sqrt{1 + \frac{4\lambda(\lambda+1)}{1 - \Lambda_m(z)}} \right]$$

entonces (1) se reduce a (21.2) con $\lambda \rightarrow \lambda'$. Como la relación entre λ' y la energía z viene dada por (23.1)

$$\sqrt{-z} = -m + \frac{1}{2} \left[-1 + \sqrt{1 + \frac{4\lambda(\lambda+1)}{1 - \Lambda_m(z)}} \right]$$

obtenemos inmediatamente

$$\Lambda_m(z) = \frac{(\sqrt{-z} - \lambda + m)(\sqrt{-z} + \lambda + 1 + m)}{(\sqrt{-z} + m)(\sqrt{-z} + m + 1)} \quad m=0, 1, 2, \dots \quad (2)$$

y de tanto

$$\frac{\det(\lambda I - z)}{\det(\lambda_0 - z)} = \prod_{m=0}^{\infty} \frac{(\sqrt{-z} - \lambda + m)(\sqrt{-z} + \lambda + 1 + m)}{(\sqrt{-z} + m)(\sqrt{-z} + m + 1)} \quad (3)$$

Como

$$\Gamma(z) = \lim_{m \rightarrow \infty} \frac{m! m^z}{z(z+1)\dots(z+m)}$$

obtenemos

$$\frac{\det(\lambda I - z)}{\det(\lambda_0 - z)} = \frac{\Gamma(1 + \sqrt{-z}) \Gamma(\sqrt{-z})}{\Gamma(1 + \lambda + \sqrt{-z}) \Gamma(\sqrt{-z} - \lambda)} \quad (4)$$

que es el resultado deseado.

Veamos antes de continuar otro resultado de interés. Como ya bien sabido (2.1)

$$\int_{-\infty}^{+\infty} \prod_{i=1}^N dx_i \exp \left\{ -\frac{1}{2} x^T (A - z) x \right\} = (2\pi)^{N/2} \frac{1}{[\det(A - z)]^{1/2}} \quad (5)$$

donde A es una matriz $N \times N$ tal que $A - z > 0$. Consideremos por ejemplo

$$I(z) = \int_{-\infty}^{+\infty} dx_1 \int_{-\infty}^{+\infty} dx_2 e^{-\frac{1}{2} \mathbf{x}^T (A - z) \mathbf{x}}, \quad A = \begin{pmatrix} 3/2 & -3/2 \\ -3/2 & 3/2 \end{pmatrix} \quad (1)$$

Aplicando la fórmula anterior

$$I(z) = \frac{2\pi}{\sqrt{z(z-3)}} \quad (2)$$

Donde cuentan que los valores propios y vectores propios de A son

$$\lambda = 0 \quad \xi_0 = \frac{1}{\sqrt{2}} \begin{pmatrix} 1 \\ 1 \end{pmatrix}, \quad \lambda = 3 \quad \xi_3 = \frac{1}{\sqrt{2}} \begin{pmatrix} 1 \\ -1 \end{pmatrix} \quad (3)$$

Entonces

$$\begin{aligned} \xi_0 &= \frac{1}{\sqrt{2}} (x_1 + x_2) & x_1 &= \frac{1}{\sqrt{2}} (\xi_0 + \xi_3) \\ \xi_3 &= \frac{1}{\sqrt{2}} (x_1 - x_2) & x_2 &= \frac{1}{\sqrt{2}} (\xi_0 - \xi_3) \end{aligned} \quad (4)$$

Como el Jacobiano de la transformación es 1, todo se escubrirá (1) como

$$I(z) = \int_{-\infty}^{+\infty} d\xi_0 \int_{-\infty}^{+\infty} d\xi_3 e^{-\frac{1}{2} \xi^T (B - z) \xi}, \quad B = \begin{pmatrix} 0 & 0 \\ 0 & 3 \end{pmatrix} \quad (5)$$

Consideraremos ahora el caso $z=0$ en el que la integración sobre ξ_0 es imposible. Olvidaremos de esta integración y denotaremos por $I_3(0)$ la resultante, entonces

$$I_3(z=0) = \int_{-\infty}^{+\infty} d\xi_3 e^{-\frac{1}{2} \xi^T B \xi} = \int_{-\infty}^{+\infty} d\xi_3 e^{-\frac{1}{2} 3 \xi_3^2} = \sqrt{\frac{2\pi}{3}} \quad (6)$$

Otra forma equivalente de obtener este resultado es calcular

$$2\pi \left[\lim_{z \rightarrow 0} \frac{2\pi \det(B-z)}{(0-z)} \right]^{-1/2} = 2\pi \left[\lim_{z \rightarrow 0} \frac{2\pi (-z)(3-z)}{(0-z)} \right]^{-1/2} = 2\pi \frac{1}{\sqrt{16\pi}} = \sqrt{\frac{2\pi}{3}}$$

y de tanto

$$I_3(z=0) = 2\pi \left[\lim_{z \rightarrow 0} \frac{2\pi \det(B-z)}{(0-z)} \right]^{-1/2} \quad (7)$$

que es el resultado deseado.

Obtenidos estos resultados volvemos al cálculo de (17.4) con la acción dada en (2).1) es decir

$$\left[\frac{\text{Tr } e^{-\beta H}}{\text{Tr } e^{-\beta H_0}} \right]^{(m)} = \frac{(-1)^m}{m!} \text{U}^p \int dx(\omega) \int \mathcal{D}[v(\omega)] e^{-S[x(\omega)]} \quad (8)$$

$$S[x(\omega)] = S[x_0] + \frac{1}{2} \int_0^\beta dx_1 \int_0^\beta dx_2 v(\omega_1) M(\omega_1, \omega_2) v(\omega_2)$$

Este es simplemente una evaluación de integrales gaussianas, tratando con cuidado la dirección $\nu_1(z)$ en la que el integrando permanece constante. El operador $M(z_1, z_2)$ es

$$M(z_1, z_2) = \delta(z_1 - z_2) \left[-\frac{d^2}{dz_1^2} + 1 - \frac{6}{\cosh^2 z_1} \right] + \frac{4}{5} y_0^3(z_1) y_0^3(z_2) \quad (1)$$

y se puede escribir como

$$M(z_1, z_2) \equiv \langle z_1 | M | z_2 \rangle \quad (2)$$

$$M = (\lambda + 1 + \frac{32}{5}) u \langle u |$$

dónde M es el operador dado en (24.4) con $\lambda = 2$ y $|u\rangle$ es tal que

$$u(z) = \langle z | u \rangle = \left(\frac{15}{128} \right)^{1/2} y_0^3(z) \quad (3)$$

$$\langle u | u \rangle = 1$$

Entonces,

$$\begin{aligned} \det(M) &= \det \left((\lambda + 1 + \frac{32}{5}) u \langle u | \right) = \det(\lambda + 1) \det \left[1 + \frac{32}{5} \frac{1}{\lambda + 1} \langle u | u \rangle \right] \\ &= \det(\lambda + 1) \left(1 + \frac{32}{5} \langle u | \frac{1}{\lambda + 1} | u \rangle \right) \end{aligned} \quad (4)$$

como

$$(\lambda + 1) y_0(z) = -2 y_0^3(z) \quad (5)$$

obtenemos

$$\frac{32}{5} \langle u | \frac{1}{\lambda + 1} | u \rangle = \frac{32}{5} \frac{15}{128} \int_{-\infty}^{\infty} dz y_0^3(z) \frac{1}{\lambda + 1} y_0^3(z) = -\frac{3}{8} \int_{-\infty}^{+\infty} dz y_0^4(z) = -\frac{3}{8} \frac{16}{3} = -2$$

y finalmente

$$\det(M) = -\det(\lambda + 1) \quad (6)$$

Al no integrando (26.7) sobre todas las direcciones excepto $\nu_1(z)$ obtenemos, generalizando (26.7), que el resultado de la integración es

$$I = U^{n'} \left[\lim_{z \rightarrow -1} \frac{2n \det(M)}{(-1-z)} \right]^{-1/2} \quad (7)$$

dónde $U^{n'}$ son constantes que vienen de la integración gaussiana. Usando (6)

$$I = U^{n''} \left[\lim_{z \rightarrow -1} -\frac{2n}{-1-z} \frac{\det(\lambda - z)}{\det(\lambda_0 - z)} \right]^{-1/2} \quad (8)$$

Entonces $z = -1 + \Delta$ con $\Delta \neq 0$, entonces usando (25.4)

$$I = \langle U^{\rho} \rangle'' \left\{ \frac{\pi}{3} \lim_{\Delta \rightarrow 0} \frac{1}{\Delta \Gamma(-1 - \frac{\Delta}{2})} \right\}^{-1/2}$$

y como $z \Gamma(z) = \Gamma(z+1)$ es clara

$$\Delta \Gamma(-1 - \frac{\Delta}{2}) = -\Delta \frac{1}{1 + \frac{\Delta}{2}} \Gamma(-\frac{\Delta}{2}) = \frac{2}{1 + \frac{\Delta}{2}} \Gamma(1 - \frac{\Delta}{2}) \xrightarrow[\Delta \rightarrow 0]{} 2$$

y finalmente

$$I = \langle U^{\rho} \rangle'' \sqrt{\frac{6}{\pi}}$$

Comenzaremos ahora la integración según $v_1(t)$. Notemos que cuando el parámetro t_0 cambia, el punto

$$x_c^{t_0}(z) = \sqrt{\frac{4m}{J}} \frac{\sqrt{12}}{\cosh(z - z_0)}$$

haz una linea en el espacio de funciones. De aquí se sigue que la región del espacio de funciones que contribuye a esta parte de la integración es parecida a un lazo de una cuerda delgada. En realidad hay dos lazos de este tipo correspondiente a $\pm x_c^{t_0}(z)$, y ambos satisfacen (18.2). Como el integrando permanece constante cuando recorremos el lazo, la contribución de esta integral debe ser igual a las veces la longitud de cada lazo. Como (24.2)

$$\delta x_c^{t_0}(z) = -\sqrt{m} v_1(z - z_0) dz_0$$

notemos que la longitud del elemento de linea a lo largo de la cuerda es

$$|\delta x_c^{t_0}(z)| = \sqrt{m} \|v_1(z - z_0)\| dz_0 = \sqrt{m} dz_0$$

y finalmente la contribución de la integral es

$$2\beta \sqrt{m}$$

Ejemplificando todo conjuntamente

$$\left[\frac{\text{Tr } e^{-\beta H}}{\text{Tr } e^{-\beta H_0}} \right]^{(m)} = \frac{(-1)^m}{m!} \langle U^{\rho} U^{\rho}'' \sqrt{\frac{6}{\pi}} 2\beta \sqrt{m} e^{-m[2 - 2\ln(4m) + \ln J]} \rangle$$

Teniendo en cuenta que $J = 16/3$ y que

$$m! = \sqrt{2\pi m} e^{m(\ln m - 1)} (1 + o(1/m))$$

se obtiene

$$\left[\frac{\text{Tr } e^{-\beta H}}{\text{Tr } e^{-\beta H_0}} \right]^{(m)} = \langle U^{\rho} U^{\rho}'' \beta (-1)^m \sqrt{\frac{6}{m}} 3^m \frac{m!}{\sqrt{m}} [1 + o(\frac{1}{m})] \rangle$$

Tengamos en cuenta que en el límite

$$\left[\frac{\text{Tr } e^{-\beta H}}{\text{Tr } e^{-\beta H_0}} \right]^{(0)} = 1 \quad (1)$$

Si embargo si seguimos el mismo cálculo teniendo en cuenta que no existe el modo de valor propio cero obtendremos $W'W''$ y en cambio $WW''=1$. y podemos escribir

$$E_0(g) = E_0^{(0)} - \lim_{\beta \rightarrow \infty} \frac{1}{\beta} \ln \left[1 + \beta \sum_{m=1}^{\infty} A_m'(g^2)^m \right] \quad (2)$$

$$A_m' = (-1)^m \sqrt{\frac{6}{\pi}} 3^m \frac{m!}{m \sqrt{m}} (1 + O(1/m))$$

Tomemos ahora en cuenta que

$$\begin{aligned} \ln \left\{ 1 + \beta \sum_{m=1}^{\infty} A_m'(g^2)^m \right\} &= \sum_{m=1}^{\infty} \frac{(-1)^{m+1}}{m} \left(\beta \sum_{k=1}^{\infty} A_k' g^{2k} \right)^m = \\ &= \sum_{k=1}^{\infty} g^{2k} \left[\beta A_k' - \frac{1}{2} \beta^2 \sum_{i_1 i_2} A_{i_1}' A_{i_2}' + \frac{1}{3} \beta^3 \sum_{i_1 i_2 i_3} A_{i_1}' A_{i_2}' A_{i_3}' + \dots + \frac{(-1)^{k+1}}{k} A_k'^k \right] \end{aligned}$$

donde $i_1 + i_2 = k$, $i_1 + i_2 + i_3 = k$, Como los A_m crecen más rápidamente que $m!$ entonces

$$\ln \left[1 + \beta \sum_{m=1}^{\infty} A_m'(g^2)^m \right] \approx \sum_{m=1}^{\infty} (g^2)^m \beta A_m' \quad (3)$$

donde se hace despreciable término de orden $1/m$. Entonces obtenemos finalmente

$$E_0(g) = \frac{1}{2} + \sum_{m=1}^{\infty} A_m g^{2m} \quad (4)$$

$$A_m = (-1)^{m+1} \sqrt{\frac{6}{\pi}} 3^m \frac{m!}{m \sqrt{m}} \left[1 + O\left(\frac{1}{m}\right) \right]$$

que es el resultado deseado. Ver la tabla de la página siguiente.

(ii) caso general

Vamos a ver ahora como con métodos más simples se pueden hallar resultados más generales. (E.BREZIN, J.-C.LE GUILLOU y J.ZINN-JUSTIN Phys.Rev. D15, 1558 (1977))

El punto de partida es como antes (II.1) que vamos a intentar integrar por el método de la fórmula de Silla para lo cual debemos buscar los puntos silla en las variables combinadas $x(z)$ y g . Supongamos que hemos identificado un punto silla dominante $x_c(z)$, g_c correspondiente a una acción punto en el límite piso.

m	$ A_m $	$ A_m _{\text{asimóptico}}$
1	0.75	1.319 690 441
2	2.625	5.598 972 358
3	2.084 25	1 4.114 387 609 1
4	2.412 890 625	2 4.275 797 028 2
5	3.580 980 467	3 5.736 583 688 3
6	6.398 281 347	4 9.426 168 866 4
7	1.329 733 727	6 1.832 656 686 6
8	3.144 821 468	7 4.114 304 056 7
9	8.335 416 031	8 1.047 330 827 9
10	2.447 894 070	10 2.980 755 790 10
11	7.893 333 160	11 9.378 729 140 11
12	2.773 877 694	13 3.232 601 825 13
13	1.055 646 658	15 1.211 255 516 15
14	4.326 810 683	16 4.902 219 085 16
15	1.900 817 197	18 2.131 197 110 18
16	8.912 101 753	19 9.904 909 096 19
17	4.442 550 889	21 4.900 678 370 21
18	2.346 464 307	23 2.571 805 784 23
19	1.309 150 261	25 1.426 830 803 25
20	7.693 999 853	26 8.344 215 842 26

Este punto satisface las ecuaciones

$$\ddot{x}_c = \frac{1}{g_c} V'(g_c x_c) \quad (1)$$

$$\frac{2m}{g_c} = \frac{2}{g_c^3} \int_0^\beta d\tau V(g_c x_c) - \frac{1}{g_c^2} \int_0^\beta d\tau x_c V'(g_c x_c)$$

Introduciendo la nueva variable

$$y_c(\tau) \equiv g_c x_c(\tau) \quad (2)$$

el sistema anterior equivale a

$$\ddot{y}_c(\tau) = V' [y_c(\tau)] \quad (3)$$

$$m \frac{g^2}{g_c} = \int_0^\beta d\tau \left[\frac{1}{2} \dot{y}_c^2(\tau) + V[y_c(\tau)] \right]$$

donde hemos tomado en cuenta el carácter periódico de $y_c(\tau)$. Las contribuciones dominantes de este punto de silla vienen simplemente del valor del integrando en este punto y de las fluctuaciones armónicas alrededor de esta solución clásica. Dejaremos para el final la integración sobre g^2 .

Sea E la energía de la trayectoria $y_c(\tau)$ de periodo β , entonces

$$\frac{1}{2} \dot{y}_c^2(\tau) = V[y_c(\tau)] + E \quad (4)$$

según se deduce inmediatamente de la primera de las ecuaciones (3). El valor de la acción es entonces

$$\begin{aligned} S[x_c(\tau), g_c] &= \frac{1}{g_c^2} \int_0^\beta d\tau \left\{ \frac{1}{2} \dot{y}_c^2(\tau) + V[y_c(\tau)] \right\} = \\ &= \frac{1}{g_c^2} \int_0^\beta d\tau \left\{ 2[E + V[y_c(\tau)]] - E \right\} = \\ &= \frac{1}{g_c^2} \left\{ -\beta E + 2 \int_{y_-}^{y_+} dy [2(E + V(y))]^{1/2} \right\} \end{aligned} \quad (5)$$

donde los puntos y_\pm son los puntos de retroceso en los que la velocidad se anula. Para calcular las fluctuaciones de la trayectoria clásica usaremos el método de los desplazamientos discutido antes. Debemos calcular

$$I \equiv \int \mathcal{D}[y(\tau)] \exp \left\{ -\frac{1}{2g^2} \int_0^\beta d\tau [\dot{y}^2(\tau) + V''(\tau) y^2(\tau)] \right\} \quad (6)$$

que trataríamos de forma totalmente análoga a (5.3) y de acuerdo con (10.1) obtenemos

$$I = \frac{1}{g\sqrt{2\pi}} \frac{1}{\beta^{1/2}} \left| \frac{dE}{dg} \right|^{1/2} \quad (1)$$

como antes integraremos sobre funciones iniciales y obtendremos

$$\left[\frac{\text{Tr } e^{-\beta H}}{\text{Tr } e^{-\beta H_0}} \right]^{(n)} \approx \frac{U^0}{i(2\pi)^{3/2}} \beta \left(-\frac{dE}{d\beta} \right)^{1/2} \int \frac{dg^2}{(g^2)^{m+3/2}} e^{-S[x_c, g]} \quad (2)$$

Teniendo en cuenta que

$$S[x_c, g] \equiv \frac{1}{g^2} A[x_c] \quad (3)$$

$$A[x_c] \equiv -\beta E + 2 \int_{y_-}^{y_+} dy [2(E + V(y))]^{1/2}$$

obtenemos

$$\left[\frac{\text{Tr } e^{-\beta H}}{\text{Tr } e^{-\beta H_0}} \right]^{(n)} \approx \frac{U^0}{i(2\pi)^{3/2}} \beta \left(-\frac{dE}{d\beta} \right)^{1/2} \int \frac{dg^2}{(g^2)^{m+3/2}} e^{-\frac{1}{g^2} A[x_c]} \quad (4)$$

La última integral no puede hacerse por el método de la fase estacionaria:

$$I \equiv \int \frac{dg^2}{(g^2)^{m+3/2}} e^{-\frac{1}{g^2} A[x_c]} = \int \frac{dz}{z^{3/2}} e^{-\frac{A}{z} - m \ln z}$$

$$g(z) = z^{-1/2} \quad \text{if } f(z) = \frac{A}{z} + m \ln z \quad \text{if } f'(z) = -\frac{A}{z^2} + \frac{m}{z} \quad \text{if } f''(z) = \frac{2A}{z^3} - \frac{m}{z^2}$$

$$z_c = \frac{A}{m} \quad g(z_c) = \frac{m^{3/2}}{A^{3/2}} \quad \text{if } f(z_c) = m - m \ln m + m \ln A \quad \text{if } f''(z_c) = m^3/A^2$$

$$I = (2\pi)^{1/2} e^{m \ln m - m} e^{-m \ln A} \frac{m^{3/2}}{A^{3/2}} \frac{A}{m^{3/2}} = (2\pi)^{1/2} \frac{1}{A^{m+1/2}} e^{m \ln m - m}$$

$$= \frac{\Gamma(m+1/2)}{A^{m+1/2}} \quad (5)$$

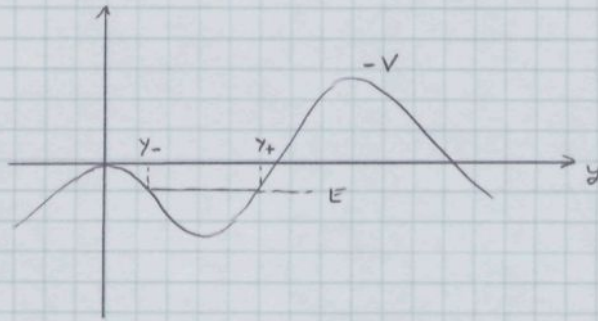
y tanto

$$\left[\frac{\text{Tr } e^{-\beta H}}{\text{Tr } e^{-\beta H_0}} \right]^{(n)} \approx \frac{U^0}{i(2\pi)^{3/2}} \beta \left(-\frac{dE}{d\beta} \right)^{1/2} \frac{\Gamma(m+1/2)}{[A(x_c)]^{m+1/2}} \quad (6)$$

Para simplificar la expresión debemos hallar $E = E(\beta)$ para grandes valores de β . Recordemos que

$$\beta = 2 \int_{y_-}^{y_+} dy [2E + 2V(y)]^{-1/2} \quad (1)$$

e introducamos $\alpha \equiv -E > 0$. En el límite $\alpha \neq 0$ tenemos $y_+(-\alpha) = y_+(0) = y_+$



$$y_+(-\alpha) = \sqrt{2\alpha}, \text{ por lo cual}$$

$$\beta = 2 \int_{\sqrt{2\alpha}}^{y_+} dy [-2\alpha + 2V(y)]^{-1/2}$$

De aquí:

$$\begin{aligned} \beta &= 2 \int_0^{y_+} dy \left(\frac{1}{\sqrt{2V}} - \frac{1}{y} \right) + 2 \int_{\sqrt{2\alpha}}^{y_+} dy \frac{1}{\sqrt{-2\alpha + 2V}} - 2 \int_0^{y_+} dy \left(\frac{1}{\sqrt{2V}} - \frac{1}{y} \right) = \\ &= 2 \int_0^{y_+} dy \left(\frac{1}{\sqrt{2V}} - \frac{1}{y} \right) + 2 \int_{\sqrt{2\alpha}}^{y_+} dy \left(\frac{1}{\sqrt{-2\alpha + 2V}} - \frac{1}{\sqrt{2V}} \right) + 2 \int_{\sqrt{2\alpha}}^{y_+} dy \frac{1}{y} - 2 \int_0^{\sqrt{2\alpha}} dy \left(\frac{1}{\sqrt{2V}} - \frac{1}{y} \right) \end{aligned}$$

La última integral da cero en el límite $\alpha \neq 0$ ($V \propto \frac{1}{2} y^2$) y por tanto

$$\beta = 2 \int_0^{y_+} dy \left(\frac{1}{\sqrt{2V}} - \frac{1}{y} \right) + 2 \ln y_+ - \ln 2 - \ln \alpha + 2 \int_{\sqrt{2\alpha}}^{y_+} dy \left(\frac{1}{\sqrt{-2\alpha + 2V}} - \frac{1}{\sqrt{2V}} \right)$$

La última integral recibe todo la contribución de $y \approx \sqrt{2\alpha}$ y por consiguiente

$$\int_{\sqrt{2\alpha}}^{y_+} dy \left(\frac{1}{\sqrt{-2\alpha + 2V}} - \frac{1}{\sqrt{2V}} \right) = \int_{\sqrt{2\alpha}}^{y_+} dy \left(\frac{1}{\sqrt{-2\alpha + y^2}} - \frac{1}{\sqrt{2V}} \right) = \ln \frac{y + \sqrt{-2\alpha + y^2}}{y} \Big|_{\sqrt{2\alpha}}^{y_+} = \ln 2$$

obteniendo

$$\beta = 2 \int_0^{y_+} dy \left(\frac{1}{\sqrt{2V}} - \frac{1}{y} \right) + 2 \ln y_+ + \ln 2 - \ln \alpha$$

y de aquí

$$E \underset{\beta \rightarrow \infty}{\sim} -2 e^{-\beta} \frac{y_+^2}{2} e^{-2 \int_0^{y_+} dy \left(\frac{1}{\sqrt{2V(y)}} - \frac{1}{y} \right)} \quad (2)$$

En resumen

$$\left[\frac{\text{Tr } e^{-\beta H}}{\text{Tr } e^{-\beta H_0}} \right]^{(m)} \approx W \frac{1}{2\pi \pi^{1/2}} \beta e^{-\beta/2} \gamma_+ \frac{\Gamma(m+1/2)}{[A(x_c)]^{m+1/2}} e^{\int_0^{\gamma_+} dy \left(\frac{1}{\sqrt{2V(y)}} - \frac{1}{y} \right)}$$

Nos falta ahora determinar W a partir de (15.3) teniendo en cuenta que el miembro de la izquierda debe ser la unidad $W V(gx) = \frac{1}{2} g^2 x^2$, i.e.

$$1 = W \int dx_0 \int \partial[x(\tau)] e^{-\int_0^\beta d\tau \left[\frac{1}{2} \dot{x}^2 + \frac{1}{2} x^2 \right]}$$

Si introducimos $t = -i\tau$ y $T = -i\beta$ entonces

$$1 = W \int dx_0 \int \partial[x(t)] e^{i \int_0^T dt \left[\frac{1}{2} \dot{x}^2 - \frac{1}{2} x^2 \right]} \quad (3)$$

Entonces de acuerdo con (I.9.2)

$$\begin{aligned} 1 &= W \int dx_0 \left[\frac{1}{2\pi i \sin T} \right]^{1/2} e^{i \frac{\cos T - 1}{\sin T} x_0^2} \\ &= W (2\pi i \sin T)^{-1/2} \left(-\frac{i \sin T}{\cos T - 1} \right)^{1/2} = W \left(-4 \sin^2 \frac{T}{2} \right)^{-1/2} \\ &= W e^{-\beta/2} \end{aligned}$$

de donde

$$W = e^{\beta/2} \quad (4)$$

y finalmente el resultado final deseado es

$$E_m \sim -\frac{1}{2\pi^{3/2}} \frac{\Gamma(m+1/2)}{[A(x_c)]^{m+1/2}} \gamma_+ \exp \left\{ \int_0^{\gamma_+} dy \left(\frac{1}{\sqrt{2V(y)}} - \frac{1}{y} \right) \right\} \quad (5)$$

$$A(x_c) = -\beta E + 2 \int_{y_-}^{\gamma_+} dy [2(E + V(y))]^{1/2} \quad E \downarrow 0$$

Evidentemente v hoy mas de un punto de vista dominante E_m es la suma de las contribuciones del tipo (5) sobre todo las fuentes de silla.

Consideremos como ejemplo

$$V(y) = \frac{1}{2} y^2 - \gamma y^3 + \frac{1}{2} y^4 \quad (1)$$

c) $|\gamma| > 1$

El origen es un mínimo relativo y la particular parte de $y=0$ y llega a

$$y_+ = \gamma - \sqrt{\gamma^2 - 1} \quad (2)$$

reflejándose en este punto y volviendo al origen. Se tiene

$$\begin{aligned} \int_0^{y_+} dy \left(\frac{1}{12V(y)} - \frac{1}{y} \right) &= \int_0^{y_+} dy \left(\frac{1}{y\sqrt{y^2 - 2\gamma y + 1}} - \frac{1}{y} \right) = \\ &= -\ln \left\{ 1 - \gamma y + \sqrt{y^2 - 2\gamma y + 1} \right\} \Big|_0^{y_+} = -\ln \left[\frac{1}{2} \sqrt{\gamma^2 - 1} (\gamma - \sqrt{\gamma^2 - 1}) \right] \end{aligned} \quad (3)$$

La acción clásica correspondiente para E_0 es

$$\begin{aligned} A[x_c] &= 2 \int_0^{y_+} dy y [y^2 - 2\gamma y + 1]^{1/2} = \\ &= 2 \left\{ \frac{1}{3} (y^2 - 2\gamma y + 1)^{3/2} \Big|_0^{y_+} + \gamma \int_0^{y_+} dy (y^2 - 2\gamma y + 1)^{1/2} \right\} = \\ &= 2 \left\{ -\frac{1}{3} + \gamma \left[\frac{1}{2} (\gamma - \sqrt{\gamma^2 - 1}) (y^2 - 2\gamma y + 1) + \frac{1-\gamma^2}{2} \ln (y - \gamma + \sqrt{y^2 - 2\gamma y + 1}) \right] \Big|_0^{y_+} \right\} = \\ &= -\frac{2}{3} + \gamma^2 - \frac{1}{2} \gamma (\gamma^2 - 1) \ln \frac{\gamma + 1}{\gamma - 1} \end{aligned}$$

y también

$E_m \underset{m \rightarrow \infty}{\sim} -\frac{1}{\pi^{3/2}} \frac{\Gamma(m+1/2)}{[A(x_c)]^{m+1/2}} \frac{1}{\sqrt{\gamma^2 - 1}}$
$A[x_c] = -\frac{2}{3} + \gamma^2 - \frac{1}{2} \gamma (\gamma^2 - 1) \ln \frac{\gamma + 1}{\gamma - 1}$

(4)

Como $A > 0$, veremos que todos los términos de orden elevado son negativos. En consecuencia la transformación Borel de $E_0(g)$ tiene una singularidad sobre el eje real positivo. Por tanto, o bien $E(g)$ no queda universalmente definido por

su serie asintótica que no es sumable Borel, o más probablemente en este caso, tiene realmente un corte sobre el eje real positivo, porque el desarrollo analítico generado de esta forma es el desarrollo de la energía para un estado inestable.

(ii) $|y| < 1$

Entonces el origen es un mínimo absoluto de V y y_+ se hace complejo. En realidad hay dos puntos deilla complejo conjugados contribuyendo ambas al orden dominante. El resultado para cada punto de illa se obtiene por prolongación analítica del anterior y de tanto

$$E_m \sim \frac{2}{\pi^{3/2}} \Gamma(m+1/2) (1-y^2)^{-1/2} \operatorname{Im} [A(x_c)^{-m-1/2}] \quad (1)$$

donde A está definida en (34.4). Para el caso particular $y=0$ entonces $A(x_c) = -2/3$ y de tanto

$$E_m \sim \frac{2}{\pi^{3/2}} \Gamma(m+1/2) (-1)^{m+1} \frac{3^{m+1/2}}{2^{m+1/2}} \quad (2)$$

Como $\Gamma(m+1/2) \simeq m! / \sqrt{m}$ obtenemos

$$E_m \sim (-1)^{m+1} m! 3^m \frac{\sqrt{6}}{m \sqrt{\pi m}} \frac{1}{2^m} \quad (3)$$

que coincide con el resultado derivado antes. Notén que el factor 2^{-m} es debido a una redefinición de la constante de acoplamiento. Este resultado indica que si $|y| < 1$ la serie es sumable Borel.

(iii) $y_+ = \pm 1$

La acción clásica tiene un diente que es $A(x_c) = 1/3$ y de tanto es fuerte como sabemos que ahora el resultado para Eqs (1) debe ser real para y positivo, porque la serie de perturbaciones es claramente no sumable Borel. Esto sucede siempre cuando el mínimo clásico del potencial es degenerado, y al mismo tiempo existe un efecto túnel mecánico-cuántico entre los mínimos clásicos. Entonces se pueden encontrar relaciones de instantáneas nulas, que dominan el orden clásico de la serie de perturbaciones, y que dan contribuciones directas exponencialmente pequeñas a la teoría de perturbaciones. Parece que estas contribuciones directas a la teoría de perturbaciones deberían ser exactamente los términos necesarios para cancelar la singularidad de la transformación de Borel, pero esto no está probado.

i) En parte de lo anterior hemos considerado soluciones periódicas de periodo β . Hemos tomado soluciones con periodo β exactamente, pero existen soluciones con periodos $\beta/2$, $\beta/3$, ... que también son soluciones de nuestro problema. Estas soluciones tienen una acción clásica que es $2, 3, \dots$ veces mayor que la de periodo exactamente β y por lo tanto dan correcciones exponencialmente pequeñas al resultado obtenido.

ii) Los términos correctivos a la integración por el punto de silla darán correcciones sistemáticas de la forma de potencias de $1/m$ a las expresiones de E_m que obtendremos.

iii) Es fácil también generalizar los resultados anteriores al N -simo estado excitado, para lo cual se deben tener en cuenta las correcciones dominantes (del tipo $e^{-\beta}$) a la acción clásica calculada antes.

iv) Referencias

C. M. BENDER y T. T. WU Phys. Rev. Letters 27, 461 (1971).

C. M. BENDER y T. T. WU Phys. Rev. D7, 1620 (1972)

T. BANKS, C. M. BENDER y T. T. WU Phys. Rev. D8, 3346 (1973)

L. N. LIPATOV, Zh. Eksp. Teor. Fiz. Rad. 25, 116 (1973) and Leningrad Institute of Nuclear Physics Reports 253 y 255 (no publicados)

E. BREZIN, J. C. LE GUILLOU y J. ZINN- JUSTIN Phys. Rev. D15, 1545 (1972)

E. BREZIN, J. C. LE GUILLOU y J. ZINN- JUSTIN Phys. Rev. D15, 1558 (1972)

E. BREZIN, G. PARISI y J. ZINN- JUSTIN Phys. Rev. D16, 608 (1972)

J. ZINN- JUSTIN en "Topics in Quantum Field Theory and Gauge Theories" Proceedings of the VIII International Seminar on Theoretical Physics. Salamanca 1972.

Ed. J. A. de Aranaga. Springer Verlag 1978.

MUCHOS GRADOS DE LIBERTAD

La formulación mediante integrales de camino del método WKB permite una generalización a muchos grados de libertad siguiendo un método totalmente análogo. Empecemos considerando un problema bidimensional como en (1.4) definimos

$$G(T) = \text{Tr} (e^{-iHT/\hbar}) = \int dx_0 dy_0 \int \partial[x(t)] \partial[y(t)] e^{\frac{i}{\hbar} \int_0^T dt [\frac{1}{2}(\dot{x}^2 + \dot{y}^2) - V(x, y)]}$$

donde las órbitas deben ser curvas. Indicando por $\bar{\partial}[x(t)]$ el hecho de que la integración sobre x_0 debe realizarse podemos escribir

$$G(T) = \int \bar{\partial}[x(t)] \bar{\partial}[y(t)] e^{\frac{i}{\hbar} S[x(t), y(t)]} \quad (2)$$

Usando $\vec{r} = (x, y)$ y manteniendo sólo términos cuadráticos en las fluctuaciones se puede escribir

$$\begin{aligned} G(T) &= \int \bar{\partial}[\vec{r}(t)] e^{\frac{i}{\hbar} S[\vec{r}(t)]} = \\ &= \sum_{\text{p. p.}} e^{\frac{i}{\hbar} S[\vec{r}_{\alpha}(t)]} \int \bar{\partial}[\vec{g}(t)] e^{\frac{i}{\hbar} \int_0^T dt \frac{1}{2} \vec{g} \left(-\frac{\partial^2}{\partial t^2} - V'' \right) \vec{g}} \end{aligned} \quad (3)$$

donde $\vec{g}(t) \equiv \vec{r}(t) - \vec{r}_{\alpha}(t)$, $V'' = (\partial^2 V / \partial r_i \partial r_j)_{r=\alpha(t)}$ es una matriz 2×2 en cada instante t . La suma se extiende a las órbitas periódicas clásicas. La integral de camino es de forma gaussiana y es exactamente integrable si se conocen las funciones propias y valores propios del operador

$$\frac{\partial^2}{\partial t^2} + V''(\vec{r}_{\alpha}(t)) \quad (4)$$

Empecemos considerando el caso simple en que $V(x, y)$ es separable

$$V(x, y) = V_1(x) + V_2(y) \quad (5)$$

y además que $V_2(y)$, pero no $V_1(x)$, tenga acoplamiento cúbico, es decir

$$V_2(y) \approx V_2(0) + \frac{1}{2} \omega^2 y^2 \quad (6)$$

Entonces las consideraciones previas sugieren que perturbemos alrededor de órbitas que son libres en x , pero libres en y . También el operador (4) se diagonaliza en una pieza que solo depende de x y otra que solo depende de y . Entonces

$$G(T) = G_x(T) G_y(T) \quad (1)$$

donde de acuerdo con (5.1)

$$G_y(T) = \sum_p e^{-\frac{c}{\hbar} [V_2(0) + (p + \frac{1}{2})\hbar\omega] T} \quad (2)$$

y teniendo en cuenta (10.2)

$$G_x(T) \approx \sqrt{\frac{c}{2\pi\hbar}} \sum_{m=1}^{\infty} \frac{T}{m} \left| \frac{dE_a^{(1)}}{dT} \right|^{1/2} e^{\frac{cm}{\hbar} [S_a^{(1)}(T/m) - m\hbar]} \quad (3)$$

donde $E_a^{(1)}$ y $S_a^{(1)}$ corresponden a la energía y a la acción que tendría la órbita clásica en x , si en la coordenada y no $V_2(y)$ existieran. En la presencia de $V_2(y)$, la misma órbita tiene energía y acción

$$E_a = E_a^{(1)} + V_2(0), \quad S_a = S_a^{(1)} + V_2(0)T \quad (4)$$

Entonces

$$G(E) \approx \frac{1}{\hbar} \sqrt{\frac{-c}{2\pi\hbar}} \sum_{m,p} \int d\tau \tau \left| \frac{dE_a}{d\tau} \right|^{1/2} \sqrt{m} e^{-im\tau} e^{\frac{cm}{\hbar} [S_a(\tau) + \tau [E - (p + \frac{1}{2})\hbar\omega]]} \quad (5)$$

Como antes la integración sobre la τ la haremos por el método de los estímulos que son los que satisfacen

$$-\frac{\partial S_a}{\partial \tau} = E_a = E - (p + \frac{1}{2})\hbar\omega \equiv E_p \quad (6)$$

y de nuevo como anterior

$$G(E) \approx \sum_{p,m} \frac{c}{\hbar} \tau(E_p) (-1)^m e^{\frac{cm}{\hbar} W(E_p)} \quad W(E_p) = S_a(\tau(E_p)) + E_p \tau(E_p) \quad (7)$$

y consecuentemente

$$G(E) = \sum_p \frac{-c \tau(E_p)}{\hbar} \frac{e^{cW(E_p)/\hbar}}{1 + e^{cW(E_p)/\hbar}} \quad (7)$$

Por tanto $G(E)$ incluirá todos los estados cuando

$$W(E_p) = (2m+1)\hbar\tau \quad m = \text{entero} \quad (8)$$

Si las raíces de la ecuación $W(E) = (2m+1)\hbar\tau$ se denota por E_m , entonces los niveles energéticos del sistema son

$$E_{m,p} = E_m + (p + \frac{1}{2})\hbar\omega \quad (10)$$

Resultado razonable. Los niveles de energía tienen ahora características para los enteros. De acuerdo con (38.6), la energía clásica de la órbita que obedece la condición de cuantificación no es $E_{m,p}$, sino $E_{m,p} - (p + \frac{1}{2})\hbar\omega = E_m$. En nuestro problema aunque la órbita gaga enteroamente sobre el eje x , las fluctuaciones cuánticas a lo largo del eje ortogonal y producen un término adicional $(p + \frac{1}{2})\hbar\omega$ al nivel de energía cuántica.

El siguiente paso en el proceso de generalización es cuando el potencial es separable pero no $V_1(x)$ ni $V_2(y)$ se pueden aproximar por potenciales armónicos. Entonces se debe pensar sobre todas las órbitas periódicas en el plano $x-y$, no únicamente en x ni en y . Debemos darles cuenta de un punto muy importante. Mientras que en un potencial unidimensional todas las órbitas cerradas son periódicas, en mayor número de dimensiones, las órbitas periódicas son más bien una excepción que una regla. Muchas trayectorias no se cierran sobre si mismas. Uno se pregunta si las órbitas periódicas dan un embague para todos los niveles energéticos en el método WKB. Que realmente pase es fácil de ver en un potencial separable. En este caso una órbita periódica es la superposición de una órbita periódica en x y otra periódica en y . Las dos no necesitan tener el mismo periodo, pero se debe cumplir que

$$m\tau_1 = m\tau_2 = T \quad (1)$$

donde m y m' son enteros. La acción es la suma de las acciones individuales en x e y y de nuevo la integral de camino se factoriza en una pieza dependiente de x y otra dependiente de y . Entonces

$$G(T) = \text{Tr} \left(e^{-\frac{i}{\hbar} HT} \right) = \text{Tr} \left(e^{-\frac{i}{\hbar} H_1 T} \right) \text{Tr} \left(e^{-\frac{i}{\hbar} H_2 T} \right) \quad (2)$$

Como era de esperar para un potencial separable, el resultado total se factoriza en aquel de dos problemas unidimensionales, en cada uno de los cuales todas las órbitas son periódicas. Los niveles energéticos serán

$$E_{m_1, m_2} = E_{m_1} + E_{m_2} \quad (3)$$

donde E_{m_i} son las aproximaciones WKB a los niveles de los sistemas x e y separados.

Para un potencial al que sea $V(x,y)$ que no es separable debemos pensar alrededor de todas las órbitas periódicas no triviales en x y en y . las correcciones cuánticas alrededor de una órbita periódica dada se evalúan hallando

los valores propios del operador (37.6) sujetos a las condiciones de contorno periódicas de los caminos $\vec{g}(t)$. Sin embargo como $V''(\vec{r}_{ce}(t))$ no es separable en x e y , el cálculo es más complicado técnicamente. El lector interesado en la demostración puede consultar R. F. DASHEN, B. HASSLACHER y A. NEVEU Phys. Rev. 10D, 4114 (1974). Aquí留mamos a don auto el resultado final que es una inmediata generalización de (38.9).

Consideremos las ecuaciones

$$\left[\frac{\partial^2}{\partial t^2} + V''[\vec{r}_{ce}(t)] \right] \vec{s}(t) = 0 \quad (1)$$

donde $\vec{s}(t)$ es un vector bidimensional escrito en forma de columna y el operador diferencial es una matriz 2×2 . Esta ecuación tiene dos soluciones. Una de ellas es claramente

$$\vec{s}_1(t) = \vec{r}_{ce}(t) \quad (2)$$

pues $\vec{r}_{ce}(t)$ satisface

$$\ddot{\vec{r}}_{ce}(t) + V''(\vec{r}_{ce}) = 0 \quad (3)$$

y derivando con respecto al tiempo se prueba que (2) es solución. Llamaremos $\vec{s}_2(t)$ la otra solución independiente de (1). Como $\vec{r}_{ce}(t)$ es periódica con periodo τ , también lo es $V''(\vec{r}_{ce})$. Puedo probar que (1), que tiene coeficientes periódicos, tiene soluciones independientes que satisfacen

$$\vec{s}_i(t + \tau) = e^{i v_i} \vec{s}_i(t) \quad (4)$$

donde los v_i se llaman ángulos de estabilidad. Claramente la primera solución $\vec{s}_1(t) = \vec{r}_{ce}(t)$ es periódica con periodo τ y satisface (4) con $v_1 = 0$. Es claro por tanto que siempre habrá un ángulo de estabilidad cero. Consideremos como ejemplo el caso de un potencial separable (37.5) tal que (37.6) sea satisfecha. Entonces las soluciones de (1) son

$$\vec{s}_1(t) = \begin{pmatrix} x_{ce}(t) \\ 0 \end{pmatrix} \quad \vec{s}_2(t) = \begin{pmatrix} 0 \\ e^{i w t} \end{pmatrix}$$

Para la primera el ángulo de estabilidad es cero y para lo segundo $v_2 = w\tau$.

La razón del nombre es que si $\text{Im}v_i \neq 0$ entonces las fluctuaciones en $\vec{s}_i(t)$ crecerían indefinidamente cuando $t \rightarrow \pm\infty$.

El resultado general es que (38.5) v debe ser típicamente

$$G(E) \simeq \frac{1}{\hbar} \sqrt{\frac{-i}{2m\hbar}} \sum_{m,p} \int d\tau \propto \left| \frac{dE_a}{d\tau} \right|^{\frac{1}{2}} \sqrt{m} e^{-im\tau} e^{\frac{i\tau m}{\hbar}} [S_{de}(z) + E\tau - (p + \frac{1}{2})\hbar v_2] \quad (1)$$

Recordar que los ángulos de estabilidad son, en general, funciones de z . También es cierto que para m números de la órbita bárica el ángulo es $m\beta_2$ la fase estacionaria en z conduce a la ecuación

$$-\frac{\partial S_{de}(z)}{\partial z} = E_a = E - (p + \frac{1}{2})\hbar \beta_2(z) \quad (2)$$

dónde

$$\beta_2(z) = \frac{\partial V_2(z)}{\partial z} \quad (3)$$

Este fija la energía E_a y el periodo τ de la órbita en términos de E y p . Entonces la condición de cuantificación para los polos de $G(E)$ es

$$W(E_a) \equiv S(E_a) + E\tau - (p + \frac{1}{2})\hbar v_2(z) = 2m\hbar n \quad (4)$$

para todos los enteros p y m . Notar que hemos puesto $2m$ en lugar de $(2m+1)$ pues en general las órbitas no tienen otros puntos de retroceso y no hay la fase asociada con ellos. Si el potencial $V(x,y)$ fuese tal que las órbitas dieran lugar a puntos de retroceso doble se reflejaría en una modificación de (4). Si las raíces de (4) son, para un p dado, $E_a = E_m^p$ entonces de (2) se deduce que los niveles energéticos son

$$E_{m,p} = E_m^p + (p + \frac{1}{2})\hbar \beta_2(z) \quad (5)$$

dónde $\beta_2(z)$ se evalúa para la órbita que satisface (4). Vemos de nuevo que los niveles energéticos WBIK son la suma de la energía clásica de la órbita apropiada más las correcciones debidas a fluctuaciones "transversales" a la órbita. Las fluctuaciones a lo largo de la órbita no producen fluctuaciones cuánticas pues el ángulo de estabilidad es nulo. Esto también explica por qué no hay "correcciones cuánticas" a la energía de la órbita clásica en el problema unidimensional (II.4). Hay realmente una condición de cuantificación (II.4) pero una vez elegida la órbita clásica apropiada, la energía clásica es igual a la cuántica.

La generalización a N grados de libertad es inmediata. Existiría como siempre un ángulo de estabilidad nulo, y correcciones cuánticas debidas a los restantes. Los niveles energéticos serían de la forma

$$E_{m,\{p_i\}} = E_{\alpha}^{m,\{p_i\}} + \sum_{i=2}^N \left(p_i + \frac{1}{2} \right) \hbar \omega_i$$
 (1)

dónde la órbita clásica obedece

$$E_{\alpha} = E - \sum_{i=2}^N \left(p_i + \frac{1}{2} \right) \hbar \omega_i$$
 (2)

$$W(E_{\alpha}) = S(E_{\alpha}) + E_{\alpha} - \sum_{i=2}^N \left(p_i + \frac{1}{2} \right) \hbar \omega_i = 2m\pi$$

para todos los enteros $\{p_i\}$ y m .

En teoría de campos, el tratamiento formal es el mismo que en el problema con N coordenadas. Se tiene que

$$G(T) = \int \bar{\otimes} [\phi(x,t)] e^{\frac{i}{\hbar} S[\phi(x,t)]}$$
 (3)

$$S[\phi(x,t)] = \int_0^T dt \int_{-\infty}^{+\infty} dx \left[\frac{1}{2} \dot{\phi}^2 - V(\phi) \right]$$

y se perfila alrededor de órbitas periódicas clásicas $\phi_{cl}(x,t)$ soluciones de las ecuaciones del movimiento

$$\ddot{\phi}(x,t) + \frac{\delta V[\phi]}{\delta \phi(x,t)} = 0$$
 (4)

La ecuación equivalente a (4.1) es

$$\left\{ \frac{\partial^2}{\partial t^2} + V''[\phi_{cl}] \right\} \eta(x,t) = 0$$
 (5)

$$V''[\phi_{cl}] = \left. \frac{\partial^2 V(\phi)}{\partial \phi(x) \partial \phi(x)} \right|_{\phi=\phi_{cl}(x,t)}$$

uyas soluciones $\eta_i(x,t)$ obedecen

$$\eta_i(x, t + \tau) = e^{i \omega_i \tau} \eta_i(x)$$
 (6)

dónde τ es el periodo de la órbita clásica y ω_i los ángulos de estabilidad. Uno de estos correspondiente a $\eta(x,t) = \phi_{cl}(x,t)$ será nulo.

Para teoría de campos, la suma sobre los ω_i puede ser divergente. En este caso se espera que la renormalización canulará todas las divergencias.

$G(T)$ cuando se desarrolle para m fases de la misma órbita periódica $\phi(\tau)$ con periodo $\tau = T/m$, incluirá, para cada m , una contribución

$$\sum_{\{p_i\}} \sqrt{\frac{c}{2\pi\hbar}} \tau \left| \frac{1}{m} \frac{\partial^2 S_{cl}}{\partial \tau^2} \right|^{\frac{1}{2}} \exp \left\{ \frac{cm}{\hbar} [S_{cl} + S_{c.e} - \sum_i (p_i + \frac{1}{2}) \hbar v_i] \right\} \quad (1)$$

↑
contáctermos

Este resultado es una generalización directa de los anteriores, en particular del problema bidimensional. El único angulo de estabilidad no nulo que aparece allí ha quedado sustituido en la suma infinita $\sum_i (p_i + \frac{1}{2}) \hbar v_i$ a causa de los infinitos modos normales de la teoría de campos. El conjunto $\{p_i\}$ comprende el número de soluciones de los modos normales. El estado de energía más bajo corresponde a todos los $p_i = 0$. Se supone que no hay más que un angulo de estabilidad igual a cero; cuando hay varios estos deben sumarse con signo cambiado. El término $S_{c.e}$ viene de los contáctermos análogos al Lagrangiano para formar la teoría finita.

A partir de (1) se calcula $G(E)$ por el procedimiento usual y se obtiene

$$G(E) \approx \sum_{\{p_i\}} -c \frac{\tau(E)}{\hbar} \frac{e^{iW(E)/\hbar}}{1 - e^{iW(E)/\hbar}} \quad (2)$$

donde

$$W(E) \equiv W_{\{p_i\}}(E) \equiv S_{cl} [\phi(\tau(E))] + S_{c.e} [\phi(\tau(E))] - \sum_i (p_i + \frac{1}{2}) \hbar v_i (\tau(E)) + E \tau(E) \quad (3)$$

y $\tau(E)$ viene definido por

$$E = - \frac{\partial}{\partial \tau} [S_{cl} [\phi(\tau)] + S_{c.e} [\phi(\tau)]] - \sum_i (p_i + \frac{1}{2}) \hbar p_i (\tau) \quad (4)$$

y las fórmulas oínen a

$$W_{\{p_i\}}(E) = 2N \tau \quad (5)$$

Las soluciones de esta ecuación $E_{N,\{p_i\}}$ son los niveles de energía en la aproximación WBK.

MODELOS BIDIMENSIONALES

I) R. F. DASHEN, B. HASSLACHER Y ANEVEU Phys. Rev. D10, 4130 (1974)

J. GOLDSTONE y R. JACKIW Phys. Rev. D11, 1686 (1975)

R. RAJARAMAN Phys. Rep. C21, 227 (1975)

Se sabe que ciertas teorías de campos bidimensionales tienen soluciones clásicas que parecen partículas extensas. Queremos establecer que estos objetos aparecen como verdaderos estados de partículas en la correspondiente teoría cuántica de campos.

La forma usual de llevar a cabo teoría de perturbaciones está basada en la hipótesis de que los estados asintóticos de una teoría de campo son campos libres. Esta hipótesis selecciona un único sector de las soluciones admisibles al problema total con interacción. Aquí queremos considerar como fundamental una solución exacta de las ecuaciones clásicas no lineales de las ecuaciones en interacción.

Vamos a considerar un modelo bidimensional (espacio + tiempo) para explorar la aplicación de estos ideas. Sea el Lagrangiano

$$\mathcal{L} = \frac{1}{2} \partial_\mu \phi(x, t) \partial^\mu \phi(x, t) + \frac{1}{2} m^2 \phi^2(x, t) - \frac{1}{4} \lambda \phi^4(x, t), \quad \lambda > 0 \quad (1)$$

donde $\phi(x, t)$ es un campo escalar real. Este es un sistema muy familiar usado frecuentemente como prototipo para ilustrar la naturaleza espacial de simetría (mire el signo del término masivo). Consideraremos un acoplamiento débil, es decir supondremos que $\lambda/m^4 \rightarrow 0$.

Para obtener los niveles de energía cuánticos imatremos muy de cerca lo que se hace en mecánica cuántica no relativista. Buscaremos mínimos del potencial hallando soluciones independientes del tiempo de las ecuaciones del movimiento. Claramente, alrededor de cada mínimo, hay un pozo de potencial local en el espacio de los campos. En la aproximación de acoplamiento mínimo un conjunto separado de niveles energéticos puede ser constituido alrededor de cada mínimo. Notemos que si $\bar{\phi} = \sqrt{\lambda}/m \phi$, $\bar{x} = mx$ entonces

$$\mathcal{L} = \frac{m^4}{\lambda} \left\{ + \frac{1}{2} \partial_\mu \bar{\phi}(\bar{x}, \bar{t}) \partial^\mu \bar{\phi}(\bar{x}, \bar{t}) + \frac{1}{2} \bar{\phi}^2(\bar{x}, \bar{t}) - \frac{1}{4} \bar{\phi}^4(\bar{x}, \bar{t}) \right\} \quad (2)$$

lo cual prueba que el límite $\lambda/m^4 \rightarrow 0$ es equivalente a $\hbar \rightarrow 0$.

Escuábranos el Lagrangiano como

$$L = \int dx \phi_t = \int dx \frac{1}{2} \left(\frac{\partial \phi}{\partial t} \right)^2 - V[\phi]$$
(1)

$$V[\phi] \equiv \int dx \left\{ \frac{1}{2} \left(\frac{\partial \phi}{\partial x} \right)^2 - \frac{1}{2} m^2 \phi^2 + \frac{1}{4} \lambda \phi^4 \right\}$$

siendo $V[\phi]$ el potencial en el espacio de los campos. Las ecuaciones del movimiento son

$$\square \phi(x, t) - m^2 \phi(x, t) + \lambda \phi^3(x, t) = 0$$
(2)

En particular, las soluciones clásicas independientes del tiempo son soluciones de

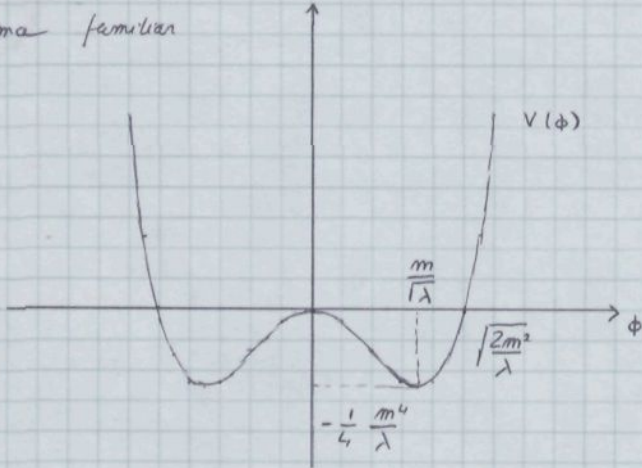
$$\frac{\partial^2 \phi(x, t)}{\partial t^2} = 0 = \nabla^2 \phi(x) + m^2 \phi(x) - \lambda \phi^3(x) = - \frac{\delta V[\phi]}{\delta \phi(x)}$$
(3)

y por tanto son extremales del potencial.

Es evidente que los mínimos absolutos de V ocurrirán (ver (1)) para soluciones de ϕ independientes de x . En este caso

$$V(\phi) \equiv - \frac{1}{2} m^2 \phi^2 + \frac{1}{4} \lambda \phi^4$$
(4)

tiene la forma familiar



con un máximo local a $\phi=0$ y dos mínimos a $\phi = \pm m/\sqrt{\lambda}$. El par de mínimos degenerados $\phi(x, t) = \pm m/\sqrt{\lambda}$ son mínimos absolutos del funcional energía-potencial que quiera de ellos puede usarse para constituir un conjunto de niveles constituyentes al nívo y a los quantá de la teoría. Claramente, los estados constituidos alrededor de estos mínimos violarán la simetría $\phi \leftrightarrow -\phi$ del Lagrangiano. Esto es un ejemplo sencillo de natura espontánea de la simetría. Consideraremos por ejemplo los niveles energéticos constituidos a partir de $\phi_0 = m/\sqrt{\lambda}$, que llamaremos nívo clásico. El potencial $V[\phi]$ puede desarrollarse alrededor de ϕ_0 . Si $\phi(x, t) = \phi_0 + \phi'(x, t)$ se obtiene, teniendo en cuenta que los términos binomiales en $\phi'(x, t)$ no existen pues ϕ_0 es un mínimo:

$$V[\phi] = V[\phi_0] + \int dx \left\{ \frac{1}{2} \left(\frac{\partial \phi}{\partial x} \right)^2 - \frac{1}{2} m^2 \phi'^2 + \frac{3}{2} \lambda \phi_0^2 \phi'^2 + \lambda \phi_0 \phi'^3 + \frac{1}{4} \lambda \phi'^4 \right\}$$

Sustituyendo $\phi_0 = m/\sqrt{\lambda}$ y trabajando en una caja grande de longitud L , se obtiene

$$\begin{aligned} V[\phi] = & - \frac{m^4}{4\lambda} L + \int dx \frac{1}{2} \phi'(x, t) [-\nabla^2 + 2m^2] \phi'(x, t) + \\ & + m\sqrt{\lambda} \int dx \phi'^3(x, t) + \frac{\lambda}{4} \int dx \phi'^4(x, t) \end{aligned} \quad (2)$$

Consideraremos de momento que los dos últimos términos son despreciables; entonces $V[\phi]$ contiene solo un término constante y términos cuadráticos en ϕ' . El operador $(-\nabla^2 + 2m^2)$ es formalmente diagonalizable y sus funciones propias son de la forma $\exp(i k x)$ con valores propios $\omega_k^2 = k^2 + 2m^2$. En términos de estos modos normales, el sistema se convierte en un conjunto de osciladores armónicos no acoplados. La energía del estado fundamental (vacío) viene dada por

$$\begin{aligned} E_{vac} \approx & V[\phi_0] + \frac{1}{2} \sum \omega_k = \\ = & - \frac{m^4}{4\lambda} L + \frac{1}{2} \sum_{k_m} (k_m^2 + 2m^2)^{1/2} \quad k_m = m \frac{2\pi}{L} \\ \approx & - \frac{m^4}{4\lambda} L + \frac{1}{2} \frac{L}{2\pi} \int dk (k^2 + 2m^2)^{1/2} \end{aligned} \quad (2)$$

y las excitaciones más bajas son

$$E + N_k \approx - \frac{m^4}{4\lambda} L + \sum_{k_m} \left(N_{k_m} + \frac{1}{2} \right) \sqrt{k_m^2 + 2m^2} \quad (2)$$

Estos son los resultados familiares para campos libres para el vacío y para los estados que contienen un número finito de cuantos del campo de masa $\sqrt{2} m$.

La energía del estado fundamental tiene un término $-m^4 L / 4\lambda$ que es la energía clásica del mínimo ϕ_0 , más una corrección cuántica, que tiene una divergencia ultrafísica matemática. Esta divergencia no es ningún problema y se elimina cambiando el origen de energías.

Antes de considerar el efecto de los términos despreciables vamos a estudiar la posible existencia de soluciones independientes del tiempo de las ecuaciones del movimiento

$$\frac{d^2 \phi(x)}{dx^2} + m^2 \phi(x) - \lambda \phi^3(x) = 0 \quad (3)$$

Multiplicando por $d\phi/dx$ e integrando obtenemos

$$\frac{1}{2} \left(\frac{d\phi(x)}{dx} \right)^2 + \frac{1}{2} m^2 \phi^2(x) - \frac{1}{4} \lambda \phi^4(x) = \text{cte.} \quad (1)$$

Determinemos la constante de forma que $\phi(x) \xrightarrow{x \rightarrow \infty} m/\sqrt{\lambda}$ y entonces

$$\frac{1}{2} \left(\frac{d\phi(x)}{dx} \right)^2 + \frac{1}{2} m^2 \phi^2(x) - \frac{1}{4} \lambda \phi^4(x) = \frac{1}{4} \frac{m^4}{\lambda} \quad (2)$$

$$\Rightarrow \left(\frac{d\phi(x)}{dx} \right)^2 = \left(\frac{\lambda}{2} \phi^2(x) - \frac{m^2}{12\lambda} \right)^2 \quad (3)$$

Esta ecuación tiene evidentemente las soluciones $\pm \phi_0$ dadas anteriormente, pero además

$$\int_a^x dx = - \int_0^{\phi(x)} dy \frac{1}{\sqrt{\frac{\lambda}{2} y^2 - \frac{m^2}{12\lambda}}}$$

$$(x-a) = + \frac{1}{m\sqrt{2}} \ln \frac{\phi(x) + \frac{m}{\sqrt{\lambda}}}{\phi(x) - \frac{m}{\sqrt{\lambda}}}$$

y para a

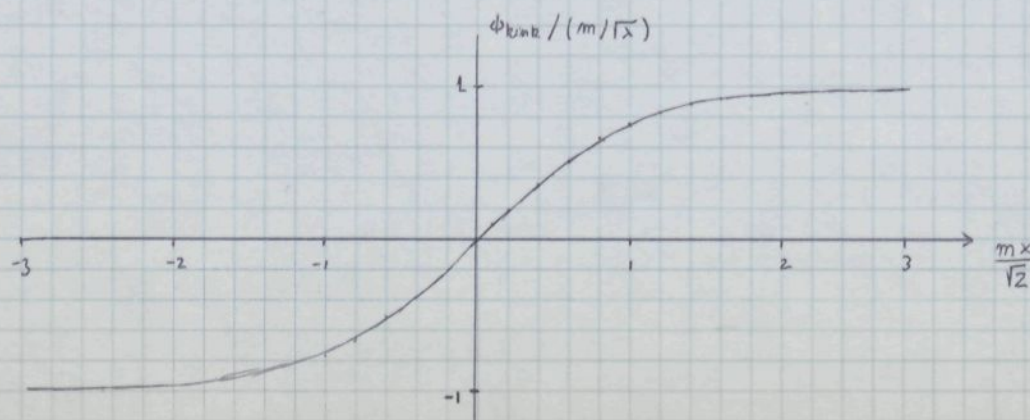
$$\phi(x) = \frac{m}{\sqrt{\lambda}} \tanh \frac{m(x-a)}{\sqrt{2}} \equiv \phi_{\text{Kink}}^{(a)}(x) \quad (4)$$

es una solución para cualquier valor de a . Consideraremos una solución de este tipo, por ejemplo $a=0$ y llamaremos $\phi_{\text{Kink}}(x)$

$$\phi_{\text{Kink}}(x) = \frac{m}{\sqrt{\lambda}} \tanh \frac{mx}{\sqrt{2}}$$

$$\phi_{\text{Kink}}(+\infty) = -\phi_{\text{Kink}}(-\infty), \quad \phi_{\text{Kink}}(0) = 0 \quad (5)$$

$$\phi_{\text{Kink}}(x) \underset{x \rightarrow \pm\infty}{\sim} \pm \frac{m}{\sqrt{\lambda}} \left\{ 1 - 2 e^{\mp \sqrt{2} mx} \right\}$$



Vemos pues que, clásicamente, la densidad de energía del hundimiento es distinta de la del vacío solo localmente cerca de $x=0$. La diferencia entre ambas es una cantidad finita incluso en el límite $L \rightarrow \infty$

$$E_{\text{hund}}^{\text{cl}} - E_{\text{vac}}^{\text{cl}} = V[\phi_{\text{hund}}] - V[\phi_{\text{vac}}] =$$

$$\begin{aligned} &= \int_{-L/2}^{L/2} dx \left\{ \frac{1}{2} (\nabla \phi_{\text{hund}})^2 - \frac{1}{2} m^2 \phi_{\text{hund}}^2 + \frac{1}{4} \lambda \phi_{\text{hund}}^4 \right\} - \int_{-L/2}^{L/2} dx \left\{ -\frac{m^2}{4\lambda} \right\} = \\ &= \frac{m^4}{\lambda} \int_{-L/2}^{L/2} dx \left\{ \frac{1}{4} \frac{1}{\cosh^4 \frac{mx}{\sqrt{2}}} - \frac{1}{2} \tanh^2 \frac{mx}{\sqrt{2}} + \frac{1}{4} \tanh^4 \frac{mx}{\sqrt{2}} \right\} + \frac{m^2}{4\lambda} L \\ &= \frac{m^4}{\lambda} \int_{-L/2}^{L/2} dx \frac{1}{4 \cosh^4 \frac{mx}{\sqrt{2}}} \left\{ 2 - \cosh^4 \frac{mx}{\sqrt{2}} \right\} + \frac{m^2}{4\lambda} L = \frac{m^4}{2\lambda} \int_{-L/2}^{L/2} dx \frac{1}{\cosh^4 \frac{mx}{\sqrt{2}}} \\ &= \frac{16 m^3}{\sqrt{2} \lambda} \int_{-mL/2\sqrt{2}}^{mL/2\sqrt{2}} dt (e^t + e^{-t})^{-4} \end{aligned}$$

Teniendo en cuenta que si $v > 0$ $|k/v| < \lambda$ se tiene

$$\int_{-\infty}^{+\infty} dx \frac{e^{kx}}{(e^{\lambda x} + e^{-\lambda x})^v} = \frac{\Gamma(\frac{v}{2} + \frac{k}{2\lambda}) \Gamma(\frac{v}{2} - \frac{k}{2\lambda})}{2\lambda \Gamma(v)} \quad (2)$$

entonces en el límite $L \rightarrow \infty$

$$E_{\text{hund}}^{\text{cl}} - E_{\text{vac}}^{\text{cl}} = \frac{2\sqrt{2}}{3} \frac{m^3}{\lambda} \quad (2)$$

Es claro que ϕ_{hund} es un extremo de $V[\phi]$. Veamos si es un mínimo local o equivalentemente, si ϕ_{hund} es solución estable clásicamente. Para ello desarrollemos $V[\phi]$ en $\phi(x) = \phi_{\text{hund}}(x) + \eta(x)$, así obtenemos

$$\begin{aligned} V[\phi] &= V[\phi_{\text{hund}}] + \frac{1}{2} \int dx \eta(x) \left\{ -\nabla^2 - m^2 + 3m^2 \tanh^2 \frac{mx}{\sqrt{2}} \right\} \eta(x) \\ &\quad + m\sqrt{2} \int dx \eta^3(x) \tanh \frac{mx}{\sqrt{2}} + \frac{1}{4} \lambda \int dx \eta^4(x) \end{aligned} \quad (3)$$

Veamos cuáles son las funciones propias del operador cuadrático

$$\left[-\frac{d^2}{dx^2} - m^2 + 3m^2 \tanh^2 \frac{mx}{\sqrt{2}} \right] \eta_c(x) = \tilde{\omega}_c^2 \eta_c(x) \quad (4)$$

Hagamos el cambio de variables

$$z = \frac{mx}{\sqrt{2}} , \quad \epsilon_i = \frac{\tilde{\omega}_i^2}{m^2} - 2 , \quad \tilde{\eta}_i(z) = \eta_i(x) \quad (1)$$

Entonces

$$\left[-\frac{d^2}{dz^2} - \frac{6}{\cosh^2 z} \right] \tilde{\eta}_i(z) = 2\epsilon_i \tilde{\eta}_i(z) \quad (2)$$

que es la ecuación estudiada en la pag II. 24. Entonces existen solo dos estados ligados ($\epsilon < 0$) y un estado de colisión ($\epsilon > 0$)

$$\epsilon_0 = -2 , \quad \tilde{\omega}_0^2 = 0 , \quad \tilde{\eta}_0(z) = -\frac{1}{\cosh^2 z}$$

$$\epsilon_1 = -\frac{1}{2} , \quad \tilde{\omega}_1^2 = \frac{3}{2} m^2 , \quad \tilde{\eta}_1(z) = \frac{\sinh z}{\cosh^2 z} \quad (3)$$

$$\epsilon = \frac{1}{2} k^2 \quad \tilde{\omega}_k^2 = -m^2 \left(\frac{1}{2} k^2 + 2 \right) , \quad \tilde{\eta}_k(z) = e^{ikz} (3 \tanh^2 z - 1 - k^2 - 3ik \tanh z)$$

Para obtener la densidad de estas soluciones de colisiones, notemos que cuando $z \rightarrow \pm \infty$ se transforman en

$$\tilde{\eta}_k(z) \rightarrow e^{ikz} [2 - k^2 \mp 3ik]$$

que puede escribirse como

$$\tilde{\eta}_k(z) \rightarrow e^{i(kz \pm \frac{1}{2}\delta)} \quad (4)$$

donde el comienzo de fase es

$$\frac{1}{2}\delta(k) = -\operatorname{arctg} \frac{3k}{2-k^2} \quad (5)$$

Además la longitud de la raya en términos de la variable z es $mL/\sqrt{2}$. y las condiciones fronteras implican

$$k \frac{mL}{\sqrt{2}} + \delta(k) = 2mn \quad m = 1, 2, \dots \quad (6)$$

cuando $L \rightarrow \infty$ se tiene

$$\frac{dm}{dk} = \frac{1}{2n} \left\{ \frac{mL}{\sqrt{2}} + \frac{d\delta(k)}{dk} \right\} = \frac{1}{2n} \left\{ \frac{mL}{\sqrt{2}} - 6 \frac{(k^2+2)}{(k^2+1)(k^2+4)} \right\} \quad (7)$$

Notese que los estados ligados o de colisión de la ecuación (2) no deben confundirse con los estados ligados o de colisión de la teoría de campos original.

Vemos que todos los $\tilde{\omega}_i^2$ son positivos excepto $\tilde{\omega}_0^2$ que es nulo. Entonces el "kink" es estable clásicamente para todos los modos excepto uno, donde tiene neutralidad estable. El modo de frecuencia cero es uno consecuencia de la invariancia translacional del Lagrangiano. Si $\phi(x, t)$ es una solución de las ecuaciones del movimiento también lo es $\phi(x+a, t)$ para cualquier constante a . En nuestro caso estos son $\phi_{\text{kink}}^{(a)}(x)$ que tiene la misma $V[\phi]$ para todo valor de a . Notemos que

$$\delta \phi = \phi_{\text{kink}}^{(a)}(x) - \phi_{\text{kink}}^{(0)}(x) = \delta a \frac{\partial \phi_{\text{kink}}^{(0)}}{\partial x} = \delta a \frac{m^2}{\sqrt{2}\lambda} \frac{1}{\cosh^2 \frac{mx}{\sqrt{2}}} \quad (1)$$

que es exactamente la función propia de frecuencia cero.

Es evidente que el modo de frecuencia cero no es una peculiaridad de este modelo, y aparecerá en toda solución con dependencia espacial de una teoría de campo invariante bajo traslaciones. Sin embargo en el caso de soluciones que no dependan del tiempo, como el valor $\phi_0 = m/\sqrt{\lambda}$, la operación de traslación da de nuevo la misma solución, en cuyo caso no aparecen nuevas funciones con la misma energía y el modo de frecuencia cero no está presente necesariamente. Vemos de (3.2) que en nuestro modelo las fluctuaciones alrededor del valor de frecuencia más baja corresponden a la masa del bosón $\sqrt{2} m$ y no cero.

Volviendo a nuestro problema, hemos determinado los valores propios $\tilde{\omega}_i^2$ de la segunda derivada de $V[\phi]$ alrededor de ϕ_{kink} . Todos excepto $\tilde{\omega}_0^2$ son definitivamente positivos. Esto significa que en el espacio de los campos ϕ_{kink} es un mínimo de $V[\phi]$ en todas las direcciones menos una, la correspondiente a la traslación del kink como un todo. Excepto por el modo translacional, podemos aplicar los métodos de acoplamiento doble para hallar un conjunto de niveles energéticos perturbando alrededor de $\phi_{\text{kink}}^{(0)}(x)$. El resultado, para el nivel más bajo (el estado fundamental del kink o hadión extendido) sería, ignorando ordenes más altas en λ

$$E_{\text{kink}} \approx V[\phi_{\text{kink}}] + \frac{1}{2} \sum_i \tilde{\omega}_i \quad (2)$$

Incluir o no incluir el término de frecuencia cero en esta ecuación no altera el resultado. Sin embargo los principios detrás de la ecuación (2) no son estrictamente válidos cuando el modo $w=0$ está presente. A lo largo del modo translacional, el potencial es constante, y el sistema no es como un oscilador sino como una partícula libre. Cuando el potencial es constante en una coorde-

nada es en modo perturbar al rededor de un valor cualquiera de esta considerada. Las funciones de onda tienden a esparcirse sobre todos los valores de esta considerada. Por ejemplo en un problema monodimensional en el que $V(x) = V_0 = \text{cte}$ entonces los niveles energéticos son de la forma $V_0 + \frac{1}{2} p^2$ y la función $\exp(ipx)$. Para el kink, las funciones de onda de los estados propios de la energía se esparciran a lo largo del modo traslacional, i.e. sobre el conjunto de las funciones $\phi_{\text{kink}}^{(a)}(x)$. Una solución particular $\phi_{\text{kink}}^{(0)}(x)$ no tiene significado especial. Si intentáramos perturbar alrededor de $\phi_{\text{kink}}^{(0)}$, se originaran singularidades infinitas. Otra forma de decir esto es la siguiente: si en alguna solución, digamos $\phi_{\text{kink}}^{(0)}$, está en reposo y bien localizada, lo cual viola el principio de invariancia. La misma simetría traslacional que ha originado el modo de frecuencia cero da origen también a la conservación del momento total. De la misma forma que las ondas planas de una partícula libre se extienden por todo el espacio, el kink de momento definido se extiende sobre todo el modo traslacional.

Más adelante veremos como tratar el modo traslacional. El resultado es simple: los niveles energéticos correspondientes al kink son de la forma $E = (M^2 + p^2)^{1/2}$, donde p es el momento total y M es la "masa" del kink que resulta ser la cantidad que se obtiene de la ecuación maítre (7.2). Esto es físicamente razonable. La masa en reposo del estado kink debe provenir de su energía clásica mas las fluctuaciones de punto cero de los modos normales. Anticipando este resultado calcularemos M .

De (7.2)

$$E_{\text{kink}} = V[\phi_{\text{kink}}] + \frac{m}{2} \sqrt{\frac{3}{2}} + \frac{1}{2} \sum_{q_m} m \left(\frac{1}{2} q_m^2 + 2 \right)^{1/2} \quad (1)$$

mientras que del vacío es

$$E_{\text{vac}} = V[\phi_0] + \frac{1}{2} \sum_{q_m} (q_m^2 + 2m^2)^{1/2} \quad (2)$$

donde

$$L q_m = \frac{m L}{\sqrt{2}} q_m + \delta(q_m) = 2mn \quad (3)$$

para todos los enteros n . Entendemos la cantidad de interés es

$$\begin{aligned} E_{\text{kink}} - E_{\text{vac}} &= V[\phi_{\text{kink}}] - V[\phi_0] + \frac{m}{2} \sqrt{\frac{3}{2}} + \\ &+ \frac{1}{2} \sum_{q_m} \left[m \left(\frac{1}{2} q_m^2 + 2 \right)^{1/2} - \left(\left(\frac{m q_m}{\sqrt{2}} + \frac{\delta(q_m)}{L} \right)^2 + 2m^2 \right)^{1/2} \right] \end{aligned} \quad (4)$$

Si consideramos en primer lugar la suma que aparece en la ecuación anterior en el límite $L \rightarrow \infty$

$$\frac{1}{2} \sum_{q_m} \left\{ \left(\frac{m^2}{2} q_m^2 + 2m^2 \right)^{1/2} - \left(\frac{m^2 q_m^2}{2} + 2m^2 + \frac{2m \delta(q_m) q_m}{\sqrt{2} L} \right)^{1/2} \right\} \approx$$

$$\approx \frac{1}{2} \sum_{q_m} \left\{ - \frac{m q_m}{\sqrt{2} L} \delta(q_m) \frac{1}{\sqrt{\frac{1}{2} m^2 q_m^2 + 2m^2}} \right\}$$

Introduzcamos

$$\tilde{\omega}(q_m) \equiv \left[\frac{1}{2} m^2 q_m^2 + 2m^2 \right]^{1/2} \quad (1)$$

Además de (6.7)

$$\frac{1}{L} \sum_{q_m} \rightarrow \frac{m}{\sqrt{2}} \int_{-\infty}^{+\infty} \frac{dq}{2\pi} + O(1/L) \quad (2)$$

y fm canto

$$E_{\text{kink}} - E_{\text{vac}} = \frac{2\sqrt{2}}{3} \frac{m^3}{\lambda} + \frac{m}{2} \sqrt{\frac{3}{2}} - \frac{1}{4\pi} \int_{-\infty}^{+\infty} dq \delta(q) \frac{d\tilde{\omega}(q)}{dq} =$$

$$= \frac{2\sqrt{2} m^3}{3\lambda} + \frac{m}{2} \sqrt{\frac{3}{2}} - \frac{1}{4\pi} \tilde{\omega}(q) \delta(q) \Big|_{-\infty}^{+\infty} + \frac{1}{4\pi} \int_{-\infty}^{+\infty} q \tilde{\omega}(q) \frac{d\delta(q)}{dq}$$

Por otra parte

$$\frac{d}{dq} \delta(q) = -6 \frac{q^2 + 2}{(q^2 + 1)(q^2 + 4)}$$

$$\Rightarrow \frac{d\delta(q)}{dq} \underset{q \rightarrow \pm\infty}{\sim} -\frac{6}{q^2} \Rightarrow \delta(q) \underset{q \rightarrow \infty}{\sim} \frac{C_0}{q} + \frac{6}{q}$$

$$\tilde{\omega}(q) \delta(q) \underset{q \rightarrow \pm\infty}{\sim} \left(C_0 + \frac{6}{q} \right) \frac{m}{\sqrt{2}} |q|$$

y fm canto

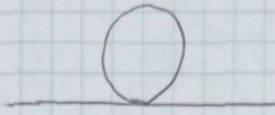
$$\tilde{\omega}(q) \delta(q) \Big|_{-\infty}^{+\infty} = \frac{12m}{\sqrt{2}}$$

Se obtiene pues

$$E_{\text{kink}} - E_{\text{vac}} = \frac{2\sqrt{2} m^3}{3\lambda} + \frac{m}{2} \sqrt{\frac{3}{2}} - \frac{3m}{\pi\sqrt{2}} + \frac{1}{4\pi} \int_{-\infty}^{+\infty} dq \frac{m}{\sqrt{2}} (q^2 + 4)^{1/2} \left(\frac{-6(q^2 + 2)}{(q^2 + 1)(q^2 + 4)} \right) \quad (3)$$

Notar que esta cantidad es logarítmicamente divergente. El problema no tiene nada que ver con la solución kink sino con el mismo lagrangiano

en el que no hemos tomado presente la ordenación normal. Tanto $\phi^2(x)$ como $\phi^4(x)$ tienen valores esperados en el vacío divergentes. La divergencia en $\phi^2(x)$ conduce a una ecuación que es la hallada en (3.2) y que en si misma no es ningún problema pues puede sustituirse. La divergencia en $\phi^4(x)$ es peor. En particular, si hubieramos calculado correcciones de orden superior a (3.2) y (3.3), hubieramos encontrado que la masa del bosón (es decir la diferencia entre la energía del primer estado excitado de (3.3) y el vacío dado en (3.2)) saldría logarítmicamente divergente. En un lenguaje más familiar el propagador $\langle 0 | T(\phi(x)\phi(y)) | 0 \rangle$, que conduce a la masa del bosón, tiene una divergencia logarítmica a causa de diagramas como



La solución es por supuesto sustituir en el Lagrangiano todos los productos por sus ordenados monomiales. Equivalentemente se puede retener los productos de la forma convencional y añadir contactos mínimos. Ambas cosas son equivalentes.

$$m^2 : \phi^2(x) : \sim m^2 [\phi^2(x) - c_1]$$

(1)

$$\lambda : \phi^4(x) : \sim \lambda [\phi^4(x) - c_2 \phi^2(x) - c_3]$$

donde todas las c_i son divergentes. Mientras que c_1 y c_3 afectan sólo la escala total de energías, c_2 es esencial para hacer finita las diferencias de energía entre dos niveles cualesquiera. En más de dos dimensiones entonces además de usar productos ordenados monomiales hay que usar contactos mínimos como es bien sabido en teorías renormalizables. Entonces debemos reemplazar el Lagrangiano dado en (1.1) por

$$\phi'(x) = \phi(x) + \frac{1}{2} \delta m^2 \phi^2(x) \quad (2)$$

y consecuentemente $V[\phi]$ por

$$V'[\phi] = V[\phi] - \frac{1}{2} \delta m^2 \int dx \phi^2(x) \quad (3)$$

donde

$$\delta m^2 = \frac{3\lambda}{4\pi} \int_{-\Lambda}^{\Lambda} dk (k^2 + 2)^{-1/2}, \quad \Lambda \rightarrow \infty \quad (4)$$

esta tomada de forma que cancele la divergencia producida por ϕ^4 . Veremos como el

contáctenos no solo hace las funciones de m-puntos y la masa del bosón finita si no que cambia la divergencia logarítmica hallada antes. ¿Cómo afecta el término añadido los resultados hallados hasta aquí? El nuevo funcional potencial es

$$V'[\phi] = \int dx \left\{ \frac{1}{2} (\nabla \phi)^2 - \frac{1}{2} (m^2 + \delta m^2) \phi^2 + \frac{1}{4} \lambda \phi^4 \right\} \quad (1)$$

El vacío es aún $\phi_0 = m/\sqrt{\lambda}$. Esto puede parecer raro pues ϕ_0 es un mínimo del potencial antiguo con masa m^2 y no del potencial conocido (1) con masa $m^2 + \delta m^2$. Pero en orden más bajo en λ/m^2 el cambio en la acción debido a su dependencia implícita en m^2 a través de ϕ_0 puede ignorarse pues ϕ_0 es precisamente un extremo de la acción. Como antes vimos $\phi'(x) = \phi(x) - m/\sqrt{\lambda}$ y obtenemos

$$\begin{aligned} V'[\phi] &= V[\phi_0] - \frac{1}{2} \delta m^2 \frac{m^2}{\lambda} L + \frac{1}{2} \int dx \phi'(x) [-\nabla^2 + 2m^2] \phi'(x) + \\ &+ \int dx \left[-\delta m^2 \frac{m}{\sqrt{\lambda}} \phi'(x) - \frac{1}{2} \delta m^2 \phi'^2(x) + m\sqrt{\lambda} \phi'^3(x) + \frac{1}{4} \lambda \phi'^4(x) \right] \end{aligned} \quad (2)$$

Como $\delta m^2 \sim O(\lambda)$ los términos de la última integral son de orden $O(1/\lambda)$ o mas elevado y pueden ser tratados perturbatoriamente. Para obtener la nueva energía del vacío en lugar de (3.2) podemos despreciar legítimamente los términos de orden $O(1/\lambda)$ en (2) y su término

$$E_{vac} = \left(-\frac{m^4}{4\lambda} - \frac{\delta m^2}{2} \frac{m^2}{\lambda} \right) L + \frac{1}{2} \sum_{km} (k_m^2 + 2m^2)^{1/2} \quad (3)$$

Haciendo las mismas manipulaciones alrededor del $k_m k$

$$\begin{aligned} V'[\phi] &= V[\phi_{kink}] - \frac{1}{2} \delta m^2 \int dx \phi_{kink}^2(x) + \frac{1}{2} \int dx \eta(x) [-\nabla^2 - m^2 + 3\lambda \phi_{kink}^2(x)] \eta(x) \\ &+ \int dx \left[-\frac{1}{2} \delta m^2 \eta^2(x) - \delta m^2 \phi_{kink}(x) \eta(x) + \lambda \phi_{kink}(x) \eta^3(x) + \frac{1}{4} \lambda \eta^4(x) \right] \end{aligned} \quad (4)$$

y despreciando los términos de orden $O(1/\lambda)$ de la última integral

$$E_{kink} = V[\phi_{kink}] - \frac{1}{2} \delta m^2 \int dx \frac{m^2}{\lambda} \tanh^2 \frac{mx}{\sqrt{\lambda}} + \frac{m}{2} \sqrt{\frac{3}{2}} + \frac{1}{2} \sum_{qm} m \sqrt{\frac{1}{2} q_m^2 + 2} \quad (5)$$

de donde entonces que

$$M \equiv E_{\text{kinetic}} - E_{\text{vac}} = \frac{2\sqrt{2} m^3}{3\lambda} + \frac{m}{2} \sqrt{\frac{3}{2}} - \frac{3m}{\pi\sqrt{2}} - \frac{3m}{2\pi} \int_{-\infty}^{+\infty} dq \sqrt{\frac{q^2+4}{2}} \frac{(q^2+2)}{(q^2+1)(q^2+4)}$$

$$+ \frac{1}{2} \delta m^2 \frac{m^2}{\lambda} \int_{-\infty}^{+\infty} dx \left(1 - \tanh^2 \frac{mx}{\sqrt{2}} \right) \quad (1)$$

Ahora bien

$$\int_{-\infty}^{+\infty} dx \left(1 - \tanh^2 \frac{mx}{\sqrt{2}} \right) = \frac{\sqrt{2}}{m} \int_{-\infty}^{+\infty} dx \left(1 - \tanh^2 x \right) = \frac{4\sqrt{2}}{m} \int_{-\infty}^{+\infty} dx (e^x + e^{-x})^{-2} =$$

$$= \frac{2\sqrt{2}}{m}$$

Además

$$\int_{-\infty}^{+\infty} dq \frac{1}{\sqrt{2}} \frac{q^2+2}{(q^2+1)(q^2+4)} = \begin{cases} q^2 = 2k^2 \\ dq = \sqrt{2} dk \end{cases} = \frac{1}{\sqrt{2}} \int_{-\infty}^{+\infty} dk \frac{2k^2+2}{\sqrt{k^2+2}(2k^2+1)} =$$

$$= \frac{1}{\sqrt{2}} \int_{-\infty}^{+\infty} dk \left(\frac{1}{(k^2+2)^{1/2}} + \frac{1}{(2k^2+1)(k^2+2)^{1/2}} \right)$$

Se tiene entonces

$$M = \frac{2\sqrt{2} m^3}{3\lambda} + \frac{m}{2} \sqrt{\frac{3}{2}} - \frac{3m}{\pi\sqrt{2}} - \frac{3m}{2\pi\sqrt{2}} \int_{-\infty}^{+\infty} dk \left[\frac{1}{(k^2+2)^{1/2}} + \frac{1}{(2k^2+1)(k^2+2)^{1/2}} \right]$$

$$+ \frac{m\sqrt{2}}{\lambda} \delta m^2$$

El último término cancela exactamente el término logarítmicamente divergente de la integral anterior. Además

$$I = \int_{-\infty}^{+\infty} dk \frac{1}{(2k^2+1)(k^2+2)^{1/2}} = \int_{-\infty}^{+\infty} dk \frac{1}{(k^2+1)^{1/2}(k^2+2)^{1/2}} = \frac{2}{\sqrt{3}} \operatorname{arctg} \sqrt{3} = \frac{2\pi}{3\sqrt{3}}$$

Obtenemos pues

$$M = \frac{2\sqrt{2} m^3}{3\lambda} + \frac{m}{2\sqrt{6}} - \frac{3m}{\pi\sqrt{2}} \quad (2)$$

Tenemos pues ya el valor de la masa cuántica para el kink. Tiene una primera pieza $2\sqrt{2} m^3 / 3\lambda$ que proviene de $V[\phi_{\text{bulk}}] - V[\phi_0]$ que es clásica. Además hay una pieza de orden $O(\lambda)$ que proviene de las fluctuaciones de punto cero. Además hay correcciones finitas de orden mas elevado en λ que no hemos calculado. Que la "parte clásica" de la masa es de $O(1/\lambda)$ y domina sobre

los efectos cuánticos de orden O(1) parece ser una característica general de estos partículas con extensión que se obtienen en el límite de acoplamiento débil a partir de soluciones no triviales independientes del tiempo. De (11.2) es evidente que las soluciones no triviales estables tienen energía de orden $1/\lambda$.

Como hemos dicho antes y demostremos más adelante, un tratamiente correcto del modo traslacional da para los niveles energéticos $E_m = \sqrt{H^2 + P_m^2}$, donde P_m es el momento del kink. Además H dada en (12.2) y E_{kink} dada en (11.5) corresponden al nivel de energía más bajo obtenido perturbando al rededor del kink. Niveles más altos pueden hallarse excitando modos normales estables en (6.3) de forma análoga a como los cuantos usuales de la Teoría son excitados a partir del vacío. Como ya hemos dicho antes estos modos se pueden considerar como osciladores armónicos independientes. La cantidad M corresponde al autovalor fundamental de todos los osciladores. Si uno de los modos, digamos el disrupto $\tilde{\omega}_1^2 = 3m^2/2$ es excitado al nivel m , la masa correspondiente es

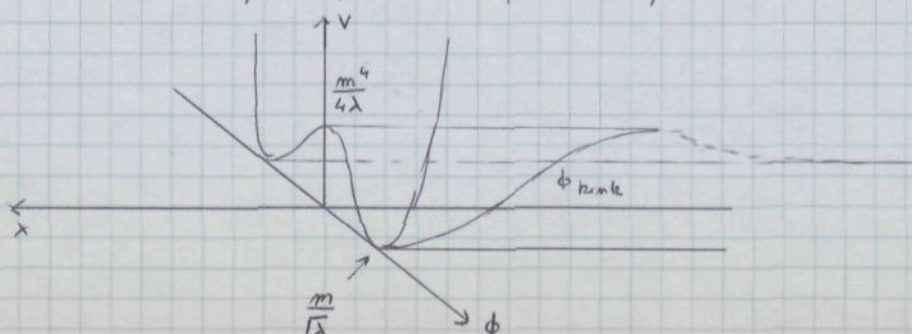
$$M(m) = M + m \sqrt{\frac{3}{2}} m \quad (1)$$

Esta masa corresponde a un estado excitado del kink. Otros estados excitados obtenidos por excitación de $\tilde{\eta}_k(z)$ pueden imaginarse como un conjunto de los barones usuales en la proximidad de un kink.

Como $\phi_{\text{kink}}(x)$ no es un mínimo absoluto de la energía potencial, es natural preguntarse si los estados constituidos a partir de él son estables. Hay razones para creer que el estado es estable aunque $\phi_{\text{kink}}(x)$ no sea un mínimo absoluto de $V[\phi]$. La barrera de potencial en el espacio de las funciones que separa ϕ_{kink} de ϕ_0 es de alguna forma infinita; cuando la longitud del espacio L tiende a infinito. Para ver esto, consideremos la parte n^{a} gradiente de la densidad de energía potencial

$$\tilde{V}(\phi) \equiv \frac{1}{4} \lambda \phi^4(x) - \frac{1}{2} m^2 \phi^2(x) \quad (2)$$

En cada punto x del espacio, $\tilde{V}(\phi)$ puede representarse como una función de ϕ



con dos mínimos degenerados en $\phi = \pm \frac{m}{\sqrt{\lambda}}$, separados por una barrera de altura $m^4/4\lambda$. Si dejamos que x varíe de $-L/2$ a $L/2$, con L muy grande, entonces $\tilde{V}(\phi)$ traza un par de valles degenerados con un pionante no entre ellos. La solución $\phi_{\text{kink}}(x)$ (y sus inmediatas exultaciones) tienden a $-m/\sqrt{\lambda}$ para $x \rightarrow -\infty$ y a $+m/\sqrt{\lambda}$ para $x \rightarrow \infty$. Salvo en una región finita cerca de $x \approx 0$, ϕ_{kink} yace aproximadamente en un valle la mitad del espacio y en el otro valle la otra mitad. En contraste cualquiera de los vaivén clásicos está totalmente en uno de los valles. Para convertir un ϕ_{kink} en alguna exultación finita alrededor de ϕ_0 , uno debe elevar eventualmente la mitad del espacio desde $-m/\sqrt{\lambda}$ a $+m/\sqrt{\lambda}$, a través de la barrera. Esto exige levantar una barrera de altura $m^4/4\lambda$ en cada fente, lo cual es una barrera total de tamaño $(L/2) \cdot (m^4/4\lambda)$ que claramente diverge cuando $L \rightarrow \infty$.

En este sentido hay una barrera de potencial infinita en el espacio de funciones que separa ϕ_{kink} de ϕ_0 . Parece razonable que la contribución definida positiva del gradiente que hemos ignorado no cambie la conclusión.

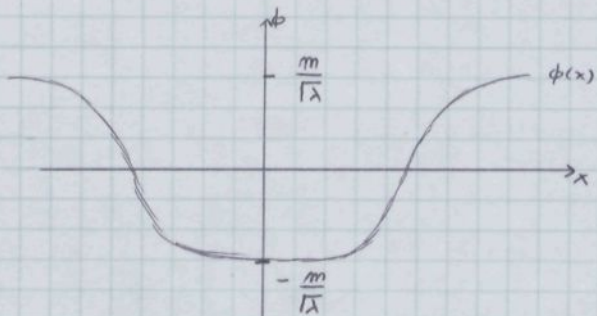
Este argumento es a lo más heurístico. Podemos considerar sin perder que este argumento es el modo convenientemente sencillo de ver que el modelo tiene dos vaivénes degenerados con espacios de Hilbert separados: para ir de $\phi_0 = m/\sqrt{\lambda}$ a $\phi_0 = -m/\sqrt{\lambda}$ (o exultaciones finitas o su alrededor) se debe elevar a lo largo de todo L la solución a través de la barrera y la altura de la barrera es $L m^4/4\lambda$ que tiende hacia os cuando $L \rightarrow \infty$, y por tanto no habrá efecto tímico del uno al otro.

Sospechamos pues que los estados contenidos en la aproximación de acoplamiento débil a partir de ϕ_{kink} no se mezclan con aquellos contenidos a partir de los dos vaivénes $\pm \phi_0$. Por tanto el primer conjunto se puede considerar que tiene un número cuántico conservado que llamaremos número bariónico B. El estado más bajo contenido sobre el kink, puede llamarlo báron y su masa es

$$M = \frac{2\sqrt{2} m^3}{3\lambda} + m \left(\frac{1}{2\sqrt{6}} - \frac{3}{m\sqrt{2}} \right) \quad (1)$$

y por tanto, en la aproximación de acoplamiento débil, es muy profunda. Estos exultaderos sobre el kink obtenidos por exultación de los modos normales $\tilde{\psi}(z)$ también tienen el mismo número bariónico y pueden considerarse como estados formados por un báron y vaivénes mesónes. Evidentemente los mesones son mucho mas ligeros que el báron.

Hay dos sectores sin báriones que son los constituidos a partir de los dos vacíos $\pm \phi_0$ y que no se mezclan, esperemos, entre sí ni con el sector báriónico. Es tentador pensar que el mismo bártion es aditivo con kinks con $B=+1$, vacío con $B=0$ y anti-kinks con $B=-1$. Los anti-kinks son $\phi_{\text{anti-kink}}(x) = -\phi_{\text{kink}}(x)$. Notén que los estados $B=-1$ y los $B=1$ se pueden aniquilar para dar $B=0$, again si se puede restringir fuertemente a nivel cuántico. Consideremos una configuración de campo como la de figura.



Esta configuración puede imaginarse como un kink y un anti-kink separados, fuertemente pertenecientes al vector $B=0$. Si se mucha gente de energía, el kink y el anti-kink pueden aproximarse el uno al otro y disolverse con pequeñas oscilaciones alrededor de ϕ_0 . Notén que no hay estados con $|B| > 1$.

Dado que el estado más bajo del kink parece ser estable nos podemos preguntar si $\phi_{\text{kink}}(x)$ representa alguna característica de este estado báriónico. Claramente no es la función de onda del bártion. La función de onda correspondiente al estado fundamental $\Psi_0[\phi]$ estará fuertemente picada alrededor de $\phi = \phi_{\text{kink}}(x)$ y de los trasladados $\phi_{\text{kink}}(x-a)$. Discutámos este punto con más detalle siguiendo J. Goldstone y R. Jackiw Phys. Rev. D 11, 1486 (1975).

Tomemos como base del sector $B=1$ los estados propios del momento del bártion $|p\rangle$ y los del bártion más uno o más mesones $|p, \{k\}\rangle$. Vemos que todos los modos propios $\tilde{\gamma}_k$, excepto los discretos η_0 y η_1 , pueden caracterizarse por sus momentos asintóticos k . Por conveniencia ignoraremos los η_2 (el número de estos modos discretos depende del modelo y siempre pueden incorporarse incluyendo estados exóticos del bártion $|p^*\rangle$). El modo translacional η_0 es un embargo una característica de estos modelos. Supondremos que el conjunto completo de estados no incluye mesones correspondientes a η_0 . Veremos que esto es autoconsistente y esto de acuerdo con el hecho de que η_0 juega el único papel de dar a los báriones los estados correctos de momento.

Supondremos como hipótesis básica que

$$\langle p, \{k\} | \bar{\Phi}(x, t) | q, \{l\} \rangle_c \sim O(\lambda^{(m+m-1)/2}) \quad (1)$$

$$\{k\} = k_1, k_2, \dots, k_m, \quad \{l\} = l_1, l_2, \dots, l_m$$

donde c indica conectados y $\bar{\Phi}$ es el operador cuántico del estado báronico.

Este está de acuerdo con (5.3) donde vemos que la absorción o emisión de un mesón debido a la interacción cuesta al menos un factor $1/\lambda$. Por otra parte cuando no hay mesones el mencionado elemento de matriz es de orden $1/\lambda$ como veremos más adelante. Como la masa del báron es grande

$$E_p = (M^2 + p^2)^{1/2} = M + \frac{1}{2M} p^2 + O(\lambda^2) \quad (2)$$

y por tanto

$$\Delta E = E_p - E_q = \frac{1}{2M} (p^2 - q^2) + O(\lambda^2) \quad (3)$$

es de orden λ . Combinémoslo con todo esto definimos

$$\langle p | \bar{\Phi}(x, 0) | q \rangle \equiv \int_{-\infty}^{+\infty} \frac{da}{2\pi} e^{i(p-q)a} f_1(x-a) \quad (4)$$

$$\langle p, k | \bar{\Phi}(x, 0) | q \rangle \equiv \int_{-\infty}^{+\infty} \frac{da}{2\pi} e^{i(p+k-q)a} f_2(k, x-a) \quad (5)$$

y similarmente para elementos de matriz más complicados.

El operador campo en la representación de Heisenberg debe satisfacer

$$\left(\frac{\partial^2}{\partial t^2} - \frac{\partial^2}{\partial x^2} - m^2 \right) \bar{\Phi}(x, t) = -\lambda^3 \bar{\Phi}(x, t) \quad (6)$$

Tomando elementos de matriz entre estados báronicos, el miembro de la izquierda hace $t=0$ da

$$\int_{-\infty}^{+\infty} \frac{da}{(2\pi)} \left\{ - (E_p - E_q)^2 - \frac{\partial^2}{\partial x^2} - m^2 \right\} e^{i(p-q)a} f_1(x-a) \quad (7)$$

y el de la derecha

$$-\lambda \sum_{m, m'} \langle p | \bar{\Phi}(x, 0) | m \rangle \langle m | \bar{\Phi}(x, 0) | m' \rangle \langle m' | \bar{\Phi}(x, 0) | p \rangle \quad (8)$$

donde $|m\rangle$ y $|m'\rangle$ son los conjuntos completos de estados introducidos antes. De (1)

y (3) es evidente que al orden dominante $O(1/\lambda)$, se deben incluir únicamente en (8) los estados báronicos y que $(E_p - E_q)^2$ puede eliminarse. Entonces

$$\begin{aligned}
 -\lambda \langle p | \bar{\Phi}^3(x, 0) | q \rangle &= -\lambda \int dp' dp'' \langle p | \bar{\Phi}(x, 0) | p' \rangle \langle p' | \bar{\Phi}(x, 0) | p'' \rangle \langle p'' | \bar{\Phi}(x, 0) | q \rangle = \\
 &= -\lambda \int dp' dp'' \frac{da}{2\pi} \frac{da'}{2\pi} \frac{da''}{2\pi} e^{i(p-p')a + i(p'-p'')a' + i(p''-q)a''} f_1(x-a) f_1(x-a') f_1(x-a'') \\
 &= -\lambda \int da da' da'' \frac{1}{2\pi} \delta(a-a') \delta(a'-a'') e^{i(p-q)a} f_1^3(x-a) = \\
 &= -\lambda \int \frac{da}{2\pi} f_1^3(x-a) e^{i(p-q)a}
 \end{aligned}$$

Se obtiene pues

$$\int_{-\infty}^{+\infty} \frac{da}{2\pi} \left[-\frac{d^2}{dx^2} - m^2 \right] f_1(x-a) e^{i(p-q)a} = -\lambda \int_{-\infty}^{+\infty} \frac{da}{2\pi} f_1^3(x-a) e^{i(p-q)a} \quad (1)$$

para todo p y q y tanto $f_1(x)$ debe satisfacer la ecuación (3.4) y $f_1(x) = \phi_{\text{part}}(x)$

Obtenemos por tanto

$$\langle p | \bar{\Phi}(0, 0) | q \rangle = \int_{-\infty}^{+\infty} \frac{dy}{2\pi} e^{-i(p-q)y} \phi_{\text{part}}(y) \quad (2)$$

Vemos pues que $\phi_{\text{part}}(y)$ es la transformada de Fourier del factor de forma $\langle p | \bar{\Phi}(0, 0) | q \rangle$ del báyon. Es esto precisamente lo que hace que digamos que el báyon es un objeto extenso.

Similarmente podemos calcular el elemento de matriz de (16.6) entre el estado $|q\rangle$ y el $|p, k\rangle$

$$\begin{aligned}
 &\int \frac{da}{2\pi} \left\{ -(E_{p, k} - E_q)^2 - \frac{\partial^2}{\partial x^2} - m^2 \right\} e^{i(p+k-q)a} f_2(k, x-a) = \\
 &= -\lambda \langle p, k | \bar{\Phi}^3(x, 0) | q \rangle = -\lambda \int dp' dp'' \langle p, k | \bar{\Phi}(x, 0) | p' \rangle \langle p' | \bar{\Phi}(x, 0) | p'' \rangle \langle p'' | \bar{\Phi}(x, 0) | q \rangle = \\
 &= -\lambda \int dp' dp'' \frac{da}{2\pi} \frac{da'}{2\pi} \frac{da''}{2\pi} e^{i(p+k-p')a} e^{i(p'-p'')a'} e^{i(p''-q)a''} f_2(k, x-a) f_1(x-a') f_1(x-a'') \\
 &= -\lambda \int da da' da'' \frac{1}{2\pi} e^{i(p+k-q)a} \delta(a-a') \delta(a'-a'') f_2(k, x-a) f_1^2(x-a) = \\
 &= -\lambda \int \frac{da}{2\pi} e^{i(p+k-q)a} f_2(k, x-a) f_1^2(x-a) + 2 \text{ términos semejantes correspondientes} \\
 &\quad \text{a las otras similitudes de creación de mesones.}
 \end{aligned}$$

Además

$$(E_{p, k} - E_q)^2 = (E_p + \tilde{\omega}_k - E_q)^2 = (E_p - E_q)^2 + 2\tilde{\omega}_k (E_p - E_q) + \tilde{\omega}_k^2 \simeq \tilde{\omega}_k^2$$

λ^2

λ

λ^0

con lo cual

$$\int \frac{da}{2\pi} \left[-\tilde{\omega}_k^2 - \frac{\partial^2}{\partial x^2} - m^2 \right] e^{i(p+k-q)a} f_2(k, x-a) = \\ = -3\lambda \int \frac{da}{2\pi} e^{i(p+k-q)a} f_2(k, x-a) f_1^2(x-a)$$

y teniendo

$$\left[-\frac{d^2}{dx^2} + 3\lambda \phi_{\text{Rink}}^2(x) - m^2 \right] f_2(k, x) = \tilde{\omega}_k^2 f_2(k, x) \quad (1)$$

y comparando con (5.5) y teniendo en cuenta la normalización usual de los bosones

$$f_2(k, x) = \frac{1}{\sqrt{2\tilde{\omega}_k}} \eta_k(x) \quad (2)$$

como las $\eta_k(x)$ forman un conjunto ortogonal completo

$$\delta(x-y) = \sum_k \eta_k^*(x) \eta_k(y) + \eta_0^*(x) \eta_0(y) = \\ = \sum_k 2\tilde{\omega}_k f_2^*(k, x) f_2(k, y) + \eta_0^*(x) \eta_0(y) \quad (3)$$

Vemos pues que el modo traslacional es necesario para obtener un conjunto completo.

Si embargo al buscar un conjunto completo de estados hemos supuesto que no hay mesones asociados con este modo. Vamos ver que esto no es inconsistente considerando el commutador canonico

$$[\Phi(x, 0), \dot{\Phi}(y, 0)] = i \delta(x-y) \quad (4)$$

De nuevo calcularemos el valor esperado de esta relación

$$\langle p | [\Phi(x, 0), \dot{\Phi}(y, 0)] | q \rangle = \\ = \sum_{p'} \left[\langle p | \dot{\Phi}(x, 0) | p' \rangle \langle p' | \dot{\Phi}(y, 0) | q \rangle - \langle p | \dot{\Phi}(y, 0) | p' \rangle \langle p' | \dot{\Phi}(x, 0) | q \rangle \right] + \\ + \sum_{p', k} \left[\langle p | \Phi(x, 0) | p', k \rangle \langle p', k | \dot{\Phi}(y, 0) | q \rangle - \langle p | \dot{\Phi}(y, 0) | p', k \rangle \langle p', k | \Phi(x, 0) | q \rangle \right] + O(\lambda) \quad (5)$$

Empecemos calculando la contribución sin mesones (N.M.)

$$N.M. = i \int dp' \left[(E_{p'} - E_q) \langle p | \dot{\Phi}(x, 0) | p' \rangle \langle p' | \dot{\Phi}(y, 0) | q \rangle + (E_p - E_{p'}) \langle p | \Phi(y, 0) | p' \rangle \langle p' | \Phi(x, 0) | q \rangle \right] \\ = i \int dp' \frac{da}{2\pi} \frac{db}{2\pi} f_1(x-a) f_1(y-b) \left\{ (E_{p'} - E_q) e^{i(p-p')a} e^{i(p'-q)b} - (E_p - E_{p'}) e^{i(p-p')b} e^{i(p'-q)a} \right\} =$$

$$= i \int dp' \frac{da}{2\pi} \frac{db}{2\pi} f_1(y-b) f_1(x-a) e^{+i(p-p')a} e^{-i(p'-q)b} [E_{p'} - E_q - E_p + E_{p-p'+q}]$$

donde em la ultima integral hemos realizado el cambio $p' \rightarrow p - p' + q$. Ademas

$$E_{p'} - E_q - E_p + E_{p-p'+q} = \frac{1}{2M} (p'^2 - q^2 - p^2 + p^2 + q^2 + p'^2 - 2pp' + 2pq - 2qp') =$$

$$= \frac{1}{M} (p'^2 - pp' + pq - qp') = \frac{1}{M} (p'^2 - q^2) (p' - p) + O(\lambda^2)$$

de donde

$$N.M. = \frac{i}{M} \int dp' \frac{da}{2\pi} \frac{db}{2\pi} f_1(y-b) f_1(x-a) (p'-q)(p'-p) e^{i(p-p')a + i(p'-q)b}$$

$$= -\frac{i}{M} (-i)^2 \int dp' \frac{da}{2\pi} \frac{db}{2\pi} f_1(y-b) f_1(x-a) \frac{\partial e^{i(p-p')a}}{\partial a} \frac{\partial e^{i(p'-q)b}}{\partial b}$$

$$= \frac{i}{M} \int dp' \frac{da}{2\pi} \frac{db}{2\pi} \frac{\partial f_1(x-a)}{\partial x} \frac{\partial f_1(y-b)}{\partial y} e^{i(p-p')a + i(p'-q)b} =$$

$$= \frac{i}{M} \int \frac{da}{2\pi} \left[\frac{\partial}{\partial x} f_1(x-a) \right] \left[\frac{\partial}{\partial y} f_1(y-a) \right] e^{i(p-q)a} \quad (1)$$

Hemos visto anteriormente (7.1)

$$\frac{\partial}{\partial x} f_1(x-a) = \frac{\partial}{\partial x} \phi_{Rink}(x-a) = A \eta_0(x-a) \quad (2)$$

donde $\eta_0(x)$ está normalizada y en el campo

$$\begin{aligned} A^2 &= \int dx \left(\frac{\partial}{\partial x} \phi_{Rink}(x) \right)^2 = \frac{m^4}{2\lambda} \int dx \frac{1}{\cosh^4(mx/\sqrt{2})} = \frac{8\sqrt{2}m^3}{\lambda} \int_{-\infty}^{+\infty} dt (e^t + e^{-t})^{-4} \\ &= \frac{2\sqrt{2}}{3} \frac{m^3}{\lambda} = M + O(\lambda^0) \end{aligned}$$

Obtenemos así en el orden deseado

$$N.M. = i \int \frac{da}{2\pi} e^{i(p-q)a} \eta_0(x-a) \eta_0(y-a) \quad (3)$$

Similárnamente el término con un bosón y un mesón da

$$OM = i \int \frac{da}{2\pi} dk e^{i(p-q)a} f_2^+(k, x-a) f_2(k, y-a) \tilde{\omega}_k + (x \leftrightarrow y)$$

Obtenemos entonces

$$\langle p | [\Phi(x_0), \dot{\Phi}(y_0)] | q \rangle = i \int \frac{da}{2\pi} e^{i(p-q)a} \frac{1}{2} [2\tilde{\omega}_k f_2^*(k, x-a) f_2(k, y-a) + \eta_0(x-a) \eta_0(y-b) + xy]$$

$$= e \int \frac{da}{2\pi} e^{i(p-q)a} \delta(x-y) = e \delta(p-q) \delta(x-y) \quad (1)$$

como debe ser. Esto confirma de nuevo que el modo $q=0$ no está ocupado con mesones., sino con el movimiento armónico del estado barónico. Evidentemente no se cambia nada en las conclusiones si añadimos modos discretos más traslatorios tales como $\omega_i = \sqrt{3} m / \sqrt{2}$ en nuestro modelo. La rotación se hace más complicada pues el conjunto completo de estados tiene que ampliarse para incluir estados excitados barónicos caracterizados por p_{final} , donde i corresponde al modo discreto y f nos dan sus números de ocupación.

Veamos finalmente como tratar el modo traslacional. Vemos que al pertenecer al rededor de la solución estática $\phi_{\text{kim}}(x)$ todos los modos normales de las fluctuaciones podrían ser tratados en la aproximación de oscilador armónico, salvo el modo traslacional. Las consideraciones anteriores sobre acoplamiento fuerte sugieren el modo sombreado como correcto: perturbar alrededor de soluciones clásicas periódicas (dependientes del tiempo), imponer la condición WKB y usar los ángulos de estabilidad. Las soluciones deben ser no lineales en el modo traslacional, pero pueden ser lineales (esto es estáticas) en los otros modos doblemente acoplados. También vemos que el potencial es constante a lo largo del modo traslacional. Este modo se comporta como una partícula libre. Estas consideraciones implican que usemos soluciones clásicas en las que el kink se mueve como un todo a velocidad constante sin distorsionarse. A causa de la invariancia Lorentz de la teoría es fácil darse cuenta que si nos dan una solución estática

$$\phi_{\text{kim}}(x) = \frac{m}{\Gamma \lambda} \tanh \frac{x m}{\sqrt{2}} \quad (2)$$

la solución deseada es

$$\phi^{(\nu)}(x, t) = \phi_{\text{kim}} \left(\frac{x - \nu t}{\sqrt{1 - \nu^2}} \right) \quad (3)$$

Para convertirla en periódica usaremos el mismo método que para la partícula libre: supondremos que el espacio es una caja cerrada de longitud L , donde L tiende a infinito. La velocidad ν y el periodo τ están relacionados por

$$\tau = \frac{L}{\nu} \quad (4)$$

La acción después de un tiempo τ es

$$S^{(v)}(\tau) = \int_0^\tau dt \int_{-\infty}^{+\infty} dx \left\{ \frac{1}{2} \left(\frac{\partial \phi^{(v)}}{\partial t} \right)^2 - \frac{1}{2} \left(\frac{\partial \phi^{(v)}}{\partial x} \right)^2 + \frac{1}{2} m^2 \phi^{(v)2} - \frac{1}{4} \lambda \phi^{(v)4} - \frac{1}{4} \frac{m^4}{\lambda} \right\} \quad (1)$$

donde hemos referido la acción a su valor en el vacío. Una simple álgebra da

$$S^{(v)}(\tau) = \int_0^\tau dt \int_{-\infty}^{+\infty} dx \sqrt{1-v^2} \left\{ -\frac{1}{2} \left(\frac{\partial \phi_{\text{unif}}}{\partial x} \right)^2 + \frac{1}{2} m^2 \phi_{\text{unif}}^2 - \frac{1}{4} \lambda \phi_{\text{unif}}^4 - \frac{1}{4} \frac{m^4}{\lambda} \right\}$$

y teniendo en cuenta la masa clásica

$$M_{\text{cl}} = \frac{2\sqrt{2}}{3} \frac{m^3}{\lambda} \quad (2)$$

se obtiene

$$S^{(v)}(\tau) = - M_{\text{cl}} \sqrt{1-v^2} \tau \quad (3)$$

Para obtener los ángulos de estabilidad necesitaremos resolver

$$\left[-\frac{\partial^2}{\partial t^2} - V''(\phi^{(v)}) \right] \eta(x, t) = \left[-\frac{\partial^2}{\partial t^2} + \frac{\partial^2}{\partial x^2} + m^2 - 3\lambda \phi^{(v)2} \right] \eta(x, t) = 0 \quad (4)$$

Esta ecuación ya ha sido prácticamente resuelta. En efecto mediante una transformación de Lorentz transformamos (4) a un sistema (x', t') en el que el kink se halla en reposo

$$\left[-\frac{\partial^2}{\partial t'^2} + \frac{\partial^2}{\partial x'^2} + m^2 - 3\lambda \phi_{\text{unif}}^2(x', t') \right] \eta(x', t') = 0 \quad (5)$$

cuyas soluciones son

$$\eta_c(x', t') = \eta_c(x') e^{i\tilde{\omega}_c t'} \quad (6)$$

donde η_c y $\tilde{\omega}_c$ vienen dadas en [6.3]. Pasando de nuevo a las coordenadas originales y teniendo en cuenta que después de un ciclo completo $t \rightarrow t + \tau$ y $x \rightarrow x + L$ obtenemos

$$\eta_c(x, t + \tau) = \eta_c(x, t) e^{i\tilde{\omega}_c \tau \sqrt{1-v^2}} \quad (7)$$

y tanto hay un ángulo de estabilidad sólo correspondiente a $\tilde{\omega}_0$. Ondas monos en un momento de los contactos entonces de acuerdo con (4.3.3)

$$W_{\{p_i\}}(E) = S_{\text{cl}}(\tau) + E\tau - \sum_i (p_i + \frac{1}{2}) F v_i(\tau) \quad (8)$$

y en particular para el caso $p_i \leq 0$ no tiene (el éido del hínt no exiliado)

$$W(E) = - \left(M_{\text{ce}} + \frac{1}{2} \sum_c \hbar \tilde{\omega}_c \right) c \sqrt{1-v^2} + E c \quad (1)$$

donde el periodo $c(E)$ viene determinado por (43.4)

$$\frac{\partial}{\partial c} \left(M c \sqrt{1-L^2/c^2} \right) = E \quad (2)$$

donde $M \equiv M_{\text{ce}} + \frac{1}{2} \sum_c \hbar \tilde{\omega}_c$ es la masa en reposo del hínt teniendo en cuenta las condiciones cuánticas. De (2) se deduce

$$E = \frac{M}{\sqrt{1-L^2/c^2}} \Leftrightarrow c = \frac{L E}{\sqrt{E^2-M^2}} \quad (3)$$

e insertando esto en (1) y teniendo en cuenta (43.5)

$$W(E) = L \sqrt{E^2-M^2} = 2\pi m \quad m = \text{entero} \quad (4)$$

y por tanto las energías son

$$E_m = \left[M^2 + \left(\frac{2\pi m}{L} \right)^2 \right]^{1/2} = \sqrt{M^2 + p_m^2} \quad (5)$$

Vemos pues que cuando el modo traslacional es tratado por el método WBK da la relación correcta energía momento para el hínt, con una masa en reposo que es la obtenida fijándolo alrededor de la vibración elástica $\phi_{\text{hínt}}(x)$.

Mientras que el modo traslacional puede ser tratado de esta forma dentro de una aproximación semicásica un tratamiento más exacto también lo es

J. L. GERVAIS y B. SAKITA

J. L. GERVAIS, A. JERICI y B. SAKITA

C. G. CALLAN y D. J. GROSS

P. VINCIARELLI

II) LA ECUACIÓN DE SINE - GORDON

Artículos de puesta a punto

A.C. SCOTT, F.Y.F. CHU y D.W. MC LAUGHLIN. Proc. IEEE 61, 1443 (1973)

A. BARONE, F. EPOSITO, C.J. MAGEE y A.C. SCOTT. Rend. Nuovo Cim. 1, 227 (1971)

El sistema de Sine-Gordon es un campo escalar real $\phi(x, t)$ en 1+1 dimensiones con densidad Lagrangiana

$$\mathcal{L}(x, t) = \frac{1}{2} (\partial_\mu \phi(x)) (\partial^\mu \phi(x)) + \frac{m^4}{\lambda} \left[\cos \left(\frac{\sqrt{\lambda}}{m} \phi(x) \right) - 1 \right] \quad (1)$$

La ecuación del movimiento es

$$\partial^\mu \partial_\mu \phi(x) + \frac{m^3}{\lambda} \sin \left(\frac{\sqrt{\lambda}}{m} \phi(x) \right) = 0 \quad (2)$$

Notar que $[\phi] = 1$, $[m^2] = [\lambda] = M^2$. cuando el Lagrangiano se desarrolla en potencias de $\sqrt{\lambda} \phi(x)/m$ se obtiene

$$\mathcal{L}(x, t) = \frac{1}{2} \partial_\mu \phi \partial^\mu \phi - \frac{1}{2} m^2 \phi^2 + \frac{1}{4!} \lambda \phi^4 - \frac{1}{6!} \frac{\lambda^2}{m^2} \phi^6 + \dots \quad (3)$$

que en el límite de acoplamiento débil se approxima al caso anterior. Para facilitar más cómodamente hagamos el cambio

$$x' \equiv mx, \quad t' \equiv mt, \quad \phi'(x', t') = \frac{\sqrt{\lambda}}{m} \phi(x, t) \quad (4)$$

entonces

$$\mathcal{L}(x', t') = \frac{m^4}{\lambda} \left\{ \frac{1}{2} (\partial'_\mu \phi') (\partial'^\mu \phi') + (\cos \phi' - 1) \right\} \quad (5)$$

y la ecuación del movimiento es

$$\square' \phi'(x', t') + \sin \phi'(x', t') = 0 \quad (6)$$

Ade más el funcional energía potencial es

$$V[\phi] = \frac{m^3}{\lambda} \int_{-\infty}^{+\infty} dx' \left\{ \frac{1}{2} \left(\frac{\partial \phi'}{\partial x'} \right)^2 + (1 - \cos \phi') \right\} \quad (7)$$

Notar que ade más de la invariancia Lorentz, el sistema es también invariantes bajo las simetrías disérticas

$$\phi'(x', t') \rightarrow -\phi'(x', t')$$

$$\phi'(x', t') \rightarrow \phi'(x', t') + 2\pi m \quad m = 0, \pm 1, \pm 2, \dots \quad (2)$$

Las soluciones clásicas independientes del tiempo son soluciones de

$$\frac{\partial^2 \phi'(x', t')}{\partial t'^2} = 0 = \frac{\partial^2 \phi'(x', t')}{\partial x'^2} - \sin \phi'(x', t') = -\frac{\delta V(\phi)}{\delta \phi'} \quad (3)$$

y por tanto son extremales del integral.

Es evidente que los mínimos absolutos de $V(\phi)$ ocurrirán para soluciones ϕ' independientes de x . En este caso

$$V(\phi) = \frac{m^3}{\lambda} (1 - \cos \phi') \quad (4)$$

y por lo tanto los máximos ocurrirán para

$$\phi' = 2m\pi \quad m = 0, \pm 1, \pm 2, \dots \quad (5)$$

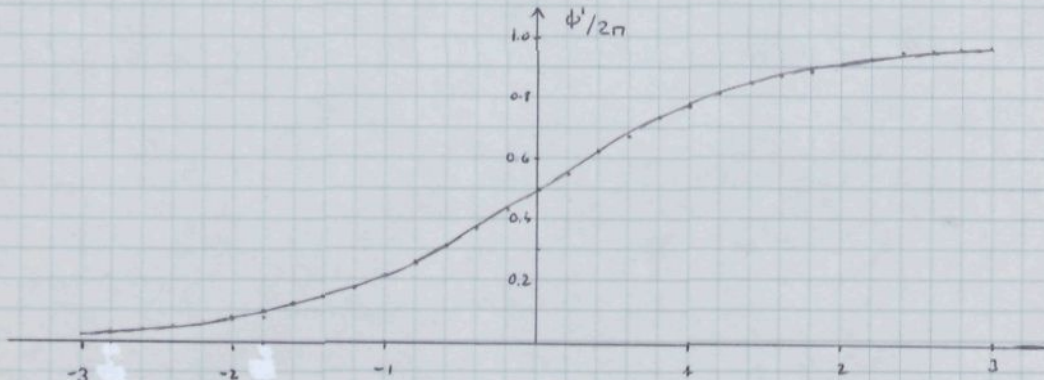
Elegiremos como radio $\phi'_0 = 0$.

Además de estos mínimos absolutos existen soluciones estacionarias que son mínimos locales de $V(\phi')$ excepto en el modo traslacional. Estas deben satisfacer

$$\frac{d^2 \phi'(x')}{dx'^2} - \sin \phi'(x') = 0 \quad (6)$$

Una solución de esta ecuación que conecta dos radios distintos en los dos extremos del espacio es el llamado soliton

$$\phi'_{\text{sol}}(x') = 4 \arctg e^{x'}$$



$$\phi'_{\text{sol}}(0) = \pi$$

$$\phi'_{\text{sol}}(x') \underset{x' \rightarrow -\infty}{\sim} 4e^{x'} \left(1 - \frac{1}{3} e^{2x'} + \dots \right)$$

$$\phi'_{\text{sol}}(x') \underset{x' \rightarrow \infty}{\sim} 2\pi - 4e^{-x'} \left(1 - \frac{1}{3} e^{-2x'} + \dots \right)$$

Ade más

$$\phi'_{\text{sol}}(x', t') = \phi'_{\text{sol}} \left(\frac{x' - ut'}{\sqrt{1 - u^2}} \right) \quad (1)$$

es una solución de (23.6) por invariancia Lorentz. Es una solución que viaja con velocidad constante u sin deformarse. En todos estos propiedades la solución hallada es análoga al kink, pero la llamamos solución por tener una nueva propiedad muy importante: consideremos una configuración de campo, que en el remoto pasado estaba constituida a partir de un conjunto de pulsos.

$$\lim_{t' \rightarrow -\infty} \phi'(x', t') = \sum_{i=1}^N \phi'_{\text{sol}}(\xi_i) \quad (2)$$

donde

$$\xi_i = \frac{x' - ut'}{\sqrt{1 - u^2}} \quad (3)$$

Entonces cuando $\phi'(x', t')$ evoluciona en el tiempo de acuerdo con las ecuaciones del movimiento se convierte en

$$\lim_{t' \rightarrow +\infty} \phi'(x', t') = \sum_{i=1}^N \phi'_{\text{sol}}(\xi_i + d_i) \quad (4)$$

donde las d_i son constantes. Es decir, cuando soluciones solitón chocan con otras soluciones solitón, emergen del proceso de colisión un modificación sus formas y velocidades. La colisión introduce a lo sumo un rotando $Sc/4\pi$ para cada solitón.

Notemos ade más que

$$\phi'_{\text{antisol}}(x) \equiv 4 \arctg(e^{-x}) = -\phi'_{\text{sol}}(x) \quad (5)$$

es también una solución solitón. Será útil identificarlo separadamente llamándolo antisolitón. Recordar que de acuerdo con (24.2) estas soluciones se hallan definidas modulo 2π , pero

$$\phi'_{\text{sol}}(\infty, t') - \phi'_{\text{sol}}(-\infty, t') = 2\pi \quad (6)$$

$$\phi'_{\text{antisol}}(\infty, t') - \phi'_{\text{antisol}}(-\infty, t') = -2\pi$$

las definen unívocamente

Otra solución interesante descubierta independientemente por A. SEEGER, H. DONTA y A. KOCHEN DORFER Z. Phys. 34, 173 (1953) y J. K. PERRING y T. H. R. SKYRME - Nuc. Phys. 31, 550 (1962) es la llamada solución solitón-antisolitón en colisión dada por

$$\phi_{SA}^1(x', t') = 4 \operatorname{arctg} \left[\frac{\sinh(ut'/\sqrt{1-u^2})}{u \cosh(x'/\sqrt{1-u^2})} \right] \quad (1)$$

y que también es una solución exacta. Notén que

$$\phi_{SA}^1(x', 0) = 0$$

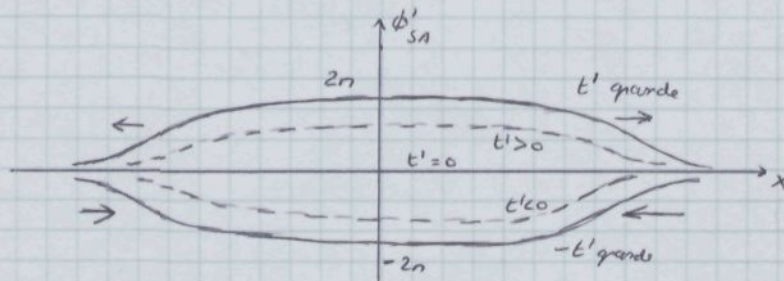
$$\phi_{SA}^1(x', t') \underset{t' \rightarrow -\infty}{\sim} \phi_{SOL} \left[\frac{x' + u(t' + \Delta/2)}{\sqrt{1-u^2}} \right] + \phi_{antisol} \left[\frac{x' - u(t' + \Delta/2)}{\sqrt{1-u^2}} \right] \quad (2)$$

$$\phi_{SA}^1(x', t') \underset{t' \rightarrow +\infty}{\sim} \phi_{SOL} \left[\frac{x' + u(t' - \Delta/2)}{\sqrt{1-u^2}} \right] + \phi_{antisol} \left[\frac{x' - u(t' - \Delta/2)}{\sqrt{1-u^2}} \right]$$

donde

$$\frac{\Delta}{2} = \frac{\sqrt{1-u^2}}{u} \ln u \quad (3)$$

Por tanto, en el pasado remoto, la solución ϕ_{SA}^1 consiste en un solitón-antisolitón acercándose el uno al otro y en el remoto futuro en un solitón-antisolitón alejándose con un retraso en el tiempo $\Delta < 0$.



Hay también una solución de colisión solitón-solitón que es

$$\phi_{SS}^1(x', t') = 4 \operatorname{arctg} \left[\frac{u \sinh(x'/\sqrt{1-u^2})}{\cosh(ut'/\sqrt{1-u^2})} \right] \quad (4)$$

que en $t' = -\infty$ representa dos solitones que se acercan chocan y emerge un cambiante de forma excepto un retraso en el tiempo.

Como la ecuación de sine-Gordon tiene un potencial con un componente infinito de mínimos en $\phi = 0, \pm 2n, \pm 4n, \dots$ se puede obtener una solución con un número arbitrario de solitones sucesos. Así por ejemplo $\phi_{SS}^1(x', 0)$ empieza en $-2n$ para $x' = -\infty$, se eleva hasta 0 para $x' = 0$ y cae a $+2n$ para $x' = +\infty$. Más adelante veremos un método para obtener soluciones con un número arbitrario de solitones.

Hay aun otra clase de soluciones exóticas que veremos más adelante.

Las llamaremos las soluciones doblete. Recuérdese que para la solución ϕ_{SA}^1 el retraso en el tiempo es negativo, por lo cual las fuerzas entre un solitón y un antisolitón son atractivas y es de esperar la existencia de un efecto

ligado. Tales estados se obtienen fácilmente teniendo en cuenta en ϕ_{SA} y entiendes

$$\phi'_v(x', t') = 4 \operatorname{arctg} \left[\frac{\sin(vt' / \sqrt{1+v^2})}{v \cosh(x' / \sqrt{1+v^2})} \right] \quad (1)$$

Esta función es real y solución exacta para todo v . Su forma en función del tiempo se parece a la de ϕ_{SA} pero con una importante diferencia. En lugar de separarse en un par solitón - antisolitón instantáneamente alejados cuando $t' \rightarrow \pm\infty$, la separación relativa crece o que con un periodo $\tau = 2\pi / \sqrt{1+v^2}/v$. Esta solución doblete es un par solución "respirante" y se la puede considerar como un par ligado solitón - antisolitón.

No existen, que se refiere, pares ligados solitón - solitón.

De cara a las discusiones que seguirán es conveniente pasar a las viejas variables

$$\phi_{\text{sol}}(x) = \frac{4m}{\Gamma\lambda} \operatorname{arctg} [e^{mx}] \quad (\text{solución}) \quad (2)$$

$$\phi_{\text{c}}(x, t) = \frac{4m}{\Gamma\lambda} \operatorname{arctg} \left[e^{\frac{\sin(m t / \tilde{\epsilon})}{\cosh(\epsilon m x / \tilde{\epsilon})}} \right] \quad (\text{solución doblete}) \quad (2)$$

$$\epsilon = \sqrt{\tilde{\epsilon}^2 - 1} \quad \tilde{\epsilon} = \frac{m\tau}{2\pi}$$

Ambar soluciones se dan es sus sistemas en reposo. Soluciones en movimiento se obtienen inmediatamente mediante transformaciones de Lorentz

Es de esperar que las soluciones exactas existan a causa de algunas peculiaridades de la ecuación de Sine-Gordon [D.W. McLAUGHLIN. J. Math. Phys. 16, 96 (1975)]. Es útil recordar

$$\sigma = \frac{x' + t'}{2}, \quad \varphi = \frac{x' - t'}{2}, \quad \psi(\sigma, \varphi) = \phi'(x', t') \quad (3)$$

Entonces (23.6) se convierte en

$$\frac{\partial^2 \psi}{\partial \sigma \partial \varphi} - \sin \psi = 0 \quad (4)$$

Supongamos que ψ_0 es una solución de esta ecuación. Consideraremos la función ψ , definida por la llamada "Transformación de Bäcklund"

$$\frac{1}{2} \frac{\partial}{\partial \sigma} (\psi_1 - \psi_0) = a \sin \left(\frac{\psi_1 + \psi_0}{2} \right) \quad (5)$$

$$\frac{1}{2} \frac{\partial}{\partial \varphi} (\psi_1 + \psi_0) = \frac{1}{a} \sin \left(\frac{\psi_1 - \psi_0}{2} \right)$$

Entonces desarrollando la primera con relación a ρ :

$$\frac{1}{2} \frac{\partial^2}{\partial \rho^2} (\psi_1 - \psi_0) = a \cos \left(\frac{\psi_1 + \psi_0}{2} \right) \quad \frac{1}{2} \frac{\partial}{\partial \rho} (\psi_1 + \psi_2) = \cos \left(\frac{\psi_1 + \psi_0}{2} \right) \sin \left(\frac{\psi_1 - \psi_0}{2} \right) = \\ = \frac{1}{2} (\sin \psi_1 - \sin \psi_0) \quad (1)$$

Entonces como ψ_0 es solución también lo es ψ_1 . Además es más sencillo resolver las ecuaciones (27.5) que son de primer orden. Imaginemos por ejemplo que $\psi_0 = 0$ (la solución vacío) entonces ψ_1 obedece

$$\frac{1}{2} \frac{\partial \psi_1}{\partial \rho} = a \sin(\psi_1/2) \quad \frac{1}{2} \frac{\partial \psi_1}{\partial \rho} = \frac{1}{a} \sin(\psi_1/2) \quad (2)$$

que se integran fácilmente para dar

$$\psi_1 = 4 \operatorname{arctg} [e^{a\rho + \delta/a}] \quad (3)$$

En términos de las coordenadas iniciales

$$\phi'(x', t') = 4 \operatorname{arctg} [\exp ((x' - ut') / \sqrt{1-u^2})] \quad u = \frac{1-a^2}{1+a^2}$$

que es la solución solitón planita de velocidad u . De la misma forma se puede ver que ψ_1 se puede obtener la solución con dos solitones y así sucesivamente contienen soluciones con números arbitrarios de solitones.

L.D. FADDEEV y L.A. TAKHTAJAN [

] han demostrado que

existe un número infinito de constantes del movimiento conservadas lo cual es probablemente el origen de las soluciones solitón y sus peculiaridades. Se sabe que existen otras siete ecuaciones en 1+1 con soluciones tipo solitón exactas [A.C. SCOTT, F.Y.F. CHU y D.M. MC LAUGHLIN Proc. IEEE 61, 1443 (1973)].

Veamos ahora como cuantizar las soluciones y cálculo de la ecuación de Schrödinger. Supondremos que $\lambda/m^2 \ll 1$ bien muchos de los resultados que obtendremos son válidos en general. Los resultados que daremos van obtenidos en

R. DASHEN, B. MASS LACHER Y A. NEVEU Phys. Rev. D 11, 3424 (1975)

S. COLEMAN Phys. Rev. D 11, 2088, 1975

En este modelo el funcional potencial es

$$V[\phi] = \int_{-\infty}^{+\infty} dx \left\{ \frac{1}{2} \left(\frac{\partial \phi}{\partial x} \right)^2 + \frac{m^4}{\lambda} \left[1 - \cos \left(\frac{\sqrt{\lambda}}{m} \phi \right) \right] \right\} \quad (4)$$

Ele giraremos el radio, que es un mínimo absoluto de $V[\phi]$, como $\phi_{\text{vac}} = 0$. La solución es una solución estática.

$$\phi_{\text{sol}}(x) = \frac{Lm}{\lambda} \operatorname{arctg} e^{mx} \quad (1)$$

La masa clásica del solitón es

$$M_{\text{cl}} \equiv V[\phi_{\text{sol}}] - V[\phi_{\text{vac}}] = \int_{-\infty}^{+\infty} dx \left\{ \frac{8m^4}{\lambda} \frac{e^{2mx}}{(1+e^{2mx})^2} + \frac{m^4}{\lambda} \left[1 - \frac{1-6e^{2mx}+e^{4mx}}{(1+e^{2mx})^2} \right] \right\}$$

donde hemos tenido en cuenta que

$$\operatorname{arctg} e^{mx} = \frac{i}{2} \ln \frac{i+e^{mx}}{i-e^{mx}} \quad (2)$$

Léntonces

$$M_{\text{cl}} = \frac{16m^4}{\lambda} \int_{-\infty}^{+\infty} dx \frac{e^{2mx}}{(1+e^{2mx})^2} = \frac{16m^4}{\lambda} \int_{-\infty}^{+\infty} dx \frac{1}{(e^{mx} + e^{-mx})^2}$$

y de (1.8.1)

$$M_{\text{cl}} = \frac{8m^3}{\lambda} \quad (3)$$

Para determinar las correlaciones cuánticas debemos estudiar las fluctuaciones. No están que si $\phi(x) = \phi_0(x) + \eta$ donde $\phi_0(x)$ es una solución correspondiente a un mínimo

$$\begin{aligned} V[\phi] &= V[\phi_0] + \int_{-\infty}^{+\infty} dx \left\{ -\frac{d^2\phi_0}{dx^2} + \frac{m^3}{\lambda} \sin\left(\frac{\sqrt{\lambda}}{m} \phi_0\right) \right\} \eta(x) + \\ &+ \frac{1}{2} \int_{-\infty}^{+\infty} dx \eta(x) \left\{ -\frac{d^2}{dx^2} + m^2 \cos\left(\frac{\sqrt{\lambda}}{m} \phi_0\right) \right\} \eta(x) \end{aligned} \quad (4)$$

y en particular

$$V[\phi_{\text{vac}}] = \frac{1}{2} \int_{-\infty}^{+\infty} dx \eta(x) \left\{ -\frac{d^2}{dx^2} + m^2 \right\} \eta(x) + -$$

y las oscilaciones de punto con fm

$$\begin{aligned} E_{\text{vac}} &= \frac{1}{2} \sum_{km} \left[k_m^2 + m^2 \right]^{1/2} \\ k_m &= 2\pi m \end{aligned} \quad (5)$$

Por otra parte para las soluciones

$$V[\phi] = V[\phi_{\text{sol}}] + \frac{1}{2} \int dx \eta(x) \underbrace{\left[-\frac{d^2}{dx^2} + m^2 \cos\left(\frac{i\lambda}{m}\phi_{\text{sol}}\right) \right]}_H \eta(x) + \dots$$

El operador H es

$$H = -\frac{d^2}{dx^2} + m^2 \cos(4 \operatorname{arctg} e^{mx}) = -\frac{d^2}{dx^2} + m^2 \left[1 - \frac{2}{\cosh^2 mx} \right]$$

y la ecuación

$$H \eta(x) = \omega \eta(x)$$

tienen como soluciones

$$\text{Estado ligado} \quad \omega = 0 \quad \eta_0(x) = \sqrt{\frac{m}{2}} \frac{1}{\cosh mx} \quad \text{modo translacional}$$

$$\text{Estado de excitación} \quad \omega = m\sqrt{1+k^2} \quad \eta_k(x) = e^{ikmx} [k + i \tanh mx]$$

Noten que para estos últimos

$$\eta_k(x) \underset{x \rightarrow \pm \infty}{\sim} e^{ikmx} [k + i] = e^{i(kmx \pm \delta/2)} \quad (2)$$

$$\frac{1}{2} \delta(k) = \operatorname{arctg} \frac{1}{k}$$

Las condiciones periódicas impiden

$$kmL + \delta = 2mn \quad m = 1, 2, \dots \quad (3)$$

y finalmente

$$\frac{dm}{dk} \approx \frac{1}{2n} \left[mL + \frac{d\delta(k)}{dk} \right] = \frac{1}{2n} \left[mL - \frac{2}{k^2+1} \right] \quad (4)$$

Entonces la masa del sistema, incluyendo correcciones cuánticas, es

$$M = \frac{8m^3}{\lambda} + \frac{1}{2} \sum_m m (1+q_m)^{1/2} - \frac{1}{2} \sum_m (k_m^2 + m^2)^{1/2} \quad (5)$$

$$q_m = \frac{2nm - \delta(q_m)}{mL} \quad k_m = \frac{2nm}{L}$$

de donde

$$M = \frac{8m^3}{\lambda} + \frac{1}{2} \sum_{q_m} \left\{ m (1+q_m)^{1/2} - \left[\left(mq_m + \frac{\delta}{L} \right)^2 + m^2 \right]^{1/2} \right\} \approx$$

$$\approx \frac{8m^3}{\lambda} + \frac{1}{2} \sum_{q_m} \left[-\frac{mq_m}{L} \delta(q_m) \frac{1}{(m^2 + m^2 q_m^2)^{1/2}} \right]$$

Intérvalo de cierre

$$\tilde{\omega}(q_m) = (m^2 + m^2 q_m^2)^{1/2} \Rightarrow \frac{d\tilde{\omega}(q_m)}{dq_m} = \frac{m^2 q_m}{(m^2 + m^2 q_m^2)^{1/2}} \quad (1)$$

que puede escribirse

$$\begin{aligned} M_{\text{rel}} &= \frac{8m^3}{\lambda} - \frac{1}{2Lm} \sum_{q_m} \delta(q_m) \frac{d\tilde{\omega}(q_m)}{dq_m} \approx \frac{8m^3}{\lambda} - \frac{1}{Lm} \int_{-\infty}^{+\infty} dq \delta(q) \frac{d\tilde{\omega}(q)}{dq} \\ &= \frac{8m^3}{\lambda} - \frac{1}{Lm} \left[\delta(\omega) \tilde{\omega}(q) \right]_{-\infty}^{+\infty} + \frac{1}{Lm} \int_{-\infty}^{+\infty} dq \tilde{\omega}(q) \frac{d\phi(q)}{dq} \end{aligned}$$

Ahora bien como $d \approx \omega + 2/q$ se tiene $\omega d \approx 2\omega q / q$, en lo cual

$$M_{\text{rel}} = \frac{8m^3}{\lambda} - \frac{m}{\pi} - \frac{m}{2\pi} \int_{-\infty}^{+\infty} dq \frac{1}{(1+q^2)^{1/2}} \quad (2)$$

donde el último término es logarítmicamente divergente y debe ser cancelado por los contribuciones de renormalización. El lagrangiano completo es

$$\mathcal{L} = \frac{1}{2} \partial_p \phi(x) \partial^p \phi(x) + (m^2 - \delta m^2) \frac{m^2}{\lambda} \left[\cos \frac{\Gamma \lambda}{m} \phi(x) - 1 \right] + E_{\text{vac}} \quad (3)$$

donde

$$\delta m^2 = - \frac{\lambda}{8\pi} \int_{-\infty}^{+\infty} dq \frac{1}{(q^2 + m^2)^{1/2}} \quad (4)$$

Entonces a (2) debemos añadir

$$\begin{aligned} E_{\text{vac}} &= - \delta m^2 \frac{m^2}{\lambda} \int_{-\infty}^{+\infty} dx \left[1 - \cos \left(\frac{\Gamma \lambda}{m} \phi_{\text{vac}} \right) \right] = - \delta m^2 \frac{m^2}{\lambda} \int_{-\infty}^{+\infty} dx \frac{1}{(e^{mx} + e^{-mx})^2} = \\ &= - \frac{4m}{\lambda} \delta m^2 = \frac{m}{2\pi} \int_{-\infty}^{+\infty} \frac{dq}{(1+q^2)^{1/2}} \end{aligned}$$

que cancela exactamente el último término de (2) y queda

$$M_{\text{rel}} = \frac{8m^3}{\lambda} - \frac{m}{\pi}$$

que puede escribirse como

$$M_{\text{vac}} = \frac{8m}{\gamma} \quad \gamma \equiv \frac{\lambda/m^2}{1 - \lambda/8\pi m^2} \quad (5)$$

Finalmente todo lo dicho sobre el modo kárticular en el lenguaje del kimchi se aplica al rotón y los niveles energéticos son

$$E_m = \sqrt{M_{\text{vac}}^2 + P_m^2} \quad P_m \equiv 2m \frac{\pi}{L} \quad (6)$$

Consideremos ahora la solución doble

$$\phi_c(x, t) = \frac{4m}{\sqrt{\lambda}} \operatorname{arctg} \left[\epsilon \frac{\sin(2\pi t/\tau)}{\cosh(2\pi \epsilon x/\tau)} \right], \quad \epsilon = \left[\left(\frac{mc}{2\pi} \right)^2 - 1 \right]^{1/2} \quad (1)$$

que depende del tiempo t y cuya periodo es τ . Para aplicar el método WKB debemos calcular la acción clásica

$$\begin{aligned} S_{cl}[\phi_c] &= \int_0^\tau dt \int_{-\infty}^{+\infty} dx \left\{ \frac{1}{2} \partial_\mu \phi_c \partial^\mu \phi_c + \frac{m^4}{\lambda} [\cos(\frac{\sqrt{\lambda}}{m} \phi_c) - 1] \right\} = \\ &= \frac{32\pi m^2}{\lambda} \left\{ \arcsin \frac{2\pi}{mc} - \left[\left(\frac{mc}{2\pi} \right)^2 - 1 \right]^{1/2} \right\} \end{aligned} \quad (2)$$

Por otra parte existen otros términos que se pueden escribir de acuerdo con (21.3) como

$$S_{ct}[\phi_c] = \frac{\tau}{2} \sum_m (\hbar_m^2 + m^2)^{1/2} - \delta m^2 \frac{m^2}{\lambda} \int_0^\tau dt \int_{-\infty}^{+\infty} dx [\cos(\frac{\sqrt{\lambda}}{m} \phi_c) - 1] \quad (3)$$

Es necesario también determinar los ángulos de estabilidad, para lo cual se tiene que resolver la ecuación (II.42.5), i.e.

$$\left[\frac{\partial^2}{\partial t^2} - \frac{\partial^2}{\partial x^2} + m^2 \cos \left(\frac{\sqrt{\lambda}}{m} \phi_c \right) \right] \eta_q(x, t) = 0 \quad (4)$$

Se calcula es relativamente complejo y puede hallarse en la primera de las referencias mencionadas. Se puede probar

$$-\frac{1}{2} \sum_n v_n \hbar + S_{ct}[\phi_c] = -\frac{\lambda}{8\pi m^2} S_{cl}[\phi_c] \quad (5)$$

Entonces

$$G(T) = \sum_{n, \{p_k\}} \sqrt{\frac{c}{2\pi\hbar}} e^{\left| \frac{1}{m} \frac{\partial^2 S_{cl}}{\partial x^2} \right|^{1/2} \exp \left\{ \frac{im}{\hbar} [S_{cl} + S_{ct} - \sum_n (p_k + \frac{1}{2}) v_k \hbar] \right\}} \quad (6)$$

En particular estamos interesados en el caso $p_k = 0$ para todos los modos que da la masa del estado ligero para cada valor de N en (II.43.5). Los valores para $p_k = 0$ corresponden a estados del continuo (v_k están en el continuo) formados en el estado ligero y otras cuantá de la teoría. Entonces

$$\begin{aligned} \frac{im}{\hbar} [S_{cl} + S_{ct} - \frac{1}{2} \sum_n v_n \hbar] &= \frac{im}{\hbar} \left(1 - \frac{\lambda}{8\pi m^2} \right) S_{cl}(\tau) = \\ &= \frac{im}{\hbar} \frac{32\pi}{\lambda} \left[\arcsin \frac{2\pi}{mc} - \left[\left(\frac{mc}{2\pi} \right)^2 - 1 \right]^{1/2} \right] \end{aligned} \quad (2)$$

Como en el caso del solitón el efecto neto de la renormalización y de las fluctuaciones

es cambiar la constante de oscilamiento m^2/λ por $1/\gamma$. Entonces de acuerdo con (II. 43.3)

$$W(E) = E \varepsilon(E) + \frac{32n}{\gamma} \left[\arccos \frac{2n}{m\varepsilon} - \left[\left(\frac{m\varepsilon}{2n} \right)^2 - 1 \right]^{1/2} \right] \quad (1)$$

donde $\varepsilon(E)$ satisface (II.43.4)

$$E = - \frac{d}{d\varepsilon} \left[\frac{32n}{\gamma} \left(\arccos \frac{2n}{m\varepsilon} - \left[\left(\frac{m\varepsilon}{2n} \right)^2 - 1 \right]^{1/2} \right) \right] = \frac{32n}{\gamma} \frac{1}{\varepsilon} \left[\left(\frac{m\varepsilon}{2n} \right)^2 - 1 \right]^{1/2} \quad (2)$$

Sustituyendo (2) en (1)

$$W(E) = \frac{32n}{\gamma} \arccos \left(\frac{2n}{m\varepsilon} \right) = \frac{32n}{\gamma} \operatorname{arcsm} \left(\frac{E\gamma}{16m} \right) \quad (3)$$

y las masas de los estados legados tienen el doble de

$$\frac{32n}{\gamma} \operatorname{arcsm} \left(\frac{M_N\gamma}{16m} \right) = 2N\gamma$$

y su falso

$$M_N = \frac{16m}{\gamma} \operatorname{sen} \left(\frac{N\gamma}{16} \right) \quad (4)$$

y además de (2)

$$\frac{2n}{m\varepsilon(M_N)} = \cos \left(\frac{N\gamma}{16} \right) \quad (5)$$

cuando N se aproxima a $8\pi/\gamma$ entonces $M_N \rightarrow 16m/\gamma$ y $\varepsilon(M_N) \rightarrow \infty$. La correspondiente solución clásica deberá tiende a desaparecer cuando $\varepsilon \rightarrow \infty$. Las soluciones dobles solo existen para ε finita y positiva y su también los niveles energéticos (4) están definidos únicamente para

$$N = 1, 2, \dots, < 8\pi/\gamma \quad (6)$$

con esta limitación, tenemos un conjunto finito de masas de estados sólido-antisolitón ligados. Hemos descuidado el modo traslacional que de hecho lo tenido en cuenta no habrá dada

$$E_{m,N} = (M_N^2 + P_m^2)^{1/2} \quad P_m L = 2mn \quad (7)$$

resumiendo el resultado de partículas en el Hamiltoniano de la ecuación de sine-Gordon es el siguiente: El sólitón y el antisolitón que tienen una masa

$$M = \frac{8m}{\gamma} \quad \gamma \equiv \frac{\lambda/m^2}{1 - \lambda/8\pi m^2} \quad (8)$$

Los estados dobles producen la siguiente serie de estados con masas

$$M_N = \frac{16m}{\gamma} \sin \left(\frac{N\gamma}{16} \right) \quad N=1, 2, \dots, < 8\pi/\gamma \quad (2)$$

Fascinante nos ahorra la interpretación del espectro de masas. Hay dos formas complementarias de ver los estados dobles. El primero es que son estados ligados de N cuantos formados por N cuantes usuales de la teoría. El segundo que son estados ligados solitón-antisolitón. Ambas versiones parecen físicamente aceptables, la primera es más natural en el límite de acoplamiento débil y la segunda para acoplamiento fuerte.

En el límite de acoplamiento débil ($\lambda/m^2 \ll 1$) la masa del M_N puede desarrollarse ($\gamma \ll 1$)

$$\begin{aligned} M_N &= \frac{16m}{\gamma} \left[\frac{N\gamma}{16} - \frac{1}{3!} \left(\frac{N\gamma}{16} \right)^3 + \dots \right] \\ \Rightarrow M_N &= Nm \left[1 - \frac{1}{6} \left(\frac{N\lambda}{16m^2} \right)^2 + \dots \right] \end{aligned} \quad (2)$$

y en particular el estado mas bajo tiene masa

$$M_1 = m \left[1 - \frac{1}{6} \left(\frac{\lambda}{16m^2} \right)^2 + \dots \right] \quad (3)$$

es decir en el límite de acoplamiento débil M_1 donde a m , la masa de la partícula elemental de la teoría. Es lógico para tanto identificar M_1 como la partícula "elemental" de la teoría. Entonces

$$M_N = NM_1 \left\{ 1 - \frac{1}{6} \left(\frac{\lambda}{16m^2} \right)^2 (N^3 - 1) + \dots \right\} \quad (4)$$

que en el límite de acoplamiento débil puede considerarse como un estado libre ligado de N partículas "elementales" con una energía de ligadura

$$NM_1 - M_N = \frac{1}{6} M_1 \left(\frac{\lambda}{16m^2} \right)^2 (N^3 - N) + \dots \quad (5)$$

Para indicar el estado con M_1 hemos usado la palabra "elemental". En realidad no hay distinción fundamental entre $N=1$ y $N>1$. Todas provienen de una única solución de la ecuación de Sine-Gordon. Este es en la línea de pensamiento de Chew al hablar de democracia entre las partículas.

En el límite $\lambda/m^2 \ll 1$ la ecuación de Sine-Gordon se reduce (23.3) a una teoría ϕ^4 , que en el límite no relativista se reduce a un potencial de tipo δ . La ecuación

de Schrödinger correspondiente es

$$\left[-\frac{1}{2m} \sum_{i=1}^N \frac{\partial^2}{\partial x_i^2} - \frac{\lambda}{8m^2} \sum_{i \neq j} \delta(x_i - x_j) \right] \psi_N^{(n)}(x_1, \dots, x_N) = -E_N^{(n)} \psi_N^{(n)}(x_1, \dots, x_N) \quad (1)$$

que se puede resolver para el estado fundamental obteniendo

$$E_N^{(0)} = \frac{1}{6} m \left(\frac{\lambda}{16m^2} \right)^2 (N^3 - N) \quad (2)$$

que coincide con la ecuación W.B.K al orden dominante. Mas aún se ha calculado $(2H_2 - H_1)/M_1$ hasta términos de orden $(\lambda/m^2)^4$ usando teoría de perturbaciones y también ellos coinciden con los resultados obtenidos usando el W.B.K. Esto es una primera indicación de que en algún sentido los resultados del W.B.K pueden ser exactos. Palviando H_1 la teoría de perturbaciones los resultados no están de acuerdo con los del W.B.K. Podemos quizá concluir que el método W.B.K no determina la escala de masas, pero que los contenidos de las masas son exactos en esta aproximación.

En el método W.B.K hemos obtenido energías reales y disinta M_N , $N < 8/3\gamma$, lo cual sugiere que van estados ligados. Pero en acoplamiento orbital $M_N = NH_1 - (\text{largo de ligadura de orden } \gamma)$, de forma que para $N \geq 3$ estos estados están sumergidos en el continuo de dos o más estados con $N=1$. La noción $\phi = 0$ permite que H_3 sea desigual en dos partículas M_1 , pero no hay razón que prohiba la desigualdad de M_N con $N \geq 4$. Sin embargo la W.B.K predice también estabilidad en este caso. Se puede uno preguntar si en una teoría exacta, o en conexiones al W.B.K, la energía adquiriría una parte imaginaria que hace que los H_N $N \geq 4$ sean inestables. El trabajo de Faddeev apunta un embargo a la posibilidad de que las infinitas cantidades consideradas en la teoría clásica se mantienen en la cuantificación y que los estados $N \geq 4$ no se desintegren. Por otra parte en el artículo D.H.N mencionado ante y en trabajo posterior de E. WEINBERG [

] han mostrado que al menos en el orden más bajo de teoría de perturbaciones estos desintegraciones no tienen lugar.

Parece que la ecuación de sine-Gordon es tal que los resultados obtenidos en la aproximación W.B.K son exactos

Hace ya años T.H.R. SKYRME Proc. Roy. Soc. A260, 127 (1961), Proc. Roy. Soc. A262, 233 (1961) Nuclear Phys. 31, 556 (1962) y D. FINKELSTEIN y C.W. MISNER Ann. Phys. 6, 230 (1959) sugirieron la posibilidad de que los solitones en la ecuación de Sine-Gordon, en su teoría cuantizada, fueran idénticos a partículas. Además identificaron en algunas raras estas partículas como fermiones. Recientemente S. Coleman ha hecho sobre esto publicación. El considera la dualidad Lagrangiana

$$\phi(x) = \frac{1}{2} \partial_\mu \phi(x) \partial^\mu \phi(x) + m_0^2 \frac{m^2}{\lambda} \cos \left(\frac{\sqrt{\lambda}}{m} \phi(x) \right) - m_0^2 \frac{m^2}{\lambda^2} \quad (1)$$

y los resultados de su trabajo se pueden resumir en los siguientes puntos

- (i) como en toda teoría de campo escalar en 1+1 dimensiones con interacciones no derivativas, todas las divergencias que aparecen orden por orden en teoría de fluctuaciones pueden ser eliminadas mediante el procedimiento de ordenar normalmente el Hamiltoniano. Para (1) esto es equivalente a la renormalización multiplicativa de m_0 y una renormalización aditiva del último término. λ no queda renormalizado.
- (ii) Si $\lambda/m^2 > 8\pi$, la energía en unidad de volumen no está acotada por arriba y la teoría carece de sentido fundamental.
- (iii) Si $\lambda/m^2 < 8\pi$, la teoría es equivalente al vector de carga cero del modelo de Thirring con masa; Esto es sorprendente pues el modelo de Thirring es una teoría canónica de campo bajo Hamiltoniano se expresa en términos de campo de Fermi únicamente.
- (iv) Si $\lambda/m^2 = 8\pi$ la teoría de sime-gordos descubre el vector de carga nula de una teoría de Dirac libre con masa.

Además de los dos últimos puntos. El modelo de Thirring descrito en

W. THIRRING Ann. Phys. (N.Y.) 3, 91 (1958)

V. GLASER Nuov. Cim. 9, 980 (1958)

K. JOHNSON Nuov. Cim. 20, 273 (1961)

C. SOMMERFIELD Ann. Phys. (N.Y.) 26, 1 (1963)

B. KLAIBER "Lectures in Theoretical Physics" Boeckler 1962.

Es una teoría de un único campo de Dirac en dimensión 1+1 con la dinámica dada, en el caso de masa nula, por

$$\phi(x) = \bar{\psi}(x) \gamma^\mu \partial_\mu \psi(x) - \frac{1}{2} g j^\mu(x) \bar{\psi}(x)$$

$$j^\mu(x) = \bar{\psi}(x) \gamma^\mu \psi(x)$$

donde g es un parámetro libre, la constante de acoplamiento. Las ambigüedades procedentes de la definición de $j^\mu(x)$ se resuelven exigiendo que satisfaga las identidades de Ward y entonces no es necesario proceder a nuevas renormalizaciones. El modelo es exactamente resoluble para $g > -M$.

En el modelo de Thirring sin masa es posible definir una densidad escalar renormalizada

$$\sigma(x) = \bar{\psi}(x) \psi(x) \quad (3)$$

donde Z es una constante de perdida del corte. El modelo de Thirring con masa se define así de modo a ser un término profundo o $\sigma(x)$

$$\phi \rightarrow \phi - m' \sigma(x) \quad (1)$$

donde m' es un parámetro real que no debe identificarse como la masa de ninguna partícula enérgica. El modelo (1) no tiene solución exacta y no sigue cerca de correr si hace algún valor de g es una teoría buena. Sin embargo es cierto que cada término en la serie perturbativa para las funciones de Green en potencias de m' está bien definido, excepto los problemas infraestructurales asociados con el hecho de que se hace una perturbación en la masa alrededor de una teoría sin masa. Estos se resuelven en el método usual de considerar en lugar de (1)

$$\phi = \bar{\psi}(x) i \gamma^\mu \partial_\mu \psi(x) - \frac{1}{2} g j^\mu(x) j_\mu(x) - m' \sigma(x) f(x) \quad (2)$$

de modo $f(x)$ es una función espacio-temporal con soporte compacto.

La serie perturbativa para (2) es término a término idéntica a la serie de perturbaciones de la ecuación de sine-Gordon en potencias de m_0^2 , si se hacen las siguientes identificaciones

$$\frac{4\pi m^2}{\lambda} = 1 + \frac{1}{n} g$$

$$m_0^2 \frac{m^2}{\lambda} \cos \left(\frac{i\lambda}{m} \phi(x) \right) = -m' \sigma(x) \quad (3)$$

$$- \frac{i\lambda}{m} \frac{1}{2n} \epsilon^{\mu\nu} \partial_\nu \phi(x) = j^\mu$$

Notar que si $\lambda/m^2 = 4\pi$, entonces $g=0$ y el resultado (v) es válido.

Notar que a medida que γ crece el número de estados ligados decrece y para $\gamma = 8\pi$ incluso H_L desaparece. Notar que $\gamma = 8\pi$ equivale a $\lambda/m^2 = 4\pi$ y $g=0$ es decir que el valor de la constante de acoplamiento para el que todos los estados basón de la teoría de sine-gordon quedan no ligados en la aproximación WKB, es precisamente el mismo que en el que los fermiones del modelo de Thirring resultan libres.

IV SOLUCIONES CLÁSICAS

A. CHAKRABARTI .- "Introduction to Classical Solution of Yang-Mills Field Equations"

Based on talks given at Rencontre de Rabat. May 1978.

I. Campos gauge

Vamos a dar algunos resultados que nos serán útiles en lo que sigue. Consideraremos la densidad Lagrangiana

$$\phi(\mathbf{x}) = \phi[\mathbf{x}(\mathbf{x}), \partial_\mu \mathbf{x}(\mathbf{x})] \quad (1)$$

donde $\mathbf{x}(\mathbf{x})$ es el símbolo para un conjunto de campos. Consideraremos por otra parte un grupo de Lie compacto y semi-simpla G de orden N , y supongamos que $\mathbf{x}(\mathbf{x})$ se transforma de acuerdo con una representación de G , irreducible o no, en la que los generadores vienen representados por N matrices T_a ($a=1\dots N$) hermíticas que obedecen las reglas de commutación

$$[T_a, T_b] = i f_{abc} T_c \quad (2)$$

donde los coeficientes totalmente antisimétricos f_{abc} son las llamadas constantes de estructura del grupo

Supongamos que $\phi(\mathbf{x})$ es invariante bajo una transformación global de G , es decir que bajo la transformación infinitesimal

$$\mathbf{x}(\mathbf{x}) \longrightarrow \mathbf{x}'(\mathbf{x}) = \mathbf{x}(\mathbf{x}) + i \epsilon^a T_a \mathbf{x}(\mathbf{x}) \quad (3)$$

con $\partial_\mu \epsilon^a \equiv 0$, el lagrangiano quede invariante. Como

$$\begin{aligned} d\phi &= \phi'(\mathbf{x}) - \phi(\mathbf{x}) = i \epsilon^a \left[\frac{\partial \phi}{\partial x} T_a \mathbf{x} + \frac{\partial \phi}{\partial (\partial_\mu \mathbf{x})} T_a \partial_\mu \mathbf{x} \right] = \\ &= i \epsilon^a \left\{ \left[\frac{\partial \phi}{\partial x} - \partial_\mu \frac{\partial \phi}{\partial (\partial_\mu \mathbf{x})} \right] T_a \mathbf{x} + \partial_\mu \left[\frac{\partial \phi}{\partial (\partial_\mu \mathbf{x})} T_a \mathbf{x} \right] \right\} \end{aligned}$$

tenemos que la invariancia de $\phi(\mathbf{x})$ implica que para las soluciones de las ecuaciones del movimiento, las corrientes

$$J_a^\mu(\mathbf{x}) \equiv \frac{\partial \phi}{\partial (\partial_\mu \mathbf{x})} T_a \mathbf{x} \quad a=1, 2, \dots, N \quad (4)$$

son conservadas

$$\partial_\mu J_a^\mu(\mathbf{x}) = 0 \quad (5)$$

En otra parte las cargas asociadas se definen como

$$Q_a = c \int d^3x J_a^0(x) \quad (1)$$

donde c es una constante de normalización y satisfacen $\bar{Q}_a = 0$, si se supone que los términos de repulsión se anulan.

Véamos ahora lo que sucede si suponemos transformaciones locales en $E_a(x)$.

Entonces la densidad lagrangiana $\phi(x)$ deja de ser invariante pues

$$\partial_\mu \phi(x) \longrightarrow \partial_\mu \phi'(x) = [1 + i \epsilon^a(x) T_a] \partial_\mu \phi(x) + i (\partial_\mu \epsilon^a(x)) T_a \phi(x) \quad (2)$$

rompiendo el último término la invariancia de la teoría. La forma de restaurar la invariancia es reemplazando la derivada normal ∂_μ por la derivada covariante D_μ

$$\partial_\mu \phi(x) \longrightarrow D_\mu \phi(x) = [\partial_\mu - i g A_\mu^a(x) T_a] \phi(x) \quad (3)$$

donde hemos introducido un conjunto de N campos vectoriales $A_\mu^a(x)$ y exigiendo que estos se transformen de manera que

$$D_\mu \phi(x) \longrightarrow D'_\mu \phi'(x) = [1 + i \epsilon^a(x) T_a] D_\mu \phi(x) \quad (4)$$

con lo cual la invariancia de $\phi(x)$ es mantenido. Una simple álgebra permite deducir de (4) que la ley infinitesimal de transformación de los nuevos campos es

$$A_\mu^a(x) \longrightarrow A'^a_\mu(x) = A_\mu^a(x) - f^{abc} \epsilon^b(x) A_\mu^c(x) + \frac{1}{g} \partial_\mu \epsilon^a(x) \quad (5)$$

En ocasiones es convenientemente hablar de transformaciones finitas

$$\phi(x) \longrightarrow \phi'(x) = S(x) \phi(x) \quad (6)$$

$$S(x) = \exp \left\{ i \epsilon^a(x) T_a \right\}$$

Entonces la derivada covariante es

$$D_\mu \phi(x) = [\partial_\mu - i g A_\mu(x) T_a] \phi(x) \quad (7)$$

$$A_\mu(x) \equiv A_\mu^a(x) T_a$$

y la conclusión

$$D'_\mu \phi'(x) = S(x) D_\mu \phi(x) \quad (8)$$

da para la ley de transformación de los campos

$$\begin{aligned}
 A_p(x) &\longrightarrow A'_p(x) = S(x) A_p(x) S^{-1}(x) - \frac{c}{g} (\partial_\mu S(x)) S^{-1}(x) = \\
 &= S(x) A_p(x) S^{-1}(x) + \frac{c}{g} S(x) \partial_\mu S^{-1}(x) = \\
 &= \frac{c}{g} S(x) [\partial_\mu - ig A_p(x)] S^{-1}(x)
 \end{aligned} \tag{11}$$

Debemos ahora constituir los términos de energía cinética para los nuevos campos. A este fin introduciremos las intensidades de campo $F_{\mu\nu}^a(x)$ definidas como

$$F_{\mu\nu}^a(x) T_a \chi(x) \equiv \frac{c}{g} [D_\mu, D_\nu] \chi(x) \tag{2}$$

esta es

$$F_{\mu\nu}^a(x) \equiv \partial_\mu A_\nu^a(x) - \partial_\nu A_\mu^a(x) + g f^{abc} A_\mu^b(x) A_\nu^c(x) \tag{3}$$

o equivalentemente

$$F_{\mu\nu}(x) = \partial_\mu A_\nu(x) - \partial_\nu A_\mu(x) - ig [A_\mu(x), A_\nu(x)] \tag{4}$$

De su definición la ley de transformación de $F_{\mu\nu}(x)$ es

$$F_{\mu\nu}(x) \longrightarrow F'_{\mu\nu}(x) = S(x) F_{\mu\nu}(x) S^{-1}(x) \tag{5}$$

De todo esto se deduce que la densidad de carga es invariante bajo las transformaciones de gauge locales consideradas es

$$\alpha(x) = \alpha [x(x), D_\mu x(x)] - \frac{1}{4} F_{\mu\nu}^a(x) F^{a\mu\nu}(x) \tag{6}$$

El punto final es simple y sencillo: De las definiciones de D_μ y $F_{\mu\nu}$ es fácil ver que si en el caso no abeliano tiene una solución dura $A_p(x)$ para una constante de acoplamiento l entonces para la constante g una solución es $\frac{l}{g} A_p(x)$. Vemos pues que una invariance gauge local no abeliana induce a una extensión no lineal tal que las soluciones son no arbitrarias en la constante de acoplamiento g . Este aspecto perturbativo de las soluciones duras de las teorías gauge es muy importante.

II. Soluciones estéticas: monopoles magnéticos

Hemos visto como las simetrías gauge locales no-Abelianas conducen a tipos particulares de ecuaciones de campo no-lineales. Una clara demostración de sus consecuencias puede obtenerse comparando las soluciones de tipo monopolo para el caso Abeliano y no-Abeliano.

i) Monopoles de Dirac (Abeliano)

Es bien sabido que en la teoría de Maxwell el potencial vector $\vec{A}(\vec{r})$ no puede ser regular si deseamos que existan cargas magnéticas aisladas. En particular consideremos el campoulado por un monopolo en el origen

$$\vec{B}(\vec{r}) = \frac{q_m}{4\pi} \frac{\vec{r}}{r^3} \quad (1)$$

Para cualquier superficie cerrada S que contenga el origen se tiene

$$\int_S d\vec{S} \cdot \vec{B}(\vec{r}) = q_m \quad (2)$$

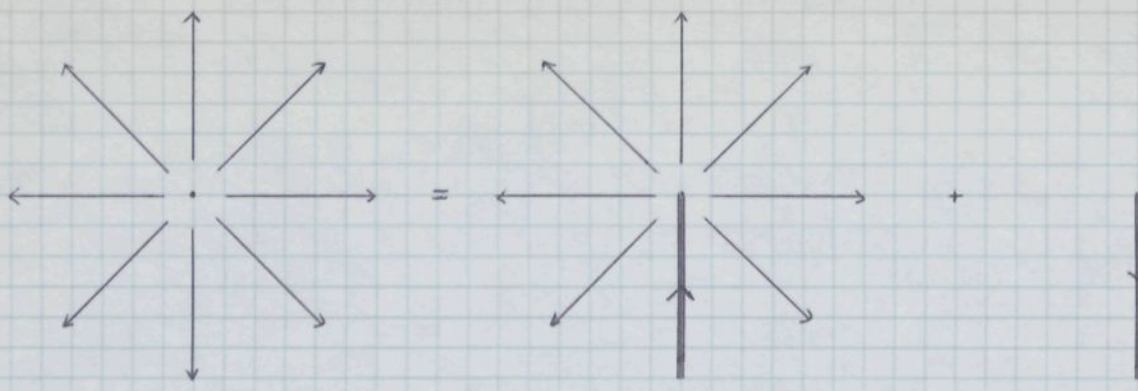
Pero si existiera un potencial vector regular tal que $\vec{B} = \vec{\nabla} \times \vec{A}$ su doble integral se anula. Por tanto \vec{A} no puede existir si doquier aun cuando $\vec{\nabla} \cdot \vec{B}$ es finitamente distinta de cero en el origen. Lo máximo que podemos lograr es que \vec{A} exista por doquier salvo sobre una linea que une el origen con el infinito y que salvo en ella $\vec{B} = \vec{\nabla} \times \vec{A}$. Para ver esto consideremos el campoulado por un solenoide infinitamente largo y delgado situado a lo largo del eje z negativo, con un solo surco que tiene intensidad q_m situado en el origen. El campo magnéticoulado por él es

$$\vec{B}_{sol}(\vec{r}) = \frac{1}{4\pi} q_m \frac{\vec{r}}{r^3} + q_m \Theta(-z) \delta(x) \delta(y) \hat{z} \quad (3)$$

Notar que este campo magnético difiere de $\vec{B}(\vec{r})$ solo a lo largo del eje z negativo y es tal que $\vec{\nabla} \cdot \vec{B}_{sol}(\vec{r}) = 0$, incluso en el origen. Y por tanto puede ser representado por doquier mediante un potencial $\vec{A}(\vec{r})$ y podemos escribir

$$\frac{1}{4\pi} q_m \frac{\vec{r}}{r^3} = \vec{\nabla} \times \vec{A}(\vec{r}) - q_m \Theta(-z) \delta(x) \delta(y) \hat{z} \quad (4)$$

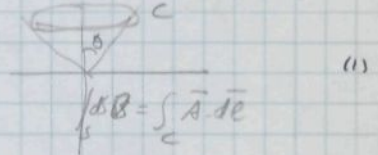
La linea ocupada por el solenoide es la llamada curva de Dirac. Gráficamente



Debemos imaginar $\vec{B}(r)$ como estando representado no solo por $\vec{A}(r)$, sino por $\vec{A}(r)$ juntamente con una cuerda \mathcal{S} sobre la que es singular.

Elegida la cuerda sobre el eje z negativo podemos fácilmente calcular $\vec{A}(r)$ usando la simetría axial del problema. Usando coordenadas esféricas (r, θ, ϕ) esperamos por simetría hallar un potencial vector $\vec{A}(r) = A(r, \theta) \hat{\phi}$, donde $\hat{\phi}$ es el vector unitario en la dirección ϕ . El flujo magnético a través de un círculo, C , correspondiente a valores fijos de r y θ , y con ϕ variando entre 0 y 2π es dado por el ángulo subtendido por C desde el origen multiplicado por $q_m/4\pi$ es decir $2\pi q_m (1 - \cos \theta)/4\pi$. Por tanto

$$\frac{1}{2} q_m (1 - \cos \theta) = \int d\vec{S} \cdot \vec{B} = 2\pi A(r, \theta) r \sin \theta$$



de donde

$$\vec{A}(r) = \frac{q_m}{4\pi r} \frac{(1 - \cos \theta)}{\sin \theta} \hat{\phi} = \frac{q_m}{4\pi r} \tan \frac{\theta}{2} \hat{\phi} \quad (2)$$

que muestra la singularidad sobre el eje z negativo.

Este potencial vector no es, por supuesto, único. En primer lugar podemos hacer una transformación de gauge no singular $\vec{A}(r) \xrightarrow{\sim} \vec{A}(r) + \vec{\nabla} \Lambda(r)$, donde $\Lambda(r)$ es esta función evaluada y no singular. El término $\vec{\nabla} \times \vec{A}(r)$ en (4.4) no cambiará y por lo tanto tampoco debe hacerlo la cuerda de Dirac. Pero la función de la cuerda es arbitraria y por tanto debemos encontrar la relación entre los potenciales singulares correspondientes a distintas trayectorias de la cuerda, que no queremos debe ser rectilínea. Es necesario ampliar el concepto de transformación de gauge para poder mover la cuerda. Escribimos (4.4) como

$$\vec{B}(r) = \vec{\nabla} \times \vec{A}(r) + \vec{h}(d, r) \quad (3)$$

donde $\vec{h}(d, r)$ representa la contribución de la cuerda \mathcal{S} , un flujo de intensidad q_m a lo largo de \mathcal{S} desde el origen al infinito

$$\tilde{h}(d, \vec{r}) = q_m \int d^3x \delta(\vec{x} - \vec{r}) \quad (1)$$

Según se ha definido antes la cuerda d está sobre el eje z negativo. Consideremos ahora otra cuerda d' que va del origen al infinito. Indiquemos en Γ la curva $-d'$ (d' tomada en dirección contraria) seguida de d . Podemos tratar Γ como una curva cerrada bien sea haciendo hipótesis convenientes con lo que sucede en el infinito o bien suponiendo que d y d' difieren solo en una parte finita. Sea $\Omega(\vec{r})$ el ángulo rotado desde \vec{r} en alguna superficie particular que se apoya en Γ . Distintas elecciones de la superficie conducirían a valores de Ω que difieren en 4π , pero todas ellas conducirían al mismo valor de $\vec{\nabla}\Omega(\vec{r})$ excepto cuando $\vec{r} \in \Gamma$ en cuyo caso tanto $\Omega(\vec{r})$ como $\vec{\nabla}\Omega(\vec{r})$ estarían siempre mal definidas. Consideremos ahora la transformación de gauge

$$\vec{A}(\vec{r}) \longrightarrow \vec{A}'(\vec{r}) = \vec{A}(\vec{r}) - \frac{q_m}{4\pi} \vec{\nabla} \Omega(\vec{r}) \quad (2)$$

donde $\vec{r} \notin \Gamma$. Entonces $\vec{\nabla} \times \vec{A}'(\vec{r}) = \vec{\nabla} \times \vec{A}(\vec{r}) = \vec{B}$ si $\vec{r} \notin \Gamma$. Aplicando el teorema de Stokes a un pequeño lazo que rodea Γ vemos que el flujo de $\vec{\nabla} \times (\vec{A}'(\vec{r}) - \vec{A}(\vec{r}))$ a lo largo de Γ es $q_m \cdot d$ m.c.m.

$$\vec{\nabla} \times [\vec{A}'(\vec{r}) - \vec{A}(\vec{r})] = \tilde{h}(d, \vec{r}) - \tilde{h}(d', \vec{r}) \quad (3)$$

Entonces

$$\vec{B}(\vec{r}) = \vec{\nabla} \times \vec{A}(\vec{r}) + \tilde{h}(d, \vec{r}) = \vec{\nabla} \times \vec{A}'(\vec{r}) + \tilde{h}(d', \vec{r}) \quad (4)$$

Por tanto una transformación de la forma (2) desplaza la cuerda de Dirac y resulta pues que usando transformaciones de gauge multivaluadas podemos rotarlas a lo que sea de polinomiales de Dirac para un monopolo magnético.

La condición crucial de consistencia es que la transformación de gauge generalizada debe dar los resultados cuánticos equivalentes. Esto verá en el efecto de la transformación de gauge en la función de onda.

$$\Psi(\vec{x}; t) \longrightarrow \Psi'(\vec{x}; t) = e^{-iqe\Lambda(\vec{x}; t)/\hbar c} \Psi(\vec{x}; t) \quad (5)$$

no produce un resultado multivaluado. Como hay una ambigüedad de 4π en la definición de $\Omega(\vec{r})$ necesitamos que

$$\frac{1}{4\pi c} qe q_m = \frac{1}{2} \hbar m \quad m = 0, \pm 1, \pm 2, \dots \quad (6)$$

que es la condición de cuantización de Dirac que permite pensar que de existir los monopoles las cargas eléctricas están cuantificadas.

Veamos otra peculiar consecuencia del monopolo de Dirac: consideremos una partícula de masa m y carga q_e que se mueve contáinamente en el campo magnético creado por un monopolo de carga q_m situado en el origen. La ecuación del movimiento es

$$m \frac{d^2\vec{r}}{dt^2} = q_e \frac{\vec{v}}{c} \times \vec{B}(\vec{r}) \quad (1)$$

donde $\vec{B}(\vec{r})$ está dado en (4.1). De aquí

$$\begin{aligned} \frac{d}{dt} \left(\vec{r} \times m \frac{d\vec{r}}{dt} \right) &= \frac{1}{4\pi} q_e q_m \frac{1}{c r^3} \vec{r} \times \left(\frac{d\vec{r}}{dt} \times \vec{r} \right) = \frac{1}{4\pi} q_e q_m \frac{1}{c r^3} \left[r^2 \frac{d\vec{r}}{dt} + (\vec{r} \cdot \frac{d\vec{r}}{dt}) \vec{r} \right] \\ \Rightarrow \frac{d}{dt} \left[\vec{r} \times m \frac{d\vec{r}}{dt} - \frac{1}{4\pi} q_e q_m \frac{1}{c} \frac{\vec{r}}{r} \right] &= 0 \end{aligned} \quad (2)$$

Este resultado debido a H. POINCARÉ [Compt. Rend. Acad. Sc. Paris 123, 530 (1896)] sugiere que el momento angular total conservado es

$$\vec{J} = \vec{r} \times m \frac{d\vec{r}}{dt} - \frac{1}{4\pi c} q_e q_m \frac{\vec{r}}{r} \quad (3)$$

El primer término es el momento angular orbital del monopolo. El otro término debe proveniramente proceder del campo eléctrico magnético. En efecto el momento angular clásico del campo electromagnético viene dado por

$$\vec{J}_{e.m.} = \frac{1}{4\pi c} \int d^3x \left[\vec{r} \times (\vec{E} \times \vec{B}) \right] \quad (4)$$

donde \vec{B} viene dado en (3.4) y \vec{E} es el campo estirado a la carga eléctrica situada en \vec{r} . De aquí

$$J_{e.m.}^i = \frac{q_m}{(4\pi)^2 c} \int d^3x E^j (\delta_{ij} - \hat{x}^i \hat{x}^j) \frac{1}{x} = \frac{q_m}{(4\pi)^2 c} \int d^3x E^j \frac{\partial}{\partial x^j} \left(\frac{x^i}{x} \right) =$$

$$= - \frac{q_m}{(4\pi)^2 c} \int d^3x \frac{x^i}{x} (\vec{r} \cdot \vec{E}) = - \frac{1}{4\pi c} q_m q_e \int d^3x \frac{x^i}{x} \delta(\vec{x} - \vec{r}) = - \frac{1}{4\pi c} q_e q_m \frac{\vec{x}^i}{x}$$

entonces

$$\vec{J}_{e.m.} = - \frac{1}{4\pi c} q_e q_m \frac{\vec{r}}{r} \quad (5)$$

Por otra parte

$$\hat{r} \cdot \vec{J} = - \frac{1}{4\pi c} q_e q_m \quad (6)$$

y de la condición de cuantificación de Dirac.

$$\hat{Y} \cdot \vec{J} = -\frac{i}{2} \hbar m \quad m=0, \pm 1, \pm 2, \dots \quad (1)$$

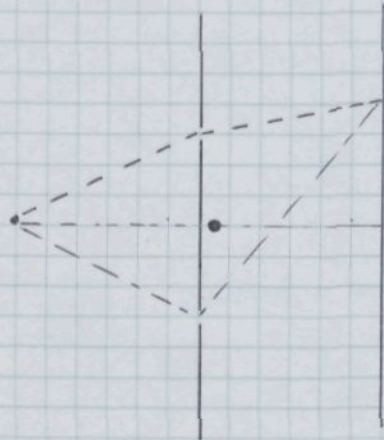
Para valores de m impares esto conduce a valores semi-enteros del número cuádruple. Inicialmente no había fermiones de spin semi-entero en el sistema. Mas tarde esto en A.S. GOLDHABER Phys. Rev. Lett. 36, 1122 (1976) que demuestran como fermiones, con el spin y la estadística correcta, pueden ser considerados a partir de bosones.

Hay una gran bibliografía sobre monofotones. El lector interesado puede consultar P. GODDARD y D.I. OLIVE CERN Th 2455 (1977).

Queremos en particular destacar el trabajo de T.T. WU y C.N. YANG Phys. Rev. D12, 3855 (1975) y Nucl. Phys. B107, 365 (1976). La experiencia de Bohm-Aharonov explica el efecto de un campo electromagnético sobre un haz de electrones en una región donde el campo magnético es nulo. Aunque el campo \vec{B} sea nulo fuera del solenoide, no existe ningún gauge para el que $\vec{A}=0$ en esta región.

Localmente el gauge puede anularse, pero no globalmente, porque dicha región no es completamente conexa (idealizamos a un solenoide infinito). La figura a intensidad depende del factor de fase

$$\exp \left(-i \frac{q_e}{\hbar c} \oint dx_\mu A^\mu(x) \right) \quad (2)$$



donde $q_e = -ie$ y que es igual a

$$\exp \left(i \frac{q_e}{\hbar c} \Phi \right) \quad (3)$$

donde Φ es el flujo magnético en el solenoide vistiendo. Entonces los caos a y b para los que

$$\Phi_a - \Phi_b = 2\pi \text{ (entero)} \times \frac{\hbar e}{q_e} \quad (4)$$

daran origen a las mismas franjas de interferencia. Entonces Wu y Yang probaron el siguiente teorema "Si (4) se satisface, ningún experimento fuera del solenoide es capaz de diferenciar entre los caos a) y b)". En efecto, consideremos en primer lugar un electrón fuera del solenoide. Consideremos una transformación de gauge que nos lleva del caos a) al b)

$$\Psi_b(\vec{x}; t) = e^{+ \frac{i q_e}{\hbar c} A(x)} \Psi_a(\vec{x}; t) \quad (5)$$

$$A_b^\mu(x) = A_a^\mu(x) + \partial^\mu A(x)$$

o equivalentemente

Veamos otra peculiar consecuencia del monopolo de Dirac: consideremos una partícula de masa m y carga q_e que se mueve lentamente en el campo magnético dado por un monopolo de carga q_m situado en el origen. La ecuación del movimiento es

$$m \frac{d^2\vec{r}}{dt^2} = q_e \frac{\vec{v}}{c} \times \vec{B}(\vec{r}) \quad (1)$$

donde $\vec{B}(\vec{r})$ está dado en (4.1). De aquí

$$\begin{aligned} \frac{d}{dt} \left(\vec{r} \times m \frac{d\vec{r}}{dt} \right) &= \frac{1}{4\pi} q_e q_m \frac{1}{c r^3} \vec{r} \times \left(\frac{d\vec{r}}{dt} \times \vec{r} \right) = \frac{1}{4\pi} q_e q_m \frac{1}{c r^3} \left[r^2 \frac{d\vec{r}}{dt} + \left(\vec{r} \cdot \frac{d\vec{r}}{dt} \right) \vec{r} \right] \\ \Rightarrow \frac{d}{dt} \left[\vec{r} \times m \frac{d\vec{r}}{dt} - \frac{1}{4\pi} q_e q_m \frac{1}{c} \frac{\vec{r}}{r} \right] &= 0 \end{aligned} \quad (2)$$

Este resultado debido a H. POINCARÉ [Compt. Rend. Acad. Sc. Paris 123, 530 (1896)] sugiere que el momento angular total conservado es

$$\vec{J} = \vec{r} \times m \frac{d\vec{r}}{dt} - \frac{1}{4\pi c} q_e q_m \frac{\vec{r}}{r} \quad (3)$$

El primer término es el momento angular orbital del monopolo. El otro término debe fuertemente depender del campo electromagnético. En efecto el momento angular closure del campo electromagnético viene dado por

$$\vec{J}_{em} = \frac{1}{4\pi c} \int d^3x \left[\vec{r} \times (\vec{E} \times \vec{B}) \right] \quad (4)$$

donde \vec{B} viene dado en (4.1) y \vec{E} es el campo debido a la carga eléctrica situada en \vec{r} . De aquí

$$\begin{aligned} \vec{J}_{em} &= \frac{q_m}{(4\pi)^2 c} \int d^3x E^j (\delta_{ij} - \hat{x}^i \hat{x}^j) \frac{1}{x} = \frac{q_m}{(4\pi)^2 c} \int d^3x E^i \frac{\partial}{\partial x^i} \left(\frac{x^i}{x} \right) = \\ &= - \frac{q_m}{(4\pi)^2 c} \int d^3x \frac{x^i}{x} (\vec{\nabla} \cdot \vec{E}) = - \frac{1}{4\pi c} q_m q_e \int d^3x \frac{x^i}{x} \delta(\vec{x} - \vec{r}) = - \frac{1}{4\pi c} q_e q_m \frac{\vec{x}^i}{x} \end{aligned}$$

entonces

$$\vec{J}_{em} = - \frac{1}{4\pi c} q_e q_m \frac{\vec{r}}{r} \quad (5)$$

Por otra parte

$$\vec{r} \cdot \vec{J} = - \frac{1}{4\pi c} q_e q_m \quad (6)$$

y de la condición de cuantificación de Dirac.

$$\hat{r} \cdot \vec{J} = -\frac{1}{2} \hbar m \quad m=0, \pm 1, \pm 2, \dots \quad (1)$$

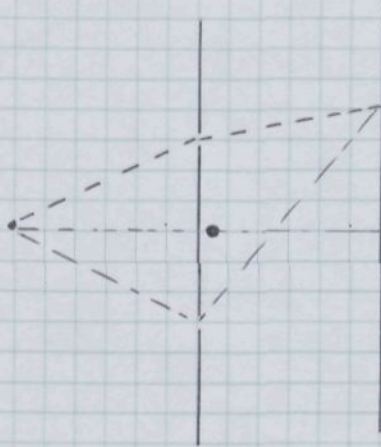
Para valores de m impares esto conduce a valores semi-enteros del número n bien igualmente no habrá fermiones de spin semi entero en el sistema. Mas sobre esto en A.S. GOLDHABER Phys. Rev. Lett. 36, 1122 (1976) que demuestra como fermiones, con el spin y la estadística correcta, pueden ser combinados a partir de bosones.

Hay una gran bibliografía sobre monoplos. El lector interesado puede consultar P. GODDARD y D.I. OLIVE CERN Th 2455 (1978).

Queremos en particular destacar el trabajo de T.T. WU y C.N. YANG Phys. Rev. D12, 3855 (1975) y Nucl. Phys. B107, 365 (1976). La experiencia de Bohm-Aharonov explora el efecto de un campo eléctrico magnético sobre un haz de electrones en una región donde el campo magnético es nulo. Aunque el campo \vec{B} sea nulo fuera del solenoide, no existe ningún gauge para el que $\vec{A}=0$ en esta región.

Localmente el gauge puede anularse, pero no globalmente, porque dicha región no es uníplemente conexa (idealizamos a un solenoide infinito). La figura de interferencia depende del factor de fase

$$\exp \left(-i \frac{q_e}{\hbar c} \oint dx_\mu A^\mu(x) \right) \quad (2)$$



donde $q_e = -|e|$ y que es igual a

$$\exp \left(i \frac{q_e}{\hbar c} \Phi \right) \quad (3)$$

donde Φ es el flujo magnético en el solenoide ultrarrudo. Entonces los casos a y b para los que

$$\Phi_a - \Phi_b = 2\pi \text{ (entero)} \times \frac{\hbar c}{q_e} \quad (4)$$

daran origen a las mismas franjas de interferencia. Entonces Wu y Yang probaron el siguiente teorema "Si (4) se satisface, ningún experimento fuera del cilindro es capaz de diferenciar entre los casos a) y b)". En efecto, consideremos en primer lugar un electrón fuera del cilindro. Consideremos una transformación de gauge que nos pase del caso a) al b)

$$\Psi_b(\vec{x}; t) = e^{+ \frac{i q_e}{\hbar c} \Lambda(x)} \Psi_a(\vec{x}; t) \quad (5)$$

$$A_b^\mu(x) = A_a^\mu(x) + \partial^\mu \Lambda(x)$$

o equivalentemente

$$S \equiv e^{-i \frac{qe}{\hbar c} A(x)}$$

(1)

$$\Psi_b(x) = S^{-1}(x) \Psi_a(x), \quad A_b^{\mu}(x) = A_a^{\mu}(x) - i \frac{\hbar c}{qe} S(x) \frac{\partial S^{-1}(x)}{\partial x^{\mu}}$$

Para que esta transformación se pueda definir $S(x)$ debe ser una multivaluada, pero no es necesario que lo sea $A(x)$. Por otra parte el hecho de que $A_b^{\mu}(x) - A_a^{\mu}(x)$ tenga rotacional nulo garantiza que $\partial_{\mu} \partial_{\nu} A(x) = \partial_{\nu} \partial_{\mu} A(x)$ y en tanto que $A(x)$ existe. Sin embargo es una cantidad multivaluada con un incremento

$$\Delta A = \oint [A_b^{\mu} - A_a^{\mu}] dx_{\mu} = \Phi_b - \Phi_a \quad (2)$$

cada vez que se da una vuelta alrededor del universo. Si se cumple (8.4) entonces $S(x)$ es univaluada. Por tanto los casos a) y b) fuera del universo se pueden transformar el uno en el otro mediante una transformación de gauge y ningún efecto físico observable los puede diferenciar. El mismo argumento es aplicable si se considera la función de ondas de un sistema de partículas en interacción si todas las cargas son múltiplos enteros de ie .

De este teorema se puede concluir:

- i) El tensor $F_{\mu\nu}(x)$ subdescribe el electromagnetismo, es decir situaciones físicas distintas en una región del espacio pueden tener el mismo $F_{\mu\nu}(x)$.
- ii) La fórmula (8.2) subdescribe el electromagnetismo, esto es distintas fases en una región pueden describir la misma situación física.
- iii) Lo que da una descripción ajustada y completa del electromagnetismo es

$$\exp \left(-i \frac{qe}{\hbar c} \oint dx_{\mu} A^{\mu}(x) \right) \quad (3)$$

La expresión anterior es menos fácil de usar (especialmente cuando se generaliza a grupos no-Abelianos) como concepto fundamental que el concepto de factor de fase de fase para cualquier camino de P a Q

$$S_{PQ} = \exp \left\{ -i \frac{qe}{\hbar c} \int_P^Q dx_{\mu} A^{\mu}(x) \right\} \quad (4)$$

Si queremos a C.N. YANG Phys. Rev. Lett. 33, 445 (1974) llamaremos a (4) un factor de fase no-integrable (esto es dependiente del camino). El electromagnetismo es pues la manifestación ruidante gauge de un factor de fase no integrable.

La definición del factor de fase no integrable (4) puede originar problemas en el caso general. Para ilustrar el problema consideraremos el caso del monopolo de Dirac. Consideraremos un monopolo magnético estacionario de intensidad $g_m \neq 0$ en el origen

$\vec{r} = 0$ y consideremos una región R del espacio-tiempo consistente en todo el espacio-tiempo menos el origen $\vec{r} = 0$. Entonces se puede probar que: "No existe un $A^{\mu}(x)$ libre de singularidades en todo R ". En efecto supongamos que existiera un $A^{\mu}(x)$ libre de singularidades en todo R y consideremos la integral $(-\oint dx_{\mu} A^{\mu})$ para el tiempo $t=0$, alrededor de un anillo a valores de las coordenadas esféricas r y θ fijas y con $0 \leq \phi < 2\pi$. Esta integral, que indicaremos por $\Omega(r, \theta)$ para $r > 0$, es igual al flujo magnético a través de un cosquín que se apoya en el anillo o más explícitamente $\Omega(r, \theta) = 2\pi q_m (1 - \cos \theta)$. Si $\theta = 0$ $\Omega(r, 0) = 0$, aumentando θ el valor de $\Omega(r, \theta)$ aumenta monótonamente hasta que $\Omega(r, \pi) = 4\pi q_m$. Pero para $\theta = \pi$ el anillo se ha convertido en un punto y por tanto $\Omega(r, \pi) = 0$ pues A_{μ} no tiene singularidades. Hemos obtenido una contradicción y el teorema queda probado.

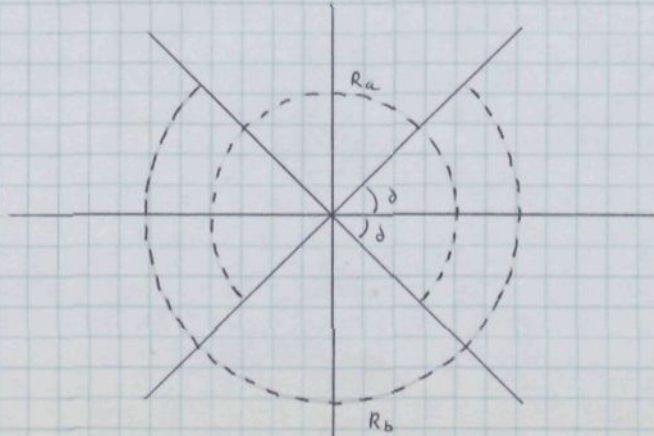
cuando $A_{\mu}(x)$ tiene singularidades, el factor de fase no integrable se hace indefinido si el camino cruce una singularidad. Esta dificultad debe ser resuelta para usar el factor de fase no integrable como un concepto fundamental para describir el electromagnetismo. Puede resolverse de la siguiente forma. Dividimos R en dos regiones R_a y R_b que se superpongan y definimos en cada una de ellas $(A_{\mu})_a$ y $(A_{\mu})_b$ que en ellas están libres de singularidades de forma tal que

- Sus autovalores son iguales al campo magnético
- En $R_a \cap R_b \neq \emptyset$ las cantidades $(A_{\mu})_a$ y $(A_{\mu})_b$ están relacionadas por una transformación de gauge.

Una posible elección es $(0 < \delta \leq \pi/2)$

$$R_a : 0 \leq \theta < \pi/2 + \delta, \quad r > 0, \quad 0 \leq \phi < 2\pi \quad \text{todo } t$$

$$R_b : \pi/2 - \delta < \theta \leq \pi, \quad r > 0, \quad 0 \leq \phi < 2\pi \quad \text{todo } t$$



Ade más

$$R_a : (A^t)_a = (A^r)_a = (A^\theta)_a = 0 \quad (A^\phi)_a = + \frac{q_m}{4\pi r \sin \theta} (1 - \cos \theta) \quad (1)$$

$$R_b : (A^t)_b = (A^r)_b = (A^\theta)_b = 0 \quad (A^\phi)_b = - \frac{q_m}{4\pi r \sin \theta} (1 + \cos \theta)$$

y en ambas regiones $\vec{V} \times \vec{A}$ es el campo magnético nulo para el monopolo en aquella región. Además en $R_a \cap R_b$ las dos potenciales están relacionadas por una transformación (9.1) en lo que

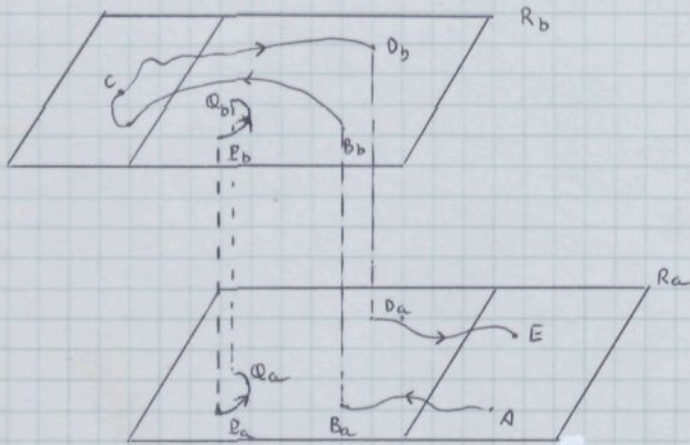
$$S = \exp \left(+ i \frac{2q_e q_m}{4\pi \hbar c} \phi \right) \quad (2)$$

(Recuerda $\vec{V} = \hat{r} \frac{\partial}{\partial r} + \hat{\theta} \frac{1}{r} \frac{\partial}{\partial \theta} + \hat{\phi} \frac{1}{r \sin \theta} \frac{\partial}{\partial \phi}$). Esta es una transformación de gauge permitida si y solo si

$$\frac{q_e q_m}{4\pi c} = \frac{1}{2} \hbar m \quad m = 0, \pm 1, \pm 2, \dots \quad (3)$$

que es la condición de cuantizacióñ de Dirac. Tenemos pues

$$S = e^{im\phi} \quad (4)$$



Para definir el factor de fase para un camino mas referiremos a la figura adjunta, donde un punto en la región de superficie tal como el P se considerara como dos puntos $P_a \in R_a$ y $P_b \in R_b$. Si el camino esté enteramente en R_a o en R_b definiremos S mediante (9.4) un $(A^M)_a$ o $(A^M)_b$ en el exponente.

Si el camino $P \rightarrow Q$ se halla enteramente en $R_a \cap R_b$ entonces tenemos dos posibles factores de fase $S_{Q_a P_a}$ y $S_{Q_b P_b}$ y es fácil ver que

$$S_{Q_b P_b} = S^{-1}(Q) S_{Q_a P_a} S(P) \quad (5)$$

lo cual simplemente establece que $(A^M)_b$ restará intercambiando con $(A^M)_a$ mediante (9.1) como se dada en (11.4). Para un camino que pasa de una región a la otra tal como $A \rightarrow B \rightarrow C \rightarrow D \rightarrow E$ la definición es

$$S_{EDCBA} = S_{EDA} S_{ab}(D) S_{D_b C B_b} S_{ba}(B) S_{B_a A} \quad (6)$$

Notar que si jodo el camino al deslizar los puntos B y D a lo largo de él no cambia

el factor de fase definido a formulas tales como (11.5)

El factor de fase definido así satisface la propiedad de grupo

$$\mathcal{F}_{EDCBA} = \mathcal{F}_{EDA} \mathcal{F}_{DCA} = \mathcal{F}_{EDB} \mathcal{F}_{DBCBA} = \mathcal{F}_{EDC} \mathcal{F}_{CBA} \text{ etc.} \quad (1)$$

La relación entre el campo electromagnético y el factor de fase alrededor de un lazo es la usual. Sólo tenemos que tener cuidado en el hecho de que si el punto inicial y final A está en $R_a \cap R_b$ no tomar $\mathcal{F}_{A_a B_a B_b}$ o $\mathcal{F}_{A_b B_a B_b}$ sino $\mathcal{F}_{A_a B_a B_b} = \mathcal{F}_{A_b B_a B_b}$. El factor de fase alrededor del lazo es

$$\exp \left(+i \frac{qe}{\hbar c} \Phi \right) \quad (2)$$

donde Φ es el flujo magnético a través de un casquete apoyado sobre el lazo. Notar que debido a la condición de Dirac el factor de fase es siempre el mismo independientemente de como se elija el casquete mientras no sea por $\vec{r}=0$ en ningún instante.

Así hemos resuelto la dificultad hallada en un principio siempre que la condición de cuantificación de Dirac (6.6) sea satisfecha. Además podemos afirmar "Si (6.6) no se satisface no existe ninguna derivación de R en regiones superpuestas R_a, R_b, \dots tales que las condiciones (i) y (ii) de lo fijen Φ , adecuadamente generalizadas al caso, se cumplen". Para probar esto basta observar que, si fuera cierto, se podría generalizar (11.6) y llegar a una definición satisfactoria del factor de fase. El factor de fase para un lazo es entonces una función continua del lazo. Tomemos el lazo que va el paralelo de una esfera de radio r fijo, $t=0$, $\theta = \text{fijo}$ y $\phi = 0 \rightarrow 2\pi$. El factor de fase definido por la generalización de (11.6) sería igual a

$$\exp \left[i \frac{qe}{\hbar c} \Phi(r, \theta) \right] = \exp \left\{ c \frac{1}{2} \frac{qe q_m}{\hbar c} (1 - \cos) \right\} \quad (3)$$

que no tenía la unidad para $\theta = \pi$ pues suponemos que (6.6) no es cierta. Luego hemos llegado a una contradicción.

Este último boomer muestra que si la condición de cuantificación de Dirac no es satisfecha, entonces el campo magnético de un monopolo de intensidad q_m no puede tomarse como una situación físicamente realizable en R . Esta es la misma conclusión a la que llegó Dirac pero desde otro punto de vista.

v) Monopoles no abelianos ('t Hooft, Polyakov)

En la discusión precedente vimos que los potenciales de los monopoles magnéticos tienen dos tipos de singularidades

- i) Una singularidad de tipo uerda asociada solo a las cargas magnéticas
- ii) La usual singularidad en el origen que aparece tanto para cargas magnéticas como para las eléctricas

Vamos a comparar esto con lo que sucede en las teorías gauge no-Abelianas.

Formularímos el modelo de H. GEORGI y S.L. GLASHOW Phys. Rev. D6, 2977 (1972)

que consiste en una teoría gauge $SU(3)$ interacciona con un campo de Higgs que es un escalar Lorentz y un isotrópico. La densidad lagrangiana es

$$\mathcal{L}(x) = -\frac{1}{4} F_{\mu\nu}^a(x) F_a^{\mu\nu}(x) + \frac{1}{2} (D_\mu \varphi_a(x))_a (D^\mu \varphi_a(x))_a - V[\varphi_a(x)] \quad (1)$$

$$V[\varphi_a(x)] = \frac{1}{4} \lambda [\varphi_a(x) \varphi_a(x) - a^2]^2$$

donde

$$F_a^{\mu\nu}(x) = \partial^\mu A_a^\nu(x) - \partial^\nu A_a^\mu(x) + g \epsilon_{abc} A_b^\mu(x) A_c^\nu(x) \quad (2)$$

$$(D_\mu \varphi(x))_a = \partial_\mu \varphi_a(x) + g \epsilon_{abc} A_{b\mu}(x) \varphi_c(x)$$

y se obtiene $\mathcal{L}(x)$ explícitamente

$$\begin{aligned} \mathcal{L}(x) = & -\frac{1}{2} \partial_\mu A_{av}(x) \partial^\mu A_a^v(x) + \frac{1}{2} \partial_\mu A_{av}(x) \partial^\nu A_a^\mu(x) - g \epsilon_{abc} \partial_\mu A_{av}(x) A_b^\mu(x) A_c^\nu(x) \\ & - \frac{1}{4} g^2 [A_{bp}(x) A_p^r(x)] [A_{av}(x) A_a^v(x)] + \frac{1}{4} g^2 [A_{bp}(x) A_{bv}(x)] [A_a^r(x) A_a^v(x)] \\ & + \frac{1}{2} [\partial_\mu \varphi_a(x)] [\partial^\mu \varphi_a(x)] + g \epsilon_{abc} \partial_\mu \varphi_a(x) A_b^\mu(x) \varphi_c(x) \\ & + \frac{1}{2} g^2 A_{ap}(x) A_a^r(x) \varphi_b(x) \varphi_b(x) - \frac{1}{2} g^2 A_{ap}(x) A_b^\mu(x) \varphi_a(x) \varphi_b(x) \\ & - \frac{1}{4} \lambda [\varphi_a(x) \varphi_a(x) - a^2]^2 \end{aligned} \quad (3)$$

Entonces las ecuaciones del movimiento son

$$(D^\mu D_\mu \varphi(x))_a = -\lambda [\varphi_b(x) \varphi_b(x) - a^2] \varphi_a(x) \quad (4)$$

$$(D_\nu F^{\nu\mu}(x))_a = -g \epsilon_{abc} \varphi_b(x) (D^\mu \varphi(x))_c$$

o más explícitamente

$$\partial^M \partial_\mu \varphi_a(x) + g \epsilon_{abc} \partial_\mu A_b^M(x) \varphi_c(x) + 2g \epsilon_{abc} A_b^M(x) \partial_\mu \varphi_c(x) - g^2 A_{bp}(x) A_b^M(x) \varphi_a(x) + \\ + g^2 A_{bp}(x) A_a^M(x) \varphi_b(x) = -\lambda [\varphi_b(x) \varphi_b(x) - a^2] \varphi_a(x)$$

$$\partial_\nu \partial^\nu A_a^M(x) - \partial^M \partial_\nu A_a^\nu(x) - g \epsilon_{abc} A_b^M(x) \partial_\nu A_c^\nu(x) - g \epsilon_{abc} A_{bv}(x) \partial^M A_c^v(x) - \\ + 2g \epsilon_{abc} A_b^\nu(x) \partial_\nu A_c^M(x) + g^2 A_a^\nu(x) A_{bv}(x) A_b^M(x) - g^2 A_c^M(x) A_{bv}(x) A_b^\nu(x) = \\ = g \epsilon_{abc} \varphi_b(x) \partial^M \varphi_c(x) - g^2 A_a^M(x) \varphi_b(x) \varphi_b(x) + g^2 A_b^M(x) \varphi_b(x) \varphi_a(x)$$
(1)

Si ademas definimos el tensor dual

$${}^*F_a^{\mu\nu}(x) = \frac{1}{2} \epsilon^{\mu\nu\lambda\beta} F_{\alpha\lambda\beta}(x)$$
(2)

tenemos las identidades de Bianchi:

$$(D_\mu {}^*F^{\mu\nu}(x))_a = 0$$
(3)

En ocasiones es útil introducir

$$A_\mu(x) \equiv \frac{1}{2} \vec{\sum} \vec{A}_\mu(x), \quad F_{\mu\nu}(x) = \frac{1}{2} \vec{\sum} \vec{F}_{\mu\nu}(x), \quad \varphi(x) \equiv \frac{1}{2} \vec{\sum} \vec{\varphi}(x)$$
(4)

y entonces

$$F_{\mu\nu}(x) = \partial_\mu A_\nu(x) - \partial_\nu A_\mu(x) - ig [A_\mu(x), A_\nu(x)]$$
(5)

$$D_\mu \varphi(x) = \partial_\mu \varphi(x) - ig [A_\mu(x), \varphi(x)]$$

y entendemos en esta notación

$$\phi(x) = -\frac{1}{2} \text{Tr} [F_{\mu\nu}(x) F^{\mu\nu}(x)] + \text{Tr} [D^M \varphi(x) \cdot D_\mu \varphi(x)] \\ - \frac{\lambda}{4} [2 \text{Tr} [\varphi(x) \varphi(x)] - a^2]^2$$
(6)

y las ecuaciones del movimiento son

$$D_\mu D^M \varphi(x) = -\lambda \{ 2 \text{Tr} [\varphi(x) \varphi(x)] - a^2 \} \varphi(x)$$
(7)

$$D_\nu F^{\nu M}(x) = +ig [\varphi(x), D^M \varphi(x)]$$

En otra parte las transformaciones de gauge se escribían como

$$\varphi'(x) = S(x) \varphi(x) S^{-1}(x)$$
(8)

con

$$S(x) = \exp \left\{ \frac{c}{2} \vec{E}(x) \cdot \vec{\Sigma} \right\}$$
(1)

Finalmente podemos calcular la densidad de energía que es

$$\Theta^{00}(x) = \frac{1}{2} \left\{ [E_a^i(x)]^2 + [B_a^i(x)]^2 + [\Pi_a(x)]^2 + [(D^i \varphi(x))_a]^2 \right\} + V[\vec{\varphi}(x)]$$
(2)

$$E_a^i(x) \equiv -F_a^{0i}(x), \quad B_a^i(x) \equiv -\frac{1}{2} \epsilon_{ijk} F_a^{jk}(x)$$

$$\Pi_a(x) \equiv (D^i \varphi(x))_a$$

Si suponemos $\lambda > 0$ entonces $\Theta^{00}(x) \geq 0$. Además $\Theta^{00}(x) = 0$ y solo si

$$F_a^{0i}(x) = 0$$
(3)

$$(D^i \varphi(x))_a = 0$$
(4)

$$V[\varphi(x)] = \frac{1}{4} \lambda [\vec{\varphi}^2(x) - a^2]^2 = 0$$
(5)

Llamaremos vacío a una configuración de campos para la que $\Theta^{00}(x) = 0$ para todos. Un ejemplo de vacío es

$$\varphi_a(x) = a \delta_{a3}, \quad A_a^i(x) = 0$$
(6)

Como $\Theta^{00}(x) = 0$ es invariantemente gauge, cualquier transformación de gauge de (6) dará también una configuración de vacío.

Introduciremos además el concepto de vacío de Higgs. Diremos que los campos en una determinada región del espacio-tiempo están en el vacío de Higgs si se satisfacen las ecuaciones (4) y (5), pero no necesariamente (3). Indicaremos por M_0 el conjunto de valores de $\vec{\varphi}(x)$ que minimizan la función potencial, esto es

$$M_0 \equiv \{ \vec{\varphi}(x) : \vec{\varphi}^2(x) = a^2 \}$$
(7)

Notar que M_0 es una superficie esférica de radio a en el espacio de los campos donde actúa $SO(3)$. Imaginemos que elegimos un vacío de Higgs $\vec{\varphi}$; entonces $\vec{\varphi} \in M_0$.

El grupo pequeño H_φ de $\vec{\varphi}$, que consiste de aquellos elementos de $SO(3)$ que dejan $\vec{\varphi}$ invariante, es precisamente el grupo de rotaciones alrededor de $\vec{\varphi}$ y es isomorfo a $SO(2) \cong U(1)$. Como los H_φ para $\vec{\varphi} \in M_0$ son todos ellos isomorfos de modo que sea de ellos en H . Físicamente es de importancia fundamental pues es el grupo de simetría exacta de la teoría. La simetría $SO(3)$ original, es espontáneamente rotada a H por $\vec{\varphi}$. Por tanto después de la rotación de la simetría nos queda una

teoría gauge U(1) que, por tanto, tiene todas las características de la teoría de Maxwell. Como ejemplo de esto supongamos

$$A^\mu(x) = A^\mu(x) \frac{\tau_3}{2} \quad (1)$$

$$A^0(x) = 0 \quad \vec{A}(x) = \frac{q_m}{r} \frac{(1 - \cos \theta)}{\sin \theta} \hat{\phi}$$

(comparar con (5.2)). Como sólo hay una dirección en el espacio de los piones se anulan todos los commutadores y

$$F^{\mu\nu}(x) = [\partial^\mu A^\nu(x) - \partial^\nu A^\mu(x)] \frac{\tau_3}{2} \quad (2)$$

Las ecuaciones del movimiento (14.7) son satisfactorias si el campo de Higgs es

$$\psi(x) = c \frac{\tau_3}{2} \quad (3)$$

Eso es totalmente análogo al monopolo con la cuerda y la singularidad en el origen. No parece que haya un gran error, pero realmente hay una profunda diferencia. Vamos a probar que mediante una transformación de gauge podemos eliminar completamente la cuerda. Consideremos una transformación de gauge

$$S = e^{-i\phi \frac{\tau_3}{2}} e^{+i\theta \frac{\tau_2}{2}} e^{+i\phi \frac{\tau_3}{2}} \quad (4)$$

Es fácil ver que esta transformación gira el eje τ_3 para dar la proyección radial.

En efecto

$$\begin{aligned} S \tau_3 S^{-1} &= e^{-i\phi \frac{\tau_3}{2}} \left[\cos \frac{\theta}{2} + i \tau_2 \sin \frac{\theta}{2} \right] \tau_3 \left[\cos \frac{\theta}{2} + i \tau_2 \sin \frac{\theta}{2} \right] e^{+i\phi \frac{\tau_3}{2}} = \\ &= \left[\cos \frac{\phi}{2} - i \tau_3 \sin \frac{\phi}{2} \right] \left[\cos \theta \tau_3 + \sin \theta \tau_1 \right] \left[\cos \frac{\phi}{2} + i \tau_3 \sin \frac{\phi}{2} \right] \\ &= \cos \theta \tau_3 + \sin \theta \left[\cos \frac{\phi}{2} - i \tau_3 \sin \frac{\phi}{2} \right] \tau_1 \left[\cos \frac{\phi}{2} + i \tau_3 \sin \frac{\phi}{2} \right] \\ &= \cos \theta \tau_3 + \sin \theta \left[\cos \phi \tau_1 + \sin \phi \tau_2 \right] \end{aligned}$$

Esto es

$$S \tau_3 S^{-1} = \vec{\tau} \cdot \hat{x} \quad (5)$$

que introduce una ligadura simple y esencial entre el espacio normal y el de los piones.

Bajo esta transformación $A^\mu(x)$ se convierte en

$$A^\mu(x) \longrightarrow A'^\mu(x) = S A^\mu(x) S^{-1} - \frac{e}{g} (\partial^\mu S) S^{-1} \quad (6)$$

de donde

$$A^{10}(x) = 0$$

$$A^{1r}(x) = 0 - \frac{c}{g} \frac{\partial S}{\partial r} S^{-1} = 0$$

$$A^{1\theta}(x) = 0 - \frac{c}{gr} \left(\frac{\partial S}{\partial \theta} \right) S^{-1} = -\frac{1}{2gr} [\cos \phi \epsilon_2 - \sin \phi \epsilon_1] \quad (1)$$

$$A^{1\phi}(x) = \frac{q_m}{r} \frac{(1-\cos \theta)}{\sin \theta} \frac{\vec{\epsilon} \cdot \hat{x}}{2} - \frac{1}{2gr \sin \theta} [\epsilon_3 - \vec{\epsilon} \cdot \hat{x}]$$

Si se cumple que

$$q_m g = -1$$

(que es un caso particular de la condición de Dirac) entonces las únicas componentes no nulas de $A^{1r}(x)$ son

$$A^{1\theta}(x) = \frac{q_m}{2r} [-\sin \phi \epsilon_1 + \cos \phi \epsilon_2] \quad (3)$$

$$A^{1\phi}(x) = \frac{q_m}{2r} [-\cos \theta \cos \phi \epsilon_1 - \cos \theta \sin \phi \epsilon_2 + \sin \theta \epsilon_3]$$

O equivalentemente

$$A^{10}(x) = 0 \quad \vec{A}^1(x) = \frac{q_m}{r^2} \left(\frac{\vec{\epsilon}}{2} \times \vec{x} \right) \quad (4)$$

y por tanto la singularidad sobre la recta ha sido eliminada. Queda aún la singularidad en el origen que veremos que puede ser eliminada mediante un ansatz más complicado que (16.1) *

Sin embargo antes de pasar a este punto queríenmos discutir la posibilidad de soluciones clásicas de energía finita para nuestro modelo. Comenzaremos estudiando lo que sucede si $A_a^\mu(x) \equiv 0$, es decir

$$\phi(x) = \frac{1}{2} [\partial_r \varphi_a(x)] [\partial^r \varphi_a(x)] - \frac{1}{4} \lambda [\varphi_a(x) \varphi_a(x) - a^2]^2 \quad (5)$$

en cuyo caso la energía es

$$H = \int d^3x \left\{ \frac{1}{2} \left(\frac{\partial \varphi_a}{\partial t} \right) \left(\frac{\partial \varphi_a}{\partial t} \right) + \frac{1}{2} (\vec{\nabla} \varphi_a) (\vec{\nabla} \varphi_a) + V[\vec{\varphi}] \right\} \geq \quad (6)$$

$$\geq \int d^3x \left\{ \frac{1}{2} (\vec{\nabla} \varphi_a) (\vec{\nabla} \varphi_a) + V[\vec{\varphi}] \right\}$$

sin necesidad de hacer ninguna hipótesis sobre la dependencia temporal. Veremos que este

teoría no puede tener soluciones de energía finita que no sean topológicamente triviales en el infinito. Toda solución de energía finita de la teoría (17.5) debe ser tal que $\vec{\varphi}(x)$ tienda a un punto de M_0 cuando rayamos hacia infinito en cualquier dirección del espacio. Las posibles direcciones según las cuales podemos tender a infinito vienen fijadas por los vectores unitarios

$$S^2 \equiv \{ \hat{r} : \hat{r}^2 = 1 \} \quad (1)$$

La energía finita implica pues que

$$\vec{\varphi}_\infty(\hat{r}) \equiv \lim_{R \rightarrow \infty} \vec{\varphi}(R\hat{r}) \in M_0, \quad \hat{r} \in S^2 \quad (2)$$

Por otra parte podemos escribir

$$(\vec{\nabla}\varphi_a)^2 = \left(\frac{\partial \varphi_a}{\partial r} \right)^2 + \frac{1}{r^2} \left[\left(\frac{\partial \varphi_a}{\partial \theta} \right)^2 + \frac{1}{\sin^2 \theta} \left(\frac{\partial \varphi_a}{\partial \phi} \right)^2 \right] \quad (3)$$

y si $\vec{\varphi}_\infty$ no es constante el último término es de orden r^{-2} para $r \rightarrow \infty$, lo cual asegura la divergencia de (17.6) y por tanto la condición de energía finita fuerza a que $\vec{\varphi}(x)$ sea topológicamente trivial en el infinito.

La situación es totalmente distinta en presencia de $A_a^\mu(x)$ pues entonces es posible, en principio, tener energía finita y comportamiento no trivial en el infinito. Esto se debe a que ahora en lugar de $(\vec{\nabla}\varphi_a)^2$ tenemos $((\vec{\nabla}y)_a)^2$ y es perfectamente posible que $(\vec{\nabla}y)_a$ decrezca como $1/r^2$ mientras que A_a^μ y $\vec{\varphi}_a$ decrezcan como $1/r$.

Vamos a intentar hallar soluciones de energía finita a las ecuaciones (13.5). Como las ecuaciones son muy complicadas debemos elegir cuidadosamente la estrategia. La exigencia que sean de energía finita implica que cuantitativamente y a grandes distancias los campos deben estar en el rango de Higgs; cuando esto es alcanzado solo sobren van las características electromagnéticas. Físicamente uno espera que la solución con energía más baja no nula sea independiente del tiempo y que tenga un elevado grado de simetría. Consideraremos este con una ansatz simplificadora. [G.'T HOOFT Nucl. Phys. B79, 276 (1976) y A.M. POLYAKOV JETP Lett. 20, 194 (1974)]. Las simetrías de una solución forman un grupo G_0 que es un subgrupo del grupo total G de las simetrías de las ecuaciones del movimiento. G_0 no puede coincidir con G ya que solo la solución trivial ker $\vec{\varphi}$ tiene esta simetría. Consideraremos cuál puede ser G_0 para la solución de menor energía. La independencia temporal presupone ker $\vec{\varphi}$ solución del sistema de referencia de Lorentz en el que los campos están en reposo. Con

esta ecuación implica que las soluciones tienen una simetría bajo rotaciones espaciales $SU(3)$, bajo traslaciones T_3 y bajo una simetría interna $SO_7(3)$. Además hay otras simetrías discretas.

$$P : \psi_a(\vec{r}) \rightarrow +\psi_a(-\vec{r}) ; A_a^c(\vec{r}) \rightarrow -A_a^c(-\vec{r}) ; A_a^o(\vec{r}) \rightarrow +A_a^o(-\vec{r}) \quad (1)$$

$$Z : \psi_a(\vec{r}) \rightarrow -\psi_a(\vec{r}) ; A_a^c(\vec{r}) \rightarrow A_a^c(\vec{r}) \quad (2)$$

que generan $Z_2 \otimes Z_2$. La acción de P y Z sobre $G^{\mu\nu} \equiv \vec{\phi} \cdot \vec{F}^{\mu\nu}/a$ que identificaremos como el campo electromagnético en el vacío de Higgs se transforma como

$$P : G^{ij}(\vec{r}) \rightarrow G^{ij}(-\vec{r}) ; G^{io}(\vec{r}) \rightarrow -G^{io}(-\vec{r}) \quad (3)$$

$$Z : G^{ij}(\vec{r}) \rightarrow -G^{ij}(\vec{r}) ; G^{io}(\vec{r}) \rightarrow -G^{io}(\vec{r})$$

Podemos identificar P con la transformación de paridad ya que tiene la acción aparente sobre el campo electromagnético. Tanto P como Z cambian el signo de $\vec{B} \cdot \vec{B}$ y, en consecuencia, la carga magnética de cualquier solución. Si P o Z se incluyen en G_0 la solución debe tener carga magnética nula. Podemos solo incluir PZ en G_0 .

Volvamos a las simetrías continuas. La solución estará localizada y por tanto no será invariante bajo traslaciones. Nos queda pues $SU(3) \otimes SO(3) \otimes Z_2$. El producto $SU_7(3) \otimes SO(3)$ es demasiado grande y tiene varios subgrupos covariantes $SU(3)$: aquellos que consisten de solo las rotaciones espaciales o las rotaciones de isospin y el subgrupo diagonal consistente de rotaciones simultáneas e iguales en el espacio real y de isospin. La invariancia con respecto a rotaciones espaciales fuerza a que $\vec{\phi}(x)$ sea constante antíéticamente con lo que las condiciones antitéticas son satisfechas de una forma topológicamente trivial. La invariancia isotópica fuerza a que $\vec{\phi}$ se anule en doquier y las condiciones frontera no se satisfacen. Nos queda por tanto el grupo diagonal cuyos generadores son $[-i\vec{r} \times \vec{\sigma} + \vec{\epsilon}/2]$. El ansatz general invariante con respecto al grupo diagonal es

$$\psi_a(\vec{r}) = H(a\vec{r}) \frac{r^a}{g r^2} ; W_a^o(\vec{r}) = J(a\vec{r}) \frac{r^a}{g r^2}$$

$$W_a^i(\vec{r}) = -E_{avg} \frac{r^i}{g r^2} [1 - K(a\vec{r})] + \frac{r^2 \delta_{ac} - r^i r^a}{g r^3} B(a\vec{r}) + \frac{r^i r^a}{g r^3} C(a\vec{r})$$

Invariancia bajo PZ fuerza $B = C = 0$. Por tanto la solución devada que tiene una simetría $G_0 \cong SO(3) \otimes Z_2$, donde $SO(3)$ es el grupo diagonal en el producto $SU(3) \otimes SO_7(3)$

y Z_2 el grupo generado por δZ , es

$$\varphi_a(\vec{r}) = H(\text{agr}) \frac{r^a}{gr^2} \quad A_a^o(\vec{r}) = J(\text{agr}) \frac{r^a}{gr^2} \quad (1)$$

$$A_a^c(\vec{r}) = E_{a\mu j} \frac{r^j}{gr^2} [1 - K(\text{agr})]$$

de la cual (17.4) es un caso particular

Para calcular las ecuaciones del movimiento es conveniente organizar el ligamento moldeado debido a L.D. FADEEV "In search of many dimensional solitons" (unpublished lecture given at Alushta 1976) y S. COLEMAN Phys. Rev. D11, 2088 (1975). La ecuación canónica puede escribirse

$$J = - \int d^3x \alpha(x) = \int d^3x \left\{ \frac{1}{4} F_{\mu\nu} F_\mu^{\nu} - \frac{1}{2} (D_\mu \varphi)_a (D^\mu \varphi)_a + V[\varphi_a] \right\} \quad (2)$$

Introduciendo $\xi = agr$ se tiene obtener

$$V[\varphi_a] = \frac{1}{4} \lambda a^4 \frac{1}{\xi^4} [H^2(\xi) - \xi^2]^2$$

$$(D_0 \varphi)_a = 0$$

$$(D_i \varphi)_a = - \frac{g a^2}{\xi^2} \left\{ H(\xi) K(\xi) \partial_i a + \frac{\xi^i \xi^a}{\xi^2} \left[\xi \frac{dH(\xi)}{d\xi} - H(\xi) - K(\xi) H(\xi) \right] \right\}$$

$$-\frac{1}{2} (D_\mu \varphi)_a (D^\mu \varphi)_a = - \frac{g^2 a^4}{\xi^4} \left\{ H^2(\xi) K^2(\xi) + \frac{1}{2} \left[\xi \frac{dH(\xi)}{d\xi} - H(\xi) \right]^2 \right\}$$

$$E_a^c = - F_c^{oc} = + \frac{g a^2}{\xi^2} \left\{ J(\xi) K(\xi) \partial_c a + \frac{\xi^c \xi^a}{\xi^2} \left[\xi \frac{dJ(\xi)}{d\xi} - J(\xi) - K(\xi) J(\xi) \right] \right\}$$

$$-\frac{1}{2} (E_a^c)^2 = - \frac{g^2 a^4}{\xi^4} \left\{ J^2(\xi) K^2(\xi) + \frac{1}{2} \left[\xi \frac{dJ(\xi)}{d\xi} - J(\xi) \right]^2 \right\}$$

$$B_a^c = -\frac{1}{2} \epsilon_{ijk} F_a^{jk} = - \frac{g a^2}{\xi^2} \left\{ \xi \frac{dK(\xi)}{d\xi} \partial_c a + \frac{\xi^c \xi^a}{\xi^2} [K^2(\xi) - 1 - \xi \frac{dK(\xi)}{d\xi}] \right\}$$

$$\frac{1}{2} (B_a^c)^2 = \frac{g^2 a^4}{\xi^4} \left\{ \left[\xi \frac{dK(\xi)}{d\xi} \right]^2 + \frac{1}{2} [K^2(\xi) - 1]^2 \right\}$$

y de aquí se obtiene inmediatamente que

$$J = \frac{4\pi a}{g} \int_0^\infty d\xi \frac{1}{\xi^2} \left\{ \left[\xi \frac{dK(\xi)}{d\xi} \right]^2 + \frac{1}{2} [K^2(\xi) - 1]^2 - J^2(\xi) K^2(\xi) - \frac{1}{2} \left[\xi \frac{dJ(\xi)}{d\xi} - J(\xi) \right]^2 \right. \\ \left. + H^2(\xi) K^2(\xi) + \frac{1}{2} \left[\xi \frac{dH(\xi)}{d\xi} - H(\xi) \right]^2 + \frac{\lambda}{4g^2} [H^2(\xi) - \xi^2]^2 \right\} \quad (3)$$

Las condiciones para la acción estacionaria con respecto a variaciones de K , H y J son

$$\bar{s}^2 \frac{d^2 K(\bar{s})}{d \bar{s}^2} = K(\bar{s}) [K^2(\bar{s}) - 1] + K(\bar{s}) [H^2(\bar{s}) - J^2(\bar{s})]$$

$$\bar{s}^2 \frac{d^2 H(\bar{s})}{d \bar{s}^2} = 2 K^2(\bar{s}) H(\bar{s}) + \frac{\lambda}{g^2} H(\bar{s}) [H^2(\bar{s}) - \bar{s}^2] \quad (1)$$

$$\bar{s}^2 \frac{d^2 J(\bar{s})}{d \bar{s}^2} = 2 K^2(\bar{s}) J(\bar{s})$$

A este mismo resultado se llega, más laborioso calcular, sustituyendo directamente (20.1) en las ecuaciones del movimiento. Se ha podido proceder de esta forma debido a un Teorema probado por Fadeev y Coleman: Supongamos que deseamos encontrar los puntos estacionarios de una determinada función F (aquí un funcional) cuyos argumentos cubren un conjunto \mathcal{X} . Sea G_0 el grupo que actúa sobre \mathcal{X} formado por las simetrías de F . Si \mathcal{X}_0 indica los elementos de \mathcal{X} que permanecen fijos bajo todos los elementos de G_0 , entonces un punto estacionario de F restringido a \mathcal{X}_0 es también un punto estacionario de F sobre \mathcal{X} . En nuestra caso \mathcal{X} es todas las configuraciones de campo finitas, $G_0 = SU(3) \otimes Z_2$ y \mathcal{X}_0 las configuraciones de nucleo ansatz.

Consideraremos de momento $J(\bar{s}) = 0$, entonces (1) se reduce a

$$\bar{s}^2 \frac{d^2 K(\bar{s})}{d \bar{s}^2} = K(\bar{s}) H^2(\bar{s}) + K(\bar{s}) [K^2(\bar{s}) - 1] \quad (2)$$

$$\bar{s}^2 \frac{d^2 H(\bar{s})}{d \bar{s}^2} = 2 K^2(\bar{s}) H(\bar{s}) + \frac{\lambda}{g^2} H(\bar{s}) [H^2(\bar{s}) - \bar{s}^2]$$

y la energía se obtiene fácilmente de (15.4) y (20.3) y es

$$E = \frac{4\pi a}{g} \int_0^\infty d\bar{s} \frac{1}{\bar{s}^2} \left\{ \left[\bar{s} \frac{dK(\bar{s})}{d\bar{s}} \right]^2 + \frac{1}{2} [K^2(\bar{s}) - 1]^2 + H^2(\bar{s}) K^2(\bar{s}) \right. \\ \left. + \frac{1}{2} \left[\bar{s} \frac{dH(\bar{s})}{d\bar{s}} - H(\bar{s}) \right]^2 + \frac{\lambda}{4g^2} [H^2(\bar{s}) - \bar{s}^2]^2 \right\} \quad (3)$$

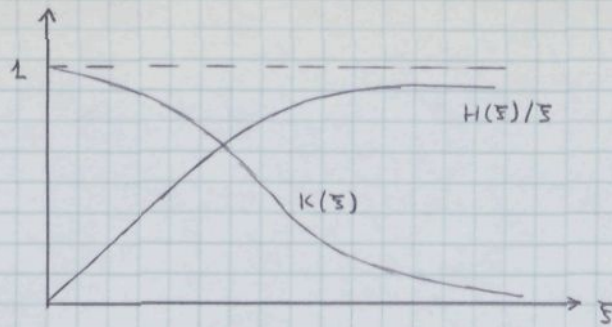
Las condiciones de contorno para soluciones de energía finita son

$$K(\bar{s}) - 1 \leq O(\bar{s}), \quad H \leq O(\bar{s}) \quad \text{cuando } \bar{s} \rightarrow 0 \quad (4)$$

$$K(\bar{s}) \sim 0, \quad H(\bar{s}) \sim \bar{s} \quad \bar{s} \rightarrow \infty$$

que las ecuaciones (2) con las condiciones (4) tienen solución ha sido probado rigurosamente por A.S. SCHWARZ Nucl. Phys. B112, 358 (1976) y las formas están dadas en

la figura



Mas aún podemos fácilmente averiguar como $H(\xi)$ y $K(\xi)$ se acercan a sus límites para $\xi \rightarrow \infty$. Introduciendo $h(\xi) = H(\xi) - \xi$ obtenemos fácilmente que las ecuaciones (21.2) se reducen asintóticamente a

$$\frac{d^2 K(\xi)}{d \xi^2} = K(\xi) , \quad \frac{d^2 h(\xi)}{d \xi^2} = \frac{2\lambda}{g^2} h(\xi)$$

y en este

$$K(\xi) \underset{\xi \rightarrow \infty}{\sim} O(e^{-\xi}) , \quad H(\xi) \underset{\xi \rightarrow \infty}{\sim} \xi + O(e^{-\frac{2\lambda}{g^2}\xi}) \quad (1)$$

de aquí:

$$\varphi_a(\vec{r}) \underset{r \rightarrow \infty}{\sim} a \frac{\xi^a}{\xi} , \quad E_a(\vec{r}) \equiv 0 , \quad B_a(\vec{r}) \underset{r \rightarrow \infty}{\sim} +ga^2 \frac{\xi^a}{\xi^4} \quad (2)$$

De donde a grandes distancias no hay campo eléctrico y el campo magnético es

$$\vec{B}(\vec{r}) \equiv \vec{B}_a(r) \hat{\varphi}_a(\vec{r}) \underset{r \rightarrow \infty}{\sim} + \frac{1}{g} \frac{\vec{r}}{r^3} \quad (3)$$

que es obviamente invarianté gauge. Comparando (3) con (4.1) vemos que este es el campo creado en un monopolo de intensidad

$$q_m = + \frac{4\pi}{g} \quad (4)$$

Una pregunta que surge inmediatamente es como este resultado se relaciona con la conducción de cuantificación a Dirac. Nos hemos limitado a ecuaciones clásicas y no hablaremos por ahora de su cuantificación, porque no sabemos de momento bien como llevarla a cabo. Sin embargo el lenguaje suministrado para la interpolación de partículas, que los campos adquieren al ser cuantificados, esto es muy sencillo y podemos usarlo para obtener de forma heurística lo que sucede al cuantizarlos. Para ver esto partiremos de (13.1) y aplicaremos el mecanismo de Higgs usual. Así obtenemos fácilmente que

	Masa	Sp'm	Carga eléctrica
Partícula de Higgs	$\mu = a \hbar \sqrt{2\lambda}$	0	0
Fotón	0	\hbar	0
Mesones gauge	$M = ag \hbar$	\hbar	$\pm g \hbar$

Las masas se calculan a partir del Lagrangiano de la forma usual recordando que cuando desarrollamos alrededor del vacío el coeficiente del término cuadrático en los campos del bosón es el cuadrado de la masa dividido por $2\hbar^2$. Como $i\vec{\phi}^\dagger = a$ en el vacío, actúa el mecanismo de Higgs; esto es las componentes cargadas del campo de Higgs quedan aboradadas en las componentes cargadas del campo de gauge dandoles masa y dejando un único campo vectorial sin masa, así como también en el Higgs restante.

La carga eléctrica se obtiene comparando la derivada covariante bajo $S_0(3)$

$$\partial^\mu + ig A_a^\mu T_a \quad (T_a)_{ij} = -i e \epsilon_{aci} \quad (1)$$

con la derivada covariante electromagnética $\partial^\mu + i e Q A^\mu / \hbar$. Identificando $\hat{\varphi}_a A_a^\mu$ con A^μ obtenemos

$$Q = -g \hbar \hat{\varphi} \cdot \vec{T} \quad (2)$$

que da el resultado dado arriba. Esta expresión es válida en cualquier representación y en tanto con nuestro campo \vec{T} puede tener valores semejantes y la carga elemental es $\frac{1}{2} g \hbar$, y todas las demás son múltiplos de ella.

Entonces volvemos a (22.5) teniendo en cuenta que la carga elemental de la leóna es $q_0 = \frac{1}{2} g \hbar$ entonces

$$\frac{q_0 q_m}{4\pi \hbar} = \frac{1}{2} \quad (3)$$

y q_m toma el valor más bajo compatible con la condición de Dirac. Una solución con la carga aparente se obtiene aplicando a la anterior $P \circ Z$.

Notemos además que los resultados (22.6) nos dicen que

$$K(\xi) \sim O(e^{-M r/\hbar}) \quad H(\xi) \sim \xi + O(e^{-M r/\hbar}) \quad (4)$$

es decir que se aproximan a los valores cuánticos de cuando a las longitudes de onda Compton de las partículas con masa asociadas al campo respectivo.

Vemos pues que el monopolo de 't Hooft - Polyakov tiene un radio finito R_0 determinado por las longitudes de onda Compton \hbar/M y \hbar/μ de las partículas con masa de la teoría, de forma que en el exterior de R_0 la configuración del campo es exponencialmente cercana al vacío de Higgs; esto es

$$D^\mu \vec{\varphi} = \partial^\mu \vec{\varphi} + g \vec{A}^\mu \times \vec{\varphi} = 0, \quad \vec{\varphi}^2 = a^2 \quad r \gg R_0 \quad (1)$$

con error de orden $\exp(-r/R_0)$.

Supondremos que cualquier solución de energía finita satisface (1) muy aproximadamente, excepto en un número finito de regiones localizadas compactas en el espacio correspondientes a monopoles, aun cuando las soluciones sean dependientes del tiempo. No existe ninguna prueba de esta hipótesis. Queremos arribar a (1) para despejar lo dicho antes sobre el vacío de Higgs.

Dado un $\vec{\varphi}$ fuera de las regiones localizadas correspondientes a los monopoles la forma general de \vec{A}^μ que satisface (1) es [E. CORRIGAN, D. OLIVE, D.B. FAIRLIE y J. NUYTS Nucl. Phys. B106, 475 (1976)]

$$\vec{A}_\mu = -\frac{1}{a^2 g} \vec{\varphi} \times \partial_\mu \vec{\varphi} + \frac{1}{a} \vec{\varphi} A_\mu \quad (1)$$

donde A_μ es arbitrario como se deduce inmediatamente de (1). Introduzcamos

$$F^{\mu\nu}(x) = \frac{1}{a} \vec{\varphi} \cdot \vec{F}^{\mu\nu}(x) \quad (2)$$

de donde un simple cálculo da

$$\begin{aligned} F^{\mu\nu} &= \frac{1}{a} \vec{\varphi} \cdot [\partial^\mu \vec{A}^\nu - \partial^\nu \vec{A}^\mu + g \vec{A}^\mu \times \vec{A}^\nu] = \\ &= -\frac{1}{a^3 g} \vec{\varphi} \cdot [\partial^\mu \vec{\varphi} \times \partial^\nu \vec{\varphi}] + \partial^\mu A^\nu - \partial^\nu A^\mu \end{aligned} \quad (3)$$

Entonces de (1) se deduce que

$$\partial_\mu F^{\mu\nu}(x) = 0 \quad \partial_\mu *F^{\mu\nu}(x) = 0 \quad (4)$$

que son precisamente las ecuaciones de Maxwell. Hemos así demostrado que en el vacío de Higgs el único componente no nulo del campo de gauge es el componente asociado con el grupo U(1) de rotaciones alrededor de $\vec{\varphi}$, $F^{\mu\nu}$, que satisface las ecuaciones de Maxwell. En este sentido, fuera de la región de los monopoles, la teoría gauge SU(3) es localmente independiente de la teoría electromagnética convencional. Esto no cambia si se introducen otros campos cargados.

Veamos ahora los atributos globales del vacío de Higgs considerando el flujo magnético Φ_{Σ} a través de una superficie cerrada Σ . Por las ecuaciones de Maxwell Φ_{Σ} será no nulo solo si Σ rodea una región en la que falle (24.1) es decir donde hay monopoles. Se tiene

$$\Phi_{\Sigma} = \int_{\Sigma} d\vec{S} \cdot \vec{B} = + \frac{1}{2g^2 a^3} \int_{\Sigma} dS^{\mu} \epsilon_{ijk} \vec{\varphi} \cdot (\partial^j \vec{\varphi} \times \partial^k \vec{\varphi}) \quad (1)$$

donde hemos usado (24.3) y el hecho de que la continuidad de A^{μ} se anula debido al teorema de Stokes. Notar que las derivadas $\partial^c \vec{\varphi}$ que aparecen en (1) son tangenciales a Σ , de forma que la carga magnética en Σ depende únicamente de los valores del campo de Higgs en Σ . En realidad de hecho de menos, pues conocemos una configuración de campo de Higgs ligeramente distinta y que cumple (24.1).

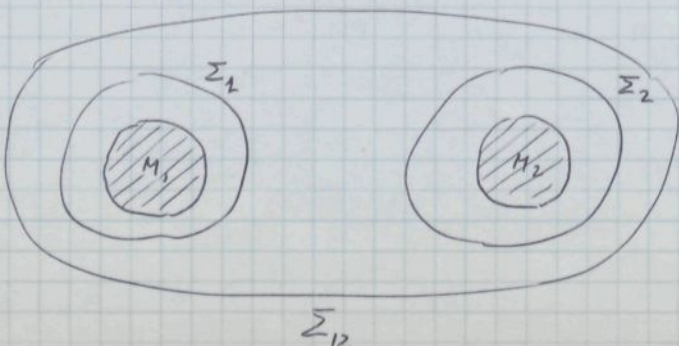
$$\vec{\varphi}' = \vec{\varphi} + \delta \vec{\varphi} \Rightarrow \vec{\varphi} \cdot \delta \vec{\varphi} = 0 \quad (2)$$

Entonces

$$\begin{aligned} \delta [\vec{\varphi} \cdot (\partial^j \vec{\varphi} \times \partial^k \vec{\varphi})] &= \delta \vec{\varphi} \cdot (\partial^j \vec{\varphi} \times \partial^k \vec{\varphi}) + \vec{\varphi} \cdot (\partial^j \delta \vec{\varphi} \times \partial^k \vec{\varphi}) + \vec{\varphi} \cdot (\partial^j \vec{\varphi} \times \partial^k \delta \vec{\varphi}) \\ &= 3 \delta \vec{\varphi} \cdot (\partial^j \vec{\varphi} \times \partial^k \vec{\varphi}) + \partial^j [\vec{\varphi} \cdot (\delta \vec{\varphi} \times \partial^k \vec{\varphi})] - \partial^k [\vec{\varphi} \cdot (\delta \vec{\varphi} \times \partial^j \vec{\varphi})] \end{aligned}$$

La integral de los dos últimos términos de esta expresión se anula por el teorema de Stokes. Además como $\partial^j \vec{\varphi}$ es perpendicular a $\vec{\varphi}$, $\partial^j \vec{\varphi} \times \partial^k \vec{\varphi}$ es paralelo a $\vec{\varphi}$ y por tanto el término restante se anula en (2) y por tanto una pequeña variación de $\vec{\varphi}$ sujeta a (2) no produce un cambio en Φ_{Σ} . Este es el resultado fundamental. Se extiende a cualquier cambio en $\vec{\varphi}$ que se origine a través de pequeñas deformaciones. Tal deformación se llama una homotopía.

Ejemplos de tales homotopías son i) desplazamiento en el tiempo de $\vec{\varphi}$; ii) cambios de $\vec{\varphi}$ bajo transformaciones de gauge continuas iii) El cambio inducido al girando $\vec{\varphi}$ continuamente dentro del vacío de Higgs. En consecuencia Φ_{Σ} es independiente del tiempo, invariante gauge, y no cambia bajo cualquier deformación continua de Σ conteniendo uno o más monopoles.



En particular de la figura anterior, donde M_1 y M_2 son las regiones ocupadas por monopoles y el resto es el vacío de Higgs, se deduce

$$\Phi_{\Sigma_{12}} = \Phi_{\Sigma_1} + \Phi_{\Sigma_2} \quad (1)$$

es decir Φ es un número cuántico aditivo. Para ver que está cuantificado escribamos

$$\Phi_{\Sigma} = + \frac{g_m N}{g} \quad (2)$$

de donde

$$N = \frac{1}{4\pi a^3} \int_{\Sigma} dS^i \frac{1}{2} \epsilon_{ijk} \vec{\varphi}(\vec{r}) \cdot [\partial^j \vec{\varphi}(\vec{r}) \times \partial^k \vec{\varphi}(\vec{r})] \quad (3)$$

Comprobemos ahora un vacío

$$\vec{\varphi}_N(\vec{r}) = a \{ \cos N\phi \sin \theta, \sin N\phi \sin \theta, \cos \theta \} \quad (4)$$

donde (r, θ, ϕ) son coordenadas esféricas. Notén que esto cubre M_0 . Necesariamente \vec{r} cubre S^2 una sola. Para estos razonamientos es fácil ver si Σ es una esfera de radio R

$$\begin{aligned} & \frac{1}{4\pi a^3} \int_{\Sigma} dS^i \frac{1}{2} \epsilon_{ijk} \vec{\varphi}_N(\vec{r}) [\partial^j \vec{\varphi}_N(\vec{r}) \times \partial^k \vec{\varphi}_N(\vec{r})] = \\ &= \frac{1}{4\pi a^3} \int d\Omega R^2 \vec{\varphi}_N(\vec{r}) \left[\frac{1}{R} \frac{\partial \vec{\varphi}_N(\vec{r})}{\partial \theta} \times \frac{1}{R \sin \theta} \frac{\partial \vec{\varphi}_N(\vec{r})}{\partial \phi} \right] = \frac{N}{4\pi} \int d\Omega = N \end{aligned}$$

Este resultado es totalmente general [J. ARAFUNE, P.G.O. FREUND y C.J. GOEBEL.

J. Math. Phys. 16, 533 (1925)]: La N dada en (3) es el número de veces que $\vec{\varphi}(\vec{r})$ cubre M_0 cuando \vec{r} cubre Σ . El número entero N es llamado en los matemáticos gracias a Brouwer o índice de Poincaré-Hopf de la correspondencia $\vec{\varphi}: \Sigma \rightarrow M_0$.

La representación $\vec{\varphi}: S^2 \rightarrow M_0$ puede ser dividida en clases de equivalencias bajo la homotropía; dos correspondencias están en la misma clase de homotropía si y solo si son homotópicos. Es un resultado general de la teoría de la homotropía que si M_0 es una esfera, S^2 , el entero N de (3) determina completamente la clase de homotropía. Por tanto la carga magnética Φ_{Σ} depende solo de la clase de homotropía de la correspondencia $\vec{\varphi}: S^2 \rightarrow M_0$.

Vemos pues que la carga magnética es topológicamente conservada y cuantizada en unidades de $4\pi/g$ por razones topológicas. Mas aún, como la carga menor de la teoría es $g_0 = \frac{1}{2} g_F$ obtenemos la relación de Dirac ($q_m = \Phi_{\Sigma}$)

$$\frac{q_m q_0}{4\pi \hbar} = -\frac{N}{2}$$

(1)

Se ve que las cargas de homotopía de los campos de Higgs están separadas por parámetros infinitos de potencial que impiden transiciones cuánticas entre ellas.

Los monopoles de Dirac y de 't Hooft-Polyakov difieren en su estructura interna. El monopolo de Dirac tiene una singularidad puntual para lo que la singularidad debe ser puesta a mano, mientras que el otro tiene una estructura interna que satisface las ecuaciones gauge de la teoría $SU(2)$ sin necesidad de fuentes externas. Fuera de la estructura hay un único grado libre de libertad, el campo electromagnético, que satisface las ecuaciones de Maxwell y da un flujo nulo en ambas caras. La única diferencia en esta zona exterior es técnica; el único campo electromagnético se expresa

$$F^{\mu\nu}(x) = \partial^\mu A^\nu(x) - \partial^\nu A^\mu(x) + (\text{termo extra}) \quad (2)$$

El término extra es singular y contiene la cuerda de Dirac en un círculo y es nula y contiene los campos de Higgs en el otro. Vamos a ver que el término de 't Hooft-Polyakov puede escribirse de la forma de Dirac mediante una transformación de gauge.

Teniendo en cuenta (14.4) y (20.1) se obtiene ($K=J=0$, $H=C_0$)

$$\psi(\vec{r}) = \frac{1}{2} \alpha \vec{r} \cdot \vec{\epsilon}, \quad A^\mu(\vec{r}) = -\frac{1}{2g} \vec{\epsilon} \cdot (\hat{r} \times \partial^\mu \hat{r}) \Rightarrow \begin{cases} A^0(\vec{r}) = 0 \\ A^i(\vec{r}) = +\frac{1}{2gr^2} \epsilon_{ijk} \vec{\epsilon}_a r^j \end{cases} \quad (3)$$

$$F^{ij}(\vec{r}) = -\frac{1}{2gr^2} (\vec{r} \cdot \vec{\epsilon}) \epsilon_{ijk} \vec{r}^k$$

donde hemos usado (20.3). Consideremos ahora una transformación de gauge

$$S = \cos \frac{\psi}{2} + i \sin \frac{\psi}{2} \vec{k} \cdot \vec{\epsilon}, \quad \vec{k}^2 = 1 \quad (4)$$

bajo la cual ((3.6) y (3.5))

$$\left. \begin{aligned} A^\mu &\longrightarrow S A^\mu S^{-1} - \frac{i}{g} (\partial^\mu S) S^{-1} \\ F^{\mu\nu} &\longrightarrow S F^{\mu\nu} S^{-1} \end{aligned} \right\} \quad (5)$$

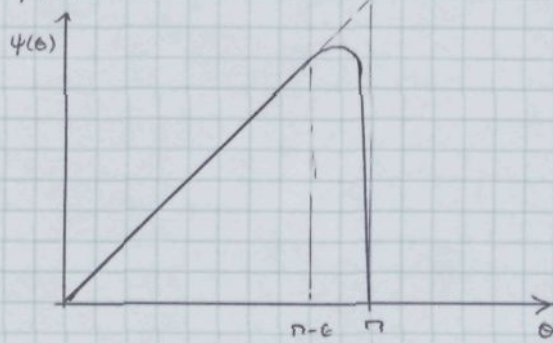
Ahora bien

$$S \vec{\epsilon} S^{-1} = \vec{\epsilon} \cos \psi + \vec{k} \times \vec{\epsilon} \sin \psi + (1 - \cos \psi) \vec{k} (\vec{k} \cdot \vec{\epsilon}) \quad (6)$$

Elegiremos

$$\vec{k} = \hat{\phi} = \frac{\hat{z} \times \hat{r}}{\sin \theta}$$
(1)

y $\psi(\theta)$ sera una función diferenciable tal que $\psi(\pi) = 0$ y $\psi(0) = \theta$ para $0 \leq \theta \leq \pi - \epsilon$, y consideraremos una extensión a funciones tales que $\epsilon < 0$ de forma que $\psi(\theta) \nearrow \theta$



Antes de la transformación

$$A^r = 0, \quad A^\theta = +\frac{1}{2gr} (\vec{e} \cdot \hat{\phi}) \quad , \quad A^\phi = -\frac{1}{2gr} (\vec{e} \cdot \hat{\theta}) \quad (2)$$

y las cantidades transformadas son

$$A^r \longrightarrow 0$$

$$A^\theta \longrightarrow +\frac{1}{2gr} (1 - \psi') \hat{\phi} \cdot \vec{e} \quad (3)$$

$$A^\phi \longrightarrow -\frac{1}{2gr} \frac{\sin(\theta - \psi)}{\sin \theta} \hat{\theta} \cdot \vec{e} + \frac{1}{2gr} \frac{(1 - \cos \psi)}{\sin \theta} \hat{z} \cdot \vec{e}$$

donde hemos usado

$$\hat{r} = (\sin \theta \cos \phi, \sin \theta \sin \phi, \cos \theta), \quad \hat{\theta} = (\cos \theta \cos \phi, \sin \theta \cos \phi, -\sin \theta) \quad (4)$$

$$\hat{z} = (-\sin \phi, \cos \phi, 0)$$

Introduzcamos ahora

$$A^\mu = \frac{2}{a} \text{Tr} (\psi \cdot A^\mu) \quad (5)$$

que es el único que queda en el vector de Higgs. Para calcular este resultado

$$\psi \longrightarrow \frac{a}{2} \frac{\sin(\theta - \psi)}{\sin \theta} \hat{r} \cdot \vec{e} + \frac{a}{2} \frac{\sin \psi}{\sin \theta} \hat{z} \cdot \vec{e}$$

y se obtiene inmediatamente que

$$\vec{A} = + \frac{1}{gr \sin^2 \theta} \left\{ \sin(\theta - \psi) (1 - \cos \psi) \cos \theta + \sin \psi \sin(\theta - \psi) \sin \theta + \sin \psi (1 - \cos \psi) \right\} \hat{\phi}$$

y en el límite $\psi \neq \theta$ se convierte en

$$\vec{A} = + \frac{1}{gr} \frac{1 - \cos \theta}{\sin \theta} \hat{\phi} \quad (1)$$

que coincide con (5.2) (teniendo en cuenta (22.4)) y que es precisamente el potencial de un monopolo de Dirac. Consideraremos el campo electromagnético

$$F^{\mu\nu} = \frac{2}{a} \text{Tr} \{ \varphi F^{\mu\nu} \} = \partial^\mu A^\nu - \partial^\nu A^\mu + \frac{2ig}{a} \text{Tr} \{ \varphi [A^\mu, A^\nu] \} \quad (2)$$

Para calcular el último término tengamos en cuenta que

$$[A^c, A^j] = [A^e, A^g] \epsilon_{ijk} \hat{r}^k \quad (3)$$

$$[A^e, A^g] = \frac{i}{2g^2 r^2} (1 - \psi) \left\{ \frac{\sin(\theta - \psi)}{\sin \theta} \hat{z} \cdot \hat{r} + \frac{1 - \cos \psi}{\sin \theta} (\hat{\phi} \times \hat{z}) \cdot \hat{z} \right\}$$

de donde

$$\frac{2ig}{a} \text{Tr} \{ \varphi [A^c, A^j] \} = - \frac{1 - \psi'}{2g^2 r^2 \sin^2 \theta} \epsilon_{ijk} \hat{r}^k \text{Tr} \left\{ [\sin(\theta - \psi) \hat{r} \cdot \hat{z} + \sin \psi \hat{z} \cdot \hat{r}] \right\}.$$

$$[\sin(\theta - \psi) \hat{z} \cdot \hat{r} + (1 - \cos \psi) (\hat{\phi} \times \hat{z}) \cdot \hat{z}] =$$

$$= - \frac{1}{g^2 r^2 \sin^2 \theta} (1 - \psi') \epsilon_{ijk} \hat{r}^k \left\{ \sin^2(\theta - \psi) + (1 - \cos \psi) \sin(\theta - \psi) \hat{r} \cdot (\hat{\phi} \times \hat{z}) + \sin \psi \sin(\theta - \psi) (\hat{r} \cdot \hat{z}) \right\}$$

$$= - \frac{1}{g^2 r^2 \sin^2 \theta} (1 - \psi') \epsilon_{ijk} \hat{r}^k \sin(\theta - \psi) \left\{ \sin(\theta - \psi) + (1 - \cos \psi) \sin \theta + \sin \psi \cos \theta \right\}$$

y para finalmente

$$\frac{2ig}{a} \text{Tr} \{ \varphi [A^c, A^j] \} = - \frac{1}{g^2 r^2} (1 - \psi') \frac{\sin(\theta - \psi)}{\sin \theta} \epsilon_{ijk} \hat{r}^k \quad (4)$$

Este presenta en el límite $\psi(\theta) \neq \theta$ una singularidad en el eje zeta negativo y se puede ver que en el sentido de distribuciones

$$\frac{2ig}{a} \text{Tr} \{ \varphi [A^c, A^j] \} \rightarrow \frac{4\pi}{g^2 r^2} \epsilon_{ijk} \delta(x) \delta(y) \delta(-z) \quad (5)$$

que, teniendo en cuenta (22.5), veremos que coincide con el resultado de Dirac.

Una característica importante del monopolo de 't-Hooft-Polyakov es que se puede, en principio, calcular su masa. En el vector del vacío de Higgs y para cualquier tensor electromagnético la carga magnética es

$$q_m = \int d\vec{S} \cdot \vec{B} = \frac{1}{a} \int dS^k B_a^k \varphi_a = \frac{1}{a} \int d^3r B_a^k (D^k \varphi_a) \quad (1)$$

dónde la integral debe tomarse en el sentido limitado de la esfera del infinito. Se hace teniendo en cuenta que las igualdades de Bianchi dan $D^k B_a^k = 0$. Similarmente para la carga eléctrica

$$q_e = \int d\vec{S} \cdot \vec{E} = \frac{1}{a} \int d^3r E_a^k (D^k \varphi_a) \quad (2)$$

De acuerdo con (15.2) la masa (considerando el centro de masas del monopolo)

$$\begin{aligned} M_m &= \int d^3r \left\{ \frac{1}{2} \left[(E_a^k)^2 + (B_a^k)^2 + ((D^\theta \varphi)_a)^2 + ((D^k \varphi)_a)^2 \right] + V[\varphi] \right\} \geq \\ &\geq \int d^3r \frac{1}{2} \left\{ (E_a^k)^2 + (B_a^k)^2 + ((D^k \varphi)_a)^2 \right\} = \\ &= \frac{1}{2} \int d^3r [E_a^k - (D^k \varphi)_a \sin \theta]^2 + \frac{1}{2} \int d^3r [B_a^k - (D^k \varphi)_a \cos \theta]^2 \\ &+ a (q_e \sin \theta + q_m \cos \theta) \geq a (q_e \sin \theta + q_m \cos \theta) \end{aligned} \quad (3)$$

Para cualquier θ real. Eligiendo θ para obtener la mejor desigualdad

$$M_m \geq a (q_e^2 + q_m^2)^{1/2} \quad (4)$$

y en el caso del monopolo

$$M_m \geq a |q_m| \quad (5)$$

Esta cota es debida a E.B. BOGOMOLNY Sov. J. Nucl. Phys. 24, 861 (1976) y L.D. FADDEEV Lett. Math. Phys. 1, 289 (1976) y el método usado en su demostración es debido a S. COLEMAN, S. PARICE, A. NEVEU y C.N. SOHMERFIELD Phys. Rev. D15, 553 (1972). Recordemos que otra fuente que $|q_m| = 4\pi/g$ y que la masa del bosón intermedio de la teoría es $M = a g \hbar = a q_e l$

$$M_m \geq \frac{4\pi \hbar}{|q_e|^2} M = \frac{v}{\alpha} M \quad (6)$$

dónde α es la constante de estructura fina y $v = 1$ o $1/2$ dependiendo si la carga del electron es q_e o $q_e/2$. Notemos $M_m \gtrsim 10^4$ GeV, si suponemos $M \simeq 10^2$ GeV.

Veamos si es posible saturar la ecua (20.5). Esto evidentemente exige que

$$(D^c \varphi)_a = 0 \quad E_a^c = 0$$

$$B_a^c = \pm (D^c \varphi)_a \quad g \geq 0 \quad (1)$$

$$V[\varphi] = 0$$

donde la última condición debe entenderse en el sentido $\lambda \neq 0$ para que quede como restigo $| \vec{\varphi} | \underset{r \rightarrow \infty}{\sim} a$. De estas ecuaciones y de la identidad de Bianchi

$(D^c B^c)_a = 0$ se deducen inmediatamente las ecuaciones (13.6) para $\lambda = 0$. Las ecuaciones (1) son de primer orden y se resuelven sustituyendo en ellas el ansatz (20.1). Usando (20.3) se obtiene inmediatamente

$$\bar{s} \frac{dK(\bar{s})}{ds} = -H(\bar{s})K(\bar{s}) \quad , \quad J(\bar{s}) = 0 \quad (2)$$

$$\bar{s} \frac{dH(\bar{s})}{ds} = H(\bar{s}) = [K^2(\bar{s}) - 1]$$

que evidentemente implican (21.2). Para resolver estas ecuaciones hagamos el cambio

$$H(\bar{s}) = -1 - \bar{s}h(\bar{s})$$

(3)

$$K(\bar{s}) = \bar{s}k(\bar{s})$$

y las ecuaciones (2) se convierten en

$$\frac{dk(\bar{s})}{d\bar{s}} = h(\bar{s})k(\bar{s}) \quad \frac{dh(\bar{s})}{d\bar{s}} = k^2(\bar{s}) \quad (4)$$

Es fácil comprobar que $k^2(\bar{s}) - k^2(s)$ es constante y de las condiciones auxiliares (21.6) se obtiene

$$h^2(\bar{s}) - h^2(s) = 1 \quad (5)$$

Entonces

$$H = H_0(\bar{s}) = \bar{s} \coth \bar{s} - 1 \quad , \quad K = K_0(\bar{s}) = \frac{\bar{s}}{\sinh \bar{s}} \quad (6)$$

solución obtenida por M.K. PRASAD y C.H. SOMMERFIELD Phys. Rev. Lett. 35, 760 (1975)

Notemos que para este monopolo la densidad de masa es simplemente

$$((D^c \varphi)_a)^2 = [D^c \varphi_a + g e_{abc} A^c_b \varphi_c] [D^c \varphi]_a =$$

$$= (D^c \varphi_a) [D^c \varphi]_a + g e_{abc} A^c_b \varphi_c [D^c \varphi]_a =$$

$$= \partial^c [\varphi_a (D^c \varphi)_a] - \varphi_a \partial^c (D^c \varphi)_a + g \epsilon_{abc} A^c_b \varphi_c [D^c \varphi)_a$$

$$= \partial^c [\varphi_a (D^c \varphi)_a] - \varphi_a \{ \partial^c (D^c \varphi)_a + g \epsilon_{abc} A^c_b (D^c \varphi)_c \} =$$

$$= \partial^c [\varphi_a (D^c \varphi)_a] - \varphi_a (D^c (D^c \varphi))_a = \partial^c [\varphi_a (D^c \varphi)_a]$$

$$= \partial^c [\varphi_a \partial^c \varphi_a] = \frac{1}{2} \partial^c \partial^c (\varphi_a \varphi_a) = \frac{1}{2} \Delta \vec{\varphi}^2 = \frac{1}{2g^2} \Delta \left(\frac{H^2}{r^2} \right)$$

$$= \frac{1}{2g^2 r} \frac{d^2}{dr^2} \left(\frac{H^2}{r^2} \right)$$

y para tanto como $H(\xi) \sim \frac{1}{6} \xi^2$, la densidad de masa en el origen es finita y no momento integrable.

Volvemos al caso general dado por las ecuaciones (21.1). Las condiciones de contorno son ahora

$$K(\xi) - 1 \leq O(\xi), \quad H(\xi) \leq O(\xi), \quad J(\xi) \leq O(\xi), \quad \xi \rightarrow 0 \quad (2)$$

$$K(\xi) \sim 0, \quad H(\xi) \sim \xi, \quad J(\xi) \leq O(\xi) \quad \xi \rightarrow \infty$$

Empecemos considerando el caso en que la ecuación (30.3) es satisfecha tomando $\alpha = 0$, entonces

$$(D^k \varphi)_a = 0, \quad E_a^k = (D^k \varphi)_a \sin \theta, \quad B_a^k = (D^k \varphi)_a \cos \theta \quad (3)$$

Entonces usando el análogo (20.1) obtenemos

$$J(\xi) = H(\xi) \sin \theta \quad \xi \frac{dK(\xi)}{d\xi} = - H(\xi) K(\xi) \cos \theta \quad (4)$$

$$\xi \frac{dH(\xi)}{d\xi} \cos \theta = H(\xi) \cos \theta - [K^2(\xi) - 1]$$

que admite la solución exacta

$$H(\xi) = \xi \operatorname{ctgh} (\xi \cos \theta) - \frac{1}{\cos \theta}$$

$$K(\xi) = \xi \cos \theta \frac{1}{\operatorname{sinh} (\xi \cos \theta)} \quad (5)$$

$$J(\xi) = H(\xi) \sin \theta$$

donde θ es una constante de integración arbitraria. Entendemos para $\theta = 0$ recuperamos el resultado anterior [M.K. PRASAD, C.H. SOMMERFIELD Phys. Rev. Lett. 35, 760 (1975)]

De las ecuaciones (30.1) y (30.2) se obtiene

$$q_e = q_m \tan \theta = - \frac{4\pi}{g} \tan \theta$$

que nos da la relación entre la carga eléctrica y magnética del dyon. La masa del dyon es entonces

$$M_d = a \sqrt{q_e^2 + q_m^2} \quad (2)$$

Argumentos similares han sido usados para probar que en un sistema monótono wantedo q_e debe ser su antípodo [E. TOMBOLIS y G. WOO Nucl. Phys. B107, 221 (1976) y J. L. GERVAIS, B. SAKITA y S. WADIA Phys. lett. 63B, 55 (1976)]

$$q_e = m \hbar g \quad m = 0, \pm 1, \pm 2, \dots \quad (3)$$

Es interesante que $m = 1/2$ quede excluido a pesar de estar permitido por la condición de Dirac.

Para $\lambda \neq 0$ no se conocen soluciones explícitas si bien se pone que existen soluciones calculables numéricamente y que dependen de un parámetro arbitrario relacionado con la carga eléctrica.

III. Soluciones estásicas en espacios de dimensión D

Comenzaremos una teoría de campos escalares y campos gauge en D dimensiones espaciales. En situación estásica el Hamiltoniano es

$$H = \int d^D x \mathcal{H}(x)$$

$$\mathcal{H}(x) = H_A(x) + H_\varphi(x) + V(\varphi)$$

(1)

$$H_A(x) = \frac{1}{4} F_{\alpha i j} F_{\alpha}^{i j}(x) \quad (\alpha = 1, 2, \dots, m)$$

$$H_\varphi(x) = \frac{1}{2} (\vec{\nabla} \varphi(x))_a (\vec{\nabla} \varphi(x))_a, \quad V(\varphi) \geq 0$$

donde hemos supuesto que trabajamos en el gauge $A_a^0(x) = 0$. La última condición es puramente restrictiva.

Introduciremos las siguientes transformaciones de escala (transformaciones de Derrick)

$$\varphi_a(x) \longrightarrow \varphi_a(\lambda x) \quad A_a^\mu(x) \longrightarrow \lambda A_a^\mu(\lambda x)$$

(2)

y designemos por

$$\Sigma_i = \int d^D x X_i(x)$$

(3)

entonces

$$H \longrightarrow H_\lambda = \lambda^{4-D} H_A + \lambda^{2-D} H_\varphi + \lambda^{-D} V_\varphi$$

(4)

La condición de estabilidad para soluciones bajo variaciones arbitrarias de los campos se reduce a que a

$$\left. \frac{d H_\lambda}{d \lambda} \right|_{\lambda=1} = (4-D) H_A + (2-D) H_\varphi - D V_\varphi = 0$$

(5)

Veamos ahora las distintas situaciones posibles

(i) con campo escalares únicamente y $V_\varphi \geq 0$ se tienen soluciones solo para $D=1$

(con $H_A = H_\varphi$). Estas son las llamadas kinks y solitones

(ii) con campo gauge únicamente solo puede haber soluciones para $D=4$. Son los instantáneos

(iii) cuando hay ambos tipos de campo pueden haber soluciones para $D=2$ y $D=3$.

Para $D=3$ son los monopoles que descienden y para $D=2$ se llaman rotas

(iv) Para $D \geq 5$ no hay soluciones a menos que se elimine la condición de positividad de V

De las ecuaciones (30.1) y (30.2) se obtiene

$$q_e = q_m \tan \theta = - \frac{4\pi}{g} \tan \theta$$

que nos da la relación entre la carga eléctrica y magnética del dyon. La masa del dyon es entonces

$$M_d = a \sqrt{q_e^2 + q_m^2} \quad (2)$$

Argumentos similares han sido usados para probar que en un sistema macroscópico cuántico q_e debe estar cuantificado [E. TOMBOLIS y G. WOO Nuc. Phys. B102, 221 (1976) y J. L. GERVAIS, B. SAKITA y S. WADIA Phys. lett. 63B, 55 (1976)]

$$q_e = m \hbar g \quad m = 0, \pm 1, \pm 2, \dots \quad (3)$$

Es interesante que $m = 1/2$ quede excluido a favor de estar permitido por la condición de Dirac.

Para $\lambda \neq 0$ no se conocen soluciones explícitas si bien se pone que existen soluciones calculables numéricamente y que dependen de un parámetro arbitrario relacionado con la carga eléctrica.

III. Soluciones estáticas en espacios de dimensión D

Consideraremos una teoría de campos escalares y campos gauge en D dimensiones espaciales. En situación estática el Hamiltoniano es

$$H = \int d^D x \mathcal{H}(x)$$

$$\mathcal{H}(x) = H_A(x) + H_\varphi(x) + V(\varphi)$$

(1)

$$H_A(x) = \frac{1}{4} F_{\alpha i j}(x) F_a^{i j}(x) \quad (\alpha = 1, 2, \dots, n)$$

$$H_\varphi(x) = \frac{1}{2} (\vec{\nabla} \varphi(x))_a (\vec{\nabla} \varphi(x))_a, \quad V(\varphi) \geq 0$$

donde hemos supuesto que trabajamos en el gauge $A_a^0(x) = 0$. La última condición es puramente restrictiva.

Introduciremos las siguientes transformaciones de escala (transformaciones de Derrick)

$$\varphi_a(x) \longrightarrow \varphi_a(\lambda x) \quad A_a^\mu(x) \longrightarrow \lambda A_a^\mu(\lambda x)$$

y designaremos por

$$\Sigma_i = \int d^D x \mathcal{X}_i(x)$$

(2)

entonces

$$H \longrightarrow H_\lambda = \lambda^{4-D} H_A + \lambda^{2-D} H_\varphi + \lambda^{-D} V_\varphi$$

La condición de estabilidad para soluciones bajo variaciones arbitrarias de los campos se reduce a la de

$$\left. \frac{d H_\lambda}{d \lambda} \right|_{\lambda=1} = (4-D) H_A + (2-D) H_\varphi - D V_\varphi = 0 \quad (3)$$

Veamos ahora las distintas situaciones posibles

i) con campos escalares únicamente y $V_\varphi \geq 0$ se tienen soluciones solo para $D=1$ (con $H_\varphi = V_\varphi$). Están son los llamados kinks o solitones

ii) con campo gauge únicamente solo puede haber soluciones para $D=4$. Son los instantáneos

iii) cuando hay ambos tipos de campos pueden haber soluciones para $D=2$ y $D=3$.

Para $D=3$ son los monopoles que de unidos y para $D=2$ se llaman rotas

iv) Para $D \geq 5$ no hay soluciones a menos que se elimine la condición de positividad de V

Notar que la inclusión de campos ferromagnéticos puede también cambiar la retroacción.

IV. Vortices ($D=2$)

a) foro Abelian

formularemos la densidad Lagrangiana

$$\mathcal{L}(x) = -\frac{1}{4} F_{\mu\nu}(x) F^{\mu\nu}(x) + \frac{1}{2} (D_\mu \varphi(x))^+ (D^\mu \varphi(x)) - \frac{\lambda}{4} [\varphi^+(x) \varphi(x) - a^2]^2 \quad (1)$$

$$F_{\mu\nu}(x) = \partial_\mu A_\nu(x) - \partial_\nu A_\mu(x)$$

$$D_\mu \varphi(x) = \partial_\mu \varphi(x) - i g A_\mu(x) \varphi(x)$$

o equivalentemente

$$\begin{aligned} \mathcal{L}(x) = & -\frac{1}{2} \partial_\mu A_\nu(x) \partial^\mu A^\nu(x) + \frac{1}{2} \partial_\mu A_\nu(x) \partial^\nu A^\mu(x) + \frac{1}{2} \partial_\mu \varphi^+(x) \partial^\mu \varphi(x) + \\ & + \frac{e}{2} g A_\mu(x) \varphi^+(x) \partial^\mu \varphi(x) - \frac{e}{2} e g A_\mu(x) \partial^\mu \varphi^+(x) \varphi(x) + \frac{1}{2} g^2 A_\mu(x) A^\mu(x) \varphi^+(x) \varphi(x) \\ & - \frac{\lambda}{4} [\varphi^+(x) \varphi(x) - a^2]^2 \end{aligned} \quad (2)$$

y por tanto las ecuaciones del movimiento son

$$\partial_\nu F^{\nu\mu}(x) = j^\mu(x)$$

$$j^\mu(x) \equiv -\frac{e}{2} g [\varphi^+(x) \partial^\mu \varphi(x) - \varphi(x) \partial^\mu \varphi^+(x)] - g^2 A^\mu(x) \varphi^+(x) \varphi(x) \quad (3)$$

$$\begin{aligned} \partial_\mu \partial^\mu \varphi(x) - e g \partial_\mu A^\mu(x) \varphi(x) - e g A^\mu(x) \partial_\mu \varphi(x) - e g A_\mu(x) \partial^\mu \varphi(x) - g^2 A_\mu(x) A^\mu(x) \varphi(x) = \\ = -\lambda [\varphi^+(x) \varphi(x) - a^2] \varphi(x) \end{aligned}$$

judiciando escribir esta última ecuación como

$$D^\mu D_\mu \varphi(x) = -\lambda [\varphi^+(x) \varphi(x) - a^2] \varphi(x) \quad (4)$$

Si introducimos

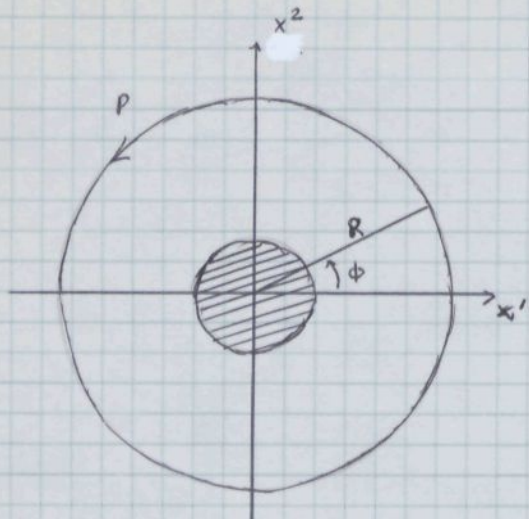
$$\varphi(x) = \varphi_1(x) + e \varphi_2(x) = |\varphi(x)| e^{-i \chi(x)} \quad (5)$$

entonces en las regiones en que $j^\mu(x) = 0$ vemos que

$$A^\mu(x) = -\frac{1}{g} \partial^\mu \chi(x) \quad (6)$$

Supongamos que tenemos una solución en la que el vórtice está concentrado alrededor del origen y que medimos el flujo magnético a través de un anel

centrado en el origen y de radio suficientemente grande para que se pueda suponer que $j_\mu(x)$ es nula sobre él.



$$\begin{aligned}
 \Phi_p &= \oint_p dx^i A_i(x) = \\
 &= -\frac{1}{g} \oint_p dx^i \partial_i \chi(x) \\
 &= -\frac{1}{g} [x(2\pi) - x(0)] \\
 &= +\frac{i}{g} 2\pi m \quad m = 0, \pm 1, \pm 2, \dots \quad (1)
 \end{aligned}$$

si la función φ es univaluada. Hemos llegado por tanto a una cuantificación topológica del flujo. Aquí el cuadro topológico puede formularse como una correspondencia

$$S_R^1 \longrightarrow U(1) \quad (2)$$

donde S_R^1 es un anillo (o su deformación continua) en el plano (x_1', x_2') (la curva cerrada P de la figura) y $U(1)$ es el grupo (parametrizado en la fase χ) de la degeneración del nudo dada por

$$|\varphi| = a \quad (3)$$

Las clases de homotopía son aquí fácilmente visualizables como "winding numbers", es decir el número de veces que uno recorre el círculo S_φ^1 (3) cuando se hace una sola vez en S_R^1 .

Consideremos $\chi \equiv -N\phi$ (es decir $\varphi_1 = a \cos N\phi$, $\varphi_2 = a \sin N\phi$) entonces

$$dx^i \partial_i \chi(\phi) = -R \sin \phi d\phi (-N) \left(-\frac{1}{R} \sin \phi\right) + R \cos \phi d\phi (-N) \frac{1}{R} \cos \phi = -N d\phi$$

y vemos por tanto

$$\Phi_p = \frac{N}{g} \int_0^{2\pi} d\phi = \frac{2\pi}{g} N \quad (3)$$

es decir que $\chi = -N\phi$ es un representante de la clase de homotopía N . Hemos así obtenido una "cuantificación" a nivel clásico. Pero la carga eléctrica es $q_e = g\hbar$ y por tanto la constante de Planck aparece usando la cuantificación del flujo se expresa en términos de la carga.

Veamos ahora como resolver las ecuaciones del movimiento. Partiremos del ansatz

$$A^0 = 0 \quad , \quad \vec{A} = \frac{1}{r} A(r) \hat{\phi} \quad , \quad \varphi = f(r) e^{-im\phi} \quad (1)$$

Se tiene

$$\hat{\phi} \equiv (-\sin\phi, \cos\phi)$$

$$\partial_1 \phi = \cos\phi \frac{\partial}{\partial r} - \sin\phi \frac{1}{r} \frac{\partial}{\partial \phi} \quad , \quad \partial_2 \phi = \sin\phi \frac{\partial}{\partial r} + \cos\phi \frac{1}{r} \frac{\partial}{\partial \phi}$$

$$\partial_1 \varphi = [\cos\phi f' + im \sin\phi \frac{1}{r} f] e^{-im\phi} \quad , \quad \partial_2 \varphi = [\sin\phi f' - im \cos\phi \frac{1}{r} f] e^{-im\phi}$$

$$j^1 = g(gf-m) \sin\phi \frac{1}{r} f^2 \quad , \quad j^2 = -g(gf-m) \cos\phi \frac{1}{r} f^2$$

$$F^{12} = -\frac{1}{r} A'$$

$$\partial^r \partial_\mu \varphi = -e^{-im\phi} \left[f'' - \frac{m^2}{r^2} f + \frac{1}{r} f' \right]$$

$$\partial_\mu A^r = 0 \quad , \quad A^r \partial_\mu \varphi = -\frac{im}{r^2} A f e^{-im\phi}$$

de donde

$$\frac{d^2 f(r)}{dr^2} + \frac{1}{r} \frac{df(r)}{dr} - \frac{[n+gA(r)]^2}{r^2} f(r) + a^2 \lambda f(r) - \lambda f^3(r) = 0 \quad (2)$$

$$\frac{d^2 A(r)}{dr^2} - \frac{1}{r} \frac{dA(r)}{dr} - g(gA-m) f^2(r) = 0$$

que son las ecuaciones deseadas. Para

i) $g^2 > 2\lambda$: no hay solución

ii) $g^2 < 2\lambda$: se ha probado la existencia de soluciones, pero no se ha hallado ninguna solución exacta

iii) $g^2 = 2\lambda$: se ha encontrado una solución de amplitud finita.

Ver referencias W. MARCIANO y H. PAGELS Phys. Rep. C 36, 137 (1978)

b) Caso no Abelianos

No se conocen soluciones explícitas de energía finita para el análisis topológico sobre diferencias del caso Abelianos. En el caso anterior, la cuantificación del flujo

(37.1) tiene un espectro discreto infinito, es decir el conjunto \mathbb{Z} de todos los enteros.

Esto implica como una consecuencia a las correspondientes (37.2) $S_R^2 \rightarrow U(L)$. En el lenguaje de los grupos de homotopía, las posibles cuantificaciones del flujo vienen

dadas por

$$\pi_1(U(1)) = \mathbb{Z} \quad (1)$$

donde $U(1)$ es el grupo gauge Abeliano

para $SU(N)$ se sabe que

$$\pi_1(SU(N)) = 0 \quad (2)$$

y que

$$\pi_1(SU(N)/\mathbb{Z}_N) = \mathbb{Z}_N \quad (3)$$

donde \mathbb{Z}_N es el cono de enteros módulo N . Entonces para un triplete escalar isodoble (o representaciones irreducibles de $SU(2)$) tenemos que $\pi_1(SU(2)) = 0$ que demuestra la ausencia de soluciones reales. Por otro lado para un triplete escalar (o representaciones enteras) se debe considerar $\pi_1(SO(3)) = \pi_1(SU(2)/\mathbb{Z}_2) = \mathbb{Z}_2$. Por tanto pueden existir rotaciones con $0, \pm 1$ unidades de flujo. De forma análoga uno

$$\pi_1(SU(3)) = 0, \quad \pi_1(SU(3)/\mathbb{Z}_3) = \mathbb{Z}_2$$

encontramos que rotaciones pueden existir solo para representaciones de cero multiplicidad.

II) Instantones [A.A.BELAVIN, A.H.POLYAKOV, A.S.SCHNARTZ y YU.S.TYUPKIN Phys. Lett. B59, 85 (1975)]

Hemos indicado antes que para $D=4$ existen, en principio, soluciones estáticas de energía finita para campos gauge solos. Vamos a estudiar estas soluciones poniendo interpretándolas como soluciones en un espacio-tiempo de Minkowski continuado a una métrica Euclídea. La condición de energía finita para soluciones puramente estáticas aparece ahora como soluciones de acción finita para un tiempo imaginario y en una dimensión menor espacial.

La acción Euclídea es para un campo gauge $SU(2)$

$$S_E = \frac{1}{2} \int d^4x \text{Tr} [F_{\mu\nu} F^{\mu\nu}] \quad (1)$$

$$A_\mu(x) = \frac{1}{2} \vec{E} \cdot \vec{A}_\mu(x), \quad F_{\mu\nu}(x) = \partial_\mu A_\nu(x) - \partial_\nu A_\mu(x) = i g [A_\mu(x), A_\nu(x)]$$

Las ecuaciones del movimiento son ahora

$$D_\nu F^{\nu\mu}(x) = 0 \quad (2)$$

Encontrar que las identidades de Bianchi son

$$D_\nu {}^* F^{\nu\mu}(x) = 0 \quad {}^* F^{\nu\mu}(x) = \frac{1}{2} \epsilon^{\nu\mu\alpha\beta} F_{\alpha\beta}(x) \quad (3)$$

De aquí se deduce que para todos los

$$F_{\mu\nu}(x) = \pm {}^* F_{\mu\nu}(x) \quad (4)$$

las ecuaciones del movimiento se satisfacen idénticamente (Notar que esto equivale a $\vec{E} = \pm \vec{B}$). Lo importante es que en una métrica euclídea es posible satisfacer (4) un campo real $A_\mu^\mu(x)$. Para la métrica de Minkowski esto no es posible pues la relación equivalente a (4) es $F_{\mu\nu} = \pm i {}^* F_{\mu\nu}$, pues en la métrica de Minkowski ${}^{**} F_{\mu\nu} = - F_{\mu\nu}$ mientras que en la euclídea ${}^{**} F_{\mu\nu} = + F_{\mu\nu}$. La continuación de una métrica a la otra implica

$$x^0 \rightarrow i x^0, \quad A^0 \rightarrow -i A^0 \quad (5)$$

Esto conduce a una métrica $g_{\mu\nu} = -\delta_{\mu\nu}$ pero el signo global negativo puede ser reabsorbido.

La ecuación (4) reduce el problema a resolver ecuaciones de primer orden. Además

$$\begin{aligned} 2 \text{Tr} (F_{\mu\nu} F^{\mu\nu}) &= \text{Tr} \{ F_{\mu\nu} F^{\mu\nu} + {}^* F_{\mu\nu} {}^* F^{\mu\nu} \} = \\ &= \text{Tr} \{ (F_{\mu\nu} \mp {}^* F_{\mu\nu}) (F^{\mu\nu} \mp {}^* F^{\mu\nu}) \pm 2 F_{\mu\nu} {}^* F^{\mu\nu} \} \end{aligned} \quad (6)$$

Entonces si se puede asociar la integral de $\text{Tr}(*F_{\mu\nu} F^{\mu\nu})$ a un invariante topológico (digamos q_p) entonces para un dado q_p la acción es mínima para $F_{\mu\nu}$ satisfaciendo $(40, \eta)$. Vemos que tal interpretación topológica existe.

Notemos

$$\begin{aligned} \frac{1}{2} \text{Tr}(*F_{\mu\nu} F^{\mu\nu}) &= \frac{1}{4} \epsilon_{\mu\nu\alpha\beta} \text{Tr}(F^{\alpha\beta} F^{\mu\nu}) = \\ &= \frac{1}{4} \epsilon_{\mu\nu\alpha\beta} \text{Tr} \left\{ [D^\alpha A^\beta - D^\beta A^\alpha + ig [A^\alpha, A^\beta]] [D^\mu A^\nu - D^\nu A^\mu + ig [A^\mu, A^\nu]] \right\} \\ &= \frac{1}{4} \epsilon_{\mu\nu\alpha\beta} \text{Tr} \left\{ D^\alpha A^\beta D^\mu A^\nu - D^\alpha A^\beta D^\nu A^\mu + ig D^\alpha A^\beta A^\mu A^\nu + ig D^\alpha A^\beta A^\nu A^\mu \right. \\ &\quad - D^\beta A^\alpha D^\mu A^\nu + D^\beta A^\alpha D^\nu A^\mu + ig D^\beta A^\alpha A^\mu A^\nu - ig D^\beta A^\alpha A^\nu A^\mu + \\ &\quad \left. + ig A^\alpha A^\beta D^\mu A^\nu + ig A^\alpha A^\beta D^\nu A^\mu - g^2 A^\alpha A^\beta A^\mu A^\nu + g^2 A^\alpha A^\beta A^\nu A^\mu \right. \\ &\quad \left. + ig A^\beta A^\alpha D^\mu A^\nu + ig A^\beta A^\alpha D^\nu A^\mu + g^2 A^\beta A^\alpha A^\mu A^\nu - g^2 A^\beta A^\alpha A^\nu A^\mu \right\} = \\ &= \frac{1}{4} \epsilon_{\mu\nu\alpha\beta} \text{Tr} \left\{ 4 D^\alpha A^\beta D^\mu A^\nu + 8ig A^\mu A^\nu D^\alpha A^\beta - 4g^2 A^\alpha A^\beta A^\mu A^\nu \right\} \\ &= \epsilon_{\mu\nu\alpha\beta} \text{Tr} \left\{ D^\alpha A^\beta D^\mu A^\nu + 2ig A^\mu A^\nu D^\alpha A^\beta \right\} \\ &= \epsilon_{\mu\nu\alpha\beta} D^\kappa \text{Tr} [A^\beta D^\mu A^\nu + \frac{2}{3} ig A^\mu A^\nu A^\beta] \end{aligned}$$

Obtenemos pues

$$\frac{1}{2} \text{Tr}(*F_{\mu\nu} F^{\mu\nu}) = D_\mu \bar{\xi}^\mu \quad (1)$$

$$\bar{\xi}^\mu \equiv 2 \epsilon^{\mu\alpha\beta\gamma} \text{Tr} \left\{ \frac{1}{2} A_\alpha D_\beta A_\gamma + \frac{i}{3} g A_\alpha A_\beta A_\gamma \right\}$$

Además si S_E debe ser finito

$$F_{\mu\nu} \xrightarrow[|x| \rightarrow \infty]{} 0 \quad (2)$$

y en tanto

$$A_\mu(x) \xrightarrow{x \rightarrow \infty} + \frac{i}{g} \tilde{f}'(x) D_\mu f(x) \quad (3)$$

es decir debe ser un gauge puro. Definimos

$$q_E = \frac{2g^2}{32\pi^2} \int d^4x \text{Tr} [\star F_{\mu\nu}(x) F^{\mu\nu}(x)] = \frac{2g^2}{16\pi^2} \int d^4x D_\mu \bar{\xi}^\mu(x) \quad (4)$$

Teniendo en cuenta (1) y (3) y usando el teorema de Stokes

$$q_p = \frac{g^2}{8\pi^2} \int_{S_R^3 (R \rightarrow \infty)} d\sigma_\mu S^\mu$$

$$= \frac{g^2}{4\pi^2} \int_{S_R^3 (R \rightarrow \infty)} d\sigma_\mu \epsilon^{\mu\alpha\beta\gamma} \text{Tr} \left\{ -\frac{1}{2g^2} f^{-1}(\partial_\alpha f) \partial_\beta (f^{-1}(\partial_\gamma f)) - \frac{1}{3g^2} (f^{-1}\partial_\alpha f)(f^{-1}\partial_\beta f)(f^{-1}\partial_\gamma f) \right\}$$

$$q_p = \frac{1}{24\pi^2} \int_{S_R^3 (R \rightarrow \infty)} d\sigma_\mu \epsilon^{\mu\alpha\beta\gamma} \text{Tr} [(f^{-1}\partial_\alpha f)(f^{-1}\partial_\beta f)(f^{-1}\partial_\gamma f)] \quad (1)$$

Lo mal es válido si $\partial_\mu S^\mu$ no es regular.

Intentemos ahora calcular esta cantidad (M.K. PRASAD "Instantons and Monopoles in Yang-Mills gauge field theories" ITP-SB-79-99). En nuestro caso $f(x)$ es una matriz arbitraria 2×2 con determinante uno, y su cónjugado

$$\left. \begin{aligned} f(x) &= I V_4(x) + i \vec{V}(x) \\ V_4^2(x) + \vec{V}^2(x) &= 1 \end{aligned} \right\} \quad (2)$$

Introduciremos las matrices

$$\sigma_\mu = \begin{cases} I & \mu = 4 \\ i\sigma_a & \mu = a = 1, 2, 3 \end{cases} \quad \sigma_\mu^+ = \begin{cases} I & \mu = 4 \\ -i\sigma_a & \mu = a = 1, 2, 3 \end{cases} \quad (3)$$

Se obtiene inmediatamente

$$\left. \begin{aligned} f(x) &= V_\mu(x) \sigma_\mu & f^{-1}(x) &= V_\mu(x) \sigma_\mu^+ \\ V_\mu(x) V_\mu(x) &= 1 & & \end{aligned} \right\} \quad (4)$$

Aemás

$$\sigma_\mu^+ \sigma_\nu + \sigma_\nu^+ \sigma_\mu = \sigma_\mu \sigma_\nu^+ + \sigma_\nu \sigma_\mu^+ = 2I \delta_{\mu\nu} \quad (5)$$

Los tensores η y $\bar{\eta}$ de 't Hooft se definen como

$$\eta_{\mu\nu} = -\frac{1}{4} (\sigma_\mu^+ \sigma_\nu - \sigma_\nu^+ \sigma_\mu), \quad \bar{\eta}_{\mu\nu} = -\frac{1}{4} (\sigma_\mu \sigma_\nu^+ - \sigma_\nu \sigma_\mu^+) \quad (6)$$

Como

$$\begin{aligned} \sigma_\mu^+ \sigma_\nu &= I \delta_{\mu\nu} - \frac{1}{2} \epsilon_{\mu\nu\lambda\gamma} \sigma_\lambda^+ \sigma_\gamma \\ \sigma_\mu \sigma_\nu^+ &= I \delta_{\mu\nu} + \frac{1}{2} \epsilon_{\mu\nu\lambda\gamma} \sigma_\lambda \sigma_\gamma^+ \end{aligned} \quad (7)$$

donde $\epsilon_{1234} = +1$. Además una propiedad esencial es que η ($\bar{\eta}$) es dual (antidual)

$$\eta_{\mu\nu} = \frac{1}{2} \epsilon_{\mu\nu\lambda\rho} \eta^*_{\lambda\rho}, \quad \bar{\eta}_{\mu\nu} = -\frac{1}{2} \epsilon_{\mu\nu\lambda\rho} \bar{\eta}^*_{\lambda\rho} = -\bar{\eta}^*_{\mu\nu} \quad (1)$$

Los tensores $\eta_{\mu\nu}$ y $\bar{\eta}_{\mu\nu}$ son matrices 2×2 antisimétricas y al liberar cara y fila tanto pueden escribirse

$$\eta_{\mu\nu} = \frac{1}{2i} \eta^a_{\mu\nu} \tau_a, \quad \bar{\eta}_{\mu\nu} = \frac{1}{2i} \bar{\eta}^a_{\mu\nu} \tau_a \quad (2)$$

donde los tensores $\eta^a_{\mu\nu}$ tienen todas las componentes nulas. Es fácil comprobar que

$$\begin{aligned} \eta^a_{\mu\nu} &= \epsilon_{\mu\nu\alpha\beta} + \delta_{\alpha\nu} \delta_{\beta\mu} - \delta_{\alpha\mu} \delta_{\beta\nu} & \left. \begin{array}{l} \eta^a_{ij} = \epsilon_{ija} \\ \eta^a_{is} = \delta_{ia} \end{array} \right\} \\ \bar{\eta}^a_{\mu\nu} &= \epsilon_{\mu\nu\alpha\beta} - \delta_{\alpha\nu} \delta_{\beta\mu} + \delta_{\alpha\mu} \delta_{\beta\nu} & \left. \begin{array}{l} \bar{\eta}^a_{ij} = \epsilon_{ija} \\ \bar{\eta}^a_{is} = -\delta_{ia} \end{array} \right\} \end{aligned} \quad (3)$$

De donde se deducen inmediatamente

$$c) \quad \eta^a_{\mu\nu} = \frac{1}{2} \epsilon_{\mu\nu\lambda\rho} \eta^a_{\lambda\rho}, \quad \bar{\eta}^a_{\mu\nu} = -\frac{1}{2} \epsilon_{\mu\nu\lambda\rho} \bar{\eta}^a_{\lambda\rho} \quad (4)$$

$$cc) \quad \eta^a_{\mu\nu} = -\eta^a_{\nu\mu}, \quad \bar{\eta}^a_{\mu\nu} = -\bar{\eta}^a_{\nu\mu} \quad (5)$$

$$ccc) \quad \eta^a_{\mu\nu} \eta^b_{\mu\nu} = \bar{\eta}^a_{\mu\nu} \bar{\eta}^b_{\mu\nu} = 4 \delta_{ab} \quad (6)$$

$$cccc) \quad \eta^a_{\mu\nu} \eta^a_{\mu\nu} = \bar{\eta}^a_{\mu\nu} \bar{\eta}^a_{\mu\nu} = 3 \delta_{\mu\nu} \quad (7)$$

$$v) \quad \eta^a_{\mu\nu} \eta^a_{\mu\nu} = \bar{\eta}^a_{\mu\nu} \bar{\eta}^a_{\mu\nu} = 12 \quad (8)$$

$$vc) \quad \eta^a_{\mu\nu} \eta^a_{\nu\beta} = \delta_{\mu\nu} \delta_{\nu\beta} - \delta_{\mu\beta} \delta_{\nu\nu} + \epsilon_{\mu\nu\beta} \quad (9)$$

$$\bar{\eta}^a_{\mu\nu} \bar{\eta}^a_{\nu\beta} = \delta_{\mu\nu} \delta_{\nu\beta} - \delta_{\mu\beta} \delta_{\nu\nu} - \epsilon_{\mu\nu\beta} \quad (10)$$

$$vii) \quad \eta^a_{\mu\nu} \eta^b_{\mu\nu} \eta^c_{\nu\beta} = \delta_{\mu\nu} \delta_{\nu\beta} - \delta_{\mu\beta} \eta^a_{\nu\nu} - \delta_{\nu\beta} \eta^a_{\mu\mu} + \delta_{\nu\beta} \eta^c_{\mu\mu} \quad (11)$$

$$\epsilon_{abc} \bar{\eta}^b_{\mu\nu} \bar{\eta}^c_{\nu\beta} = \delta_{\mu\nu} \bar{\eta}^a_{\nu\beta} - \delta_{\mu\beta} \bar{\eta}^a_{\nu\nu} - \delta_{\nu\beta} \bar{\eta}^a_{\mu\mu} + \delta_{\nu\beta} \bar{\eta}^a_{\mu\mu} \quad (12)$$

$$viii) \quad \eta^a_{\mu\nu} \bar{\eta}^b_{\mu\nu} = 0 \quad (13)$$

Noté que

$$f^{-1}(\partial_\alpha f) = \frac{1}{2} [f^{-1}(\partial_\alpha f) - (\partial_\alpha f^{-1})f] = \frac{1}{2} V_\mu (\partial_\alpha V_\nu) [\sigma_\mu^+ \sigma_\nu^- - \sigma_\nu^+ \sigma_\mu^-]$$

$$= -2 \bar{\eta}_{\mu\nu} V_\mu (\partial_\alpha V_\nu) = i \bar{\eta}_{\mu\nu}^\alpha V_\mu (\partial_\alpha V_\nu) \tau_a$$

$$\text{Tr} [(f^{-1}\partial_\alpha f)(f^{-1}\partial_\beta f)(f^{-1}\partial_\gamma f)] = i^3 \bar{\eta}_{\mu\nu}^\alpha \bar{\eta}_{\nu\rho}^\beta \bar{\eta}_{\rho\sigma}^\gamma V_\mu (\partial_\alpha V_\nu) V_\nu (\partial_\beta V_\rho) V_\rho (\partial_\gamma V_\sigma).$$

$$\text{Tr} (\tau_a \tau_b \tau_c) = 2 V_\mu (\partial_\alpha V_\nu) V_\nu (\partial_\beta V_\rho) V_\rho (\partial_\gamma V_\sigma) \epsilon_{abc} \bar{\eta}_{\mu\nu}^\alpha \bar{\eta}_{\nu\rho}^\beta \bar{\eta}_{\rho\sigma}^\gamma$$

$$= 2 V_\mu (\partial_\alpha V_\nu) V_\nu (\partial_\beta V_\rho) V_\rho (\partial_\gamma V_\sigma) \bar{\eta}_{\mu\nu}^\alpha \left\{ \partial_{\tau\lambda} \bar{\eta}_{\rho\sigma}^\alpha - \cancel{\partial_{\tau\alpha} \bar{\eta}_{\rho\lambda}^\alpha} - \cancel{\partial_{\rho\lambda} \bar{\eta}_{\tau\alpha}^\alpha} + \partial_{\rho\sigma} \bar{\eta}_{\tau\lambda}^\alpha \right\}$$

$$= 2 V_\mu (\partial_\alpha V_\nu) (\partial_\beta V_\rho) (\partial_\gamma V_\sigma) [\cancel{\delta_{\mu\rho} \delta_{\nu\sigma}} - \cancel{\delta_{\mu\sigma} \delta_{\nu\rho}} + \cancel{\epsilon_{\mu\nu\rho\sigma}}]$$

$$+ 2 V_\mu (\partial_\alpha V_\nu) V_\nu (\partial_\beta V_\rho) V_\rho (\partial_\gamma V_\sigma) [\cancel{\partial_{\mu\tau} \delta_{\nu\lambda}} - \cancel{\partial_{\mu\lambda} \delta_{\nu\tau}} + \cancel{\epsilon_{\mu\nu\tau\lambda}}] =$$

$$= + 2 \epsilon_{\mu\nu\rho\sigma} V_\mu (\partial_\alpha V_\nu) (\partial_\beta V_\rho) (\partial_\gamma V_\sigma)$$

De donde

$$q_p = \frac{1}{12\pi^2} \int_{S_R^3 (R \rightarrow \infty)} d\sigma_\mu \epsilon_{\mu\alpha\beta\gamma} \epsilon_{\nu\lambda\sigma\tau} V_\nu (\partial_\alpha V_\lambda) (\partial_\beta V_\sigma) (\partial_\gamma V_\tau) \quad (1)$$

La esfera S_R^3 : $x_\mu x_\mu = x_1^2 + x_2^2 + x_3^2 + x_4^2 = R^2$ puede parametrizarse mediante los parámetros ξ_a ($a = 1, 2, 3$): $x_\mu = x_\mu(\xi_a)$. Antes de continuar analicemos el teorema de Gauss: considerando un espacio M -dimensional y sea R_M una región de este espacio y R_{M-1} el subspace $(M-1)$ -dimensional que forma la frontera de R_M . Los puntos del espacio M -dimensional se pueden caracterizar mediante M parámetros ξ_a ($a = 1, 2, \dots, M$). Las coordenadas en este espacio vienen dadas por las ecuaciones paramétricas

$$x_\mu = x_\mu(\xi_1, \xi_2, \dots, \xi_M) \quad \mu = 1, 2, \dots, M \quad (2)$$

Formaremos el elemento de "área"

$$d\xi_1 \dots d\xi_M = \epsilon_{\nu_1 \nu_2 \dots \nu_M} \frac{\partial x_{\mu_1}}{\partial \xi_{\nu_1}} \frac{\partial x_{\mu_2}}{\partial \xi_{\nu_2}} \dots \frac{\partial x_{\mu_M}}{\partial \xi_{\nu_M}} (d^M \xi) \quad (3)$$

$$d^M \xi \equiv d\xi_1 d\xi_2 \dots d\xi_M$$

Entonces el teorema de Gauss dice que

$$\int_{R_M} \partial_\mu J_\mu(x) (d^M x) = \int_{R_{M-1}} J_\mu(x) (d^{M-1} \sigma_\mu) \quad (4)$$

de donde

$$(d^M x) \equiv dx_1 dx_2 \dots dx_M$$

(1)

$$(d^{M-1} \sigma_{\mu_1}) \equiv \frac{1}{(M-1)!} \epsilon_{\mu_1 \mu_2 \dots \mu_M} d\varepsilon_{\mu_2 \mu_3 \dots \mu_N}$$

Es útil recordar que los elementos de volumen en los espacios de $M=3$ y $M=4$ son

$$(d^3 x) \equiv dx_1 dx_2 dx_3 \equiv r^2 dr (d^2 \Omega_2) \quad r = (x_1^2 + x_2^2 + x_3^2)^{1/2} \geq 0$$

(2)

$$(d^4 x) \equiv dx_1 dx_2 dx_3 dx_4 = R^3 dR (d^3 \Omega_3) \quad R = (x_1^2 + x_2^2 + x_3^2 + x_4^2)^{1/2} \geq 0$$

y que

$$\Omega_2 = \int (d^2 \Omega_2) = 4\pi \quad \Omega_3 = \int (d^3 \Omega_3) = 2\pi^2 \quad (3)$$

Usaremos ahora (43.3) y (11) para $M=4$, el elemento de superficie $d^3 \sigma_\mu$ es

$$d^3 \sigma_\mu = \frac{1}{6} \epsilon_{\mu\nu\alpha\beta} \frac{\partial x_\nu}{\partial \xi_a} \frac{\partial x_\alpha}{\partial \xi_b} \frac{\partial x_\beta}{\partial \xi_c} \epsilon_{abc} (d^3 \bar{s}) \quad (4)$$

y en tanto

$$q_p = \frac{1}{72\pi^2} \int_{S_R^3 (R \rightarrow \infty)} (d^3 \bar{s}) \epsilon_{\mu\nu\beta\gamma} \frac{\partial x_\alpha}{\partial \xi_a} \frac{\partial x_\beta}{\partial \xi_b} \frac{\partial x_\gamma}{\partial \xi_c} \epsilon_{abc} \epsilon_{\mu\alpha'\beta'\gamma'} \epsilon_{\varepsilon\lambda\sigma\rho} V_\varepsilon (\partial_\alpha V_\lambda) (\partial_\beta V_\sigma) (\partial_\gamma V_\rho)$$

$$= \frac{1}{72\pi^2} \int_{S_R^3 (R \rightarrow \infty)} (d^3 \bar{s}) \epsilon_{abc} \epsilon_{\varepsilon\lambda\sigma\rho} \frac{\partial x_\alpha}{\partial \xi_a} \frac{\partial x_\beta}{\partial \xi_b} \frac{\partial x_\gamma}{\partial \xi_c} V_\varepsilon (\partial_\alpha V_\lambda) (\partial_\beta V_\sigma) (\partial_\gamma V_\rho).$$

$$\left\{ \partial_{\alpha\alpha'} \partial_{\beta\beta'} \partial_{\gamma\gamma'} + \partial_{\alpha\beta'} \partial_{\beta\gamma'} \partial_{\gamma\alpha'} + \partial_{\alpha\gamma'} \partial_{\beta\alpha'} \partial_{\gamma\beta'} - \right. \\ \left. - \partial_{\alpha\alpha'} \partial_{\beta\gamma'} \partial_{\gamma\beta'} - \partial_{\alpha\gamma'} \partial_{\beta\beta'} \partial_{\gamma\alpha'} - \partial_{\alpha\beta'} \partial_{\beta\alpha'} \partial_{\gamma\gamma'} \right\}$$

$$= \frac{1}{12\pi^2} \int_{S_R^3 (R \rightarrow \infty)} d^3 \bar{s} \epsilon_{\varepsilon\lambda\sigma\rho} \epsilon_{abc} V_\varepsilon \left(\frac{\partial V_\lambda}{\partial \xi_a} \right) \left(\frac{\partial V_\sigma}{\partial \xi_b} \right) \left(\frac{\partial V_\rho}{\partial \xi_c} \right) \quad (5)$$

Consideraremos ahora la cantidad

$$S \equiv \left[\epsilon_{\varepsilon\lambda\sigma\rho} \epsilon_{abc} V_\varepsilon \left(\frac{\partial V_\lambda}{\partial \xi_a} \right) \left(\frac{\partial V_\sigma}{\partial \xi_b} \right) \left(\frac{\partial V_\rho}{\partial \xi_c} \right) \right]^2$$

(6)

Se obtiene inmediatamente que

$$\begin{aligned}
 S &= 36 \epsilon_{\lambda} \epsilon_{\lambda'} \epsilon_{\lambda''} \epsilon_{\lambda'''} V_{\lambda} V_{\lambda'} \frac{\partial V_{\lambda}}{\partial \xi_1} \frac{\partial V_{\lambda'}}{\partial \xi_1} \frac{\partial V_{\lambda''}}{\partial \xi_2} \frac{\partial V_{\lambda'''}}{\partial \xi_2} = \\
 &= 36 \frac{\partial V_{\lambda}}{\partial \xi_1} \frac{\partial V_{\lambda'}}{\partial \xi_1} \frac{\partial V_{\lambda''}}{\partial \xi_2} \frac{\partial V_{\lambda'''}}{\partial \xi_2} \left[d_{\lambda \lambda'} d_{\lambda'' \lambda'''} d_{\lambda''' \lambda'} - d_{\lambda \lambda'} d_{\lambda'' \lambda'''} d_{\lambda''' \lambda'} + d_{\lambda \lambda'} d_{\lambda'' \lambda'''} d_{\lambda''' \lambda'} - d_{\lambda \lambda'} d_{\lambda'' \lambda'''} d_{\lambda''' \lambda'} + d_{\lambda \lambda'} d_{\lambda'' \lambda'''} d_{\lambda''' \lambda'} - d_{\lambda \lambda'} d_{\lambda'' \lambda'''} d_{\lambda''' \lambda'} \right] = \\
 &= 36 \left\{ \left(\frac{\partial V_{\lambda}}{\partial \xi_1} \frac{\partial V_{\lambda'}}{\partial \xi_1} \right) \left(\frac{\partial V_{\lambda''}}{\partial \xi_2} \frac{\partial V_{\lambda'''}}{\partial \xi_2} \right) \left(\frac{\partial V_{\lambda''}}{\partial \xi_3} \frac{\partial V_{\lambda''}}{\partial \xi_3} \right) - \left(\frac{\partial V_{\lambda}}{\partial \xi_1} \frac{\partial V_{\lambda'}}{\partial \xi_1} \right) \left(\frac{\partial V_{\lambda''}}{\partial \xi_2} \frac{\partial V_{\lambda'''}}{\partial \xi_3} \right) \left(\frac{\partial V_{\lambda''}}{\partial \xi_3} \frac{\partial V_{\lambda''}}{\partial \xi_3} \right) + \right. \\
 &\quad + \left(\frac{\partial V_{\lambda}}{\partial \xi_1} \frac{\partial V_{\lambda'}}{\partial \xi_2} \right) \left(\frac{\partial V_{\lambda''}}{\partial \xi_2} \frac{\partial V_{\lambda'''}}{\partial \xi_3} \right) \left(\frac{\partial V_{\lambda''}}{\partial \xi_1} \frac{\partial V_{\lambda''}}{\partial \xi_1} \right) - \left(\frac{\partial V_{\lambda}}{\partial \xi_1} \frac{\partial V_{\lambda'}}{\partial \xi_2} \right) \left(\frac{\partial V_{\lambda''}}{\partial \xi_2} \frac{\partial V_{\lambda'''}}{\partial \xi_2} \right) \left(\frac{\partial V_{\lambda''}}{\partial \xi_3} \frac{\partial V_{\lambda''}}{\partial \xi_3} \right) + \\
 &\quad \left. + \left(\frac{\partial V_{\lambda}}{\partial \xi_1} \frac{\partial V_{\lambda'}}{\partial \xi_3} \right) \left(\frac{\partial V_{\lambda''}}{\partial \xi_2} \frac{\partial V_{\lambda'''}}{\partial \xi_1} \right) \left(\frac{\partial V_{\lambda''}}{\partial \xi_3} \frac{\partial V_{\lambda''}}{\partial \xi_1} \right) - \left(\frac{\partial V_{\lambda}}{\partial \xi_1} \frac{\partial V_{\lambda'}}{\partial \xi_3} \right) \left(\frac{\partial V_{\lambda''}}{\partial \xi_2} \frac{\partial V_{\lambda'''}}{\partial \xi_2} \right) \left(\frac{\partial V_{\lambda''}}{\partial \xi_3} \frac{\partial V_{\lambda''}}{\partial \xi_2} \right) \right\} = \\
 &= 36 \det \begin{vmatrix} \frac{\partial V_{\lambda}}{\partial \xi_a} & \frac{\partial V_{\lambda'}}{\partial \xi_b} \end{vmatrix} \equiv 36 |g_{ab}| \quad (1)
 \end{aligned}$$

dónde $|g_{ab}|$ es el determinante del tensor metrónico g_{ab} de la esfera unidad $V_p V_p = +1$. Tenemos pues

$$\begin{aligned}
 q_p &= \frac{1}{2\pi^2} \int_{S_R^3 (R \rightarrow \infty)} d^3 \xi \left[\det \begin{pmatrix} \frac{\partial V_{\lambda}}{\partial \xi_a} & \frac{\partial V_{\lambda'}}{\partial \xi_b} \end{pmatrix} \right]^{1/2} = \\
 &= \frac{1}{2\pi^2} \int_{S_R^3 (R \rightarrow \infty)} d^3 \xi \sqrt{|g_{ab}|} = \text{entero} \quad (2)
 \end{aligned}$$

pues mientras el punto (ξ_1, ξ_2, ξ_3) cubre la esfera unidad S_R^3 una vez, el vector V_p puede cubrir la esfera $V_p V_p = 1$ un número q_p de veces y cada vez contribuye un ángulo total $2\pi^2$ (44.3).

Ha representado un gran esfuerzo el encontrar soluciones explícitas de las ecuaciones autoduales (4). Los esfuerzos empezaron con el trabajo pionero de A.A. BELAVIN, A.M. POLYAKOV, A.S. SCHWARTZ y Yu.S. TYUPKIN Phys. Lett. B59, 85 (1975) que encontraron una solución para $q_p = 1$ y que culminaron en el trabajo de M.F. ATIYAH, N.J. HITCHIN, V.G. DRINFELD y Yu.I. MANIN Phys. Lett. A65, 185 (1978) encontrando soluciones para q arbitrario. Antes de pasar a las soluciones explícitas elaboraremos algo más la notación: consideremos un tensor antisimétrico $T_{\mu\nu} = -T_{\nu\mu}$ el cual puede escribirse

$$\begin{aligned}
 T_{\mu\nu} &\equiv -T_{\nu\mu} \equiv \frac{1}{2} (T_{\mu\nu} + {}^*T_{\mu\nu}) + \frac{1}{2} (T_{\mu\nu} - {}^*T_{\mu\nu}) \\
 {}^*T_{\mu\nu} &\equiv \frac{1}{2} \epsilon_{\mu\nu\alpha\beta} T_{\alpha\beta} \quad (3)
 \end{aligned}$$

es decir como la suma de un tensor autodual y antiautodual. Notemos además que

$$T_{\mu\nu} \pm {}^*T_{\mu\nu} = \frac{1}{2} (\delta_{\mu\alpha} \delta_{\nu\beta} - \delta_{\mu\beta} \delta_{\nu\alpha} \pm \epsilon_{\mu\nu\alpha\beta}) T_{\alpha\beta} = P_{\mu\nu\alpha\beta}^{(\pm)} T_{\alpha\beta} \quad (1)$$

donde hemos definido los proyectores en las partes auto-duales y anti-auto-duales.
comparando con (43.8)

$$P_{\mu\nu\alpha\beta}^{(+)} = \frac{1}{2} \eta_{\mu\nu}^a \eta_{\alpha\beta}^a \quad P_{\mu\nu\alpha\beta}^{(-)} = \frac{1}{2} \bar{\eta}_{\mu\nu}^a \bar{\eta}_{\alpha\beta}^a \quad (2)$$

Si $T_{\mu\nu}$ es auto dual

$$T_{\mu\nu} = {}^*T_{\mu\nu} \iff \bar{\eta}_{\mu\nu}^a \bar{\eta}_{\beta\gamma}^a T_{\beta\gamma} = 0 \quad (3)$$

y multiplicando por $\bar{\eta}_{\mu\nu}^b$ se obtiene

$$T_{\mu\nu} = {}^*T_{\mu\nu} \iff \bar{\eta}_{\beta\gamma}^a T_{\beta\gamma} = 0 \quad (4)$$

La solución original a Belavin - Polyakov - Schwartz - Tyupkin para $g_p = 1$
viene dada por

$$A_\mu^a = + \frac{2}{g} \left. \begin{aligned} & \frac{\eta_{\mu\nu}^a (x - x_0)_\nu}{(x - x_0)^2 + \lambda^2} \\ & (x - x_0)^2 \equiv (x - x_0)_\mu (x - x_0)_\mu \end{aligned} \right\} \quad (5)$$

siendo $(x_0)_\nu$ y λ unos parámetros libres asociados con la posición y escala
del instantáneo. Esta solución es no singular por doquier. De hecho se puede probar
que una solución con carga topológica g_p dependerá al menos de $(8g_p - 3)$ parámetros.

$$A_\mu = \frac{1}{2} \epsilon_a A_\mu^a = + \frac{2i}{g} \frac{\eta_{\mu\nu} (x - x_0)_\nu}{(x - x_0)^2 + \lambda^2} \quad (6)$$

Notemos que

$$\left. \begin{aligned} A_\mu &= + \frac{i}{g} \frac{(x - x_0)^2}{(x - x_0)^2 + \lambda^2} f^{-1} \partial_\mu f \\ f &= \frac{(x - x_0)_\nu \sigma^\nu}{\sqrt{(x - x_0)^2}} \end{aligned} \right\} \quad (7)$$

y para $x^2 \rightarrow \infty$ se tiene

$$A_\mu \approx + \frac{i}{g} f^{-1} \partial_\mu f$$

Tomando coordenadas esféricas ($x_0=0$)

$$x_1 = R \sin \xi_3 \sin \xi_2 \cos \xi_1, \quad x_2 = R \sin \xi_3 \sin \xi_2 \sin \xi_1, \quad x_3 = R \sin \xi_3 \cos \xi_2, \quad x_4 = R \cos \xi_3 \quad (1)$$

de donde

$$V_F \equiv l \sin \xi_3 \sin \xi_2 \cos \xi_1, \quad \sin \xi_3 \sin \xi_2 \sin \xi_1, \quad \sin \xi_3 \cos \xi_2, \quad \cos \xi_3 \quad (2)$$

$$g_{11} = \sin^2 \xi_2 \sin^2 \xi_3, \quad g_{22} = \sin^2 \xi_3, \quad g_{33} = 1$$

$$g_{12} = 0 \quad g_{13} = 0 \quad g_{23} = 0$$

$$\sqrt{|g_{ab}|} = \sin^2 \xi_3 \sin \xi_2$$

y entonces se ve inmediatamente que $g_F = 1$. Notar además que de acuerdo con lo dicho antes la forma cuántica es singular en $x=x_0$. El correspondiente tensor campo es

$$F_{\mu\nu} = \partial_\mu A_\nu - \partial_\nu A_\mu + \text{ig} [A_\mu, A_\nu] \quad A_\mu = + \frac{2i}{g} [(x-x_0)^2 + \lambda^2]^{-1} \eta_{\mu\nu} (x-x_0)_\nu$$

$$\partial_\mu A_\nu = - \frac{4i}{g} [(x-x_0)^2 + \lambda^2]^{-2} (x-x_0)_\mu \eta_{\nu\rho} (x-x_0)_\rho + \frac{2i}{g} [(x-x_0)^2 + \lambda^2]^{-1} \eta_{\mu\nu}$$

$$\text{ig} [A_\mu, A_\nu] = - \frac{4i}{g} [(x-x_0)^2 + \lambda^2]^{-2} (x-x_0)_\nu (x-x_0)_\sigma [\eta_{\mu\nu}, \eta_{\nu\sigma}]$$

$$= - \frac{4i}{g} [(x-x_0)^2 + \lambda^2]^{-2} (x-x_0)_\nu (x-x_0)_\sigma [\delta_{\mu\nu} \eta_{\tau\sigma} - \delta_{\mu\sigma} \eta_{\tau\nu} - \delta_{\nu\sigma} \eta_{\mu\tau} + \delta_{\nu\tau} \eta_{\mu\sigma}]$$

$$F_{\mu\nu} = - \frac{4i}{g} [(x-x_0)^2 + \lambda^2]^{-2} (x-x_0)_\mu \eta_{\nu\rho} (x-x_0)_\rho + \frac{2i}{g} [(x-x_0)^2 + \lambda^2]^{-1} \eta_{\nu\mu}$$

$$+ \frac{4i}{g} [(x-x_0)^2 + \lambda^2]^{-2} (x-x_0)_\nu \eta_{\mu\rho} (x-x_0)_\rho + \frac{2i}{g} [(x-x_0)^2 + \lambda^2]^{-1} \eta_{\mu\nu}$$

$$+ \frac{4i}{g} [(x-x_0)^2 + \lambda^2]^{-2} [+ (x-x_0)_\mu \eta_{\nu\rho} (x-x_0)_\rho - (x-x_0)_\nu \eta_{\mu\rho} (x-x_0)_\rho + (x-x_0)^2 \eta_{\mu\nu}]$$

$$F_{\mu\nu}(x) = - \frac{4i}{g} \frac{\lambda^2}{[(x-x_0)^2 + \lambda^2]^2} \eta_{\mu\nu} \quad (3)$$

que es manifestamente auto dual.

Para generalizar este resultado a g_F arbitraria emperaremos considerando el

185

Ansatz de E. CORRIGAN y D. FAIRLIE [Phys. Lett. 67B, 69 (1977)] G. 'T HOOFT (No publicado)

F. MILCZEK [en "Quark confinement and field theory" ed. D. Stumpf y D. Weingarten J. Wiley N.Y 1977]. Comunicaremos

$$A_\mu(x) = - \frac{e}{g} \bar{\eta}_{\mu\nu} \partial_\nu \ln \phi(x) \quad (1)$$

donde ϕ es por el momento una función arbitraria de x_μ . Las intensidades de campo son

$$\partial_\mu A_\nu(x) = - \frac{e}{g} \bar{\eta}_{\nu\sigma} \partial_\mu \partial_\sigma \ln \phi(x) = - \frac{e}{g} \bar{\eta}_{\nu\sigma} \left\{ \frac{\partial_\mu \partial_\sigma \phi}{\phi} - \frac{\partial_\mu \phi \partial_\sigma \phi}{\phi^2} \right\}$$

$$ig [A_\mu, A_\nu] = - \frac{e}{g} \partial_\nu \ln \phi(x) \partial_\sigma \ln \phi(x) [\bar{\eta}_{\mu\nu}, \bar{\eta}_{\nu\sigma}]$$

$$= - \frac{e}{g} \partial_\sigma \ln \phi(x) \partial_\sigma \ln \phi(x) [\delta_{\mu\nu} \bar{\eta}_{\nu\sigma} - \delta_{\mu\sigma} \bar{\eta}_{\nu\nu} - \delta_{\nu\sigma} \bar{\eta}_{\mu\nu} + \delta_{\nu\sigma} \bar{\eta}_{\mu\nu}]$$

$$F_{\mu\nu} = + \frac{e}{g} \bar{\eta}_{\nu\sigma} \left\{ \frac{\partial_\mu \partial_\sigma \phi}{\phi} - \frac{\partial_\mu \phi \partial_\sigma \phi}{\phi^2} \right\} + \frac{e}{g} \bar{\eta}_{\mu\nu} \left\{ \frac{\partial_\nu \partial_\sigma \phi}{\phi} - \frac{\partial_\nu \phi \partial_\sigma \phi}{\phi^2} \right\}$$

$$+ \frac{e}{g} \frac{\partial_\mu \phi}{\phi} \frac{\partial_\sigma \phi}{\phi} \bar{\eta}_{\nu\sigma} - \frac{e}{g} \frac{\partial_\nu \phi}{\phi} \frac{\partial_\sigma \phi}{\phi} \bar{\eta}_{\mu\sigma} + \frac{e}{g} \frac{\partial_\sigma \phi}{\phi} \frac{\partial_\sigma \phi}{\phi} \bar{\eta}_{\mu\nu}$$

$$F_{\mu\nu}(x) = + \frac{e}{g} \bar{\eta}_{\mu\nu} \left\{ \frac{\partial_\nu \partial_\sigma \phi(x)}{\phi(x)} - 2 \frac{\partial_\nu \phi(x) \partial_\sigma \phi(x)}{\phi^2(x)} \right\} +$$

$$+ \frac{e}{g} \bar{\eta}_{\nu\sigma} \left\{ \frac{\partial_\mu \partial_\sigma \phi(x)}{\phi(x)} - 2 \frac{\partial_\mu \phi(x) \partial_\sigma \phi(x)}{\phi^2(x)} \right\} + \frac{e}{g} \bar{\eta}_{\mu\nu} \frac{\partial_\sigma \phi(x)}{\phi} \frac{\partial_\sigma \phi(x)}{\phi}$$

Exigir que $F_{\mu\nu}(x)$ sea auto dual es equivalente a imponer (§6.4)

$$\bar{\eta}_{\mu\nu}^b F_{\mu\nu}^a(x) = 0$$

$$\bar{\eta}_{\mu\nu}^b F_{\mu\nu}^a(x) = + \frac{1}{g} \bar{\eta}_{\mu\nu}^b \bar{\eta}_{\mu\nu}^a \left\{ \frac{\partial_\nu \partial_\sigma \phi}{\phi} - 2 \frac{\partial_\nu \phi \partial_\sigma \phi}{\phi^2} \right\} + \frac{1}{g} \bar{\eta}_{\mu\nu}^b \bar{\eta}_{\nu\sigma}^a \left\{ \frac{\partial_\mu \partial_\sigma \phi}{\phi} - 2 \frac{\partial_\mu \phi \partial_\sigma \phi}{\phi^2} \right\}$$

$$+ \frac{1}{g} \bar{\eta}_{\mu\nu}^b \bar{\eta}_{\mu\nu}^a \frac{\partial_\sigma \phi}{\phi} \frac{\partial_\sigma \phi}{\phi}$$

$$= + \frac{1}{g} \left\{ \frac{\partial_\nu \partial_\sigma \phi}{\phi} - 2 \frac{\partial_\nu \phi \partial_\sigma \phi}{\phi^2} \right\} [\delta_{ab} \delta_{\nu\sigma} - \epsilon_{abc} \bar{\eta}_{\nu\sigma}^c]$$

$$+ \frac{1}{g} \left\{ \frac{\partial_\mu \partial_\sigma \phi}{\phi} - 2 \frac{\partial_\mu \phi \partial_\sigma \phi}{\phi^2} \right\} [-\delta_{cb} \delta_{\nu\mu} - \epsilon_{abc} \bar{\eta}_{\nu\mu}^c] + \frac{1}{g} \frac{\partial_\sigma \phi}{\phi} \frac{\partial_\sigma \phi}{\phi} \delta_{ab}$$

$$= -\frac{1}{g} \partial_{ab} \left\{ -\frac{1}{\phi} \square \phi + \frac{2}{\phi^2} (\partial_\mu \phi)(\partial_\nu \phi) - \frac{1}{\phi} \square \phi + \frac{2}{\phi^2} (\partial_\mu \phi)(\partial_\nu \phi) - \frac{4}{\phi^2} (\partial_\mu \phi)(\partial_\nu \phi) \right\}$$

y por tanto $F_{\mu\nu}(x)$ es auto dual si

$$\square \phi(x) = 0 \quad \square \equiv \partial_\mu \partial_\mu \quad (1)$$

't Hooft [no publicado] ha considerado la solución

$$\phi(x) = 1 + \sum_{j=1}^N \frac{\lambda_j^2}{(x - x_j)^2} \quad (2)$$

que es válida solo para $x \neq x_j$ ($j = 1, 2, \dots, N$). Cuando $x \rightarrow x_j$ se tiene

$$\phi(x) \xrightarrow{x \rightarrow x_j} \frac{\lambda_j^2}{(x - x_j)^2} \quad (3)$$

Veamos sin embargo que esto es un puro efecto del gauge. En efecto cerca de la singularidad

$$\begin{aligned} A_\mu(x) &\xrightarrow{x \rightarrow x_j} + \frac{e}{q} \bar{\eta}_{\mu\nu} \frac{2(x_0 - x_j)_\nu}{(x - x_j)^2} = \\ &= + \frac{e}{q} f_j^{-1}(x) \partial_\mu f_j(x) \end{aligned} \quad (4)$$

$$f_j(x) = \frac{(x - x_j)_\nu}{\sqrt{(x - x_j)^2}} \sigma_\nu +$$

y por tanto $F_{\mu\nu}(x)$ se anula en la singularidad y por tanto esta es solo un artificio de gauge sin consecuencias físicas. Integrando la densidad de acción sobre una región del espacio Euclídeo 4-dimensional que excluya las singularidades, en orden a poder aplicar el teorema de Gauss se obtiene que $q_p = N$ y tenemos por tanto contando soluciones con número q_p arbitrario que dependen de $5q_p$ parámetros y como este es menor que $(8q_p - 3)$ no puede ser la solución general.

La solución general fue derivada por Atiyah y col. en el libro mencionado anteriormente geometría difusa y algebraica pero el resultado es simple y vamos a darlo aquí. Construyamos una matriz rectangular $(q+1) \times q$ que denominaremos $M(x)$

$$M(x) = \{ M_{\alpha i}(x) \} \quad (5)$$

$$\alpha = 1, 2, \dots, q+1 \quad i = 1, 2, \dots, q$$

Supondremos además que

$$M_{\alpha i}(x) = (B_{\alpha i}^H - C_{\alpha i} x^\mu) \sigma_\mu^+ \quad (1)$$

donde $B_{\alpha i}^H$ y $C_{\alpha i}$ son independientes de x . Cada elemento de $M(x)$ es pues un quaternion. La ecuación (1) la escribiremos en forma compacta como

$$M(x) = B - C \cdot [x] \quad (2)$$

donde $[x]$ es la matriz $q \times q$ idempotente multiplicada por $x^\mu \sigma_\mu^+$. Definamos ahora una matriz $q \times q$

$$\begin{aligned} R(x) &\equiv M^+(x) M(x) \\ R_{ij}(x) &= \sum_{\alpha=1}^{N+1} M_{\alpha i}^+(x) M_{\alpha j}(x) \end{aligned} \quad \left. \right\} \quad (3)$$

Entendemos

$$R(x)^+ = R(x) \quad (4)$$

Además supondremos que $M(x)$ ha sido elegido de tal forma que $R(x)$ tiene inversa y es además real, es decir

$$[R(x), [x]] = 0 \quad (5)$$

Hallaremos ahora un recta columna de dimensión $q+1$

$$N(x) = \{ N_\alpha(x) \} \quad (6)$$

tal que

$$N^+(x) M(x) = 0 \quad (7)$$

$$N^+(x) N(x) = 1$$

La primera ecuación tiene siempre solución y la segunda fija la norma de $N(x)$.

El potencial es ahora

$$A_\mu(x) \equiv + \frac{i}{g} N^+(x) \partial_\mu N(x) \quad (8)$$

Como es usual

$$F_{\mu\nu}(x) = [\partial_\mu A_\nu(x) - ig A_\mu(x) A_\nu(x)] - (\mu \leftrightarrow \nu) \quad (9)$$

$$\begin{aligned}
 F_{\mu\nu}(x) &= + \frac{i}{g} \partial_\mu (N^+ \partial_\nu N) + \frac{i}{g} (N^+ \partial_\mu N) (N^+ \partial_\nu N) + (\mu \leftrightarrow \nu) = \\
 &= + \frac{i}{g} \left[(\partial_\mu N^+) (\partial_\nu N) + (N^+ \partial_\mu N) (N^+ \partial_\nu N) \right] + (\mu \leftrightarrow \nu) \\
 &= + \frac{i}{g} \left[(\partial_\mu N^+) (\partial_\nu N) - (\partial_\mu N^+) N^+ (\partial_\nu N) \right] - (\mu \leftrightarrow \nu) \\
 F_{\mu\nu}(x) &= + \frac{i}{g} \left\{ (\partial_\mu N^+(x)) (I - N(x) N^+(x)) (\partial_\nu N(x)) - (\mu \leftrightarrow \nu) \right\} \quad (1)
 \end{aligned}$$

dónde I es la matriz identidad quaternionica en $(q+1) \times (q+1)$. Consideremos ahora $I - N^+ N$. Es inmediato pensar que es un proyector en el espacio ortogonal a N . Además

$$I - N(x) N^+(x) = M(x) R^{-1}(x) M^+(x) \quad (2)$$

de donde

$$\begin{aligned}
 F_{\mu\nu}(x) &= + \frac{i}{g} \left[(\partial_\mu N^+(x)) M(x) R^{-1}(x) M^+(x) (\partial_\nu N(x)) - (\mu \leftrightarrow \nu) \right] \\
 &= + \frac{i}{g} \left[N^+(x) (\partial_\mu M(x)) R^{-1}(x) (\partial_\nu M^+(x)) N(x) - (\mu \leftrightarrow \nu) \right] \\
 &= + \frac{i}{g} \left[N^+(x) C \sigma_\mu^+ R^{-1}(x) \sigma_\nu C^+ N(x) - N^+(x) C \sigma_\nu^+ R^{-1}(x) \sigma_\mu C^+ N(x) \right] \\
 &= + \frac{i}{g} N^+(x) C \left[\sigma_\mu^+ R^{-1}(x) \sigma_\nu - \sigma_\nu^+ R^{-1}(x) \sigma_\mu \right] C^+ N(x) = \\
 &= + \frac{4i}{g} N^+(x) C [\sigma_\mu^+ \sigma_\nu - \sigma_\nu^+ \sigma_\mu] R^{-1}(x) C^+ N(x) \quad (3)
 \end{aligned}$$

que es evidentemente auto dual. Esta construcción da la solución instantánea completa dependiendo de $(8q-3)$ para moléculas y con $q_p = q$.

Consideremos un ejemplo

$$\begin{aligned}
 M(x) &\equiv \begin{vmatrix} (x - \bar{\xi}_0) \lambda_1 & (x - \bar{\xi}_0) \lambda_2 & \cdots & (x - \bar{\xi}_0) \lambda_q \\ (x - \bar{\xi}_1) & 0 & \cdots & 0 \\ 0 & (x - \bar{\xi}_2) & \cdots & 0 \\ \vdots & \vdots & \ddots & \vdots \\ 0 & 0 & \cdots & (x - \bar{\xi}_q) \end{vmatrix} \\
 (A) &\equiv A^\mu \sigma_\mu^+ \\
 \lambda_i &= \text{val}
 \end{aligned}$$

Entonces

$$B = \begin{vmatrix} -\xi_0 \lambda_1 & -\xi_0 \lambda_2 & \cdots & -\xi_0 \lambda_q \\ -\xi_1 & 0 & \cdots & 0 \\ 0 & \xi_2 & \cdots & 0 \\ \vdots & \vdots & \ddots & \vdots \\ 0 & 0 & \cdots & \xi_q \end{vmatrix} \quad C = \begin{vmatrix} \lambda_1 & \lambda_2 & \cdots & \lambda_q \\ 1 & 0 & \cdots & 0 \\ 0 & 1 & \cdots & 0 \\ \vdots & \vdots & \ddots & \vdots \\ 0 & 0 & \cdots & 1 \end{vmatrix}$$

(1)

Además

$$R_{ij}(x) = (x - \xi_i)^2 \lambda_i \lambda_j + \delta_{ij} (x - \xi_i)^2$$

(2)

where $(r)^2 = r_\mu r^\mu$. Se tiene además que $N^+(x) = (N_0^+, N_1^+ \dots N_q^+)$ debe satisfacer

$$\sum_{i=0}^q N_i^+(x) N_i(x) = 1$$

(3)

$$N_0^+(x) \lambda_i (x - \xi_0) + N_i^+(x - \xi_i) = 0 \quad i = 1, 2, \dots, q$$

uya solución es

$$N_0^+(x) = f(x) (x - \xi_0)^{-1}$$

$$N_i^+(x) = -f(x) \lambda_i (x - \xi_i)^{-1}$$

(4)

$$f(x) \equiv \left\{ \frac{1}{(x - \xi_0)^2} + \sum_{i=1}^q \frac{\lambda_i^2}{(x - \xi_i)^2} \right\}^{-1/2}$$

Resolviendo $(x)^{-1} = \frac{1}{x^2} x^+$, se obtiene una solución de tipo $p = 9$.

C.N. YANG Phys. Rev. Lett. 38, 1377 (1972)

M.F. ATIYAH y R.S. WARD Comm. Math. Phys. 55, 117 (1977)

E.F. CORRIGAN, D.B. FAIRLIE, R.G. YATES y P. GODDARD Comm. Math. Phys. 58, 223 (1978)

y los únicos otros.

Ya hemos hecho notar que las soluciones pseudo-particulares señalan la existencia de un conjunto discreto infinito de ramos del campo gauge topológicamente distintos ($q_p = 0, \pm 1, \pm 2, \dots$). Para explotar esto algo más es conveniente tratarlas con el gauge "temporal" este es $A_0 = 0$. Consideremos en particular la solución (56.7) con $X_0 = 0$

$$A_\mu(x) = + \frac{2i}{g} \frac{\eta_{\mu\nu} x_\nu}{x^2 + \lambda^2} \quad (1)$$

que de acuerdo con (56.7) se puede escribir

$$A_\mu(x) = + \frac{i}{g} \frac{x^2}{x^2 + \lambda^2} f'(x) \partial_\mu f(x) \quad f(x) \equiv \frac{x_\nu \sigma_\nu}{\sqrt{x^2}} \quad (2)$$

Aplicaremos ahora la transformación de gauge

$$A'_\mu(x) = S(x) A_\mu(x) S^{-1}(x) + \frac{i}{g} S(x) \partial_\mu S^{-1}(x) \quad (3)$$

$$S(x) = \exp \left\{ -i(\vec{x} \cdot \vec{\varepsilon}) \frac{1}{(r^2 + \lambda^2)^{1/2}} \left[\operatorname{arctg} \frac{x_0}{(r^2 + \lambda^2)^{1/2}} - \frac{\pi}{2} \right] \right\}$$

donde $r = (\vec{x}^2)^{1/2}$. Se tiene que

$$\begin{aligned} S(x) &= e^{+i(\hat{x} \cdot \vec{\varepsilon}) \varphi} = \cos \varphi + i(\hat{x} \cdot \vec{\varepsilon}) \sin \varphi \equiv V_\mu \sigma_\mu \\ V_0 &= \cos \varphi, \quad \vec{V} = \hat{x} \sin \varphi \end{aligned} \quad (4)$$

Veámos el valor de $A'_0(x)$. De (1) se deduce que al ser $\eta_{0\nu} x_\nu = -\frac{i}{2}(\vec{\varepsilon} \cdot \vec{x})$

$$A_0(x) = + \frac{1}{g} \frac{(\vec{\varepsilon} \cdot \vec{x})}{x^2 + \lambda^2}$$

$$SA_0S^{-1} = + \frac{1}{g} \frac{1}{x^2 + \lambda^2} V_\mu \sigma_\mu (\vec{\varepsilon} \cdot \vec{x}) V_\mu \sigma_\mu^\dagger = + \frac{1}{g} \frac{1}{x^2 + \lambda^2} (V_0 + i\vec{\varepsilon} \cdot \vec{V})(\vec{\varepsilon} \cdot \vec{x})(V_0 - i\vec{\varepsilon} \cdot \vec{V})$$

$$= + \frac{1}{g} \frac{1}{x^2 + \lambda^2} \left\{ \cos \varphi + \frac{i}{r} (\vec{x} \cdot \vec{\varepsilon}) \sin \varphi \right\} (\vec{\varepsilon} \cdot \vec{x}) \left\{ \cos \varphi - \frac{i}{r} (\vec{x} \cdot \vec{\varepsilon}) \sin \varphi \right\} =$$

$$= + \frac{1}{g} \frac{1}{x^2 + \lambda^2} \left\{ \cos \varphi (\vec{\varepsilon} \cdot \vec{x}) + r i \vec{\varepsilon} \cdot \vec{s} \sin \varphi \right\} \left\{ \cos \varphi - \frac{i}{r} (\vec{x} \cdot \vec{\varepsilon}) \sin \varphi \right\} =$$

$$= + \frac{1}{g} \frac{1}{x^2 + \lambda^2} \left\{ (\vec{x} \cdot \vec{\varepsilon}) \cos^2 \varphi - i r \vec{\varepsilon} \cdot \vec{s} \sin \varphi \cos \varphi + r i \vec{\varepsilon} \cdot \vec{s} \sin \varphi \cos \varphi + (\vec{x} \cdot \vec{\varepsilon}) \sin^2 \varphi \right\} = + \frac{1}{g} \frac{1}{x^2 + \lambda^2} (\vec{x} \cdot \vec{\varepsilon})$$

$$+ \frac{i}{g} S \partial_\mu S^{-1} = + \frac{i}{g} (V_0 + i\vec{V} \cdot \vec{\varepsilon}) (\partial_0 V_0 - i\vec{\varepsilon} \cdot \partial_0 \vec{V}) =$$

$$= + \frac{i}{g} \left(\cos \varphi + \frac{i}{r} (\bar{x} \cdot \bar{e}) \sin \varphi \right) \left(- \sin \varphi \partial_0 \varphi - \frac{i}{r} (\bar{e} \cdot \bar{x}) \cos \varphi + \partial_0 \varphi \right)$$

$$= + \frac{i}{g} \left(- \sin \varphi \cos \varphi - \frac{i}{r} (\bar{e} \cdot \bar{x}) \cos^2 \varphi - \frac{i}{r} (\bar{e} \cdot \bar{x}) \sin^2 \varphi + \sin \varphi \cos \varphi \right) \partial_0 \varphi = + \frac{1}{gr} (\bar{x} \cdot \bar{e}) \partial_0 \varphi$$

y de tanto

$$A'_0(x) = + \frac{1}{g} (\bar{x} \cdot \bar{e}) \left[\frac{1}{x^2 + \lambda^2} + \frac{i}{r} \partial_0 \varphi \right]$$

como

$$\partial_0 \varphi = - \partial_0 \left\{ \frac{r}{(x^2 + \lambda^2)^{1/2}} \left[\operatorname{arctg} \frac{x_0}{(x^2 + \lambda^2)^{1/2}} - \frac{\pi}{2} \right] \right\} = - \frac{r}{x^2 + \lambda^2}$$

y de tanto $A'_0(x) = 0$ que es lo que devolvemos. La forma de $A'_k(x)$ es complicada pero no la necesitaremos mas que en los límites $x_0 \rightarrow \pm \infty$. Se tiene que

$$\lim_{x_0 \rightarrow \pm \infty} \operatorname{arctg} \frac{x_0}{(x^2 + \lambda^2)^{1/2}} = \pm \frac{\pi}{2} + (m+1)\pi$$

donde m es un entero. Introduciendo

$$g_k(\bar{x}) \equiv \exp \left\{ -im \frac{\bar{x} \cdot \bar{e}}{(x^2 + \lambda^2)^{1/2}} \right\}$$

se obtiene

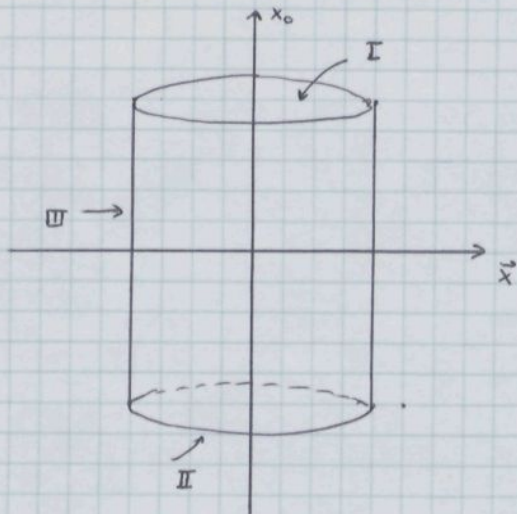
$$\begin{aligned} \tilde{A}' &\underset{x_0 \rightarrow +\infty}{\sim} - \frac{i}{g} g_{m+1}(\bar{x}) \vec{\nabla} (g_{m+1}^{-1}(\bar{x})) \\ \tilde{A}' &\underset{x_0 \rightarrow -\infty}{\sim} - \frac{i}{g} g_m(\bar{x}) \vec{\nabla} (g_m^{-1}(\bar{x})) \end{aligned} \quad \left\{ \quad g_m(\bar{x}) \equiv [g_k(\bar{x})]^m \quad (3)$$

$$\begin{aligned} \tilde{A}'(x) &\underset{x_0 \rightarrow +\infty}{\sim} \frac{i}{g} g_{m+1}^{-1}(\bar{x}) \vec{\nabla} g_{m+1}(\bar{x}) \\ \tilde{A}'(x) &\underset{x_0 \rightarrow -\infty}{\sim} \frac{i}{g} g_m^{-1}(\bar{x}) \vec{\nabla} g_m(\bar{x}) \end{aligned} \quad \left\{ \quad (4)$$

Para calcular q_p explícitamente en el gauge terminal es útil tomar en

$$q_p = \frac{g^2}{8\pi^2} \oint_S d\sigma_\mu \bar{s}^\mu \quad (5)$$

S como un hipercilindro del argumento σ_P . (recordemos que las superficies que pueden ser obtenidas las curvas de las otras por deformaciones continuas dan origen al mismo g_P)



Tomaremos las caras planas para $x_0 \rightarrow \pm\infty$. Entonces de (42.1)

$$g_P = \frac{1}{24\pi^2} \left\{ i^3 g^3 \int_{I-II} d^3x \epsilon_{ijk} \text{Tr} [A'_i(x) A'_j(x) A'_k(x)] + i^3 g^3 \int_{III} dx_0 \int_{III} d^2\sigma_i \epsilon_{ijk} \text{Tr} [A'_i A'_j A'_k] \right\} \quad (1)$$

El ultimo término es nulo pues v, μ, ν o λ forceden cero y como $A'_0 = 0$ quedó fijo

$$g_P = \frac{1}{24\pi^2} \int d^3x \epsilon_{ijk} \text{Tr} [(g_{m+1}^{-1} \partial_i g_{m+1}) (g_{m+1}^{-1} \partial_j g_{m+1}) (g_{m+1}^{-1} \partial_k g_{m+1})] \quad (2)$$

$$- \frac{1}{24\pi^2} \int d^3x \epsilon_{ijk} \text{Tr} [(g_m^{-1} \partial_i g_m) (g_m^{-1} \partial_j g_m) (g_m^{-1} \partial_k g_m)] \equiv m_+ - m_-$$

formidamente ahora

$$I_m \equiv \frac{1}{24\pi^2} \int d^3x \epsilon_{ijk} \text{Tr} [(g_m^{-1} \partial_i g_m) (g_m^{-1} \partial_j g_m) (g_m^{-1} \partial_k g_m)]$$

$$g_m = \exp \left\{ -imn \frac{\vec{x} \cdot \vec{e}}{(r^2 + \lambda^2)^{1/2}} \right\} = v_\mu \sigma_\mu \quad (3)$$

$$V_4 = \cos \varphi \quad \vec{V} = \frac{\vec{x}}{r} \sin \varphi \quad \varphi = -mn \frac{r}{(r^2 + \lambda^2)^{1/2}}$$

Entonces como en (44.5) y (44.2)

$$\begin{aligned} I_m &= \frac{1}{12n^2} \int d^3x \epsilon_{ijk} \epsilon_{\sigma\lambda\tau\rho} V_\sigma (\partial_\lambda V_\lambda) (\partial_j V_\sigma) (\partial_j V_\rho) = \\ &= \frac{1}{2n^2} \int d^3x [1 g_{ij}]^{1/2} \end{aligned} \quad (1)$$

Procedamos a calcular $|g_{ij}|$

$$g_{ij} \equiv \frac{\partial V_\lambda}{\partial x_i} \frac{\partial V_\lambda}{\partial x_j} = \frac{x_i x_j}{r^2} \varphi'^2 \sin^2 \varphi + \left\{ \frac{\delta_{ik}}{r} \sin \varphi - \frac{x_i x_k}{r^3} \sin \varphi + \frac{x_i x_k}{r^2} \cos \varphi \cdot \varphi' \right\}$$

$$\left\{ \frac{\delta_{ik}}{r} \sin \varphi - \frac{x_i x_k}{r^3} \sin \varphi + \frac{x_i x_k}{r^2} \cos \varphi \cdot \varphi' \right\} \quad \varphi' \equiv \frac{d\varphi}{dr}$$

$$g_{ij} = \frac{x_i x_j}{r^2} \varphi'^2 + \left(\delta_{ij} - \frac{x_i x_j}{r^2} \right) \frac{\sin^2 \varphi}{r^2} \quad (2)$$

de donde

$$|g_{ij}| = \frac{\sin^4 \varphi}{r^4} \varphi'^2$$

$$\sqrt{|g_{ij}|} = \lambda^2 m n \frac{1}{r^2 (r^2 + \lambda^2)^{3/2}} \sin^2 \left[\frac{mn r}{(r^2 + \lambda^2)^{1/2}} \right]$$

Entonces

$$I_m = 2 \lambda^2 m \int_0^\infty dr (r^2 + \lambda^2)^{-3/2} \sin^2 \left[\frac{mn r}{(r^2 + \lambda^2)^{1/2}} \right]$$

$$I_m = 2m \int_0^\infty dx (x^2 + 1)^{-3/2} \sin^2 \left[\frac{mn x}{(x^2 + 1)^{1/2}} \right]$$

$$\text{Si } t \equiv mn x / (1+x^2)^{1/2} \Leftrightarrow x = t (m^2 n^2 - t^2)^{-1/2}$$

$$I_m = \frac{2}{n} \int_0^{mn} dt \sin^2 t = m. \quad (3)$$

De todo esto y de (44.2)

$$q_p = (m+n) - m = 1 \quad (4)$$

Las formas asintóticas $g_m(x)$ (44.3) tienen la propiedad de que $\lim_{r \rightarrow \infty} g_m(r) \sim \text{cte.}$

El espacio Euclídeo E_3 con todos los puntos del infinito idealizado es topológicamente equivalente a S^3 , la tri-esfera. De nuevo tenemos correspondencias $S^3 \rightarrow SU(2)$ o $S^3 \rightarrow S^3$ con clases de homotopía separables por números enteros.

Tenemos pues el siguiente sistema: La solución de pseudofísica consta un estado gauge puro (vacuo) en $x_0 = -\infty$ caracterizado por un cierto número n con otro estado de este tipo en $x_0 = +\infty$ correspondiente al trímetro $(n+1)$. Los números n o $(n+1)$ no son teóricamente invariantes gauge puro si lo es su diferencia q_p . Soluciones multiinstantáneas corresponden a $q_p = n_+ - n_- = N$. Para las soluciones multiinstantáneas el tensor Euclídeo energía-momento es

$$\phi(x) = -\frac{1}{2} \text{Tr} [F_{\mu\nu} F^{\mu\nu}]$$

$$\Rightarrow \Theta^{\mu\nu}(x) = -2 \text{Tr} [F^{\mu\alpha} F^\nu_\alpha - \frac{1}{4} g^{\mu\nu} F^{\alpha\beta} F_{\alpha\beta}]$$

que es anulo idénticamente debido a las condiciones de antidebilidad. Estas son puras soluciones de energía cero para tiempo imaginario y pueden interpretarse y pueden ser interpretadas como señales de efecto túnel cuántico. Veremos más adelante sobre este punto

V. DE ALFARO, S. FUBINI y G. FURLAN Phys. Lett. 65B, 1631 (1977)
 C. CALLAN, R. PASHEN, D. GROSS Phys. Lett. 66B, 375 (1977)
 D. GROSS Nucl. Phys. B132, 639 (1978)

Consideremos de nuevo soluciones para campos gauge Euclídeos. Supongamos que

$$A_\mu(x) = + \frac{e}{2g} f^{-1}(x) \partial_\mu f(x) \quad (1)$$

que difiere en un factor $1/2$ de un gauge puro. Recordemos

$$F_{\mu\nu}(x) = \partial_\mu A_\nu(x) - \partial_\nu A_\mu(x) + ig [A_\mu(x), A_\nu(x)]$$

Entonces

$$\partial_\mu A_\nu(x) - \partial_\nu A_\mu(x) = + \frac{e}{2g} [(\partial_\mu f^{-1}(x)) (\partial_\nu f(x)) - (\partial_\nu f^{-1}(x)) (\partial_\mu f(x))]$$

$$\begin{aligned} ig [A_\mu(x), A_\nu(x)] &= - \frac{e}{4g} [(f^{-1}\partial_\mu f(x)) (f^{-1}(x) \partial_\nu f(x)) - (f^{-1}(x) \partial_\nu f(x)) (f^{-1}(x) \partial_\mu f(x))] \\ &= + \frac{e}{4g} [(\partial_\mu f^{-1}(x)) f(x) f^{-1}(x) (\partial_\nu f(x)) - (\partial_\nu f^{-1}(x)) f(x) f^{-1}(x) (\partial_\mu f(x))] \\ &= + \frac{e}{2} (\partial_\mu A_\nu(x) - \partial_\nu A_\mu(x)) \end{aligned}$$

y al tanto

$$F_{\mu\nu}(x) = \frac{1}{2} (\partial_\mu A_\nu(x) - \partial_\nu A_\mu(x)) = + ig [A_\mu(x), A_\nu(x)]$$

Entonces

$$D(x) \equiv + \frac{g^2}{2} \text{Tr} [{}^*F_{\mu\nu}(x) F^{\mu\nu}(x)]$$

(llamada densidad de Pomtryagin) vale

$$\begin{aligned} D(x) &= + \frac{g^2}{4} \epsilon_{\mu\nu\alpha\beta} \text{Tr} [F^{\alpha\beta} F^{\mu\nu}] = - \frac{1}{4} g^2 \epsilon_{\mu\nu\alpha\beta} \text{Tr} [(A^\alpha A^\beta - A^\beta A^\alpha)(A^\mu A^\nu - A^\nu A^\mu)] \\ &= - g^4 \epsilon_{\mu\nu\alpha\beta} \text{Tr} [A^\mu A^\nu A^\alpha A^\beta] = 0 \end{aligned}$$

es decir que $D(x) = 0$ excepto en los puntos singulares. Esto queda garantizado si bien otras dependencias de $D(x)$ dependieran de la elección de $f(x)$. Por ejemplo elijamos

$$f(x) = \frac{1}{|x|} x_\mu \sigma_\mu \Rightarrow f^{-1} = \frac{1}{|x|} x_\mu \sigma_\mu^+$$

Entonces

$$\begin{aligned}
A_\mu(x) &= -\frac{c}{2g} \frac{1}{|x|} x_\lambda \sigma_\lambda^+ \partial_\mu \left(\frac{1}{|x|} x_\nu \sigma_\nu^- \right) = \\
&= -\frac{c}{2g} \frac{1}{|x|} x_\lambda \sigma_\lambda^+ \left\{ -\frac{x_\mu x_\nu \sigma_\lambda}{|x|^3} + \frac{1}{|x|} \sigma_\mu \right\} = -\frac{c}{2g} \left\{ -\frac{x_\mu}{|x|^2} + \frac{1}{|x|^2} x_\lambda \sigma_\lambda^+ \sigma_\mu \right\} \\
&= -\frac{c}{2g} \frac{1}{|x|^2} \left\{ -\delta_{\lambda\mu} + \sigma_\lambda^+ \sigma_\mu \right\} x_\lambda \\
A_\mu(x) &= -\frac{c}{g} \frac{1}{|x|^2} \eta_{\mu\lambda} x_\lambda \quad (1)
\end{aligned}$$

are singular at the origin. Let us now try to compute the topological number. We start from (41.1)

$$\begin{aligned}
\bar{s}^\mu &= -\frac{1}{g^2} \frac{x_\lambda}{x^2} \partial_\beta \left(\frac{x_\beta}{x^2} \right) \epsilon^{\mu\alpha\beta\gamma} \text{Tr} (\eta_{\alpha\lambda} \eta_{\gamma\beta}) + \\
&+ \frac{2}{3} \frac{1}{g^2} \frac{1}{x^6} x_\lambda x_\beta x_\sigma \epsilon^{\mu\alpha\beta\gamma} \text{Tr} (\eta_{\alpha\lambda} \eta_{\beta\sigma} \eta_{\gamma\sigma}) \\
\epsilon^{\mu\alpha\beta\gamma} \text{Tr} (\eta_{\alpha\lambda} \eta_{\gamma\beta}) &= -\frac{1}{2} \epsilon_{\mu\alpha\beta\gamma} \eta_{\alpha\lambda}^a \eta_{\gamma\beta}^a = \\
&= -\frac{1}{2} \epsilon_{\mu\alpha\beta\gamma} (\cancel{\delta_{\alpha\gamma}} \cancel{\delta_{\lambda\beta}} - \cancel{\delta_{\alpha\beta}} \cancel{\delta_{\lambda\gamma}} + \cancel{\epsilon_{\alpha\lambda\gamma\beta}}) = \frac{1}{2} \epsilon_{\mu\beta\beta\lambda} - \frac{1}{2} \epsilon_{\mu\alpha\beta\gamma} \epsilon_{\alpha\lambda\gamma\beta} \\
&= \frac{1}{2} \epsilon_{\mu\beta\beta\lambda} - \delta_{\mu\beta} \delta_{\beta\lambda} + \delta_{\mu\lambda} \delta_{\beta\beta} \simeq -\delta_{\mu\beta} \delta_{\beta\lambda} + \delta_{\mu\lambda} \delta_{\beta\beta}
\end{aligned}$$

$$\begin{aligned}
x_\lambda x_\beta x_\sigma \epsilon^{\mu\alpha\beta\gamma} \text{Tr} (\eta_{\alpha\lambda} \eta_{\beta\sigma} \eta_{\gamma\sigma}) &= \frac{c}{8} x_\lambda x_\beta x_\sigma \epsilon^{\mu\alpha\beta\gamma} \eta_{\alpha\lambda}^a \eta_{\beta\sigma}^b \eta_{\gamma\sigma}^c 2i \epsilon_{abc} \\
&= -\frac{1}{4} \epsilon_{\mu\alpha\beta\gamma} x_\lambda x_\beta x_\sigma \eta_{\alpha\lambda}^a \epsilon_{abc} \eta_{\beta\sigma}^b \eta_{\gamma\sigma}^c \\
&= -\frac{1}{4} \epsilon_{\mu\alpha\beta\gamma} x_\lambda x_\beta x_\sigma \eta_{\alpha\lambda}^a \left\{ \cancel{\delta_{\beta\gamma}} \cancel{\eta_{\beta\sigma}^a} - \delta_{\beta\sigma} \eta_{\beta\gamma}^a - \delta_{\beta\gamma} \eta_{\beta\sigma}^a + \delta_{\beta\sigma} \eta_{\beta\gamma}^a \right\} \\
&= +\frac{1}{4} \epsilon_{\mu\alpha\beta\gamma} x_\lambda x_\beta x_\beta \left(\cancel{\delta_{\alpha\beta}} \cancel{\delta_{\lambda\gamma}} - \cancel{\delta_{\alpha\gamma}} \cancel{\delta_{\lambda\beta}} + \cancel{\epsilon_{\alpha\lambda\beta\gamma}} \right) \\
&+ \frac{1}{4} \epsilon_{\mu\alpha\beta\gamma} x_\lambda x_\gamma x_\sigma \left(\cancel{\delta_{\alpha\beta}} \cancel{\delta_{\lambda\sigma}} - \cancel{\delta_{\alpha\sigma}} \cancel{\delta_{\lambda\beta}} + \cancel{\epsilon_{\alpha\lambda\beta\sigma}} \right) \\
&- \frac{1}{4} \epsilon_{\mu\alpha\beta\gamma} x_\lambda x^2 \left(\cancel{\delta_{\alpha\beta}} \cancel{\delta_{\lambda\gamma}} - \cancel{\delta_{\alpha\gamma}} \cancel{\delta_{\lambda\beta}} + \cancel{\epsilon_{\alpha\lambda\beta\gamma}} \right) = +\frac{1}{4} x_\lambda x^2 \epsilon_{\mu\alpha\beta\gamma} \epsilon_{\alpha\lambda\beta\gamma} \\
&= \frac{3}{2} x_\mu x^2
\end{aligned}$$

$$\bar{s}^\mu = +\frac{1}{g^2} \frac{x_\lambda}{x^2} \partial_\lambda \left(\frac{x_\mu}{x^2} \right) - \frac{1}{g^2} \frac{x_\mu}{x^2} \partial_\lambda \left(\frac{x_\lambda}{x^2} \right) + \frac{1}{g^2} \frac{1}{x^4} x_\mu$$

$$\bar{s}^\mu = -\frac{2}{g^2} \frac{x_\mu}{x^4} = \frac{1}{g^2} \partial_\mu \frac{1}{x^2}$$

Entonces de acuerdo con (Sl. 1)

$$\frac{1}{2} \text{Tr} (*F_{\mu\nu} F_{\mu\nu}) = \partial_\mu \bar{\delta}_\mu = \frac{1}{g^2} \square \frac{1}{x^2} \quad (1)$$

Tengamos en cuenta que $\square(1/x^2) = 0$ si $x \neq 0$. Calulemos ahora $\square(1/x^2)$ en el sentido de distribuciones. Supongamos que $f(x)$ es una función de tipo 1(\mathbb{R}) regular en $x=0$ y de soporte compacto.

$$I[f] = \int d^4x f(x) \partial_\mu \partial_\mu \frac{1}{x^2} = \int d^4x (\partial_\mu \partial_\mu f(x)) \frac{1}{x^2} =$$

$$\begin{aligned} \partial_\mu \partial_\mu f(x) &= \partial_\mu \left\{ x_\mu \frac{f'(x)}{x} \right\} = 4 \frac{f'(x)}{x} + x \frac{d}{dx} \left(\frac{f'(x)}{x} \right) = \frac{4}{x} f'(x) + f''(x) - \frac{1}{x} f'(x) \\ &= \frac{3}{x} f'(x) + f''(x) = \end{aligned}$$

$$\begin{aligned} I[f] &= 2\pi^2 \int_0^\infty dx x^3 \frac{1}{x^2} \left(\frac{3}{x} f'(x) + f''(x) \right) = 2\pi^2 \int_0^\infty dx [3f'(x) + x f''(x)] = \\ &= 2\pi^2 \int_0^\infty dx \frac{d}{dx} \left(x f'(x) + 2f(x) \right) = 2\pi^2 \left[x f'(x) + 2f(x) \right]_0^\infty = -4\pi^2 \end{aligned}$$

y finalmente

$$\frac{1}{2} \text{Tr} (*F_{\mu\nu} F_{\mu\nu}) = -\frac{4\pi^2}{g^2} \delta^{(4)}(0) \quad (2)$$

Entonces cuando (Sl. 4) resulta $q_p = -\frac{1}{2}$. Tal valor parámetro es posible debido a la naturaleza singulares de la solución. Estas soluciones con carga leptónica semientera se denominan mesones (antimesones) y fueron introducidas por Alfaro, Fubini, y Furlan. Posteriormente han sido modos para intentar explicar el comportamiento de los quarks en fallan, Dashen y Gross. De acuerdo con ellos las interacciones generadas por los quarks generadas por lentes bueyes de pseudo partículas no conformes pues $F_{\mu\nu}$ cae de manera rápidamente con la distancia ($\approx 1/x^4$). Para ello se consideraron finitas contribuciones mesónicas en las que $F_{\mu\nu}$ cae como $1/x^2$. Otras soluciones más generales de tipo mesónico se encuentran en

V. DE ALFARO, S. FUBINI y G. FURLAN Phys. Lett. 73B, 463 (1978)

GLIMM y JAFFE Phys. Lett. 73B, 167 (1978).

VI.2 Por que hablan de clases de homotopía?

La causa de este papel dominante de los conceptos de homotopía puede ser hallado en la creciente libertad concerniente al comportamiento a grandes distancias que introducen los campos de gauge. Para energía finita o acción finita es necesario que $F_{\mu\nu}(x) \rightarrow 0$ asintóticamente, donde la región "asimétrica" es convenientemente definida en cada caso. Pero los potenciales de gauge $A_\mu(x)$ no es necesario que tiendan hacia cero tan rápidamente para que se anulen todas las contribuciones superficiales. Es suficiente que $A_\mu(x) \rightarrow -c/g (f^{-1}(x) \partial_\mu f(x))$, una forma de gauge pura. Cuando hay escalares las derivadas covariantes $D_\mu \varphi(x)$ dan de nuevo un aumento de libertad. En ausencia de campo gauge no solo se debe temer (para un potencial no negativo) que $V(\varphi) \rightarrow 0$ asintóticamente sino que $\partial_\mu \varphi(x)$ debe tender hacia cero. Lo cual permite a lo sumo un comportamiento asintótico constante para $\varphi(x)$. En presencia de campo gauge $\partial_\mu \varphi(x) \rightarrow 0$ debe reemplazarse por $D_\mu \varphi(x) \rightarrow 0$ que permite convenientemente asimetrías no triviales para $\varphi(x)$.

Las derivadas covariantes aparecen tan pronto se introducen simetrías locales. A través de ellas se logra una relación entre las variaciones espaciotemporales y las grises de rotaciones de los campos. Esto queda reflejado en la estructura de las soluciones donde los índices del grupo y las coordenadas espaciotemporales salen ligadas de formas particulares. Entonces llegamos a la noción de mappings de una superficie en la variedad espaciotemporal sobre el conjunto de los elementos de un grupo de simetrías. Así es como la homotopía entra en el juego, siendo ésta la rama de las matemáticas donde los mappings continuos entre dos variedades son estudiados.

Consideraremos las correspondencias continuas (f) entre dos variedades X e Y

$$f : X \longrightarrow Y$$

i.e.

$$f(x) = y \quad x \in X, \quad y \in Y$$

Consideraremos una familia continua de correspondencias $F(x; t)$ parametrizadas por t ($0 \leq t \leq 1$), tales que

$$F(x; 0) = f_1(x)$$

$$F(x; 1) = f_2(x)$$

(2)

Entonces se dice que f_1 y f_2 son homotópicos (o decir continuamente deformables la una en la otra) y suele escribirse $f_1 \sim f_2$.

La relación de homotopía es una relación de equivalencia: Si $f_1 \sim f_2$ y $f_2 \sim f_3$ entonces $f_1 \sim f_3$. En efecto por ser $f_1 \sim f_2$ existe una función continua $F(x, t)$ tal que

$$F(x, 0) = f_1(x), \quad F(x, 1) = f_2(x)$$

y por ser $f_2 \sim f_3$ existe otra función continua $F'(x, t)$ tal que

$$F'(x, 0) = f_2(x), \quad F'(x, 1) = f_3(x)$$

y por tanto podemos definir la función continua

$$F''(x, t) = \begin{cases} F(x, 2t) & 0 \leq t \leq 1/2 \\ F'(x, 2t-1) & 1/2 \leq t \leq 1 \end{cases}$$

y $F''(x, 0) = f_1(x)$ y $F''(x, 1) = f_3(x)$ lo cual prueba que $f_1 \sim f_3$.

Correspondencias homotópicamente equivalentes forman una clase que se indica por $\{f\}$.

Veamos a continuación un ejemplo específico que muestra claramente como a las clases de homotopía se las puede dotar de estructura de grupo. Empecemos considerando un ejemplo simple en el que el espacio X se toma como el intervalo de linea cerrado $[0, 1]$ en el que se han identificado los puntos finales. Esta variedad es topológicamente equivalente a un círculo S^1 con un punto de referencia x_0 en su frontera identificada con 0 y 1. Consideraremos ahora solo las correspondencias continuas que cumplen $f(0) = f(1) = y_0$, un punto fijo de Y , entonces las clases de correspondencias equivalentes $\{f\}, \{g\}, \dots$ de $S^1 \rightarrow Y$ se las puede dotar de la estructura de grupo. El elemento identidad $\{e\}$ es la clase de las correspondencias homotópicas a la correspondencia constante C :

$$C(x) = y_0 \quad \forall x \in S^1 \quad (1)$$

La inversa de $\{f\}$ se define como $\{f^{-1}\}$, donde

$$f^{-1}(x) = f(1-x) \quad (2)$$

Finalmente la ley de multiplicación es

$$\{f\} * \{g\} = \{f \cdot g\}$$

$$f \cdot g(x) = \begin{cases} f(2x) & 0 \leq x \leq 1/2 \\ g(2x - 1) & 1/2 \leq x \leq 1 \end{cases}$$

Notemos que esta operación de multiplicación es independiente de la elección de las correspondencias elegidas en $\{f\}$ y $\{g\}$, esto es debido que es fácil probar que si f_1, f_2 y g_1, g_2 entonces $f_1 g_1 \sim f_2 g_2$. Vemos entonces fácilmente que hemos dotado a los dos de homotopías de una estructura de grupo. Este ejemplo particular se llama el primer grupo de homotopía de Y (el grupo fundamental) y se designa por $\pi_1(Y)$.

Un ejemplo elemental es considerar que Y es el círculo de radio unidad centrado en el origen (l factores de fase que forman un grupo $U(1)$) y que $X = S_1 = [0, 2\pi]$. Algunas correspondencias canónicas son

$$f^{(0)}(\theta) = 1 \quad \forall \theta \in S_1 \quad \text{(identidad)}$$

$$f^{(1)}(\theta) = e^{i\theta} \quad \forall \theta \in S_1$$

$$f^{(v)}(\theta) = [f^{(1)}(\theta)]^v = e^{iv\theta} \quad \forall \theta \in S_1$$

y veremos v un número entero cualquiera. Es evidente que $f^{(v)} \neq f^{(v')}$ si $v \neq v'$. Por razones obvias v se llama número de winding. Se puede probar que cada clase está caracterizada por un número de winding y que $\pi_1(U(1)) = \mathbb{Z}$ es decir el conjunto de los enteros un ley de multiplicación la de suma.

El primer grupo de homotopía es una herramienta importante en el estudio de las propiedades globales de los grupos de Lie compactos. El invariante $\pi_1(G)$ (que clasifica las correspondencias de S_1 en el conjunto de los elementos de G) es una medida de cuán conexo es el grupo G . Después de haber definido los grupos de Lie compactos de acuerdo a sus propiedades locales (álgebras de Lie), $\pi_1(G)$ es el único invariante necesario para completar la clasificación. Así por ejemplo

$$\pi_1(SU(2)) = 0 \quad (\text{i.e. lo identidad})$$

$$\pi_1(O(3)) = \pi_1(SU(2)/\mathbb{Z}_2) = \mathbb{Z}_2 \quad (\text{el conjunto de los enteros modulo 2})$$

esto es, $SU(2)$ es simplemente conexo mientras que $O(3)$ es doblemente conexo.

Si en lugar de limitarnos a $X = S^1$, generalizamos lo anterior a $X = S^n$ (la esfera n -dimensional) o su equivalente topológico I^n

$$I^n = \{ (x_1, x_2, \dots, x_n) \in \mathbb{R}^n \mid 0 \leq x_i \leq 1 \}$$

el cubo n -dimensional con sus fronteras (caras) identificadas y equivalentes al polo norte x_0 de S^n , entonces de nuevo las clases de correspondencias con un punto fijo $f(x_0) = y_0$ forman un grupo que se llama el gru - grupo de homotopía y se denota por $\pi_n(Y)$

En la tabla siguiente damos algunos grupos de homotopía

Y	$U(1)$	$SU(2)$	$SU(N)$	$SO(3)$	$SO(4)$	$SO(5)$	$SO(6)$	$SO(N)$	$Sp(N)$
$\pi_1(Y)$	\mathbb{Z}	0	0	\mathbb{Z}_2	\mathbb{Z}_2	\mathbb{Z}_2	\mathbb{Z}_2	\mathbb{Z}_2	0
$\pi_2(Y)$	0	0	0	0	0	0	0	0	0
$\pi_3(Y)$	0	\mathbb{Z}	\mathbb{Z}	\mathbb{Z}	\mathbb{Z}, \mathbb{Z}	\mathbb{Z}	\mathbb{Z}	\mathbb{Z}	\mathbb{Z}
$\pi_4(Y)$	0	\mathbb{Z}_2	0	\mathbb{Z}_2	$\mathbb{Z}_2, \mathbb{Z}_2$	\mathbb{Z}_2	0	0	\mathbb{Z}_2
$\pi_5(Y)$	0	\mathbb{Z}_2	\mathbb{Z}	\mathbb{Z}_2	$\mathbb{Z}_2, \mathbb{Z}_2$	\mathbb{Z}_2	\mathbb{Z}	0	\mathbb{Z}_2

El número de Wimberg

La convergencia de la integral de acción está controlada por el comportamiento de A_μ para grandes r , donde r es la variable radial en el espacio Euclídeo. Para mantener los argumentos tan simples como sea posible supondremos que para grandes r , A_μ se puede expresar como una serie asintótica de potencias de $1/r$ (En realidad bastaría suponer que el campo gauge varía de singularidades invariantes gauge si tomamos una proyección estereográfica del espacio en la esfera). Entonces para que la acción sea finita $F_{\mu\nu}(x)$ debe ir a cero más rápidamente que $1/r^2$ cuando $r \rightarrow \infty$, es decir $F_{\mu\nu} \sim O(1/r^3)$. De entrada se puede fijar que esto implica que $A_\mu \sim O(1/r^2)$, pero esto es falso: que se anule $F_{\mu\nu}$ no implica que se anule A_μ , uno meramente que A_μ es una transformación gauge de cero. Entonces A_μ puede ser de la forma

$$A_\mu = + \frac{c}{g} f^{-1} \partial_\mu f + O(1/r^2) \quad (1)$$

donde f es una función del espacio en G de orden uno, esto es, una función de las variables angulares únicamente (G es el grupo gauge).

Entonces con cada configuración de campo de acción finita hay asociada una correspondencia de la hipersfera tridimensional S^3 sobre el grupo de gauge G . Por supuesto esta correspondencia no es "invariante gauge". Bajo una transformación de gauge

$$A_\mu \longrightarrow S A_\mu(x) S^{-1} + \frac{c}{g} S \partial_\mu S^{-1}$$

Si se pudiera elegir $S(x)$ igual a $f(x)$ en el infinito entonces $A_\mu \sim O(1/r^2)$. En general esto no es posible. La razón es que $S(x)$ debe ser una función continua no solo en S^3 sino en todo el espacio euclídeo, es decir, en una familia de hipersferas medidas una dentro de la otra con radios que van de $r=0$ a $r=\infty$. En particular, en el origen, $S(x)$ debe ser una constante independiente de los ángulos. Entonces, $S(x)$ en el infinito no será en general una función sobre S^3 , sino que debe ser obtenida por deformación continua a partir de una función constante. Como cualquier transformación de gauge constante para ser lógicamente obtenida por deformación continua a la transformación identidad (todos los grupos gauge son conexos) podemos decir que $S(x)$ en el infinito debe ser obtención de $S(x)=1$ por una transformación continua.

Siadas des correspondencias de un espacio topológico en el otro, tales que una correspondencia sea continuamente deformable en otra, los matemáticos dicen que

estas dos funciones son homotópicas y pertenecen a la misma clase de homotopía.

Lo que hemos visto es que mediante una transformación de gauge

$$f \longrightarrow f S^{-1}$$

se dan condiciones para transformar $f(x)$ en una correspondencia homotópica a $f(x)$, pero no puede transformarse en una función de otra clase de homotopía. Entonces, la cantidad invariante gauge asociada con una configuración de campo de acción finita no es una correspondencia de S^3 en G sino una clase de homotopía de todas las correspondencias. Debemos pues hallar las clases de homotopía para los G de interés.

Comencemos por ejemplo $G \cong SU(2)$

i) $SU(2)$ es el grupo de matrices unimodulares dos por dos y tales matrices pueden ser escritas en forma única como

$$f(x) = I V_4(x) + i \vec{\sigma} \cdot \vec{V}(x)$$

(1)

$$V_\mu(x) V_\mu(x) = 1$$

Entonces topológicamente $SU(2)$ es S^3 y debemos estudiar las correspondencias de S^3 en S^3 .

ii) Algunas correspondencias útiles son

$$f^{(0)}(x) = I$$

$$f^{(1)}(x) = \frac{1}{r} (x_4 + i \vec{x} \cdot \vec{\sigma})$$

(2)

$$f^{(v)}(x) = [f^{(1)}(x)]^v$$

donde v es un entero llamado número de winding o de Pogostyagim. Este mide el número de veces que la superficie del infinito es en vuelta alrededor de G .

iii) Se puede probar que toda correspondencia de S^3 en S^3 es homotópica a una de las correspondencias standard $f^{(v)}(x)$, $v=0, \pm 1, \pm 2, \dots$. El número de Pogostyagim que es invariante gauge puede definirse de la forma standard.

Vemos pues que para una teoría gauge basada en el $SU(2)$, cada configuración de campo de acción finita en el espacio Euclídeo euclídeo euclídeo euclídeo tiene un entero asociado: el número de winding. Notemos además que si $G \cong U(1)$ es fácil ver que cada correspondencia de S^3 en $U(1)$ es continuamente deformable en una correspondencia trivial (todo S^3 es representado en con solo puntos). Entonces, para una teoría de campo gauge obediendo, no hay análogo al número de winding. Por otra parte para un grupo de Lie simple cualquiera G se puede probar que

[R. BOTT Bull. Soc. Math. France 84, 251 (1956)] que cualquier correspondencia continua de S^3 en G puede deformarse continuamente en una correspondencia de un subgrupo $SU(2)$ de G . Entonces, todo lo que hemos dicho para $SU(2)$ es cierto para cualquier grupo de Lie simple; en particular para $SU(n)$. Finalmente como cualquier grupo de Lie compacto es localmente equivalente a un producto directo de un grupo Abierto y un conjunto de grupos simples para una forma gauge cualquiera, hay un número de winding independiente para cada grupo factor simple.

Veamos que para una caja suficientemente grande la única restricción de las condiciones impuestas en las paredes de la caja es el número de winding. Consideremos una caja rectangular en el espacio euclídeo cuatro-dimensional, con lados $L_1 \dots L_4$. Desglosaremos los ocho hiperplanos que delimitan la caja por sus vectores normales; entonces diremos la pared superior 1, la pared inferior 1, la pared superior 2, ..., 1 superior e inferior se refieren a los valores más altos o más bajos de la coordenada apuntada). Sobre las paredes de la caja las componentes tangenciales de A_μ vienen dadas en una forma consistente con el hecho de que la curvatura fija, es decir, consistente con

$$A_\mu = + \frac{i}{g} f^{-1}(\infty) \partial_\mu f(x)$$

Entonces dar las las componentes tangenciales de A_μ sobre las paredes es equivalente a dar $f(x)$ en las paredes (salvo una constante multiplicativa irrelevante). La condición de gauge $A_3(x) = 0$ aquí permite transformaciones de gauge arbitrarias independientes de x_3 . Usaremos esta libertad para elegir $f(x) = 1$ en la pared inferior 3. Como $A_3 = 0$ implica que $\partial_3 f(x) = 0$, $f(x)$ es automáticamente la unidad en todas las paredes excepto en la pared superior 3. En esta pared f es una función $f(x_1, x_2, x_4)$ que vale uno en la frontera de la pared. (La elección de este gauge es muy crucial y no simplifica los argumentos.)

Ahora pongamos nuestra caja original con condiciones frontera $f_1(x_1, x_2, x_3)$ en una caja mayor, con el vértice más bajo coincidente (lo tomaremos como origen de coordenadas) y con los mismos lados L_1, L_2 , y L_3 que con el tercer lado $L_3 + d$. Sean las condiciones frontera en la caja mayor alguna función $f_2(x_1, x_2, x_4)$.

Teorema: Si f_1 y f_2 están en la misma clase de homotopía cualquier configuración de campo definida en la caja original consistente con las condiciones frontera puede extenderse a otra configuración de campo en la caja mayor, consistente con las condiciones frontera y la condición de gauge $A_3 = 0$, al coste de incrementar la acción en una cantidad de orden $1/d$.

Antes de demostrar este teorema vamos a hacer algunas observaciones.

i) El teorema no sería cierto si g_1 y g_2 estuvieran en distintas clases de homotopía. En ese caso para pasar de g_1 a g_2 deberíamos formar al menos un incremento en el nuevo volumen; esto aumentaría la acción en al menos $8\pi^2/g^2$, independiente de S .

ii) Somos libres de elegir δ proporcional, por ejemplo, a $L_3^{1/2}$. Entonces para una gran caja el cambio proporcional en el volumen de la caja es despreciable, cosa lo es el cambio en la acción. En el lenguaje de la física cuántica, cumplir las condiciones frontera manteniendo el número de winding fijo es un efecto de superficie y no un efecto del volumen.

iii) Hay una paradoja aparente: para cualquier configuración fija de instantáneas y anti-instantáneas $f(x_1, x_2, x_3)$ es fija. ¿Cómo podemos obtener todas las configuraciones consistentes con su número de winding fijo con un solo corriente de condiciones frontera? El teorema da la contestación: no obtenemos todas estas configuraciones; solo una pequeña fracción de ellas. Sin embargo, obtenemos configuraciones cercanas a todas ellas, configuraciones que difieren solo en una pequeña distorsión clara de la cara superior 3. La diferencia causada por esta pequeña distorsión es despreciable para una caja suficientemente grande.

Paseemos a la prueba: Por hipótesis, f y f' están en la misma clase de homotopía. Entonces existe una función $f(x_1, x_2, x_3)$ con $\partial_\mu \approx 1$ tal que

$$f(x_1, x_2, x_3) = f_1(x_1, x_2, x_3) \quad f(x_1, x_2, x_3) = f_2(x_1, x_2, x_3) \quad (1)$$

Sea $f_1(x)$ una función definida en el volumen adicional μ

$$f_1(x) = f(x_1, x_2, (x_3 - L_3)/\mu, x_4) \quad (2)$$

Si dividimos elegir

$$A_\mu(x) = + \frac{i}{g} f''(x) \partial_\mu f(x) \quad (3)$$

entonces producimos efectuar la transformación deseada sin costo adicional de acción. Sin embargo esto no es posible. La ecuación (3) es inconsistente con la condición $A_3 = 0$. Sin embargo,

$$\begin{aligned} A_\mu(x) &= + \frac{i}{g} f''(x) \partial_\mu f(x) \quad \mu \neq 3 \\ A_3(x) &= 0 \quad \mu = 3 \end{aligned} \quad (4)$$

es consistente con la condición gauge y efectúa la transformación. Calculemos la acción asociada a (4). Si hacemos una transformación $f'(x)$ en (4) obtendremos

$$A_\mu(x) = 0 \quad \mu \neq 3 \quad (5)$$

$$A_\mu(x) = + \frac{i}{g} f(x) \partial_\mu f'(x) \quad \mu = 3$$

De esta relación vemos que A_3 es proporcional a $1/\alpha$. Además la única componente de F_{p3} no nula es \bar{F}_{p3} que es proporcional al $1/\alpha$. Luego lo ocurrió es proporcional a $1/\alpha^2$ y como el volumen es solo proporcional a α , el tensor grande obtendrá.